

UNIVERSITE D'ALGER

1/77

ECOLE NATIONALE POLYTECHNIQUE

LEK

Département Génie Civil

2ème = LEK sans plancher

المدرسة الوطنية للعلوم الهندسية

- المكتبة -

ECOLE NATIONALE POLYTECHNIQUE

PROJET DE FIN D'ETUDES

BIBLIOTHEQUE

**ETUDE D'UN RESTAURANT  
SELF-SERVICE**

Proposé par

Ing. N. M. BEJINARIV

Etudié par

K. ABADA

B. BENKHELIFA



بِسْمِ اللَّهِ الرَّحْمَنِ الرَّحِيمِ

A LA MEMOIRE DE NOTRE MAITRE

MALEK BENNABI

## REMERCIEMENTS

Nous saissons cette occasion pour remercier  
M<sup>E</sup>: Nicolai Mircea Beginariu qui nous a guidé  
sincérement dans notre étude.

Nos remerciements au Directeur de l'E.N.P.A  
MR OUABDESLAM et tout le personnel enseignant.  
Nous ne manquerons pas de féliciter MR METAL OMAR

K. ABADA

B. BENKHELIFA

## Introduction

I/ Thème du projet: Restaurant "Self-Servie".

II/ Description: Le restaurant est constitué d'un sous-sol et d'un rez-de-chaussé.  
dimension:  $(30,40 \times 36) \text{ m}^2$ .

a. Sous Sol : sera réalisé en béton et servira de réserve au restaurant. Il comprend:  
- des réserves pour légumes, boulangerie,

- une chambre froide

- une cage d'escalier et une cage d'ascenseur pour réserve.

- des sanitaires

- un accès extérieur

b. Rez-de-chaussé: sera réalisé en béton métallique ; il comprend:

- une salle de restauration "self-service"

- une salle de restauration privée.

- les annexes du restaurant (cuisines, ....)

- une salle de lecture

- des sanitaires

Le rez-de-chaussé étant limité transversalement par deux murs en béton et longitudinalement par un vitrage.

III/ Indications techniques:

- le plancher est constitué d'une dalle plate de 8 cm.

- le revêtement du plancher sera en carrelage de marbre.

- le revêtement du plancher du sous-sol sera en ciment.

- Toiture du rez-de-chaussé en tôle nervurée galvanisée avec danchette et isolation thermique.

- Fermeture en métal

- Poteaux métalliques en HEB.

- Sd : angle compacte,  $\bar{\sigma}_s = 3 \text{ kg/cm}^2$ .

#### IV/ Travail demandé

##### a- évaluation des charges et surcharge.

- Détermination des charges permanentes et surcharges d'exploitation
- calcul de l'effet de la neige et du vent par l'ensemble de la construction
- combinaisons de différents charges et surcharges.

##### b- Calcul des suivants éléments de la construction.

- ferme principale.
- console métallique
- poteaux métalliques.
- plancher en B.A
- plateaux du sous-sol
- fondation
- escaliers.
- organisation de chantier.

## THEDE DU VENT.

### Caractéristiques.

La construction est constituée par un seul bloc

- la base est un rectangle de  $36 \times 30,40$  m.

- la hauteur de la construction  $h = 9,00$  m

- d'après le règlement N.V 65, les dimensions de la construction doivent respecter les conditions suivantes :

$$\frac{h}{a} = \frac{9,00}{36} = 0,25$$

$$\frac{h}{a} < 2,5.$$

- la couverture : constituée par une toiture, avec pente de  $1^{\circ}3$

- les parois verticales sont planes sans décrochement

- reposent sur le sol

- parois vives  $\mu = 20\%$ ,

- autres parois  $\mu < 5\%$ .

- la construction se trouve sur un terrain horizontal.

les conditions imposées par le règlement "N.V 65" étant satisfaites, on utilisera la méthode simplifiée pour la détermination des pressions dues au vent.

### Pressions dynamiques

les pressions dynamiques seront supposées constantes sur toute la hauteur de la construction.

$$q_{rn} = (46 + 0,7 \times h) K_{rn} \cdot K_s \quad \text{pression normale}$$

$$q_{re} = (46 + 0,7 h) K_{re} K_s \quad \text{pression extrême}$$

$K_r$  : coefficient de région  $\rightarrow$  pour ALGER  $K_{rn} = 1,40$

$$K_{re} = 2,45$$

$K_s$  : coefficient de site  $\rightarrow$  Site exposé.  $K_s = 1,35$

$$q_{rn} = 94 \text{ daN/m}^2$$

$$q_{re} = 165 \text{ daN/m}^2$$

## Reduction

Les prestions dynamiques doivent être affectées d'un coefficient de réduction  $\delta$ , donné en fonction de la plus grande dimension exposée au vent.

$$a = 36 \text{ m} \quad \Rightarrow \quad \delta = 0,76$$

Surface non abritée  $m = 1$  (pas de majoration).  
L'ensemble des réductions doit rester inférieur à 33%.

$$(1 - \delta) m = (1 - 0,76) 1 = 0,24 < 0,33.$$

$$p_{vn} = q_{vn} \cdot \delta \cdot m = 94 \cdot 0,76 \cdot 1 = 71,44 \text{ dan/m}^2$$

$$p_{ve} = q_{ve} \cdot \delta \cdot m = 165 \cdot 0,76 \cdot 1 = 125,40 \text{ dan/m}^2.$$

## Actions extérieures.

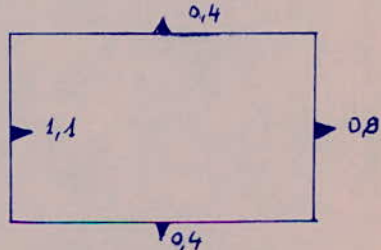
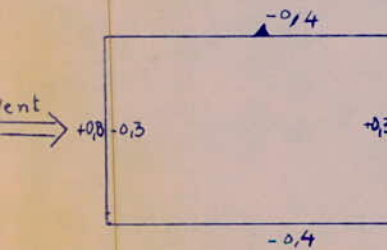
Au vent  $C_e = + 0,8$   
Sous vent  $C_e = - 0,5$

## Actions intérieures.

Façade non vitrée  $C_i = \pm 0,3$

Façades vitrées  $C_i = + 0,55$  au vent  
 $C_i = - 0,40$  sous vent.

### a. Façade entrée parallèle au vent



Au vent :  $q_{vn} = 1,1 \cdot p_{vn} = 78,58 \text{ dan/m}^2$

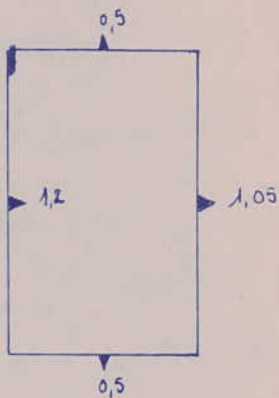
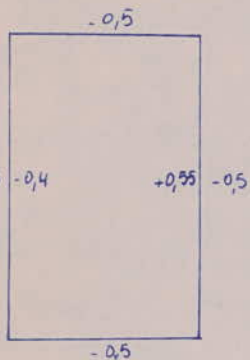
$$q_{ve} = 1,1 \cdot p_{ve} = 137,94 \text{ dan/m}^2.$$

Sous vent :  $q_{vn} = - 0,8 \cdot p_{vn} = - 57,15 \text{ dan/m}^2$

$$q_{ve} = - 0,8 \cdot p_{ve} = - 100,32 \text{ dan/m}^2.$$

b- façade vitrée perpendiculaire au vent.

Vent  $\rightarrow$



• Au vent :

$$q_{vn} = 1,2 \rho_{vn} = 85,73 \text{ daN/m}^2$$

$$q_{ve} = 1,2 \rho_{ve} = 150,48 \text{ daN/m}^2$$

• Sous vent :

$$q_{vn} = -1,05 \rho_{vn} = -75,01 \text{ daN/m}^2$$

$$q_{ve} = -1,05 \rho_{ve} = -131,67 \text{ daN/m}^2$$

Effort de soulevement de la toiture.

Pour notre construction, l'effet de soulevement sera négligé, car nous avons un dispositif de protection de la toiture contre le vent : nous avons placé un acrotile de 50 cm.

Neige :

$$N_n = 20 \text{ kg/m}^2 \quad \text{neige Normale}$$

$$N_e = 33,4 \text{ kg/m}^2 \quad \text{neige extrême.}$$

CALCHL DES PANNES
-------------------

determination des charges et surcharges

charges permanentes

Tôle mercurée galvanisée -----	13 kg/m <sup>2</sup>
Etanchéité -----	18 kg/m <sup>2</sup>
Poids propre des pannes métalliques -----	8,5 kg/m <sup>2</sup>
	$\Sigma = 40 \text{ kg/m}^2$

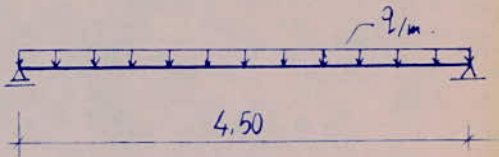
Surcharges d'exploitation.

Nous avons une terrasse inaccessible  $\Rightarrow P = 100 \text{ kg/m}^2$ .

les pannes seront calculées sous  $\frac{4}{3} G + \frac{3}{2} P$  et seront suffisamment simplement appuyées.  
Elles sont espacées de 1,50 m et ont une portée de 4,50 m.

$$q_{\text{t/m}^2} = \frac{4}{3} \cdot 40 + \frac{3}{2} \cdot 100 = 203,4 \text{ kg/m}^2$$

$$q_{\text{t/m}} = 1,50 \times 203,4 = 305 \text{ kg/m}$$



$$M = q \frac{l^2}{8} = 305 \times \frac{4,50^2}{8} = 772,03 \text{ dan.m}$$

$$W = \frac{M}{G_e} = \frac{772,03 \cdot 10^2}{2400} = 32,17 \text{ cm}^3$$

nous prendrons un UPN 100 dont les caractéristiques sont:

$$W_x = 41,2 \text{ cm}^3$$

$$P_p = 10,6 \text{ kg/m} \rightarrow \text{poids propre.}$$

on doit refaire la vérification en tenant compte du poids propre.

$$q = 305 + 10,6 = 315,6 \text{ kg/m.}$$

$$M = 315,6 \times \frac{4,50^2}{8} = 798,86 \text{ dan.m}$$

$$F = \frac{M}{W_x} = \frac{798,86 \cdot 10^2}{41,2} \approx 1939 \text{ dan/cm}^2 < G_e$$

on doit vérifier la contrainte de cisaillement  $\tau$ .

$$1,54 T \leq G_e$$

$$\tau = \frac{T S}{2 e I}$$

$$S = 24,5 \text{ cm}^3$$

$$e = 8,5 \text{ mm}$$

$$I = 206 \text{ cm}^4$$

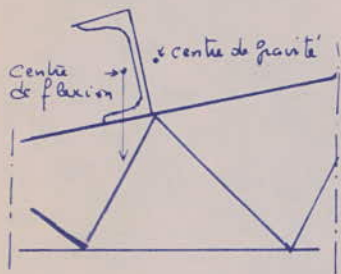
$$T = q \frac{l}{2} = 710,1 \text{ dan}$$

$$\tau = 49,68 \text{ dan/cm}^2$$

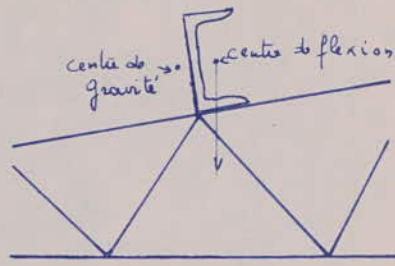
$$1,54 \cdot 49,68 = 76,5 \text{ dan/cm}^2 \ll G_e$$

### disposition des pannes

les pannes peuvent être disposées de deux façons sur la membrure supérieure de la ferme (voir fig.)



(1)



(2)

Nous constatons que la disposition de la figure (2) est meilleure pour la stabilité ; en effet dans le cas de la fig(1) nous avons un moment de renversement, tandis que dans le cas de la fig(2) le moment est un moment de stabilisation.

# CALCUL DE LA FERME

ETUDE DE LA FERME.

Description & généralités

les fermes utilisées sont en treillis simple. Elles sont destinées à supporter la toiture. Chaque membrure et chaque diagonale est formée de deux cornières à celles égales de même section.

les barres de la ferme sont calculées comme des poutres à armes pleines comprimées ou tendues, pour que ceci soit possible et afin d'éviter le flambage local on interpose de fourrures entre les cornières qui doivent avoir la même épaisseur que les goussets.  
les fermes sont espacées de 4,50m.

les fermes sont calculées comme si tous les éléments étaient articulés (ce qui est presque vrai pour la ferme métallique).

les efforts dans les barres seront déterminés par la méthode graphique de Cremona-Maxwel pour les charges verticales, et par la méthode d'isolation des noeuds pour les charges horizontales.

on déterminera les efforts pour les cas les plus défavorables.

## A - Calcul aux charges verticales.

### • Etude des charges.

- Poids propre de la ferme :  $G_p = 1,2 \times l = 1,2 \times 0,8 \times 9 = 8,64 \text{ kg/m}^2$ .
- Climatisation + Conduits :  $4,00 \text{ kg/m}^2$ .
- faux plafond + isolation thermique  $10 \text{ kg/m}^2$ .
- $\underline{G_i = 22,64 \text{ kg/m}^2}$ .
- Etanchéité + isolation thermique  $13 \text{ kg/m}^2$ .
- Tôle nervurée galvanisée  $18 \text{ kg/m}^2$ .
- Poids propre de plancher  $8,5 \text{ kg/m}^2$ .
- $\underline{G_s \approx 40 \text{ kg/m}^2}$ .

$G_i$  : sont la charge permanente appliquée aux noeuds inférieurs de la ferme.

$G_s$  : sont la charge permanente appliquée aux noeuds supérieurs de la ferme.

### • Combinaison des charges.

Pour le calcul et la vérification des éléments de la ferme, il sera tenu compte :

- Charges permanentes
- Surcharges d'exploitation
- Surcharges climatiques (Neige + vent)

Ces charges seront combinées de deux façons :

#### 1. Combinaisons surcharges normales.

$$- G + \frac{3}{2} V_n \quad \frac{4}{3} G + \frac{3}{2} V_n.$$

$$- G + \frac{3}{2} P \quad \frac{4}{3} G + \frac{3}{2} P$$

$$- G + \frac{17}{12} (l + V_n) \quad \frac{4}{3} G + \frac{17}{12} (P + V_n)$$

$$- G + \frac{4}{3} N_n \quad \frac{4}{3} G + \frac{4}{3} N_n$$

$$- \frac{4}{3} G + \frac{17}{12} (P + N_n)$$

2. en Surcharges extrêmes.

$$G + P$$

$$G + P + V_c$$

$$G + N_e$$

$$G + P + N_e$$

$$G + V_e$$

$$G + P + \frac{1}{6} N_e + V_e$$

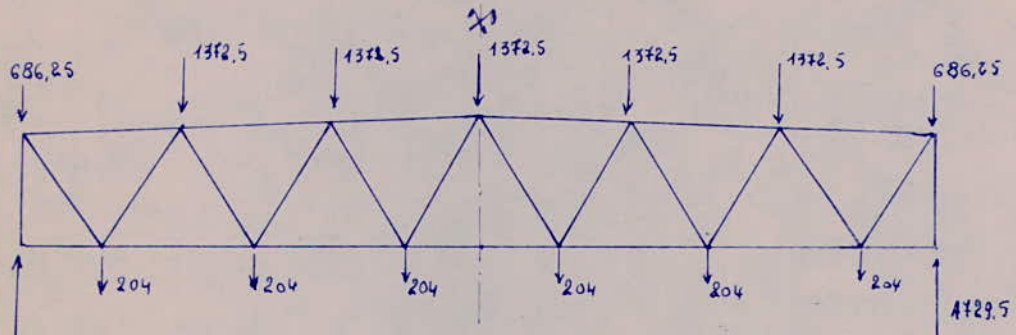
l'action du vent sera négligée si cause de la protection qu'on a prise pour la toiture. Nous avons choisi pour chaque combinaison le cas le plus défavorable

$$\frac{4}{3} G + \frac{3}{2} P$$

$$\frac{4}{3} G + \frac{17}{12} (P + N_n)$$

$$G + P + N_e$$

① 1<sup>e</sup> cas de charge :  $\frac{4}{3} G_i + \frac{3}{2} P$ .



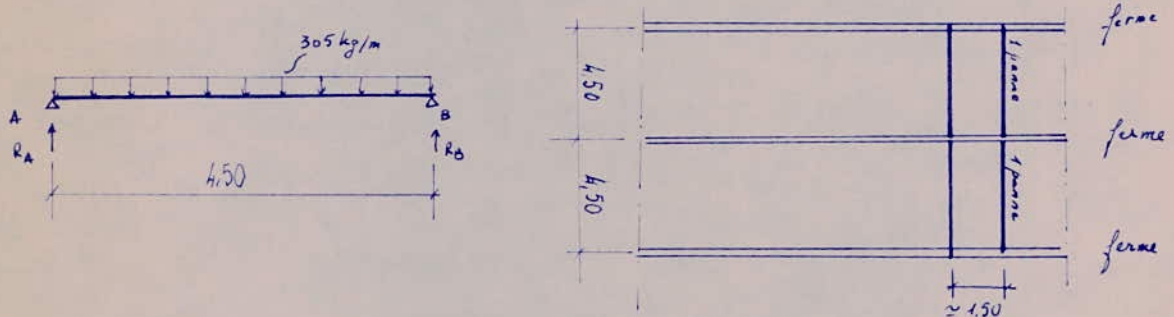
• Réactions aux noeuds supérieurs:  $R_S$ .

$$G_{s/m^2} = 40 \text{ kg/m}^2 \rightarrow G_{s/m^2} = 40 \times 1.5 = 60 \text{ kg/m}$$

$$P/m^2 = 100 \text{ kg/m}^2 \rightarrow P/m^2 = 100 \times 1.5 = 150 \text{ kg/m}$$

$$\Rightarrow q_f = \frac{4}{3} G_{s/m^2} + \frac{3}{2} P = 305 \text{ kg/m}$$

En chaque noeud nous avons la réaction de deux pannes (voir fig ci-dessous). les pannes seront suffisamment approximées.



$$R_A = R_B = q \frac{l}{2} = 305 \times \frac{4.50}{2} = 686.25 \text{ kg.}$$

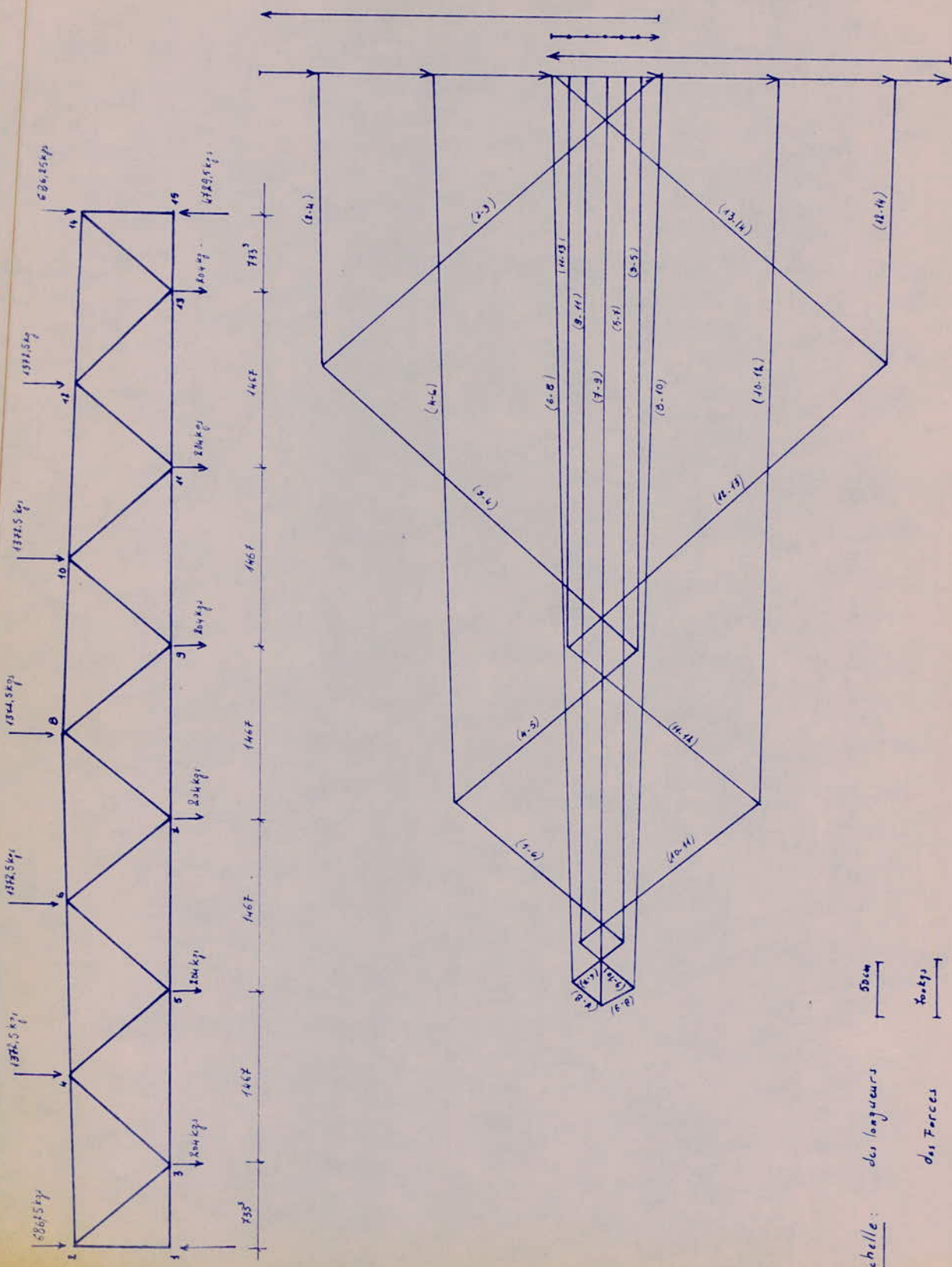
$$R_S = 2R_A = 1372.5 \text{ kg.}$$

• Determination de réactions aux noeuds inférieurs:  $R_i$ :

Seules les charges permanentes agissent aux noeuds inférieurs.

$$G_{i/m^2} = 22,64 \text{ kg/m}^2 \rightarrow G_{i/m^2} = 22,64 \times 4,5 = 102 \text{ kg/m.}$$

$$R_i = \frac{4}{3} G_i \times 1,5 = \frac{4}{3} \times 102 \times 1,5 = 204 \text{ kg.}$$



Echelle :  $\frac{\text{des longueurs}}{\text{de forces}}$

échelle :  $\frac{\text{Scales}}{\text{Forces}}$

- détermination des efforts dans les barres.

La méthode graphique nous donne les résultats suivants que l'on résumera sous forme de tableau.

\* Cas de charge  $\frac{4}{3}G + \frac{3}{2}P$ .

Barre	effort		Vale	effort	
	Compression (dan)	Tension (dan)		Compression (dan)	Tension (dan)
1-2	4729,5	-	8-10	10710	-
1-3	0	0	8-9	-	490
2-4	3430	-	9-10	770	-
2-3	-	5250	9-11	-	10220
3-4	5040	-	10-12	8575	-
3-5	-	6755	10-11	-	2590
4-6	8575	-	11-12	2335	-
4-5	-	2835	11-13	-	6755
5-6	2590	-	12-14	3430	-
5-7	-	10220	12-13	-	5040
6-8	10710	-	13-14	5250	-
6-7	-	770	13-15	0	0
7-8	490	-	14-15	4729,5	-
7-9	-	10990			

② 2<sup>e</sup> cas de charge:  $\frac{4}{3}G + \frac{17}{12}(P+N_n)$ .

• Réactions aux noeuds supérieurs: R<sub>s</sub>

$$G_s/m^2 = 40 \text{ kg/m}^2 \rightarrow G_s/m = 40 \times 1,5 = 60 \text{ kg/m}$$

$$P/m^2 = 100 \text{ kg/m}^2 \rightarrow P/m = 100 \times 1,5 = 150 \text{ kg/m}$$

$$N_n/m^2 = 20 \text{ kg/m}^2 \rightarrow N_n/m = 20 \times 1,5 = 30 \text{ kg/m}$$

$$\Rightarrow q = \frac{1}{3}G_s + \frac{17}{12}(P+N_n) = 335 \text{ kg/m}$$

$$R_A = R_B = q \frac{l}{2} = 335 \times \frac{1,5}{2} = 735,75 \text{ kg.}$$

$$R_s = 2R_A = 150 \text{ t},5 \text{ kg.s}$$

• Réactions aux noeuds inférieurs: R<sub>i</sub>

elle reste inchangée:  $R_i = 204 \text{ kg.}$

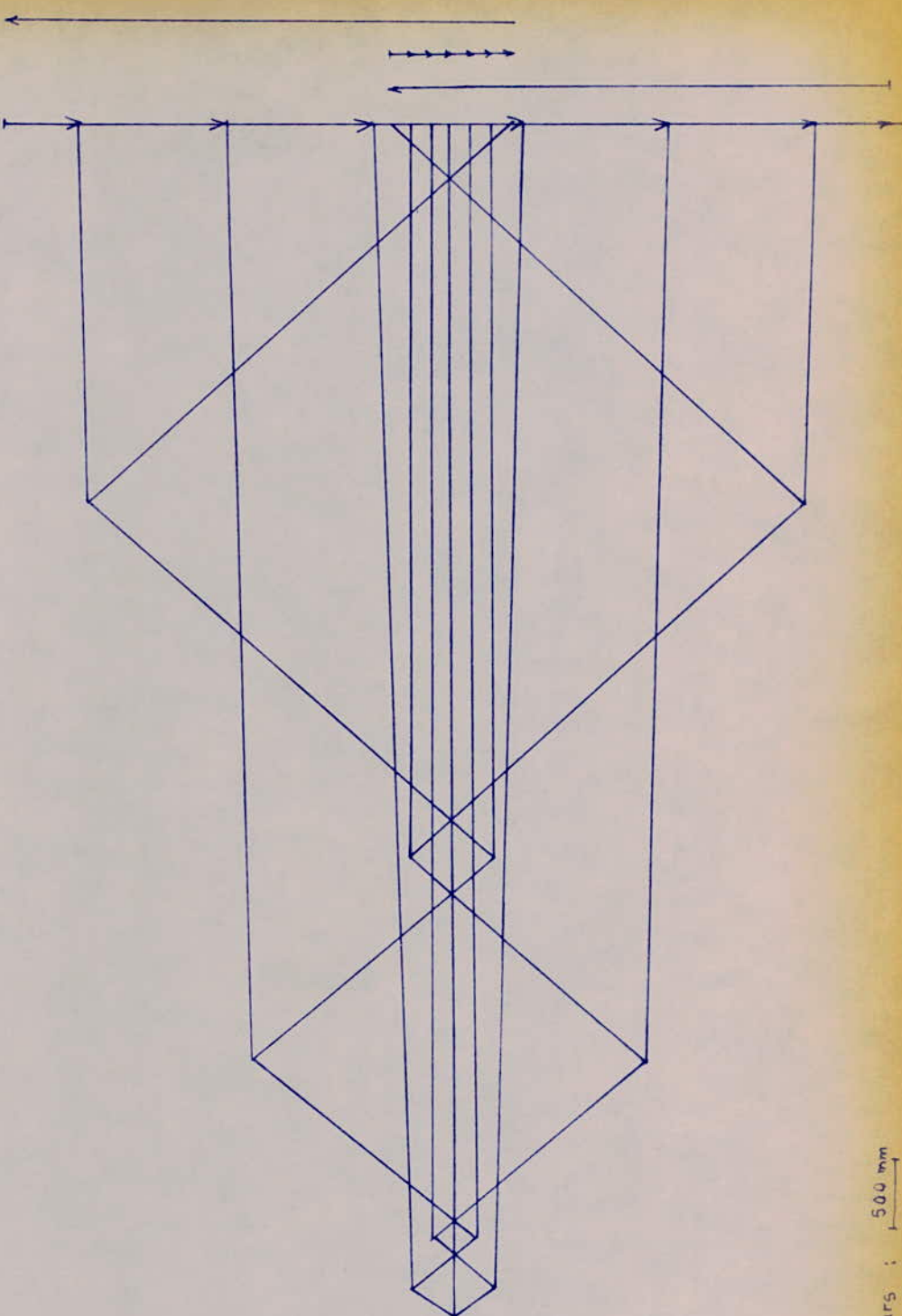
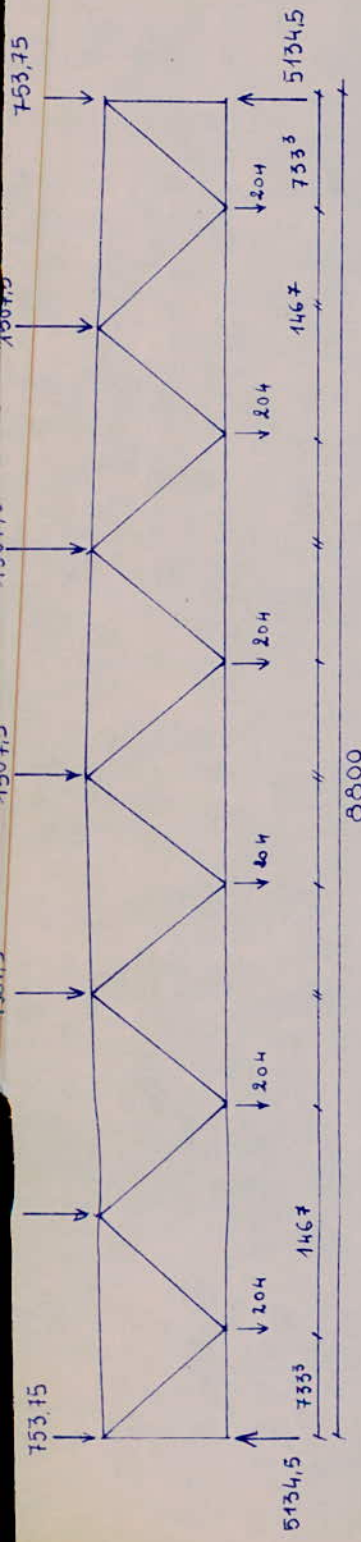
• détermination des efforts dans les barres

la méthode graphique nous donne les valeurs résumées dans le tableau suivant:

\* Gas de charge:  $\frac{4}{3} G + \frac{18}{12} (L + N_H)$ .

Date	Effort	
	Compression (kgf)	Traction (dm)
1-2	5134,5	/
1-3	0	0
1-4	3850	/
1-5	/	5810
3-6	5460	/
3-5	/	7420
4-6	9485	/
4-5	/	3220
5-6	2905	/
5-7	/	11340
6-8	11830	/
6-7	/	840
7-8	490	/
7-9	/	10110

Date	Effort	
	Compression (kgf)	Traction (dm)
8-10	11830	/
8-9		490
9-10	840	/
9-11	/	11340
10-12	9485	/
10-11	/	2905
11-12	3220	/
11-13	/	7420
12-14	3850	/
12-13	/	5460
13-14	5810	/
13-15	0	0
14-15	5134,5	/



Echelle :

des longueurs :  $\frac{500 \text{ mm}}{700 \text{ kg}}$

des Forces :

⑤ 3<sup>e</sup> Cas de charge  $G + P + N_e$ .

• Réactions aux Moults supérieurs:  $R_s$ .

$$G_s/m^2 = 10 \text{ kg/m}^2 \rightarrow G_s/m = 10 \times 1,50 = 15 \text{ kg/m}$$

$$P/m^2 = 100 \text{ kg/m}^2 \rightarrow P/m = 100 \times 1,50 = 150 \text{ kg/m}$$

$$N_e/m^2 = 33,4 \text{ kg/m}^2 \rightarrow N_e/m = 33,4 \times 1,50 = 50,10 \text{ kg/m}$$

$$q_f = G_s + P + N_e = 260,10 \text{ kg/m}$$

$$R_A = R_B = q_f \frac{l}{2} = 260,10 \times \frac{4,5}{2} = 585,225 \text{ kgs.}$$

$$R_s = 2R_A = 1170,5 \text{ kgs.}$$

• Réaction aux moults inférieurs.

elle reste inchangée :  $R_i = 204 \text{ kgs.}$

• determination des efforts dans les barres

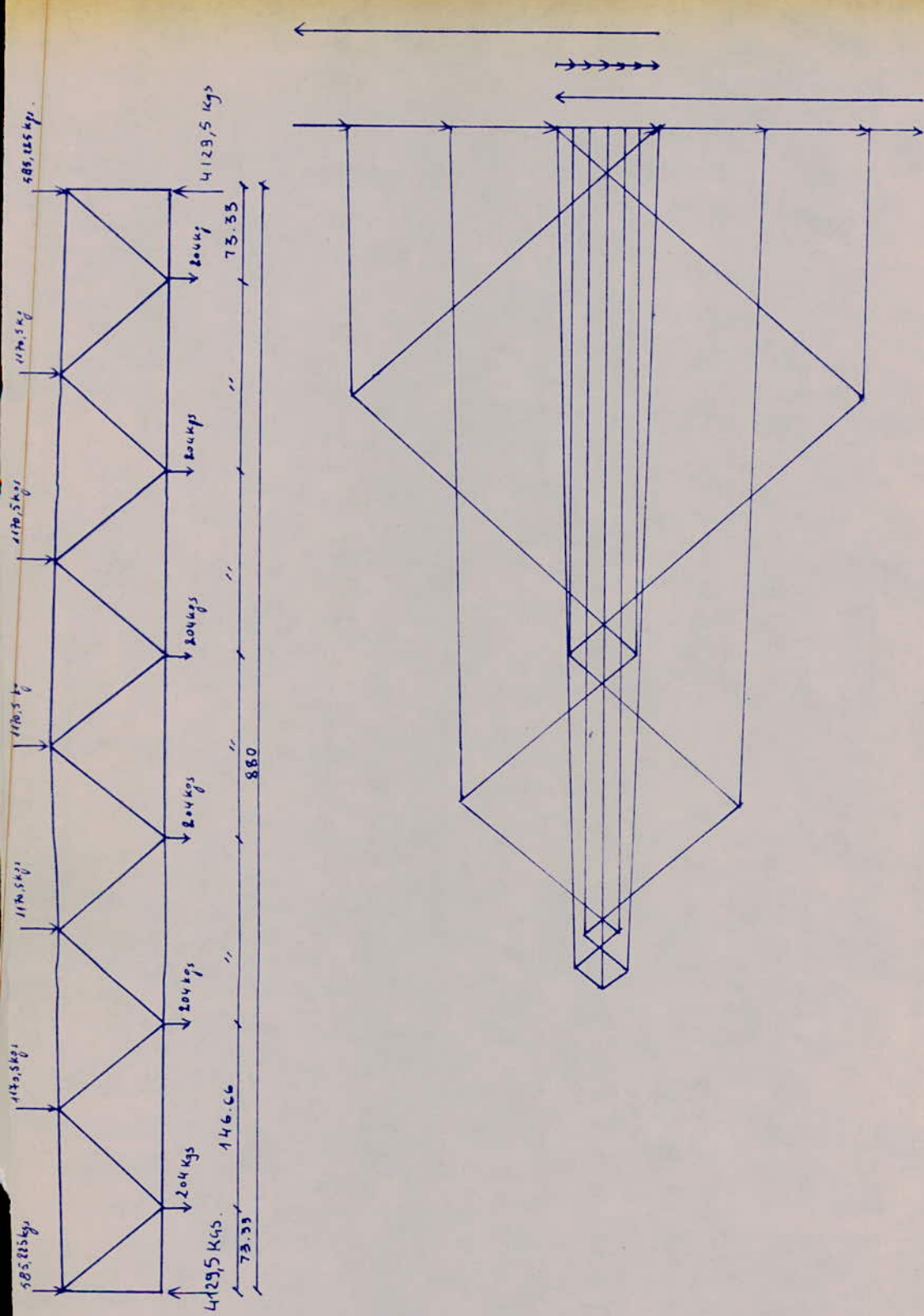
les résultats de la méthode graphique sont résumés dans le tableau suivant:

\* Cas de charge G+P+N<sub>e</sub>.

Barre	Effet		Barre	Effet	
	Compression (dan)	Traction (dan)		Compression (dan)	Traction (dan)
1-2	4129,5	/	8-10	9345	/
1-3	0	0	8-9	/	364
2-4	3010	/	9-10	630	/
2-3	/	4480	9-11	/	8360
3-4	4277	/	10-12	7455	/
3-5	/	5845	10-11	/	2310
4-6	7455	/	11-12	2555	/
4-5	/	2555	11-13	/	5845
5-6	2310	/	12-14	3010	/
5-7	/	8960	12-13	/	4277
6-8	9435	/	13-14	4480	/
6-7	/	630	13-15	0	0
7-8	364	/	14-15	4129,5	/
7-9	/	9590			

Conclusion:

Nous constatons que le cas n° 2 ( $\frac{4}{3}G + \frac{17}{12}(P+N_e)$ ), nous donne le cas le plus favorable pour la charges verticales.



Echelle:

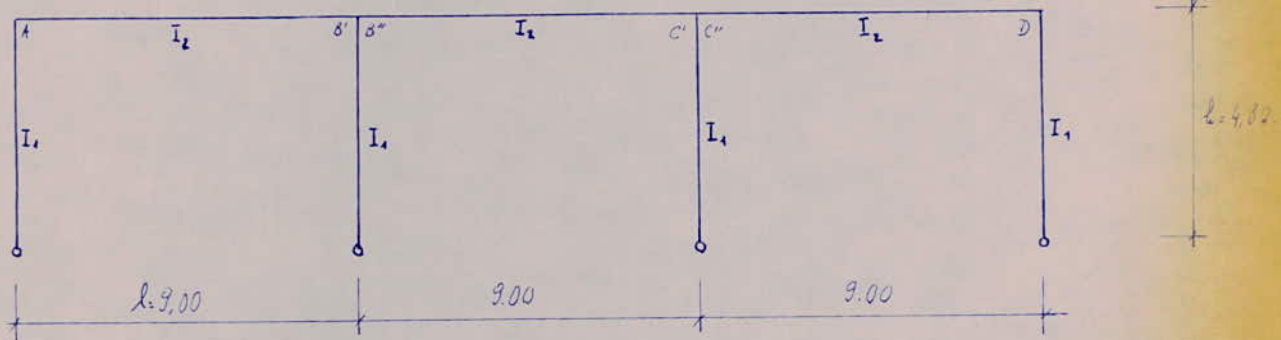
des longueurs : 50cm

des Forces : 700 kgf

### B. Calcul de la ferme aux charges horizontales.

les charges horizontales sont dues au vent.

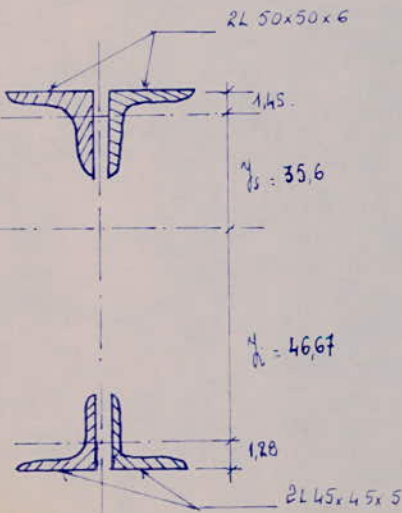
Pour le calcul de la ferme aux charges horizontales dues au vent, nous remplacerons l'action du vent par une force concentrée transmise par la console et appliquée à mi-hauteur de la ferme. Ce qui nous donne le portique suivant



Pour la détermination des moments, nous avons utilisé une méthode approchée ou bien les méthodes exactes et qui souvent très laborieuses. Les résultats obtenus ont été vérifiés.

La méthode donne sous forme de tableaux tous les moments en fonction du coefficient  $k = \frac{I_s}{I_2} \cdot \frac{h}{l}$

La ferme sera assimilée à une plaque d'inertie  $I_2$ .



$$I_2 = 2I_s + 2I_i + 2A_s y_s^2 + 2A_i y_b^2$$

$$2I_s: \text{moment d'inertie de la membrane supérieure} = 2 \times 12,84 = 25,68 \text{ cm}^4$$

$$2I_i: \text{--- --- --- --- --- --- inférieure} = 2 \times 7,84 = 15,68 \text{ cm}^4$$

$A_s$ : Section d'une corne de la membrane supérieure =  $5,69 \text{ cm}^2$

$A_i$ : --- --- --- --- --- inférieure =  $4,30 \text{ cm}^2$

$y_s$  et  $y_b$  sont respectivement la distance de l'axe neutre de la membrane supérieure et de la membrane inférieure au centre de gravité

$$y_s = 35,6 \text{ cm}$$

$$y_b = 46,67 \text{ cm}$$

$$\Rightarrow I_2 = 35435 \text{ cm}^4$$

Comme précédemment nous prendrons pour les poteaux : HEB 200.

$$\Rightarrow I_1 = 5696 \text{ cm}^4$$

$$k = \frac{I_2}{I_1} \cdot \frac{h}{l} = \frac{35435}{5696} \times \frac{h,30}{9,00} = 2,97$$

détermination de l'effort du au vent extrême.

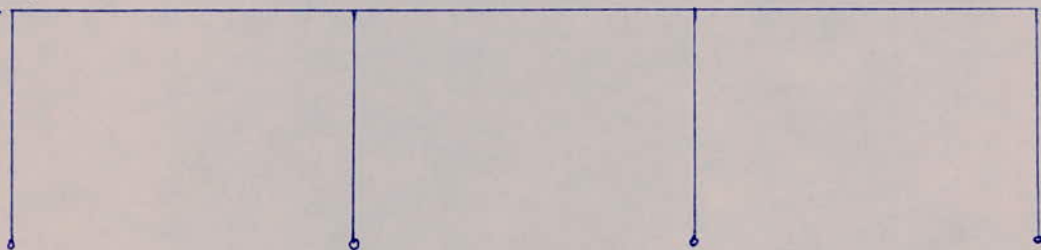
$$\text{Au vent } F_{1e} = 150,48 \times 5,45 \times 4,5 = 3693 \text{ dan.}$$

$$\text{Sous le vent } F_{2e} = 131,67 \times 5,45 \times 4,5 = 3229 \text{ dan.}$$

La forme pouvant être considérée comme infinitiment rigide ( $I_2 = 35435 \text{ cm}^4$ ) les forces  $F_{1e}$  et  $F_{2e}$  peuvent être appliquées au même point du portique : Nous aurons la force suivant soumis à la force  $F = F_{1e} + F_{2e} = 6920 \text{ dan.}$

1<sup>e</sup> Cas : Vent extrême agissant de gauche à droite :

6920 dan.

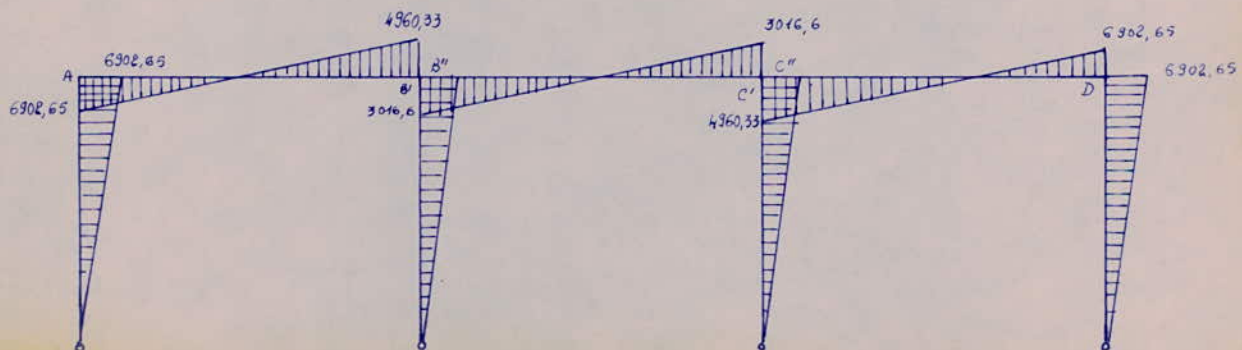


Pour  $k = 2,97$ . Nous obtenons les valeurs des moments suivants :

$$M_A = -M_D = -2319,75 \times F \cdot h \times 10^{-4} = 6902,65 \text{ dan.m.}$$

$$M_B' = -M_C'' = -1667 \times F \cdot h \cdot 10^{-4} = 4960,33 \text{ dan.m.}$$

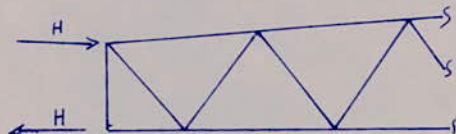
$$M_B'' = -M_C' = 1013,8 \times F \cdot h \times 10^{-4} = 3016,60 \text{ dan.m.}$$



L: 4,30

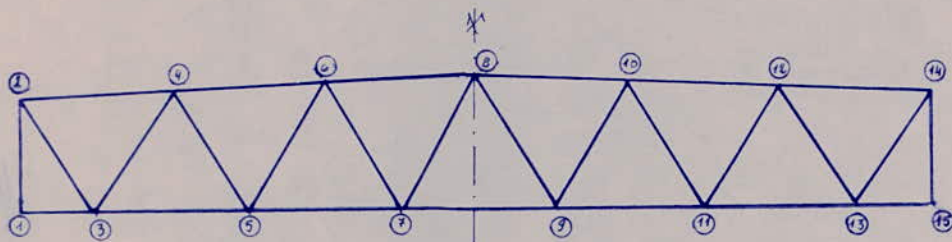
Nous avons à considérer la forme du milieu.

Le moment  $M_H$ , peut être décomposé en un couple de force  $H$  appliqués à la membrane supérieure et la membrane inférieure.



$$H = \frac{M}{l_{med}} \quad l_{med} = \frac{1}{2}(0,80 + 0,90) = 0,85 \text{ cm}$$

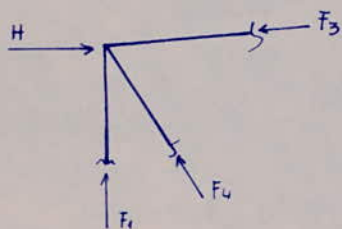
$$H = \frac{3016,6}{0,85} = 3548,9 \text{ dan.} \quad \Rightarrow \quad H \approx 3,55 \text{ t.}$$



Pour la détermination des efforts dans les différentes barres, nous utiliserons la méthode d'isolation des noeuds.

Nous déterminerons les efforts pour le noeud n° 2 et nous donnerons les efforts pour les autres noeuds sous forme de tableau.

Noeud n° 2



$$\sum \rightarrow = 0 = H - 0,999 F_3 - 0,64 F_4 = 0$$

$$\sum \uparrow = 0 = 0,0287 F_3 - 0,77 F_4 = 0$$

$$\Rightarrow F_4 = 0,103t$$

$$\Rightarrow F_3 = 3,49t$$

Nœud	barre	Effort (tonnes)	Nœud	barre	Effort (tonnes)	Nœud	barre	Effort (tonnes)
1	1-3	$F_2 = 3,55$	2	2-3	$F_{12} = 0,094$	3	3-4	$F_{25} = 0,0846$
1	1-2	$F_4 = 0,00$	2	2-4	$F_{13} = 0,094$	3	3-5	$F_{26} = 3,52$
2	2-3	$F_5 = 3,49$	3	3-6	$F_{14} = 3,163$	4	4-5	
2	2-4	$F_6 = 0,103$	3	3-4	$F_{15} = 3,22$	5	5-6	
3	3-5	$\bar{F}_5 = 0,109$	4	4-6	$F_{16} = 0,083$	6	6-7	
3	3-5	$\bar{F}_6 = 3,405$	4	4-6	$F_{17} = 3,27$	7	7-8	
4	4-5	$\bar{F}_8 = 0,098$	5	5-6	$F_{18} = 3,34$	8	8-9	
4	4-6	$F_4 = 3,35$	5	5-7	$F_{19} = 0,095$	9	9-10	
5	5-6	$\bar{F}_9 = 0,100$	6	6-7	$F_{20} = 0,0926$	10	10-11	
5	5-7	$F_{10} = 3,28$	6	6-8	$F_{21} = 3,36$	11	11-12	
6	6-8	$\bar{F}_{11} = 3,830$	7	7-8	$F_{22} = 3,46$	12	12-13	
6	6-9	$\bar{F}_{12} = 0,0924$	7	7-9	$F_{23} = 0,0926$	13	13-14	

Remarque :  
Le sens de l'effort est celui indiqué  
par le sens de la flèche pour chaque  
frame de la forme.

Noeud	barre	effort (tonnes)	Noeud	barre	effort (tonnes)	Noeud	barre	effort (tonnes)
1			2			3		
4	- 3	$F_2 = 3,55$	5			6		
7	- 4	$F_1 = 0,100$	8			9		
10	- 5	$F_3 = 3,49$	11			12		
13	- 6	$F_4 = 0,103$	14			15		
1			2			3		
4	- 3	$F_5 = 0,103$	5			6		
7	- 4	$F_6 = 3,405$	8			9		
10	- 5	$F_7 = 0,098$	11			12		
13	- 6	$F_8 = 3,35$	14			15		
1			2			3		
4	- 3	$F_9 = 0,100$	5			6		
7	- 4	$F_{10} = 3,28$	8			9		
10	- 5	$F_{11} = 3,23$	11			12		
13	- 6	$F_{12} = 0,0924$	14			15		

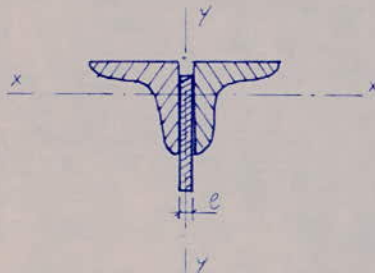
Remarque:  
Le sens de l'effort est celui indiqué  
sur le sens de la flèche pour chaque  
barre du schéma.

- Cas du vent extrême Soutffrant  
de droite à gauche.

$F_{25} = 0,876$   
 $F_{26} = 3,52$ .

### Dimensionnement des barres de la ferme.

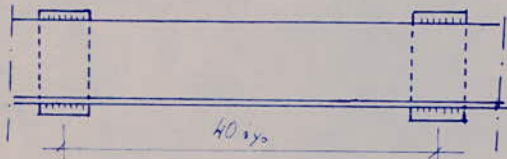
Le section des membres et des diagonales seront constituées par des corniers à ailes égales.



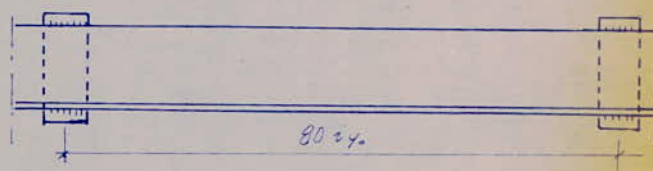
L'épaisseur du gousset, e sera prise en fonction de l'effort N dans le diagonal et de l'affut de la forme.

$$N = 5913 \text{ daN} \Rightarrow e = 8 \text{ mm.}$$

Les barres de la forme sont calculées comme des pièces à âmes plates comprimées ou tendues. Or en réalité la section de barre est complexe, pour pouvoir les calculer comme des pièces à âmes plates, on évite le flambage local en interposant des fourreaux entre les corniers.



Pièces comprimées.



Pièces tendues.

#### Remarques :

- ① Le pratique a démontré que les plus petites dimensions des corniers utilisés dans la ferme sont 45x45x5 pour les formes soudées.  
60x60x5 pour les formes rivetées.

- ② On note que le portée de notre ferme n'étant que de 9,0m; on n'aura pas besoin de changer la section des membres et on n'utilisera pas plus de 6 types de corniers différents.

### I/ Calcul des membrures supérieurs.

On calculera la membrure supérieure sous l'effort maximum de compression  $N = 15060$  dan. Nous donnerons un exemple de calcul pour une barre et nous donnerons le résultats pour les autres barres sous forme de tableau.

Predimensionnement: Soit  $\lambda = 85$   
 $\Rightarrow K = 1,547$ .

$$A \geq \frac{NK}{\sigma_e} = \frac{15060 \times 1,547}{2400} = 9,7 \text{ cm}^2.$$

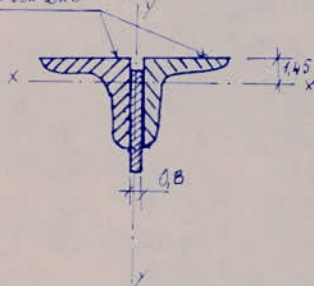
$$l_x = 0,9l_0 \quad (\text{longueur de flambement dans le plan de la forme})$$

$$l_y = l_0 \quad (\text{longueur de flambement dans le plan } \perp \text{ au plan de la forme.})$$

$$l_x = 0,9 \times 147 = 132,3 \text{ cm.}$$

$$l_y = 147 \text{ cm.}$$

Nous prenons une section formée de  $2L50 \times 50 \times 6$  d'aire  $A = 2 \times 5,69 = 11,38 \text{ cm}^2$ .



$$I_{xx} = I_{yy} = 18,84 \text{ cm}^4$$

$$i_x = 1,50 \text{ cm.}$$

$$I_x = 2I_{x_0} = 2 \times 12,84 = 25,68 \text{ cm}^4.$$

$$I_y = 2I_{y_0} + 2A_0 (1,48 + 0,4)^2 = 2 \times 18,84 + 2 \cdot 11,38 (1,85)^2 = 103,57 \text{ cm}^4.$$

$$i_y = \frac{I_y}{A} = 3,06 \text{ cm.}$$

$$i_x = 1,50 \text{ cm.}$$

$$\lambda_y = \frac{l_y}{i_y} = \frac{147}{3,06} = 48,74 \quad \Rightarrow \quad \alpha_{\max} = \lambda_x = 88,2 \quad \Rightarrow \quad \sigma_x = 2664,8 \text{ dan/cm}^2.$$

$$\lambda_x = \frac{l_x}{i_x} = \frac{132,3}{1,50} = 88,2$$

$$\sigma = \frac{N}{A} = \frac{15060}{11,38} = 1323,37 \text{ dan/cm}^2 \quad \Rightarrow \quad \mu = \frac{\sigma_e}{\sigma} = 2,01.$$

$$K_t = \frac{\mu-1}{\mu+1,5} = 1,42.$$

Vérification :

$$\chi, \sigma \leq \sigma_e.$$

$$1,42 \times 1323,37 = 1879,2 \text{ dan/cm}^2 < 2400 \text{ dan/cm}^2.$$

## II/ Calcul de la membrure inférieure.

on le dimensionnera sous l'effort maximum de traction  $N = +15273 \text{ dan}$ .

$$A_{\text{act}} \geq \frac{N}{\sigma_e} = \frac{15273}{8400} = 6,36 \text{ cm}^2.$$

Par mesure constructive nous trouvons une section faite de  $2L45 \times 45 \times 5$ . d'aire  $A = 2 \cdot 4,30 = 8,60 \text{ cm}^2$ .

Vérification:  $\frac{N}{4} \leq \sigma_e$

$$\frac{15273}{8,60} = 1775,93 \text{ dan/cm}^2 < 2400 \text{ dan/cm}^2.$$

## III Calcul des diagonales.

Il existe deux types de diagonales - les diagonales comprimées.  
- les diagonales tendues.

### • Diagonale Comprimée

L'effort maximum est  $N = -5569 \text{ dan}$ .

$$\text{soit } d = 90 \Rightarrow K = 1,651.$$

$$l_x = 0,8l_o = 0,8 \times 110 = 88 \text{ cm}$$

$$l_y = l_o = 110 \text{ cm.}$$

$$A_3 \geq \frac{NK}{\sigma_e} = \frac{5569 \times 1,651}{8400} = 3,82 \text{ cm}^2.$$

par mesure constructive nous trouvons une section faite de  $2L45 \times 45 \times 5$  dans  $A = 2 \cdot 4,30 = 8,60 \text{ cm}^2$ .

$$I_{x_0} = I_{y_0} = 7,84 \text{ cm}^4.$$

$$i_x = 1,35 \text{ cm}$$

$$I_y = 2I_{y_0} + 2Ad^2 = 2 \cdot 7,84 + 2 \cdot 4,30 (1,35 + 0,4)^2 = 39,95 \text{ cm}^4.$$

$$i_y = \sqrt{\frac{I_y}{A}} = 2,15 \text{ cm.}$$

$$\lambda_x = \frac{l_x}{i_x} = \frac{88}{1,35} = 65,2$$

$$\Rightarrow \lambda_{\max} = 65,2 \implies$$

$$\sigma_k = 4846,4 \text{ dan/cm}^2.$$

$$\lambda_y = \frac{l_y}{i_y} = \frac{110}{2,15} = 51,16$$

$$\rightarrow$$

$$\mu = \frac{\sigma_k}{\sigma} = 7,53$$

$$\sigma = \frac{N}{A} = \frac{5569}{8,6} = 647,56 \text{ dan/cm}^2$$

$$K_1 = \frac{\mu - 1}{\mu - 1,3} = 1,048$$

Vérification:  $K_1 \sigma \leq \sigma_e$

$$1,048 \times 647,56 \leq 648,64 \text{ dan/cm}^2 < 2400 \text{ dan/cm}^2.$$

Remarque: les diagonales tendues seront calculées de la même façon que les membrures inférieures.  
les résultats sont donnés dans le tableau récapitulatif.

### Calcul des soudures.

La soudure n'étant généralement pas très facile à exécuter impose certains règles pratiques pour faciliter le travail du soudeur. Parmi ces règles nous citerons celles qui contribuent à réduire la plus possible le nombre des différents épaisseurs de cordons à exécuter.

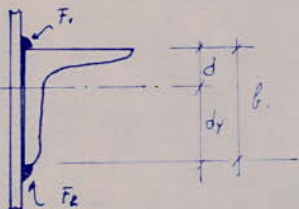
- dans la soudure d'angle, l'épaisseur théorique  $a$  du cordon d'une part ne sera pas inférieure à  $a_{\min}$  qui est fonction de la plus forte épaisseur des pièces à assembler.

- d'autre part elle ne sera pas supérieure à la valeur :

- pour le cordon exécuté le long du bord de cornière :  $a_{\max} \leq 0,7 e_{\min}$ .

- pour le cordon exécuté le long du talon de cornière :  $a_{\max} \leq 0,84 e_{\min}$ .

- d'autre part la répartition des efforts suivant que le cordon est situé le long du talon ou le long du bord de la cornière est différente.



$$F_1 = F \frac{dy}{b}$$

$$F_2 = F \frac{d - dy}{b}$$

Pour la cornière à angles égaux nous avons :

$$\frac{dy}{b} = 0,45$$

$$\frac{d}{b} = 0,85$$

### Calcul des cordons de soudure.

Le calcul se fera de la façon suivante.

- Calcul des soudures fixant la diagonale, on fixera l'épaisseur  $a$  du cordon située le long du talon de la cornière.

$$a_{\min} = 3 \text{ mm.}$$

$$a_{\max} \leq 0,84 e_{\min}.$$

on fixera une épaisseur  $a$

- la longueur théorique du cordon est donnée par :

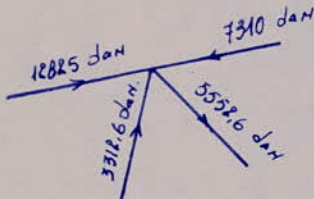
$$l_{t3} = \frac{0,7N}{2 \times 0,75 \times da \times 5e}$$

- la longueur réelle est  $l_t + 2a$ .

- on trace le contour du joint et on fixe la longueur des autres cordons. On calcule enfin les épaisseurs de ces cordons.

A l'aide d'exemple nous calculerons les cordons d'un noeud de la ferme, les autres cordons seront posés directement sur le plan de détail des noeuds.

### Noeud 12.



• diagonale N° (12-13)       $N = 5552,6 \text{ daN.}$

$$\alpha_{\min} = 3 \text{ mm.} \quad \Rightarrow \quad \alpha = \alpha_{\min} = 3 \text{ mm.} \Rightarrow \alpha = 3 \text{ mm.}$$

$$\alpha_{\max} = 0,84 \times 5 = 4,2 \text{ mm.}$$

$$l_{13} = \frac{0,75 \times 5552,6}{2 \times 0,75 \times 0,3 \times 2400} = 3,85 \text{ cm. Soit } 4 \text{ cm.}$$

$$l = l_1 + 2a = 2 \times 6 + 40 = 46 \text{ mm. Soit } 50 \text{ mm.}$$

on trace le bouture du jambet et on gère la longueur des autres cordons.

$$l_2 = 30 \text{ mm} \quad \alpha_2 a_2 \geq \frac{0,3 \times 5552,6}{2 \times 0,75 \times 2400 \times (l_2 - 1)} = 0,2. \quad \text{Soit } \alpha_2 a_2 = 3 \text{ mm.} \\ \Rightarrow \alpha_2 = 3 \text{ mm.}$$

• diagonale N° (11-12)       $N = 3312,8 \text{ daN.}$

$$l_1 = 50 \text{ mm} \Rightarrow \alpha_1 a_1 \geq \frac{0,7 \times 3312,8}{2 \times 0,75 \times 2400 \times (5 - 0,6)} = 0,146 \text{ cm.}$$

$$\text{Soit } \alpha_1 = 3 \text{ mm} \Rightarrow \alpha_1 a_1 = 3 \text{ mm} > 1,46 \text{ mm.}$$

$$l_2 = 40 \text{ mm} \Rightarrow \alpha_2 a_2 \geq \frac{0,3 \times 3312,8}{2 \times 0,75 \times 2400(4 - 0,6)} = 0,081 \text{ cm.}$$

$$\text{Soit } \alpha_2 = 3 \text{ mm} \Rightarrow \alpha_2 a_2 = 3 \text{ mm} > 0,081 \text{ mm.}$$

• membrane supérieure.       $N = 12825 - 7310 = 5515 \text{ daN.}$

$l_1 = 210 \text{ mm}$  pour mesure constructrice.

$$\alpha_1 a_1 \geq \frac{0,7 \times 5515}{2 \times 0,75 \times 2400(21 - 8)} = 0,088 \text{ cm.}$$

$$\text{Soit } \alpha_1 = \alpha_{\min} = 3 \text{ mm.}$$

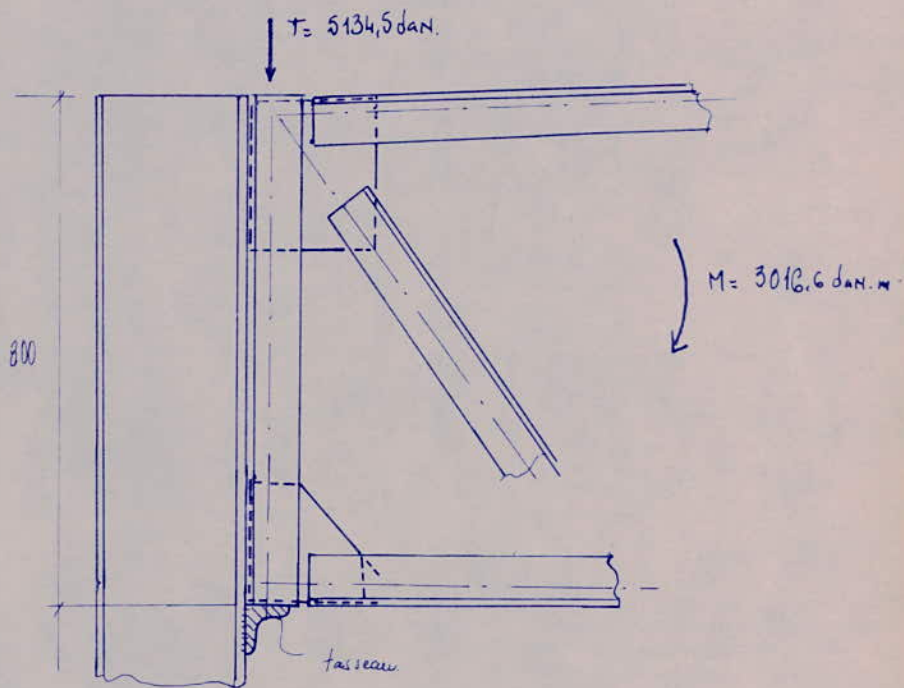
$l_1 = 200 \text{ mm}$

$$\alpha_2 a_2 \geq \frac{0,3 \times 5515}{2 \times 0,75 \times 2400(20 - 8)} = 0,038 \text{ cm.}$$

$$\text{Soit } \alpha_2 = \alpha_{\min} = 3 \text{ mm.}$$

### Calcul de l'assemblage ferme principal - poteau.

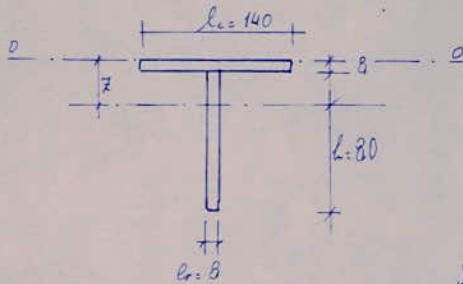
On que dans le calcul des poteaux on considère qu'ils sont encastrés à leur partie supérieure, on force en sorte que l'assemblage ferme poteau assure un certain encastrement ; ceci est obtenu en donnant une hauteur à l'attache. (voir fig ci-dessous).



#### • Calcul du tasseau.

Le tasseau sera calculé sous l'effort  $T = 5134,5 \text{ dan}$  due à la réaction de la ferme.

Nous utiliserons un tasseau formé de deux plats.



$$l_c = 2 \times 45 + 8 + 8,80 = 138 \text{ mm} \quad \text{soit} \quad l_c = 140 \text{ mm.}$$

Le tasseau sera calculé à flexion ensuite que l'étalement

d'après le C.M.GG on peut affirmer que tout l'effort tranchant est repris par le raidisseur du tasseau.

#### Vérification au cisaillement :

$$\frac{l_3}{l_2} \cdot \frac{2,31 T}{\sigma_{ct}} = \frac{2,31 \times 5134,5}{0,8 \times 8400} = 6,17 \text{ cm.}$$

Sont  $h = 8 \text{ cm.}$

### Vérification de la flexion

$$z = \frac{S_{0,0}}{A} = \frac{14 \times 0,8 \times 0,4 + 8 \times 0,8 \times 4,8}{14 \times 0,8 \times 8 \times 0,8} = 2 \text{ cm.}$$

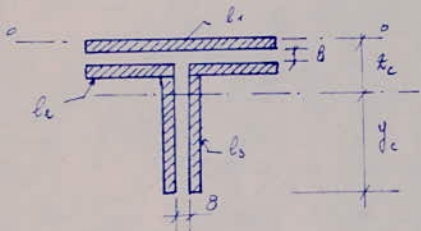
$$I = \frac{14 \times 0,8^3}{12} + \frac{8^3 \times 0,8}{12} + 14 \times 0,8 (2 \cdot 0,4)^2 + 8 \times 0,8 (4,4 \cdot 2)^2 = 100,26 \text{ cm}^4$$

$$W_{\min} = \frac{I}{(h+0,8) \cdot z} = \frac{100,26}{(8+0,8) \cdot 2} = 14,74 \text{ cm}^3$$

$$C: 70 \text{ mm} \Rightarrow \text{le moment de flexion sera } M = \frac{T_c c}{2} = 5134,5 \times \frac{7}{2} = 17970,75 \text{ dan.cm.}$$

$$\sigma = \frac{M}{W_{\min}} = \frac{17970,75}{14,74} = 1219,2 \text{ dan/cm}^2 < 50.$$

### Calcul des cordons de soudure fixant le tasseau.



$$a_{\min} = 3 \text{ mm}$$

$$a_{\max} = 0,84 \text{ emin} = 0,84 \times 0,8 = 0,672 \text{ cm.}$$

Soit ou:  $a = 4 \text{ mm.} \Rightarrow \alpha a = 4 \text{ mm.}$

$$l_1 = 140 - 2 \times 4 = 132 \text{ mm.}$$

$$l_2 = \frac{1}{2} (140 - 8 - 2 \times 4) = 62 \text{ mm.}$$

$$l_3 = (h - 2 \times 4) = 72 \text{ mm.}$$

$$z_c = \frac{S_{0,0}}{A_c} = 2,72 \text{ cm.}$$

$A_c$ : section des cordons de soudure.

$$I_c = 102,6 \text{ cm}^4$$

$I_c$ : moment d'inertie des cordons de soudure.

$$W_{c,c} = \frac{I_c}{y_c} = \frac{102,6}{6,88} = 14,91 \text{ cm}^3.$$

### Vérification:

$$1,35 \sqrt{\left(\frac{M}{W_c}\right)^2 + \left(\frac{T}{A_c}\right)^2} \leq 50.$$

$$1,35 \sqrt{\left(\frac{17970,75}{14,91}\right)^2 + \left(\frac{5134,5}{18,64}\right)^2} = 1236,35 \text{ dan/cm}^2 < 2400 \text{ dan/cm}^2.$$

Calcul de l'assemblage rivé ferme-poteau.

- L'assemblage est suffisamment étayé pour ne pas être exposé aux intemperies.

- on utilisera des boulons ordinaires pour la réalisation de cet assemblage.

$$\begin{aligned}\phi &= 22 \text{ mm.} & \Rightarrow d &= 22 + 2 = 24 \text{ mm.} \\ A &= 3,38 \text{ cm}^2 \\ Ar &= 3,03 \text{ cm}^2.\end{aligned}$$

$$d \geq e_2 + 2 \Rightarrow 24 > 8 + 2$$

$$\frac{d}{e} = \frac{24}{12} = 1,6 < 3 \Rightarrow \text{la vérification à la portion diamétrale n'est pas nécessaire.}$$

- on déterminera le nombre de boulons comme pour un assemblage soumis à la flexion d'abord l'effort maximum par boulon est :  $\frac{1,25 F}{Ar} \leq \sigma_c \Rightarrow F \leq \frac{8400 \times 3,03}{1,25} = 5817,6 \text{ dan.}$

- disposons les boulons suivant la verticale.

$$3d \leq \delta_c \leq 10d \quad 72 \leq \delta_c \leq 240 \Rightarrow \delta_c = 175 \text{ mm.}$$

$$\left\{ \begin{array}{l} 1,5d \\ \frac{1,25}{e \sigma_c} \end{array} \right\} \leq \delta_{l_1} \leq 2,5d \quad \left\{ \begin{array}{l} 36 \\ \frac{0,8587,6}{0,5 \times 2400} \end{array} \right\} \leq \delta_{l_1} \leq 60 \Rightarrow \delta_{l_1} = 50 \text{ mm.}$$

$$n \geq \frac{M y_{max}}{F \sum y_i^2} = \frac{3016,16 \times 10^2 \times 70}{5817,6 \times (70^2 + 52,5^2 + 35^2 + 17,5^2)} = 0,32.$$

Soit  $m=2$  avec la réserve que ça résiste à l'effort tranchant  $T$

Vérifications.

$$T_M = \frac{M y_{max}}{n \sum y_i^2} = \frac{3016,16 \times 10^2 \times 70}{2 \times 9187,5} = 1149,17 \text{ kgs.}$$

$T_M'' = 0$  (disposition symétrique des boulons).

$T_H = 0$  (cas d'effort normal)

$$T_t = \frac{T}{n \cdot m} = \frac{5134,5}{2 \times 5} = 513,45 \text{ dan.}$$

$m$ : n° de boulons par fil vertical.

1<sup>e</sup> vérification:

$$1,25 \frac{N}{Ar} \leq \sigma_c \quad N = T_M + T_H = 1149,17 \text{ dan.}$$

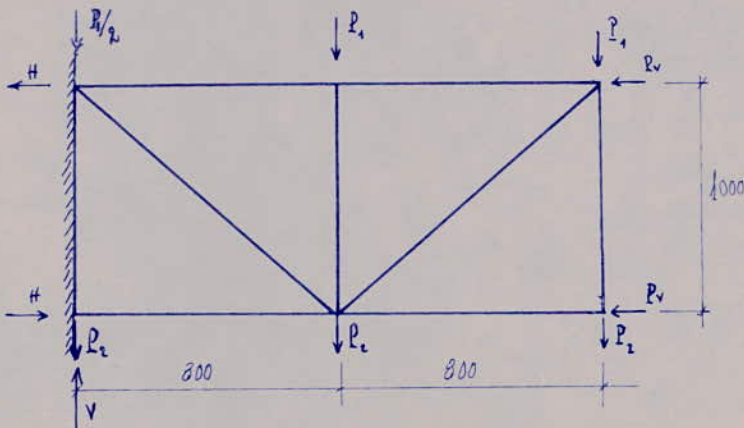
$$1,25 \times \frac{1149,17}{3,03} = 474,08 \text{ dan/cm}^2 < 8400 \text{ dan/cm}^2.$$

2<sup>e</sup> vérification :

$$\sqrt{\frac{N^2 + 2,36 T_t^2}{Ar}} \leq \sigma_c \Rightarrow \sqrt{\frac{1149,17^2 + 2,36 \times (513,45)^2}{3,03}} = 460 \text{ dan/cm}^2 < 8400 \text{ dan/cm}^2$$

### C. Calcul de la Console.

Pour le calcul de la console nous avons mégligé le pente qui est très faible.



#### ① Calcul aux charges verticales.

$P_1$ : réaction des pannes sur le noeud supérieur.

$P_1'$ : réaction due au poids propre de la console et aux charges permanentes et d'exploitation au noeud inférieur.

$$* 1^{\text{er}} \text{ Cas de charge. } \frac{h}{3} G + \frac{3}{2} P$$

$G_{\text{super}} = 32 \text{ kg/m}$  (charge permanente pour les noeuds supérieurs)

$G_{\text{inf}} = 102 \text{ kg/m}$  (" " " " " " inférieure).

$P_{\text{ml}} = 0,8 \times 100 = 80 \text{ kg/m}$  (Surcharge d'exploitation)

$$\frac{h}{3} G + \frac{3}{2} P = 162,67 \text{ kg/ml.}$$

$$P_1 = 2 \times \frac{4,5}{2} \times 162,67 = 732 \text{ kgs.}$$

$$P_2 = 0,8 \times \frac{4}{3} \times G_i = 109 \text{ kgs.}$$

Determination des réactions verticales et horizontales:

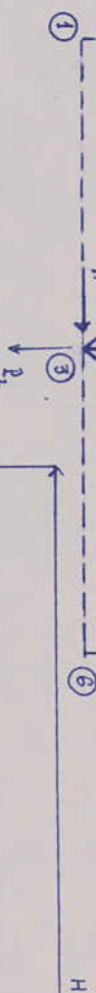
$$V = 2,5(P_1 + P_2) = 8102,5 \text{ kgs.}$$

$$H = \frac{2,4(P_1 + P_2)}{1} = 2018,4 \text{ kgs.}$$

Pour la détermination des effets dans les différentes barres de la console, nous avons tracé le diagramme de Cremona - Maxwell.

Pour cela nous avons remplacé la console par un système équivalent (voir fig ci-dessous).

fig. C.05:



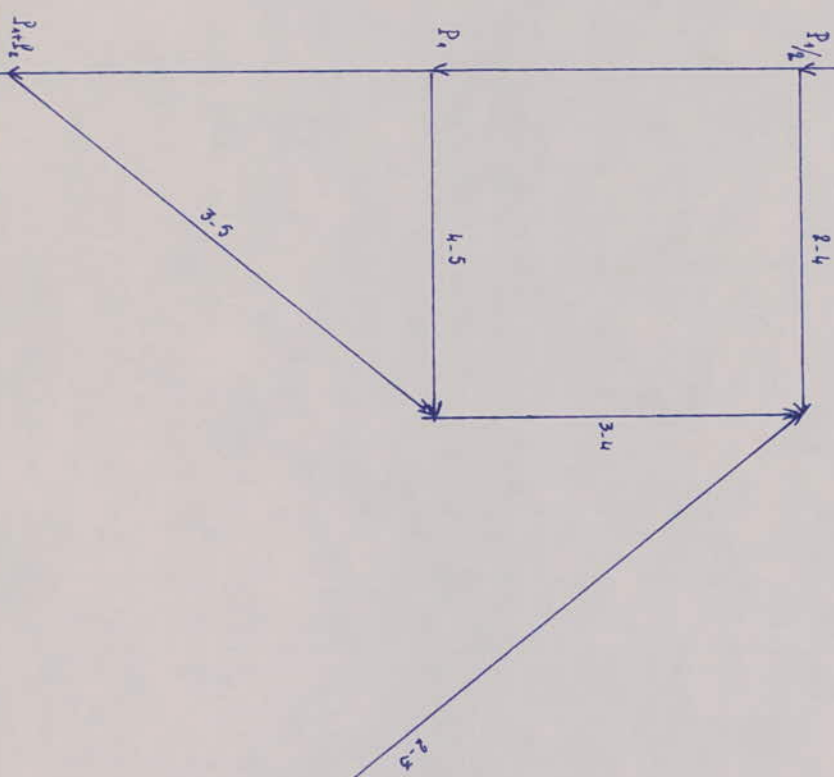
$P_1 = 732 \text{ kgs}$   
 $P_2 = 109 \text{ kgs}$   
 $H = 2018,4 \text{ kgs}$   
 $V = 2012,5 \text{ kgs}$

Echelle:

des Forces:

150kgs

des longueurs: 20cm



\* 2<sup>e</sup> Cas de charge.       $\frac{h}{3} G + \frac{17}{12} (P+N)$

$$G_{s/ml} = 32 \text{ kg/ml}$$

$$G_i/ml = 102 \text{ kg/ml}$$

$$N_m/ml = 0,8 \times 80 = 16 \text{ kg/ml.}$$

$$\frac{h}{3} G_s + \frac{17}{12} (P+N) = \frac{h}{3} \cdot 32 + \frac{17}{12} (80+16) = 178,67 \text{ kg/m}$$

$$P_1 = 2 \times \frac{4,5}{2} \times 178,67 = 804 \text{ kgs.}$$

$$P_2 = 0,8 \times \frac{4}{3} \times 102 = 109 \text{ kgs.}$$

determination des réactions verticales et horizontales.

$$V = 2,5(P_1 + P_2) = 2882,5 \text{ kgs}$$

$$H = \frac{2,4(P_1 + P_2)}{1} = 2191,2 \text{ kgs.}$$

les efforts dans les barres sont données par le diagramme de Cremona - Maxwell.

\* 3<sup>e</sup> Cas de charge:  $G + P + N_e$ .

$$G_{s/ml} = 32 \text{ kg/ml}$$

$$N_e/ml = 33,4 \times 0,8 = 26,72 \text{ kg/ml}$$

$$G_i/ml = 80 \text{ kg/ml}$$

$$G_s + P + N_e = 138,72 \text{ kg/ml.}$$

$$P_1 = 2 \times \frac{4,5}{2} \times 138,72 = 624 \text{ kgs.}$$

$$P_2 = 0,8 \times \frac{4}{3} \times 102 = 109 \text{ kgs.}$$

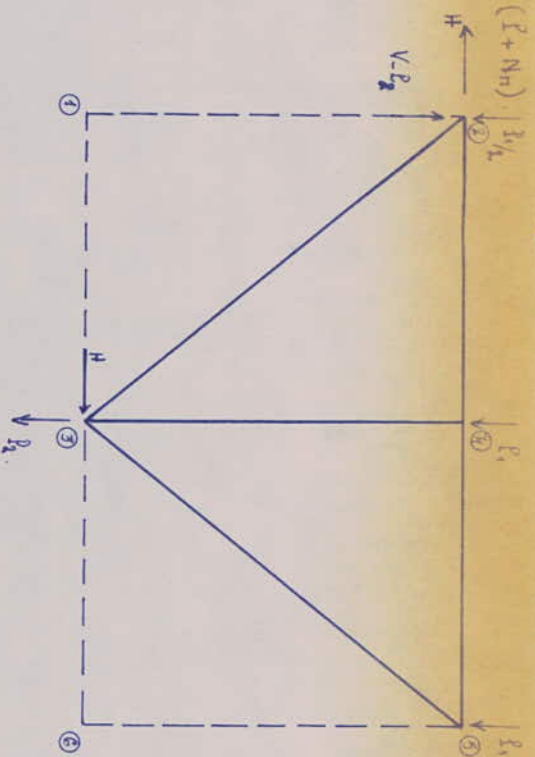
determination des réactions verticales et horizontales.

$$V = 2,5(P_1 + P_2) = 16838,5 \text{ kgs.}$$

$$H = \frac{2,4(P_1 + P_2)}{1} = 1759,2 \text{ kgs}$$

les efforts dans les barres sont données par le diagramme de Cremona - Maxwell.

$$\frac{2^2}{3} \cos \beta = \frac{4}{3} G + \frac{\sqrt{3}}{12} (P_1 + N_h) \cdot \frac{3\sqrt{3}}{4}$$

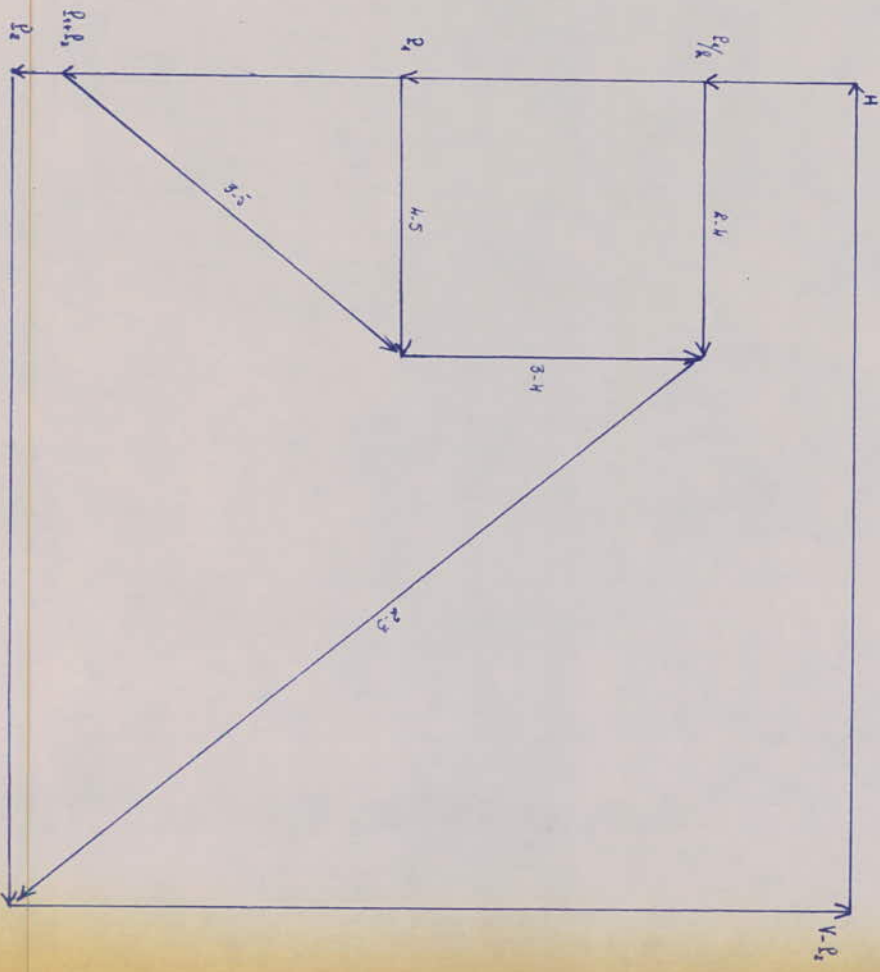


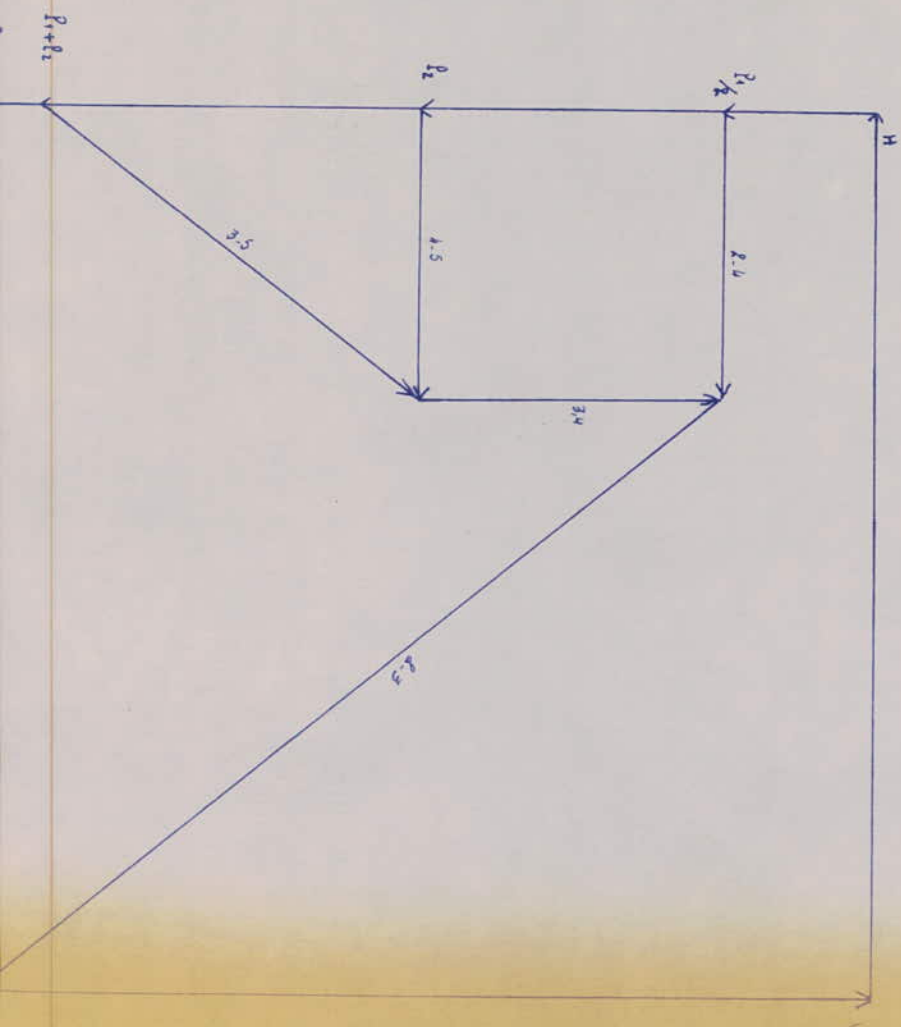
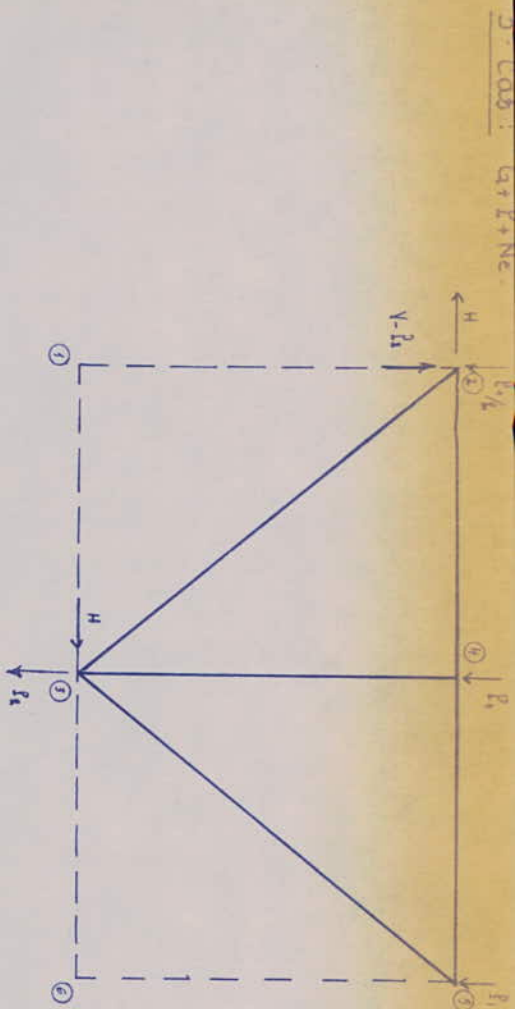
$$\begin{aligned} P_1 &= 304 \text{ kips.} \\ P_2 &= 109 \text{ kips.} \\ H &= 2191.2 \text{ kips} \\ V &= 2238.5 \text{ kips.} \end{aligned}$$

Echelle:

des Forces: 200 kips

des longueurs: 20 cm





Echelle: des Forces:  
des longueurs:

150Kgs  
20cm

$P_1 = 624 \text{ kgs}$ .  
 $P_2 = 109 \text{ kgs}$ .  
 $H = 1753,2 \text{ kgs}$ .  
 $V = 16032,5 \text{ kgs}$ .

EFFORTS DANS LE BARRES DUS AUX CHARGES VERTICALES.

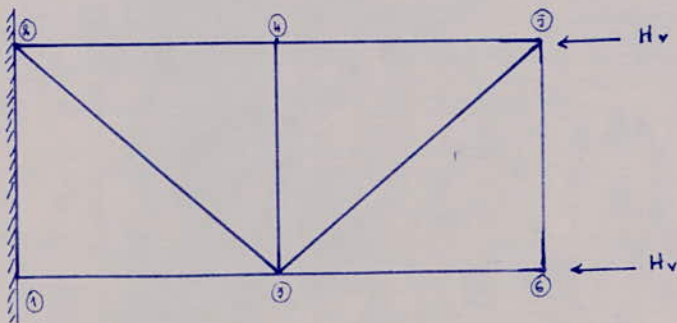
Barre	$\frac{4}{3}G + \frac{3}{\ell}P$	$\frac{4}{3}G + \frac{17}{18}(P+N_n)$	$G+P+N_e$
1-2	- 2048	- 2228	- 1778
1-3	- 2018,4	- 2191,2	- 1759,8.
2-3	+ 2145	+ 2340	+ 1183
2-4	+ 682,5	+ 730	+ 577,5
3-4	- 732	- 804	- 624
3-6	0	0	0
5-6	0	0	0
4-5	+ 682,5	+ 730	+ 577,5
3-5	- 1080	- 1180	- 945

Remarque: les efforts de traction sont moins favorables.

les efforts de compression sont moins négatifs.

II Calcul de la console aux charges horizontales.

1<sup>e</sup> Cas : vent normal.



Nous assimilons l'action du vent sur la console à deux forces égales appliquées à la membrure supérieure et inférieure de la console.

$$H_{vn} = \frac{1}{2} g_{vn} \times 5,45 \times 4,50 = \frac{1}{2} \times 85,73 \times 5,45 \times 4,50 = \frac{2102,5}{2} \text{ kgs.}$$

Pour la détermination des effets dans les barres nous utiliserons la méthode d'isolation des noeuds. Les effets sont donnés dans le tableau suivant :

Nœud	barres	Effort (daN)
(1)	1-2	0
(2)	1-3	1051,25
(3)	2-3	0
(4)	4-3	0
(5)	4-5	1051,25
(6)	5-6	0
	6-3	0
	1051,25	

Diagram below the table showing force distributions at node 3:

- Node 3: Six force components labeled F<sub>1</sub> through F<sub>6</sub> in various directions.
- Node 5: Three force components labeled F<sub>1</sub>, F<sub>2</sub>, and F<sub>3</sub>.
- Node 6: Two force components labeled F<sub>4</sub> and F<sub>5</sub>.
- Node 1: Three force components labeled F<sub>6</sub>, F<sub>7</sub>, and F<sub>8</sub>.

2<sup>e</sup> Cas : Vent extrême.

$$H_{rc} = \frac{1}{2} \times q_{rc} \times 5,45 \times 4,50 = \frac{1}{2} \times 150,48 \times 5,45 \times 4,50 = 1845,5 \text{ kgs.}$$

on détermine de la même façon les efforts dans les barres.

Motard	barres	Effort (dan.)
	1-2	0
	1-3	1845,5
	2-3	0
	2-4	1845,5
	3-4	0
	3-5	-1845,5
	4-5	0
	5-6	0
6-3	6-3	1845,5
6-3	5-6	0
6-3	4-5	0
6-3	2-3	0
6-3	1-3	1845,5
6-3		1845,5

En combinant les efforts les plus défavorables due aux charges verticales et horizontales nous obtenons les efforts dans chacune des barres.

barre	Effort résultant. (dan.)
1-2	-2228
1-3	-1036,7
2-3	+2340
2-4	-1845,3
3-4	-804
3-6	-1845,5
5-6	0
4-5	-1845,5
3-5	-1180

Remarque : dans ce dernier tableau  
 - les efforts de compression sont notés négatifs  
 - les efforts de traction sont notés positifs.

## Dimensionnement des barres.

### Membrure inférieure.

On le calcule à force l'effet maximum  $N = -4036,7 \text{ dan.}$

$$k = 80 \Rightarrow K = 1,453.$$

$$A \geq \frac{4036,7 \times 1,453}{2400} = 2,44 \text{ cm}^2.$$

Par mesure constructive nous prenons  $\text{EL } 45 \times 45 \times 5$ , d'aire  $A = 8,6 \text{ cm}^2$ .

$$l_x = 0,9l_0 = 0,9 \times 80 = 72 \text{ cm}.$$

$$l_y = l_0 = 80 \text{ cm}.$$

$$i_x = 1,35$$

$$i_y = 2,15$$

$$\lambda_x = \frac{l_x}{i_x} = 53,33.$$

$$\lambda_y = \frac{l_y}{i_y} = 37,21.$$

$$\lambda_{\max} = \lambda_x = 53,33 \Rightarrow \sigma_K = 7289 \text{ dan/cm}^2$$

$$\sigma = \frac{N}{A} = \frac{4036,7}{8,6} = 469,4 \text{ dan/cm}^2$$

$$\mu = \frac{\sigma_K}{\sigma} = 15,53. \Rightarrow K_1 = \frac{\mu-1}{\mu-1,3} = 1,09.$$

### Vérification:

$$K_1 \sigma \leq \sigma_e \Rightarrow 1,09 \times 469,4 = 512,34 \text{ dan/cm}^2 < 2400 \text{ dan/cm}^2.$$

N.B.: il n'est pas nécessaire de faire le calcul des autres barres puisque l'effet d'au ces barres est inférieur à  $N = 4036,7 \text{ dan.}$  Ces membrures seront faites par mesure constructive.  
Nous faisons pour toute les barres une section formée par  $\text{EL } 45 \times 45 \times 5$ .

### Calcul des soudures.

La valeur des courbures de soudure (longueur et épaisseur) a été porté directement sur le plan de détail des noeuds de la console et ce après calcul.

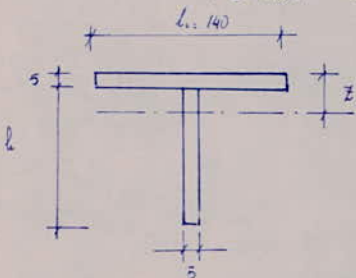
### Calcul de l'assemblage console-poteau.

Il s'agit du même type d'assemblage que celui de la ferme-poteau.

#### • Calcul du tasseau.

$$T = 2282,5 \text{ daN.}$$

$$M = 2191,2 \text{ daN.cm.}$$



#### Vérification du cisaillement.

$$h \geq \frac{2,3t \times T}{\sigma_r G_e} = \frac{2,3t \times 2282,5}{0,5 \times 2400} = 4,39 \text{ cm. soit } h = 60 \text{ mm}$$

Vérification à la flexion.

$$z = \frac{S_{0,0}}{4} = \frac{14 \times 0,5 \times 0,25 + G \times 0,5 \times 3,5}{14 \times 0,5 + 6 \times 0,5} = 1,225 \text{ cm}$$

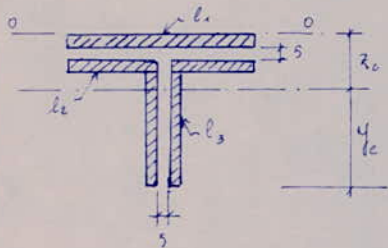
$$I = \frac{14 \times 0,5^3}{12} + \frac{6^3 \times 0,5}{12} + 14 \times 0,5 \times 0,975^2 + 6 \times 0,5 \times 2,275^2 = 31,33 \text{ cm}^4$$

$$W_{min} = \frac{I}{(h+0,5)-z} = \frac{31,33}{6+0,5-1,225} = 5,94 \text{ cm}^3$$

$$c = 70 \text{ mm} \Rightarrow \text{Le moment de flexion sera: } M = T \frac{c}{2} = 2282,5 \times \frac{7}{2} = 7988,5 \text{ daN.cm.}$$

$$\beta = \frac{M}{W_{min}} \leq 5e \Rightarrow \beta = \frac{7988,5}{5,94} = 1344,86 \text{ daN/cm}^2 < 2400 \text{ daN/cm}^2.$$

#### • Calcul des cordons de soudure fixant le tasseau.



$$a_{min} = 3 \text{ mm}$$

$$a_{max} = 0,84 \text{ cm} = 6,72 \text{ mm.}$$

$$l_1 = 140 - 2a = 132 \text{ mm}$$

$$l_2 = \frac{1}{2} (140 - 5 - 2a) = 63,5 \text{ mm}$$

$$l_3 = h - 2a = 60 - 2 \times 4 = 52 \text{ mm.}$$

$$z_c = \frac{S_{0,0}}{A_c} = \frac{0,4 [ 13,2 \times \frac{0,4}{2} + 12,7 (0,4 + 0,5 + 0,2) + 10,4 (3 - 0,2 + 0,4 + 0,5 + 0,2) ]}{0,4 (13,2 + 12,7 + 10,4)} = 1,52 \text{ cm.}$$

$$I_c = 14 \times \frac{(0,4)^3}{12} + 12,7 \times \frac{(0,4)^3}{12} + 8 \times 0,4 \times \frac{5,2^3}{12} + 0,4 \times 14 (1,52 - 0,2)^2 + 0,4 \times 12,7 (1,52 - 1,1)^2 + 2 \times 0,4 \times 5,2 (3 + 0,4 + 0,4 + 0,5 - 1,52)^2$$

$$I_c = 52,32 \text{ cm}^4$$

$$W_c = \frac{I_c}{y_c} = \frac{52,32}{6,72 - 1,52} = 9,72 \text{ cm}^3 \Rightarrow 1,35 \sqrt{\left(\frac{M}{W_c}\right)^2 + \left(\frac{T}{A_c}\right)^2} \leq 5e \Rightarrow 836,76 \text{ daN/cm}^2 < 2400 \text{ daN/cm}^2$$

Calcul et disposition des rivets de l'assemblage console-poteau.

on utilisera des boulons ordinaires       $\phi 22$   
 $d = 22 + 2 = 24 \text{ mm}$ .  
 $A_r = 3,03 \text{ cm}^2$ .

$\frac{d}{e} = \frac{24}{8} = 3 < 5 \Rightarrow$  pas de vérification sur la traction diamétrale.

on détermine le nombre de boulons comme pour un assemblage soumis à la flexion d'abord.

l'effort maximum par boulon est :  $1,25 \frac{F}{A_r} \leq \sigma_c \Rightarrow F \leq \frac{2400 \times 3,03}{1,25} = 5817,6 \text{ daN/cm}^2$ .

- disposition des boulons suivant la verticale.

$$3d \leq \delta \leq 10d \Rightarrow 72 \leq \delta \leq 240 \quad \text{Soit} \quad \delta = 200 \text{ mm}.$$

$$\begin{cases} 1,5d \\ 0,8T \\ e\sigma_c \end{cases} \leq \delta_{l_1} \leq 2,5d \Rightarrow \begin{cases} 36 \\ 15,2 \end{cases} \leq \delta_{l_1} \leq 60 \quad \text{Soit} \quad \delta_{l_1} = 50 \text{ mm}.$$

$$m = \frac{M y_{max}}{F \sum z_i^2} = \frac{2191,2 \times 10^2 \times 80}{5817,6 \times (80^2 + 60^2 + 40^2 + 20^2)} = 0,25.$$

Soit  $n = 8$  avec la réserve que  $\sigma_c$  résiste à l'effort-tranchant  $T$ .

Vérifications :

$$T_M = \frac{M y_{max}}{n \sum z_i^2} = \frac{2191,2 \times 10^2 \times 80}{8 \times 18000} = 730,4 \text{ daN}.$$

$$T_H'' = 0$$

$$T_N = 0$$

$$T_t = \frac{T}{m \cdot n} = \frac{2282,5}{8 \cdot 8} = 288,25 \text{ daN}.$$

1<sup>e</sup> vérification :

$$1,25 \frac{N}{A_r} \leq \sigma_c \quad N = T_M + T_H = 730,4 \text{ daN}.$$

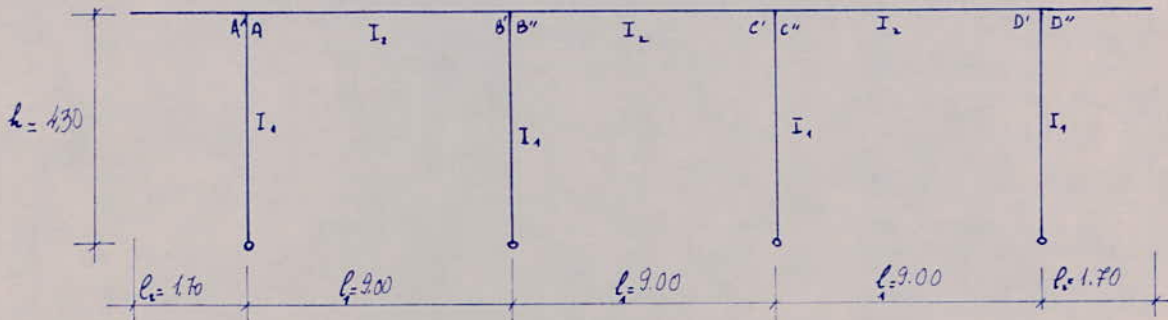
$$1,25 \times \frac{730,4}{3,03} = 302,32 \text{ daN/cm}^2 < 2400 \text{ daN/cm}^2.$$

2<sup>e</sup> vérification :

$$\sqrt{\frac{N^2 + 2,36 T_t^2}{A_r}} \leq \sigma_c \Rightarrow \sqrt{\frac{(730,4)^2 + 2,36 \times (288,25)^2}{3,03}} = 485,45 \text{ daN/cm}^2 < 2400 \text{ daN/cm}^2.$$

# ETUDE DU PORTIQUE

MÉTHODE DU PORTIQUE AUX CHARGES VERTICALES.



$$K = \frac{l_1}{l_2} \frac{h}{l_1} = \frac{35435}{6896} \times \frac{4.3}{9} = 2.97$$

Pour la détermination des moments nous utiliserons la même méthode que celle utilisée pour le calcul du portique aux charges horizontales.  
nous avons étudié deux cas de charges verticales qu'on a jugé les plus favorables.

① 1<sup>e</sup> Cas de charge:  $\frac{h}{3} G + \frac{17}{12} (P+N_n)$

$$G = 82.3 \text{ kg/m}^2$$

$$P = 100 \text{ kg/m}^2$$

$$N_n = 20 \text{ kg/m}^2$$

$$q_{p+G} = \frac{h}{3} \times 82.3 + \frac{17}{12} (100+20) = 253.07 \text{ kg/m}^2$$

$$q_{p+G} = 253.07 \times 4.5 = 1140 \text{ kg/m} \\ = 1.14 \text{ t/m}$$

$$\frac{4}{3} G = \frac{4}{3} \times 82.3 \times 4.5 = 374 \text{ kg/m}$$

• 1<sup>e</sup> hypothèse de charge:

toutes les travées sont chargées uniformément avec  $q_p = 1.14 \text{ t/m}$ , la console étant chargée par la charge permanente:  $q_{p+G} = 0.374 \text{ t/m}$ .

$K = 2.97 \Rightarrow$  les moments dans les travées sont:

$$M_A = M_D = - 202.31 \times K \times 10^{-4} = - 1.87 \text{ t.m.}$$

$$K = q_{p+G} \frac{l^2}{8} = 1.14 \times 9^2 = 92.34$$

$$M_B = M_C = - 990.94 \times K \times 10^{-4} = - 9.15 \text{ t.m.}$$

$$M_{B''} = M_{C'} = - 927.70 \times K \times 10^{-4} = - 8.57 \text{ t.m.}$$

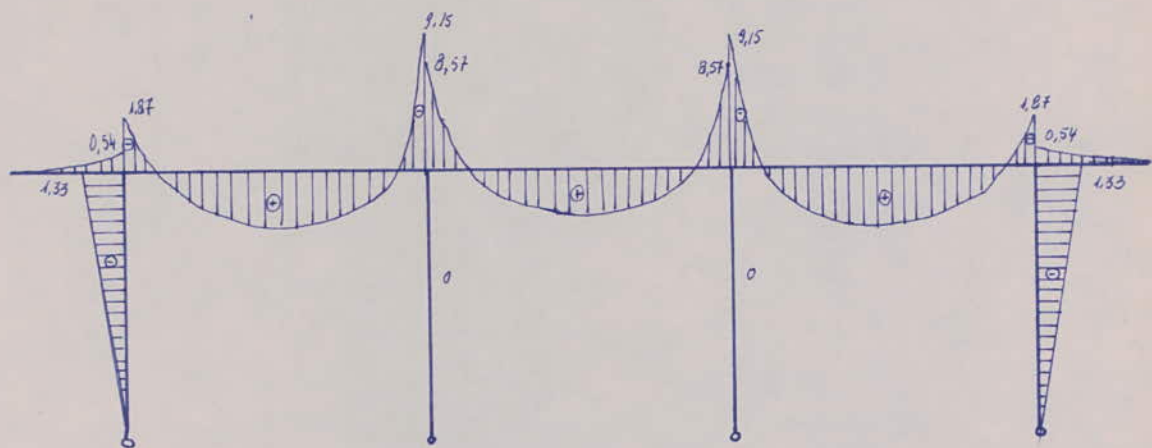
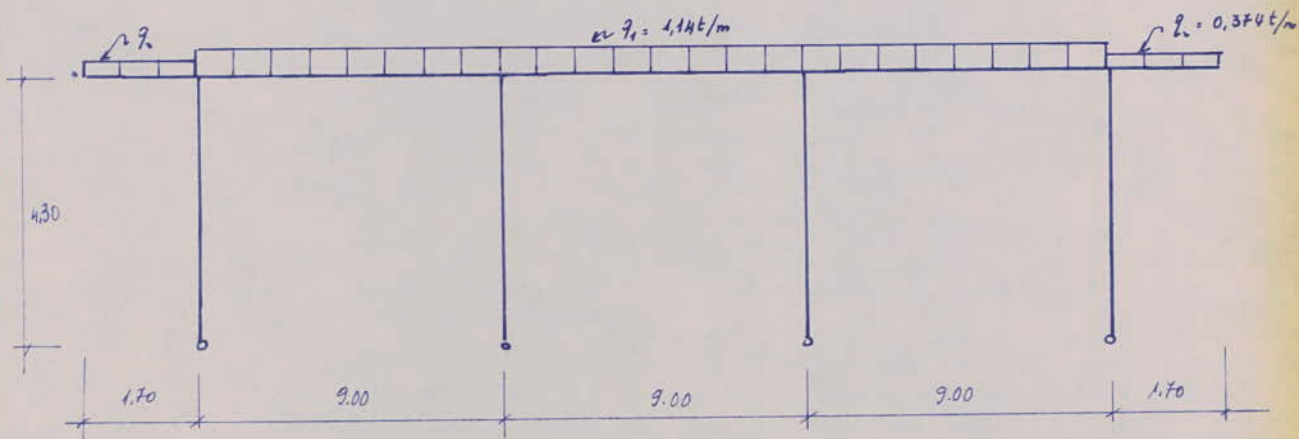
$$M_{A'} = M_D' = - q \frac{l^2}{8} = - 0.374 \times \frac{1.70^2}{8} = - 0.54 \text{ t.m.}$$

Moments dans les poteaux:

$$|M_{A'}| = M_A - M_{A'} = 1.87 - 0.54 = 1.33 \text{ t.m.}$$

$$|M_D| = 1.33 \text{ t.m.}$$

1<sup>e</sup> hypothèse de charge -



• 8<sup>e</sup> hypothèse de charge

les travées AB' et C'D' chargées avec  $q_1 = 1,14 \text{ t/m}$ .  
 la travée B'C' chargée avec  $q_2 = 0,374 \text{ t/m}$ .  
 les deux consoles chargées avec  $q_3 = 0,374 \text{ t/m}$ .

$$M_A = M_D = -253,5 \times K \times 10^{-4} = -2,40 \text{ t.m.}$$

$$M_B' = M_C'' = -569,8 \times K \times 10^{-4} = -5,26 \text{ t.m.}$$

$$M_B'' = M_C' = -366,99 \times K \times 10^{-4} = -1,11 \text{ t.m.}$$

$$M_{A'} = M_{D'} = -\frac{q_1 l_1^2}{2} = -0,374 \times \frac{1,7^2}{2} = -0,54 \text{ t.m.}$$

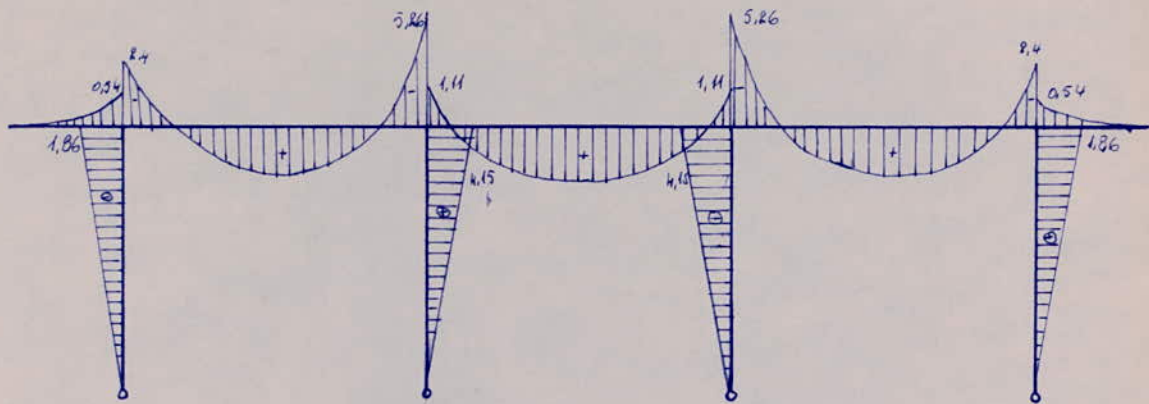
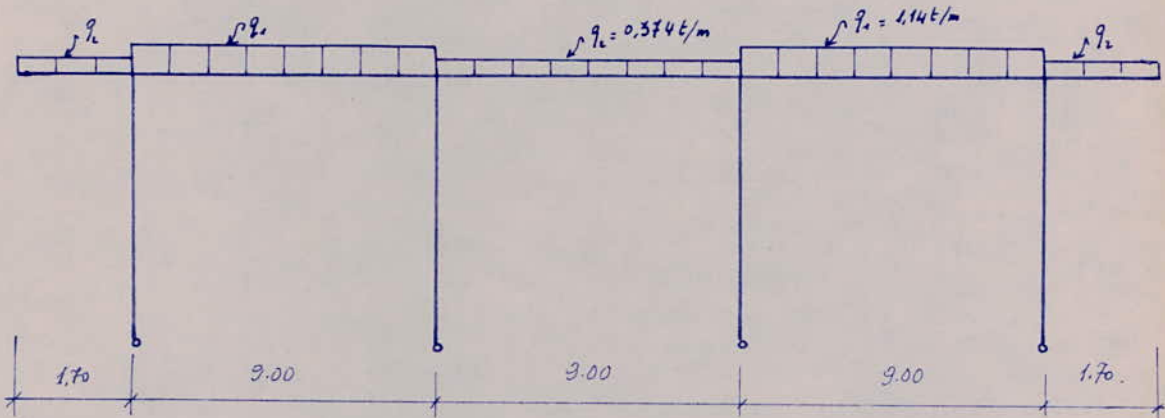
Moments dans les poteaux:

$$|M_{A'}| = |M_{D'}| = M_A - M_{A'} = 2,4 - 0,54 = 1,86 \text{ t.m}$$

$$|M_{B''}| = |M_{C'}| = M_{B'} - M_{B''} = 5,26 - 1,11 = 4,15 \text{ t.m.}$$

$$K' = q_2 l_1^2 = 0,374 \times 9^2 = 30,27$$

$$K = q_1 l_1^2 = 1,14 \times 9^2 = 92,34$$



• 3<sup>e</sup> hypothèse de charge :

Les travées A B' , C'' D et B'' C chargées avec  $q_1 = 0,374 \text{ t/m}$ .

Les deux couloirs avec

$$q_2 = 1,14 \text{ t/m}$$

$$M_A = M_D = - 202,31 \times 10^{-4} \times 30,29 = - 0,613 \text{ t.m.}$$

$$K' = q_1 l_1^2 = 0,374 \times 9^2 = 30,29.$$

$$M_{B'} = M_C'' = - 990,94 \times 10^{-4} \times 30,29 = - 3 \text{ t.m.}$$

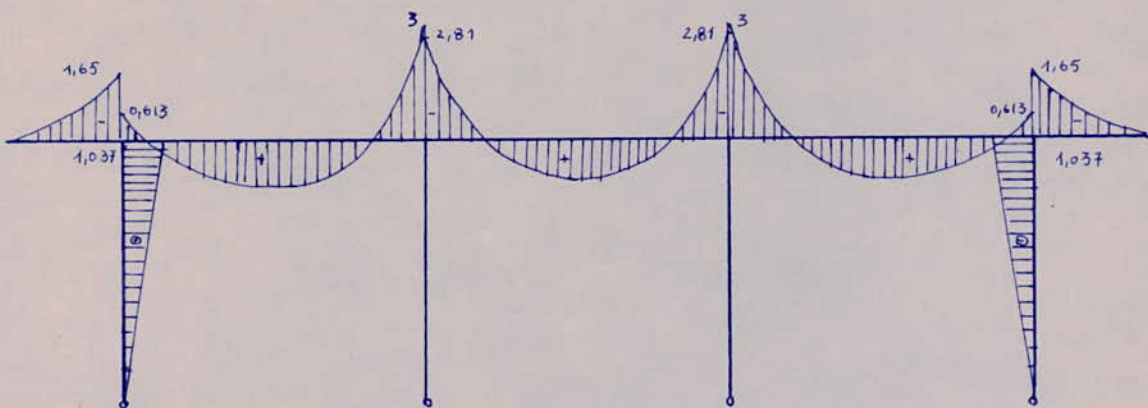
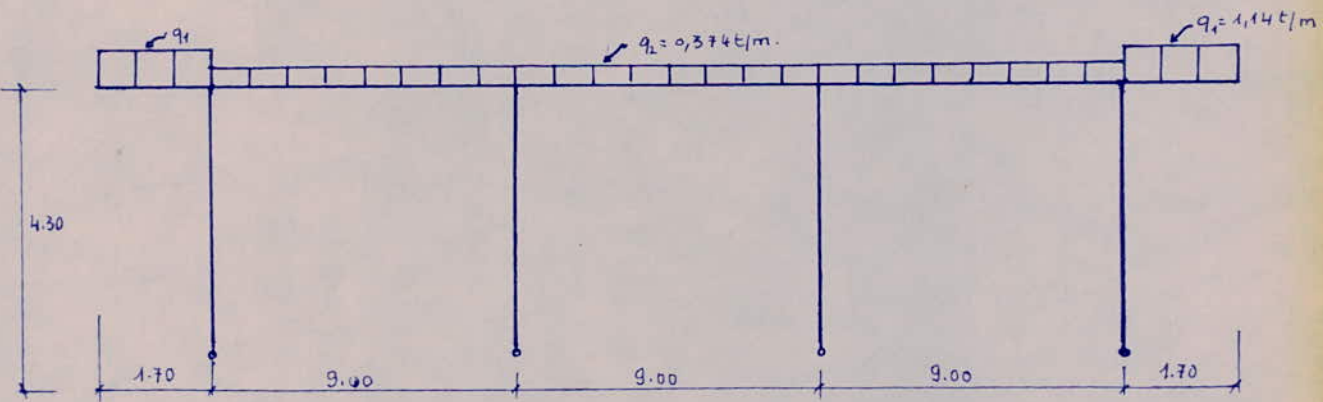
$$M_{B''} = M_C' = - 927,70 \times 10^{-4} \times 30,29 = - 2,81 \text{ t.m.}$$

$$M_A' = M_D' = - 1,14 \times \frac{1,7^2}{2} = - 1,65 \text{ t.m.}$$

moments dans les poteaux :

$$|m_A| = M_A' - M_A = 1,65 - 0,613 = 1,037 \text{ t.m.} = |m_D'|$$

$$|m_D| = |m_A| = + 1,037 \text{ t.m.}$$



• 4<sup>e</sup> hypothèse de charge :

Toutes les travées et consoles sont chargées avec  $q = 1,14 \text{ t/m}$

$$M_A = M_D = -202,31 \times 10^{-4} \times 92,34 = -1,87 \text{ t.m.}$$

$$M_B' = M_C' = -990,94 \times 10^{-4} \times 92,34 = -9,15 \text{ t.m.}$$

$$M_{B''} = M_C'' = -927,70 \times 10^{-4} \times 92,34 = -8,57 \text{ t.m.}$$

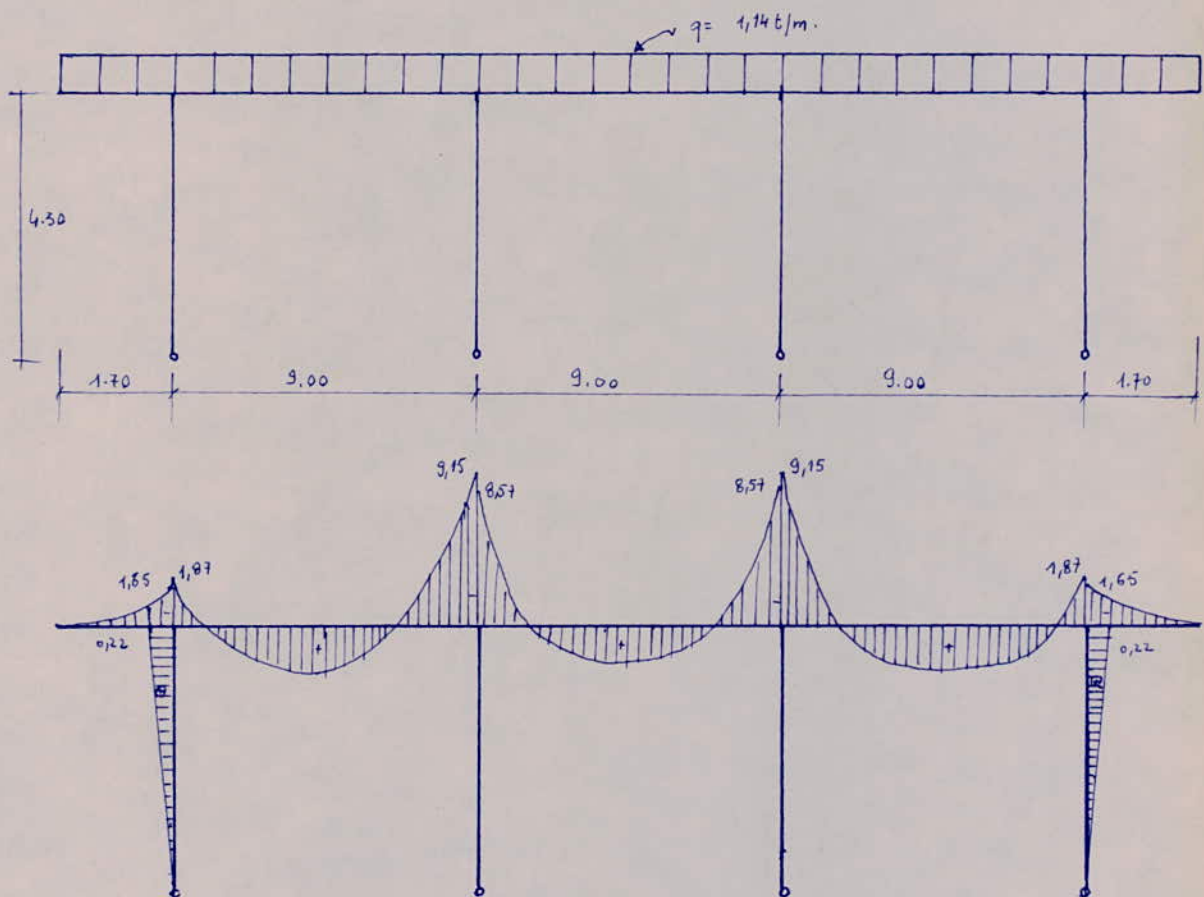
$$M_A' = M_D' = -1,14 \times \frac{1,7^2}{2} = -1,65 \text{ t.m}$$

Moments dans les poteaux :

$$|M_{A'}| = |M_{D'}| = 1,87 - 1,65 = 0,22 \text{ t.m.}$$

$$K = q l_1^2 = 1,14 \times 9^2 = 92,34$$

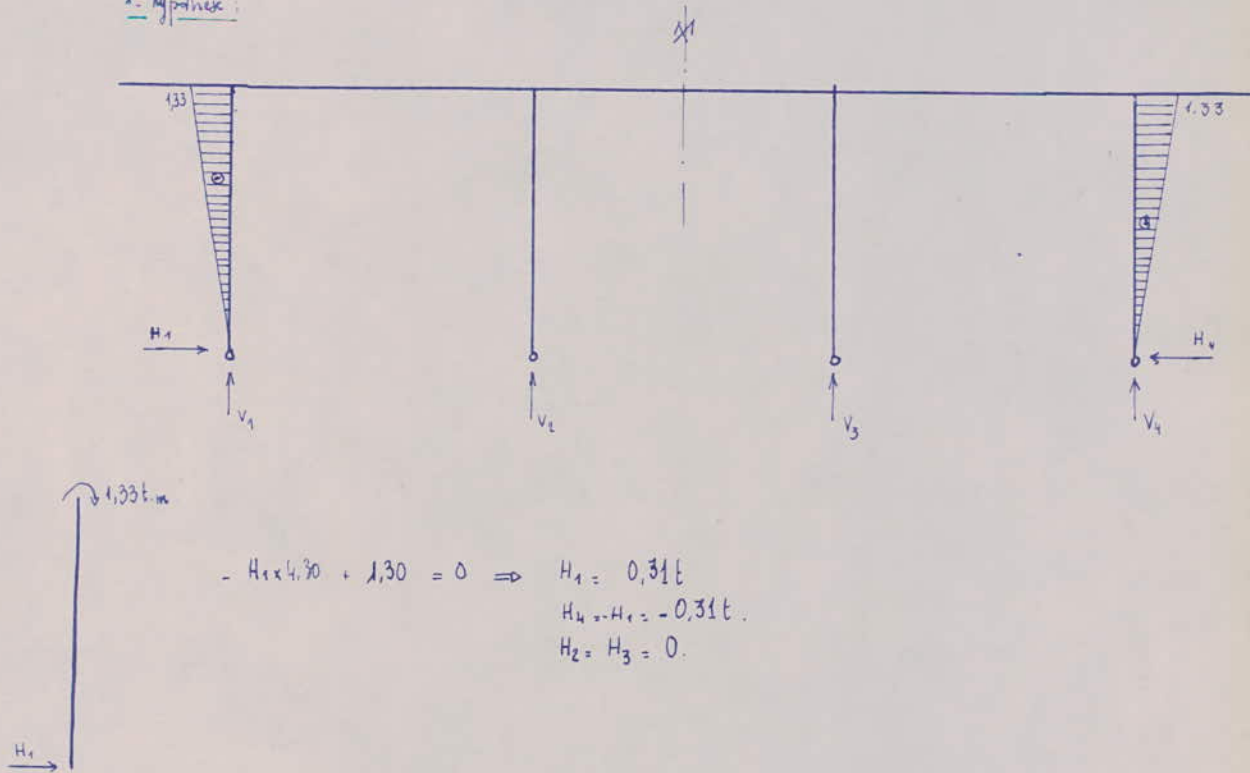
$$|M_B'| = |M_C'| = 0,22 \text{ t.m.}$$



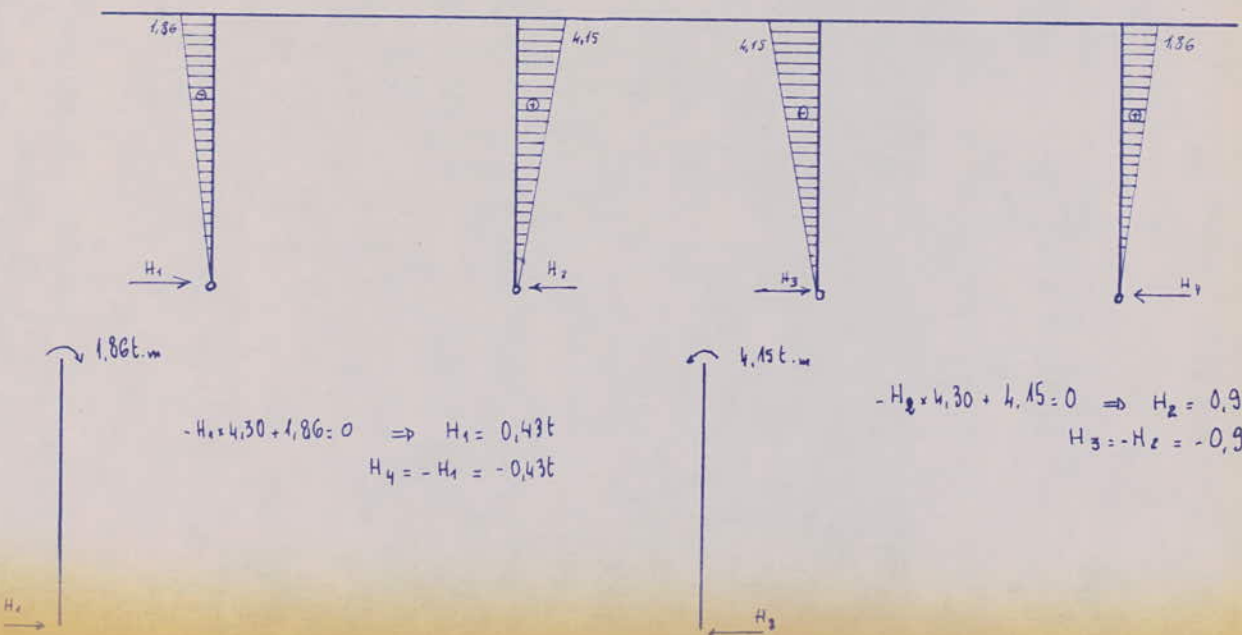
### Calcul des réactions des poteaux.

#### Réactions horizontales.

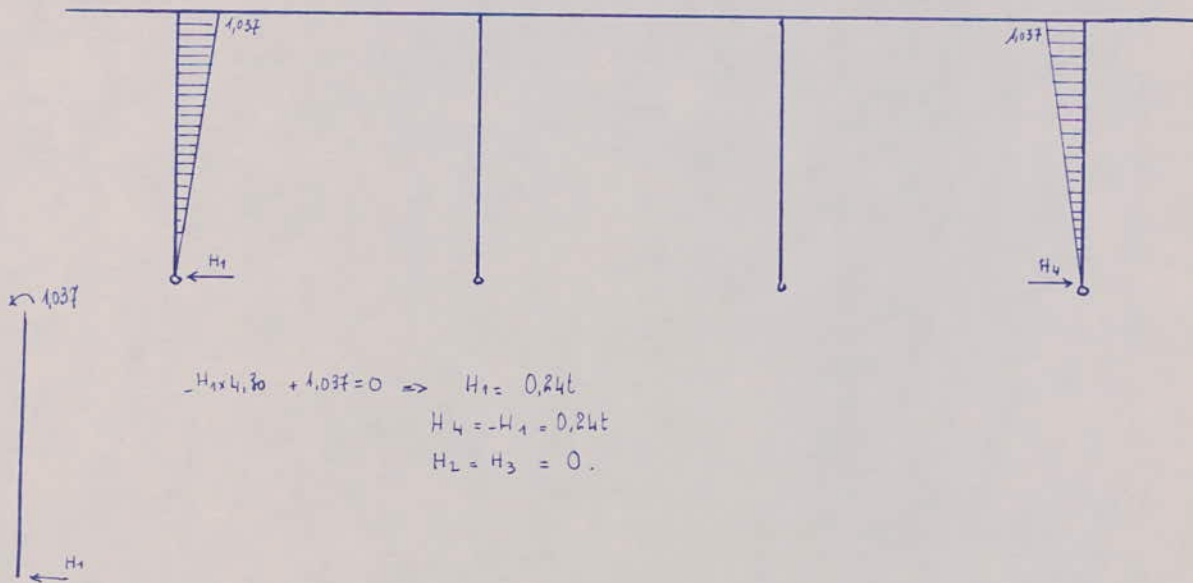
1<sup>e</sup> hypothèse :



2<sup>e</sup> hypothèse



3<sup>e</sup> hypothèse.

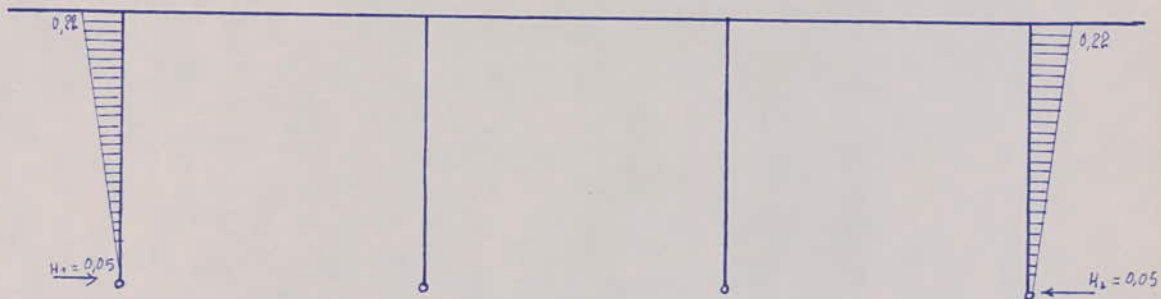


$$-H_1 \times 4,30 + 1,037 = 0 \Rightarrow H_1 = 0,24t$$

$$H_4 = -H_1 = 0,24t$$

$$H_2 = H_3 = 0.$$

4<sup>e</sup> hypothèse



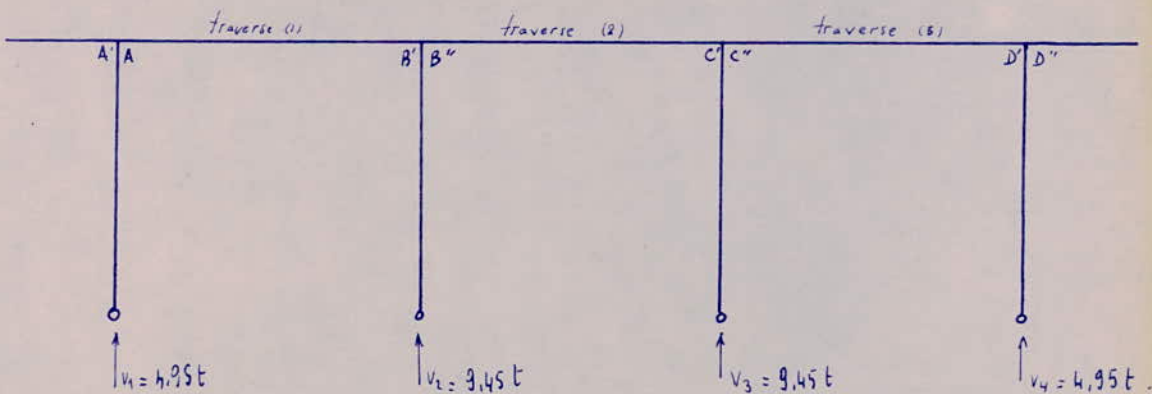
$$-H_1 \times 4,30 + 0.22 = 0 \Rightarrow H_1 = 0,05t$$

$$H_4 = -H_1 = -0,05t$$

$$H_2 = H_3 = 0.$$



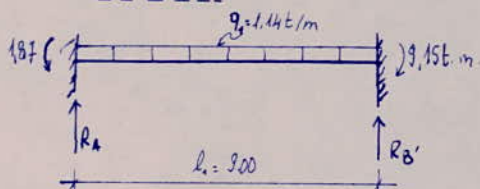
- Réactions Verticales.



### 1<sup>e</sup> hypothèse

On effectuera pour une hypothèse de charge le calcul des réactions verticales; ensuite on fera de la même façon pour les autres hypothèses et nous donnerons uniquement les résultats du calcul dans un tableau récapitulatif.

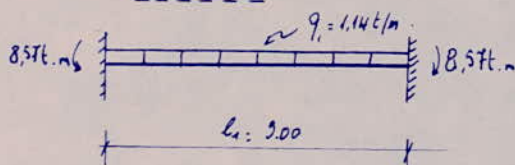
#### - traverse (1)



$$R_A = q_1 \frac{l_1}{2} + \frac{M_g \cdot M_d}{l_1} = 1,14 \times \frac{9}{2} + \frac{1,87 \cdot 9,15}{9} = 4,32 \text{ t}$$

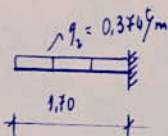
$$R_{B'} = R_A$$

#### - traverse (2)



$$R_{B''} = R_{C'} = q_1 \frac{l_1}{2} + \frac{M_g \cdot M_d}{l_1} = 1,14 \times \frac{9}{2} + \frac{1,87 \cdot 8,57}{9} = 5,13 \text{ t}$$

#### - console



$$R_A' = q_2 l_2 = 0,3745 \times 1,70 = 0,636 \text{ t}$$

$$V_1 = R_A + R_A' = 4,32 + 0,636 = 4,95 \text{ t}$$

$$V_2 = R_B' + R_{B''} = 4,32 + 5,13 = 9,45 \text{ t}$$

$$V_3 = V_1 = 4,95 \text{ t}$$

$$V_4 = V_2 = 9,45 \text{ t}$$

$f_1, f_2$  & these de charge.

potentiel

potentiel

potentiel

$\frac{2}{3} \alpha + \frac{1}{2} \beta + \gamma \mu$

	M (t-m) V (t) H (t)	Poteau (1)	Poteau (2)	Poteau (3)	Poteau (4)
	M  V  H	1.33  V <sub>1</sub> = 9.45  H <sub>1</sub> = 0.31	0  V <sub>2</sub> = 9.45  H <sub>2</sub> = 0	0  V <sub>3</sub> = 9.45  H <sub>3</sub> = 0	1.33  V <sub>4</sub> = 9.45  H <sub>4</sub> = 0.31
	M  V  H	1.86  V <sub>1</sub> = 5.44  H <sub>1</sub> = 0.43	4.15  V <sub>2</sub> = 6.49  H <sub>2</sub> = 0.96	4.15  V <sub>3</sub> = 6.49  H <sub>3</sub> = 0.96	1.86  V <sub>4</sub> = 5.44  H <sub>4</sub> = 0.43
	M  V  H	1.037  V <sub>1</sub> = 3.16  H <sub>1</sub> = 0.24	0  V <sub>2</sub> = 3.10  H <sub>2</sub> = 0	0  V <sub>3</sub> = 3.10  H <sub>3</sub> = 0	1.037  V <sub>4</sub> = 3.16  H <sub>4</sub> = 0.24
	M  V  H	0.22  V <sub>1</sub> = 6.26  H <sub>1</sub> = 0.05	0  V <sub>2</sub> = 9.45  H <sub>2</sub> = 0	0  V <sub>3</sub> = 9.45  H <sub>3</sub> = 0	0.22  V <sub>4</sub> = 6.26  H <sub>4</sub> = 0.05

II 2<sup>e</sup> cas de charge:  $\frac{4}{3} G + \frac{3}{2} I.$

$$G = 62,3 \text{ kg/m}^2 .$$

$$I = 100 \text{ kg/m}^2 .$$

$$q/m^2 = \frac{4}{3} G + \frac{3}{2} I = \frac{4}{3} (62,3) + \frac{3}{2} (100) = 253 \text{ kg/m}^2 .$$

$$q/m = 253 \times 4,5 = 1049 \text{ t/m}.$$

• 1<sup>re</sup> hypothèse:

Toutes les travées sont chargées uniformément avec  $q_1 = 1,049 \text{ t/m}$ ; les consoles étant chargées par la charge permanente  $q_2 = \frac{4}{3} q = 0,374 \text{ t/m}$ .

$$M_A = M_D = - 202,31 \times 10^{-4} \times 84,97 = - 1,72 \text{ t.m.}$$

$$M_B' = M_C'' = - 930,94 \times 10^{-4} \times 84,97 = - 8,42 \text{ t.m.}$$

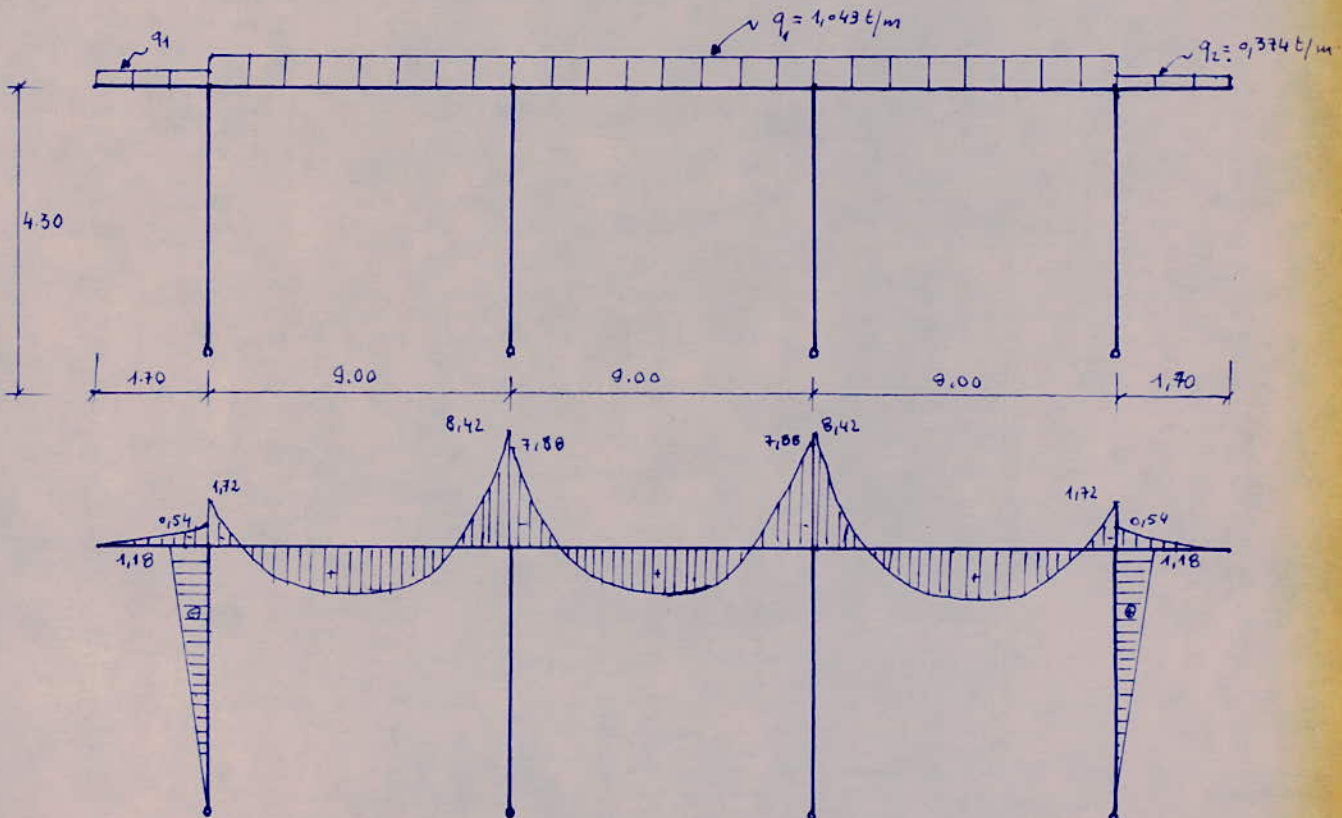
$$M_B'' = M_C' = - 927,70 \times 10^{-4} \times 84,97 = - 7,88 \text{ t.m.}$$

$$M_{A'} = M_{D'} = - 9 \frac{\ell^2}{2} = - 0,374 \times \frac{1,7^2}{2} = - 0,54 \text{ t.m.}$$

$$K' = q \ell^2 = 1,049 \times 9^2 = 84,97 .$$

Moment dans les poteaux:

$$|M_{A'}| = |M_D| = M_A - M_{A'} = 1,72 - 0,54 = 1,18 \text{ t.m.}$$



2<sup>e</sup>me hypothèse :

Les travées A'B' et C''D' chargées avec  $q = 1,049 \text{ t/m}$ .

La travée B''C' et les deux coussols étant chargés avec  $q = 0,374 \text{ t/m}$ .

$$M_A = M_D = -259,5 \times 10^{-4} \times 84,97 = -2,2 \text{ t.m.}$$

$$M_{B'} = M_{C''} = -569,8 \times 10^{-4} \times 84,97 = -4,84 \text{ t.m.}$$

$$M_{B''} = M_{C'} = -366,99 \times 10^{-4} \times 30,29 = -1,11 \text{ t.m.}$$

$$M_{A'} = M_{D'} = -0,374 \times \frac{1,7^2}{2} = -0,54 \text{ t.m.}$$

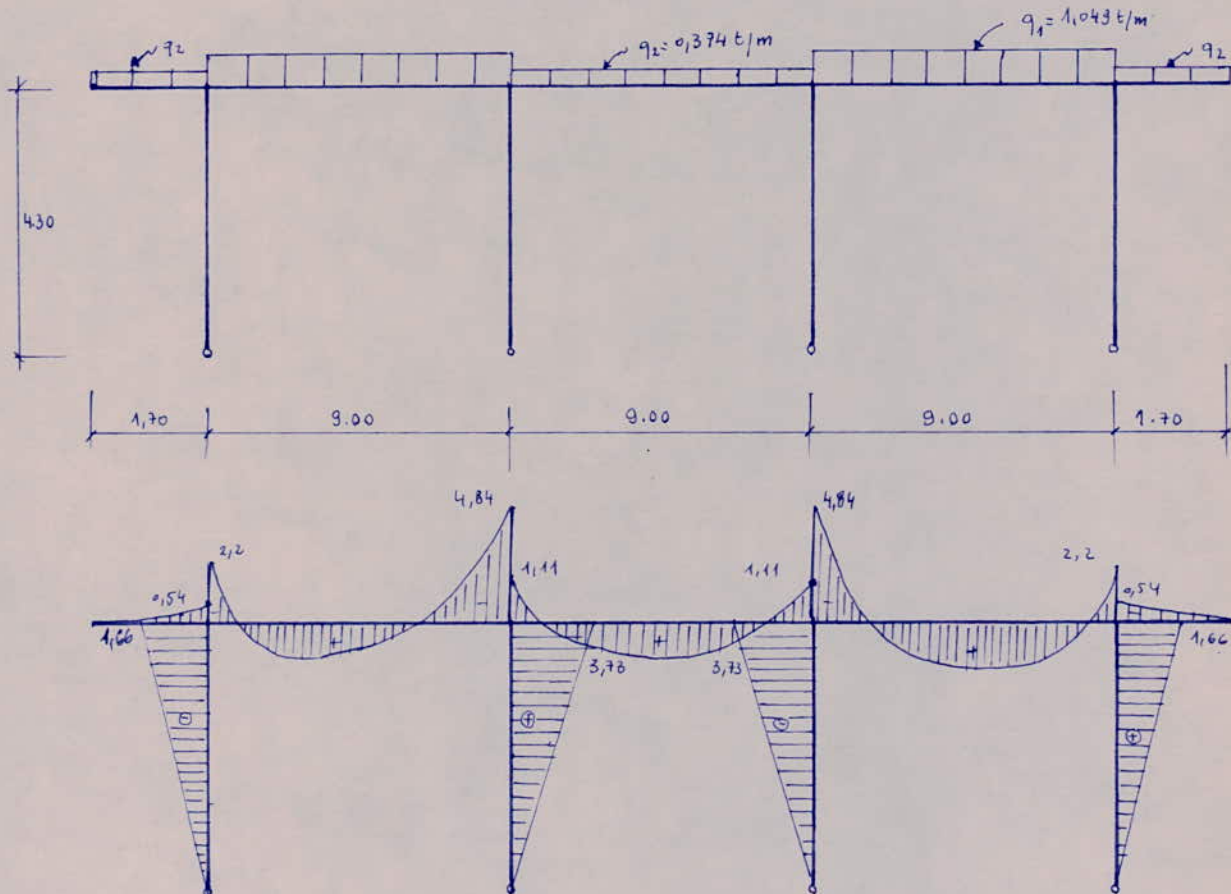
$$K' = 84,97$$

$$K = 30,29$$

Mouvements dans les portiques :

$$|M_{A'}| = |M_D| = M_{A'} - M_A = 2,2 - 0,54 = 1,66 \text{ t.m.}$$

$$|M_{B''}| = |M_{C'}| = M_{B'} - M_{B''} = 4,84 - 1,11 = 3,73 \text{ t.m.}$$



3<sup>e</sup> hypothèse

Tous les travées sont chargés avec  $q = 0,374 \text{ t/m}$   
les deux consoles étant chargées avec  $q = 1,049 \text{ t/m}$ .

$$M_A = M_0 = - 802,31 \times 10^{-4} \times 30,99 = - 0,613 \text{ t.m}$$

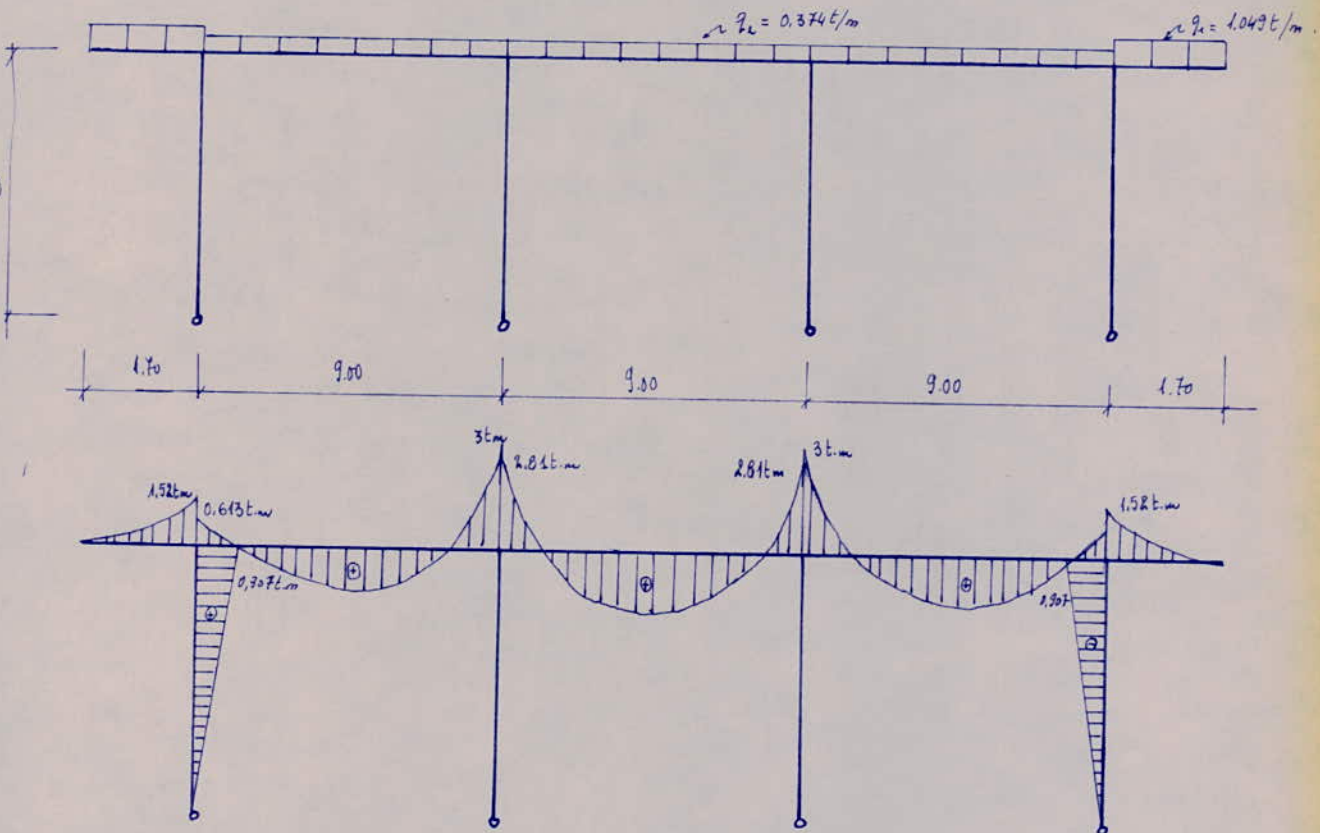
$$M_B = M_c'' = - 990,94 \times 10^{-4} \times 30,29 = - 3 \text{ t.m}$$

$$M_B'' = M_c' = - 927,70 \times 10^{-4} \times 30,23 = - 2,81 \text{ t.m}$$

$$M_A' = M_B' = - 1,049 \times \frac{1,72}{2} = - 1,52 \text{ t.m}$$

Moment dans les poteaux.

$$|M_{A'}| = |M_{B'}| = M_A' - M_A = 1,52 - 0,613 = 0,907 \text{ t.m}$$



4<sup>e</sup> hypothèse

Bouts & travées sont chargés avec  $q = 1,049 \text{ t/m}$   
Les deux consol sont chargés avec  $q = 1,049 \text{ t/m}$

$$M_A = M_0 = - 802,31 \times 10^{-4} \times 84,97 = - 1,72 \text{ t.m}$$

$$M_B' = M_C' = - 990,94 \times 10^{-4} \times 84,97 = - 8,42 \text{ t.m}$$

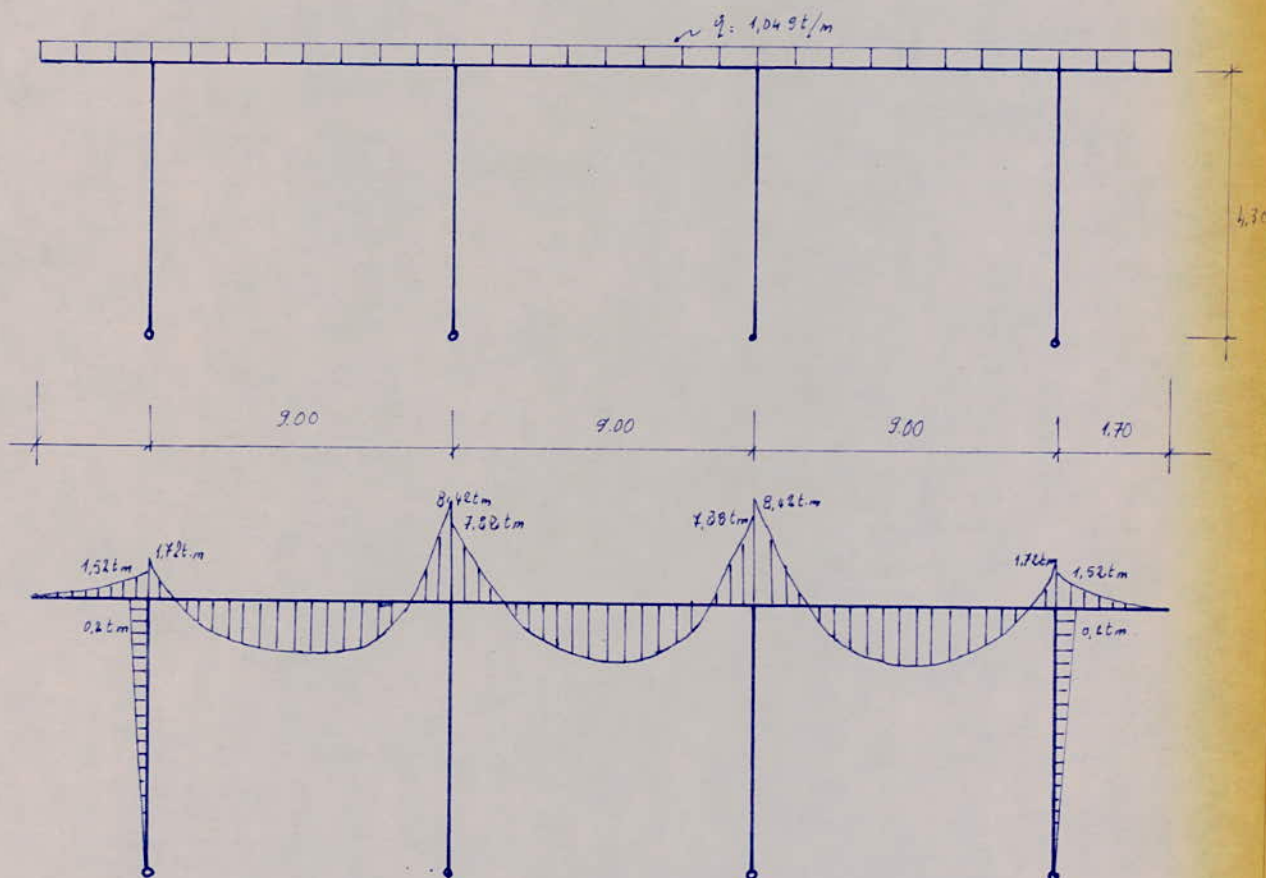
$$M_B'' = M_C'' = - 927,7 \times 10^{-4} \times 84,97 = - 7,88 \text{ t.m}$$

$$M_A' = M_D' = - 1,049 \times \frac{1,72}{2} = - 1,52 \text{ t.m}$$

Moment dans les poteaux.

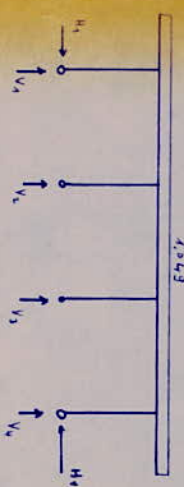
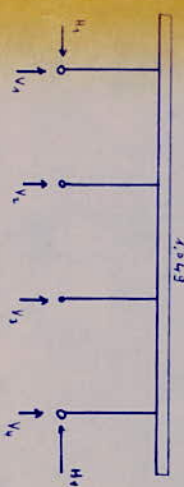
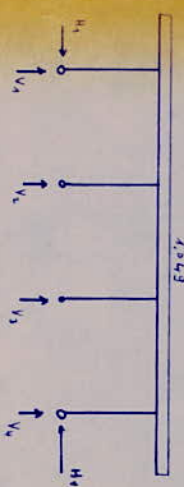
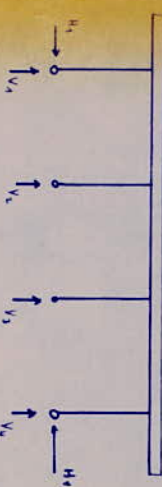
$$|M_A'| = |M_D'| = M_A' - M_4 = 1,72 - 1,52 = 0,2 \text{ t.m}$$

$$M_B' = 0$$



Valeurs de  $M, V, H$  pour les poteaux pour le cas de Charge :  $\frac{4}{3} q_0 + \frac{3}{2} P$

hypothèse de charge		$M$ $V$ $H$	Poteau (1)	Poteau (2)	Poteau (3)	Poteau (4)
		$0,374$ $1,049$	$1,18$ $0$ $H_1 = 0,844$	$0$ $V_1 = 8,70$ $H_1 = 0$	$0$ $V_3 = 8,70$ $H_3 = 0$	$1,18$ $V_4 = 11,62$ $H_4 = 0,244$
		$0,374$ $1,049$ $0,374$ $0,374$	$1,66$ $3,73$ $H_1 = 0,386$	$3,73$ $V_2 = 6,06$ $H_1 = 0,386$	$3,73$ $V_3 = 6,11$ $H_3 = 0,3867$	$1,66$ $V_4 = 5,06$ $H_4 = 0,386$
		$0,374$ $1,049$	$0,904$ $0$ $H_1 = 0,21$	$0$ $V_1 = 3,10$ $H_1 = 0$	$0$ $V_3 = 3,10$ $H_3 = 0$	$0,904$ $V_4 = 3,80$ $H_4 = 0,21$
		$1,049$	$0,8$ $V_1 = 5,46$ $H_1 = 0,046$	$0$ $V_3 = 8,70$ $H_3 = 0$	$0$ $V_4 = 5,46$ $H_4 = 0,046$	$0,8$ $V_4 = 11,62$ $H_4 = 0,244$



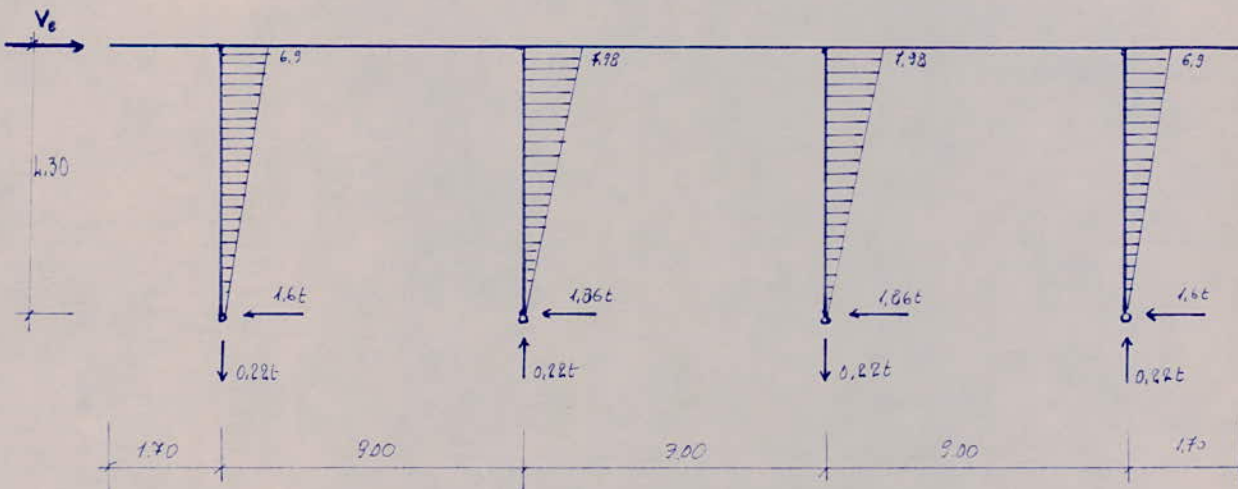
ETUDE DU PORTIQUE AUX CHARGES HORIZONTALES  
DUES AU VENT

Nous étudierons le cas du vent extrême uniquement ; on effet il donne les moments les plus défavorables dans le poteau.

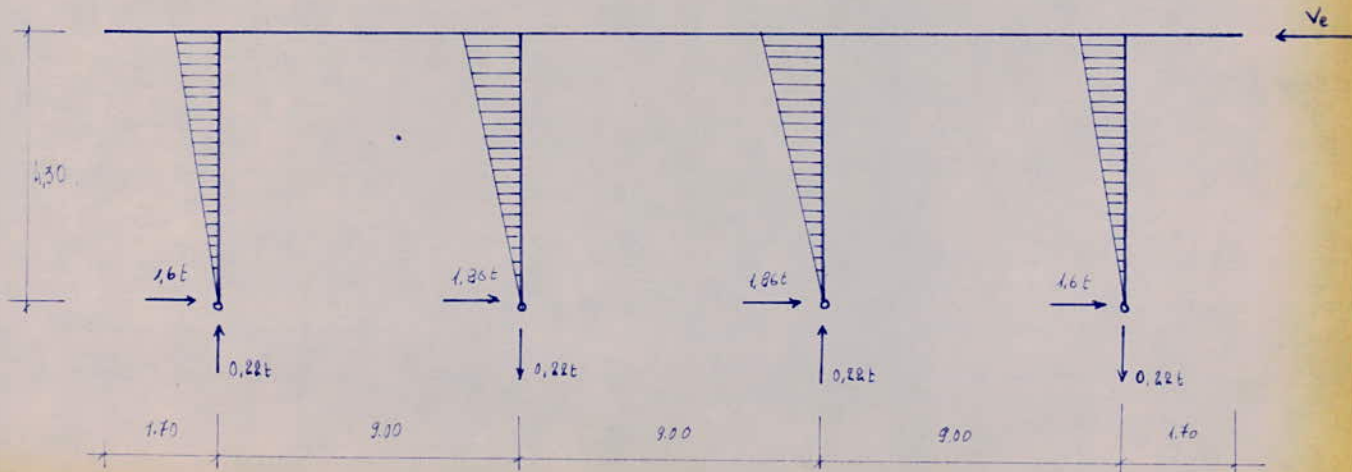
La valeur des moments a été déterminée lors de l'étude de la forme aux charges horizontales nous reportons uniquement les résultats.

On ne mentionnera que les moments dans les poteaux

1<sup>er</sup> Cas : Vent I ou vent extrême de gauche à droite



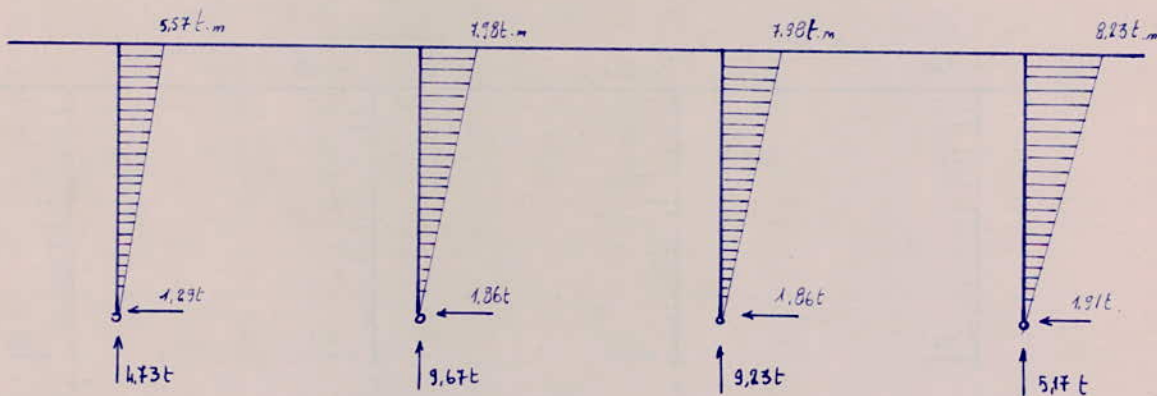
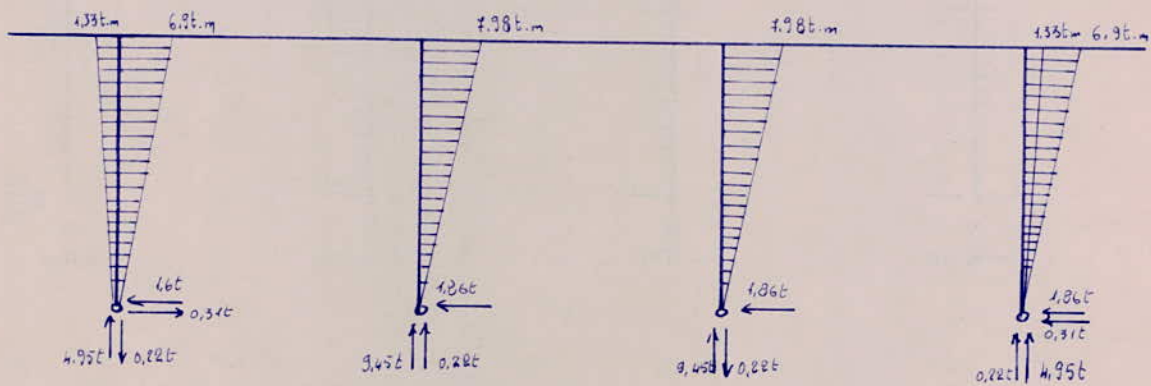
2<sup>o</sup> Cas : Vent II ou vent extrême de droite à gauche.



Combinaison des charges verticales et horizontales.

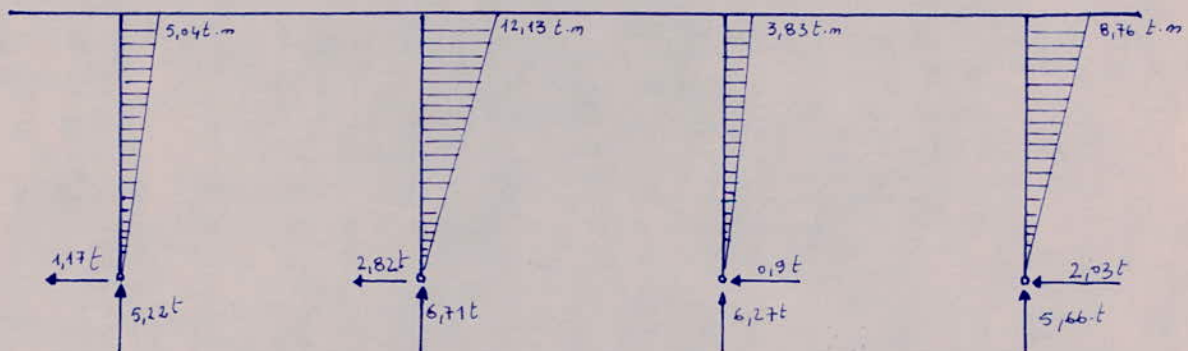
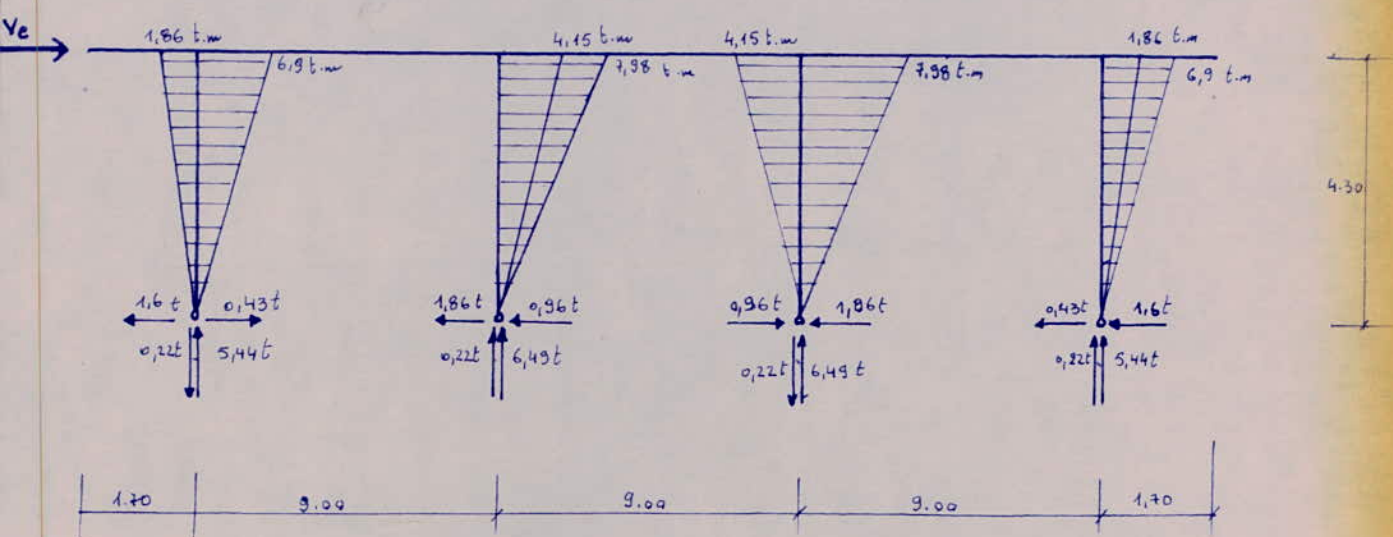
1<sup>e</sup> Cas de charge:  $\frac{1}{3}G + \frac{17}{12}(P + N_n)$ . et vent extrême:

1<sup>e</sup> hypothèse avec Vent I



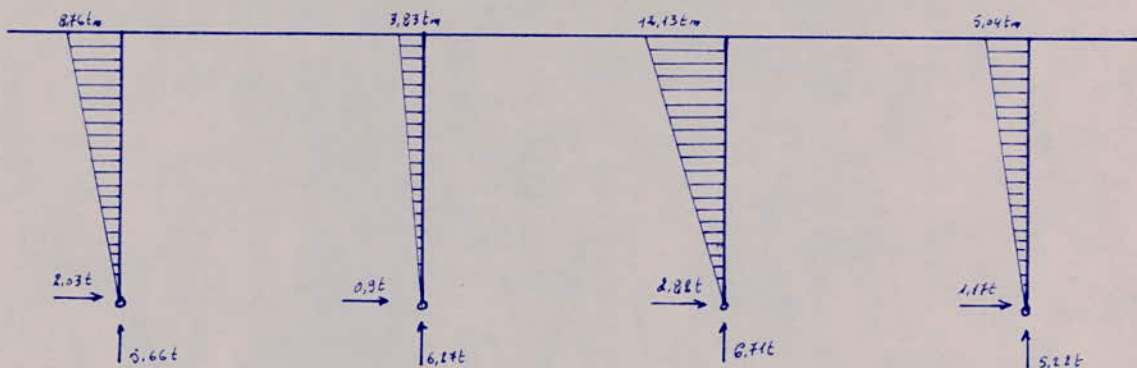
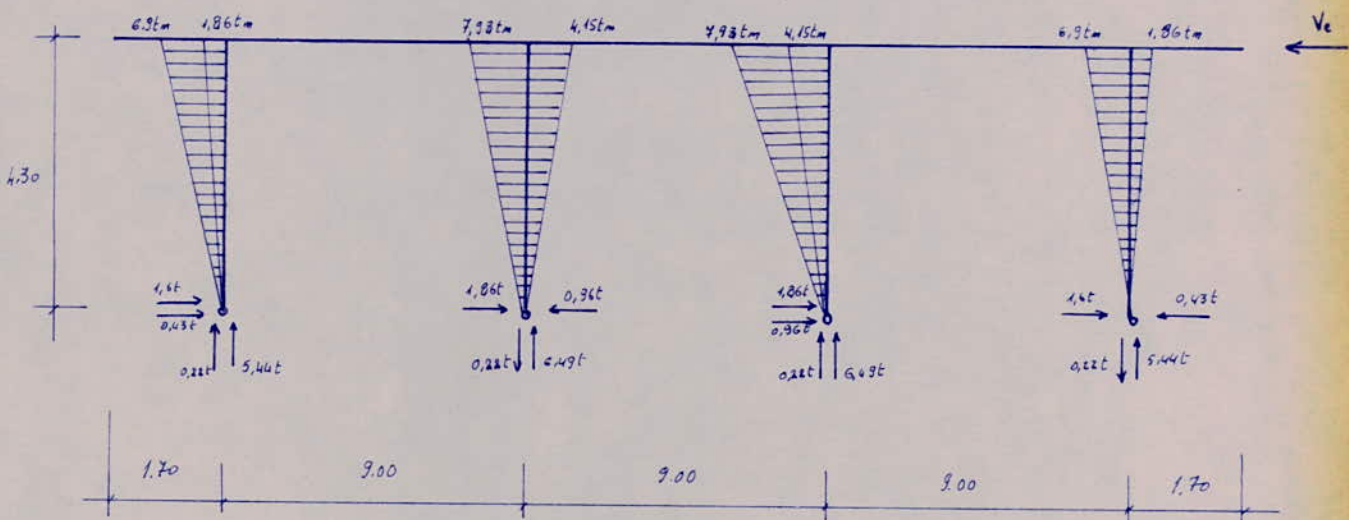
Remarque: nous avons pris uniquement les moments dans les poteaux, les moments dans les travées ne nous intéressent pas.

• 2<sup>me</sup> hypothèse avec vent I :



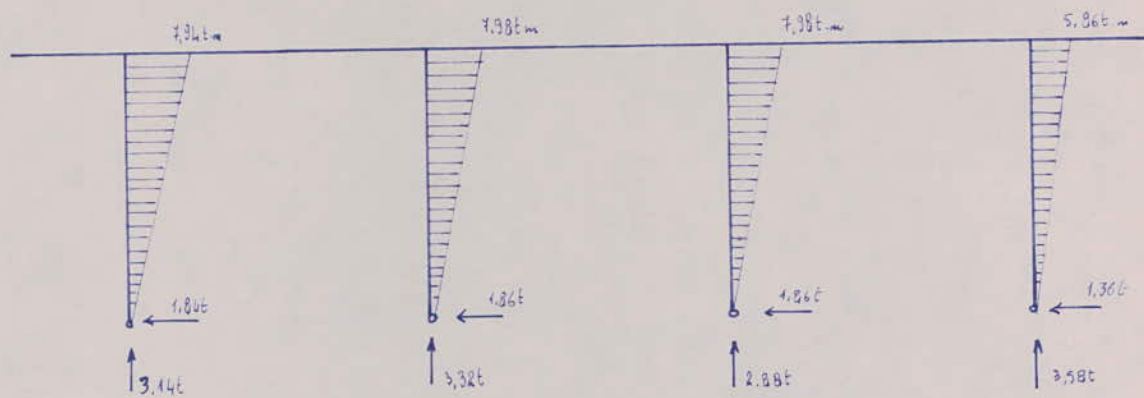
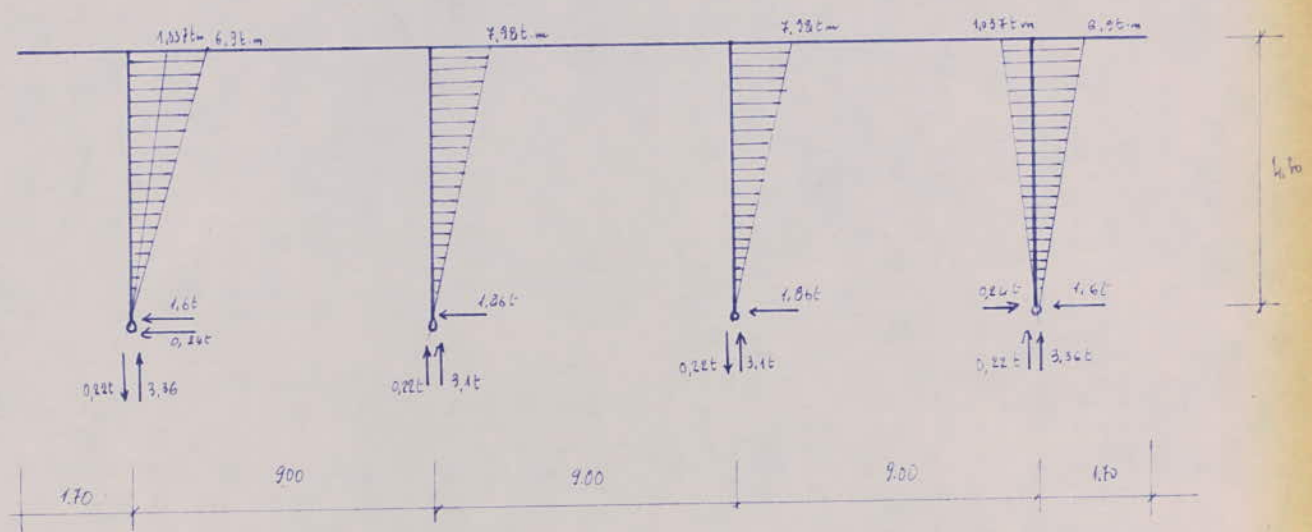
Poteau	$M(t \cdot m)$	$N(t)$	$T(t)$
1	5,04	5,22	1,17
2	12,13	6,71	2,82
3	3,83	6,27	0,9
4	8,76	5,66	2,03

• 2<sup>e</sup> hypothèse avec vent II

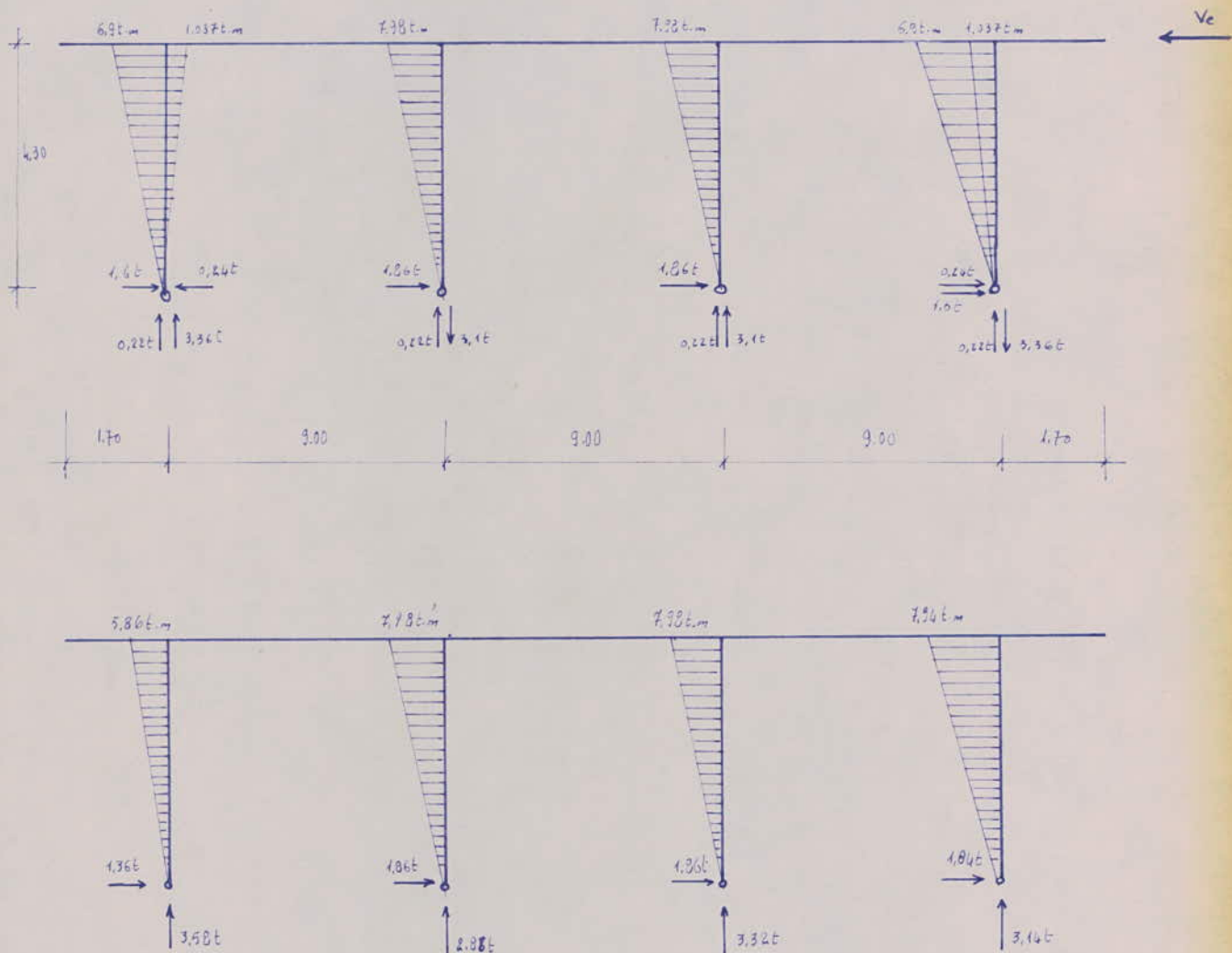


Poteau	$M$ (t.m)	$N$ (t)	$T$ (t)
1	8.76	5.66	2.03
2	3.83	6.24	0.90
3	12.13	6.71	8.82
4	5.04	5.22	1.17

3e hypothèse avec vent I

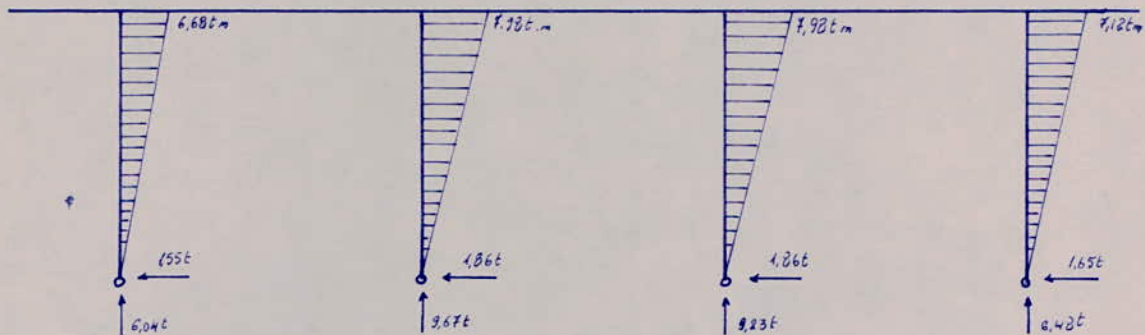
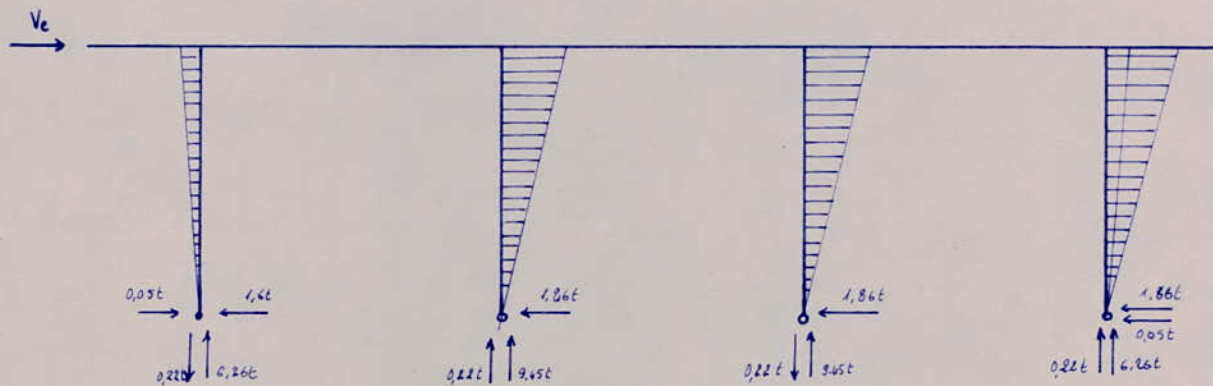


I.étau	M (tm)	N (t)	T (t)
1	1.94	3.14	1.84
2	1.98	3.32	1.86
3	1.98	2.88	1.86
4	5.86	3.58	1.36

3<sup>e</sup> hypothèse : vent II

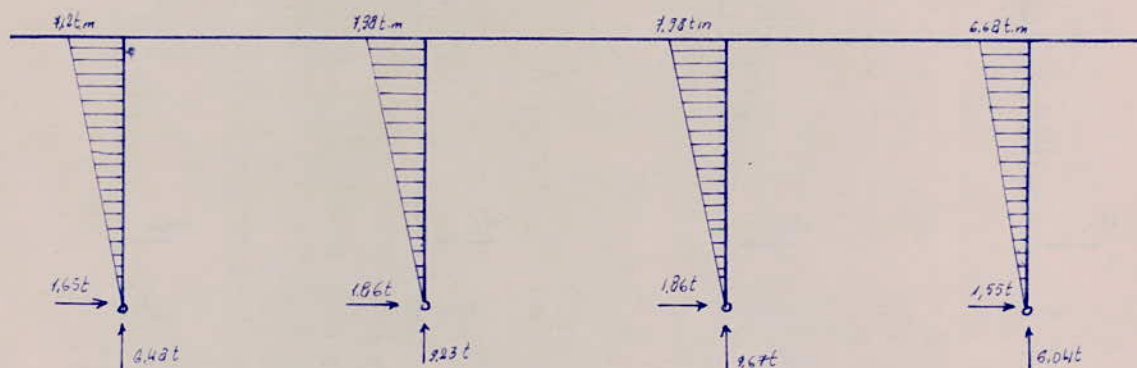
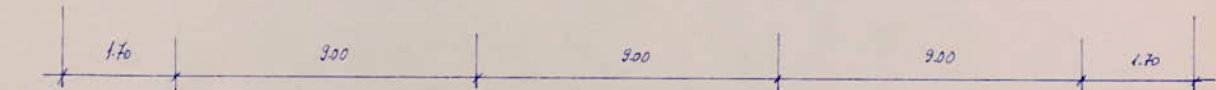
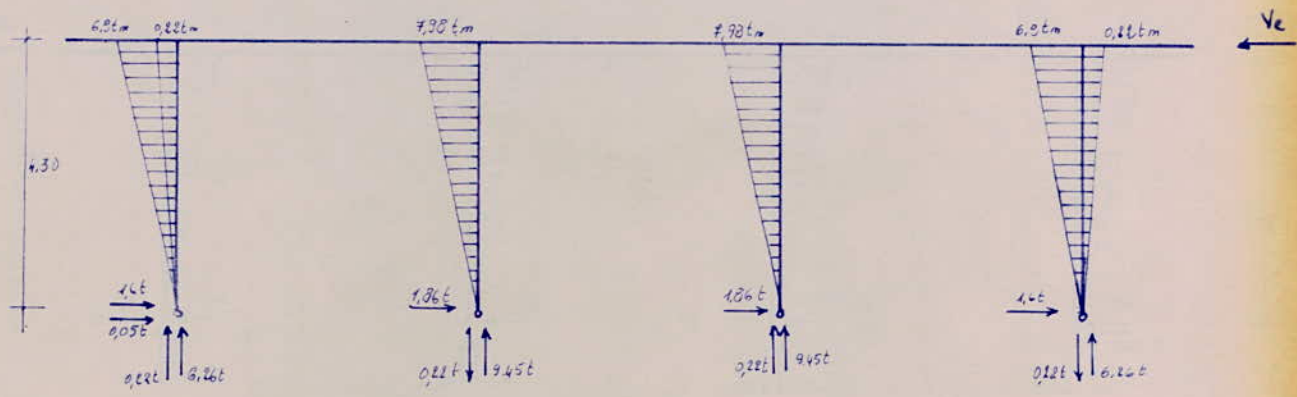
Plateau	M (t-m)	N (t)	T (t)
1	5,86	7,58	1,36
2	7,98	8,88	1,86
3	7,98	3,32	1,86
4	7,94	3,14	1,84

4<sup>e</sup> hypothèse avec vent I.



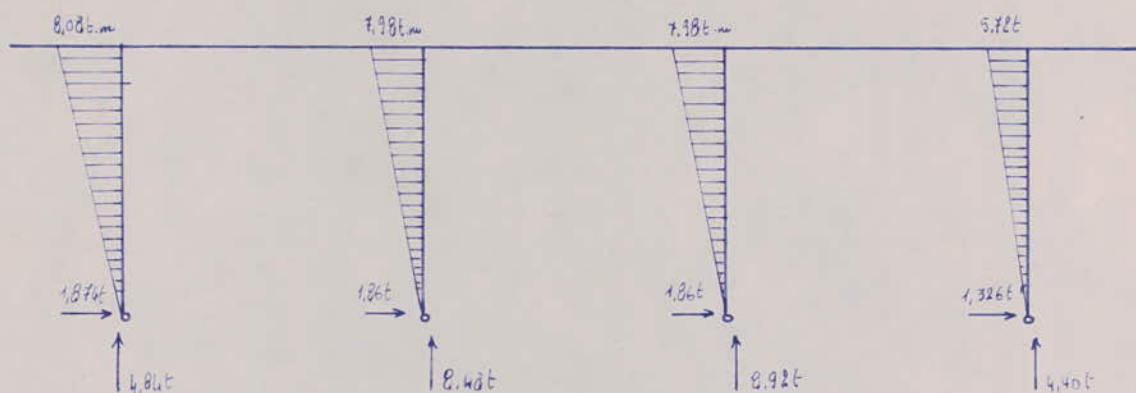
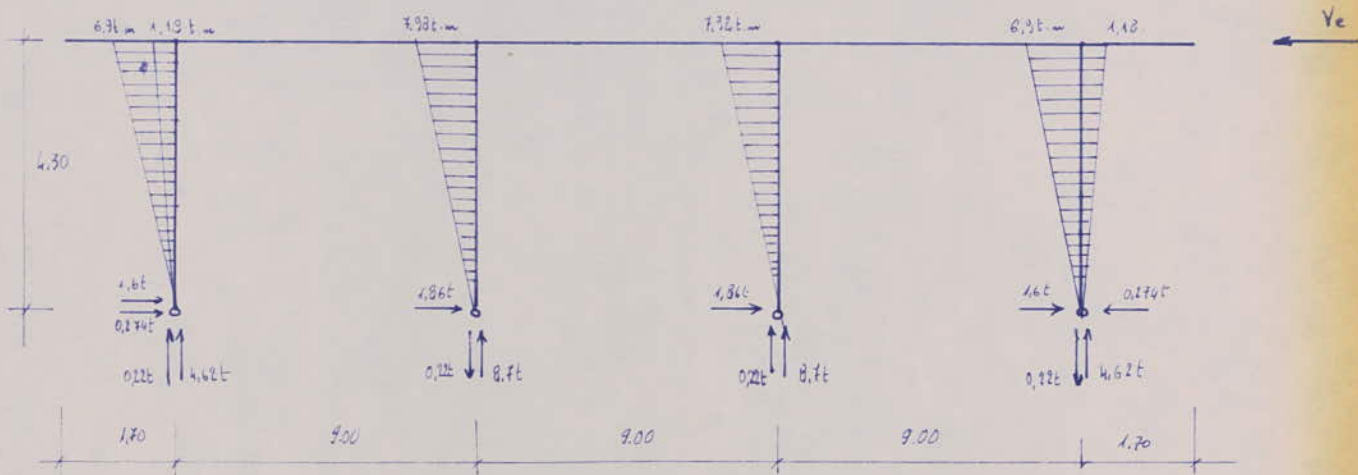
Poteau	M (t.m)	N (t)	T (t)
1	6,68	6,04	1,55
2	7,98	9,67	1,86
3	7,98	9,23	1,86
4	7,12	6,42	1,65

• 1<sup>e</sup> hypothèse avec vent II.



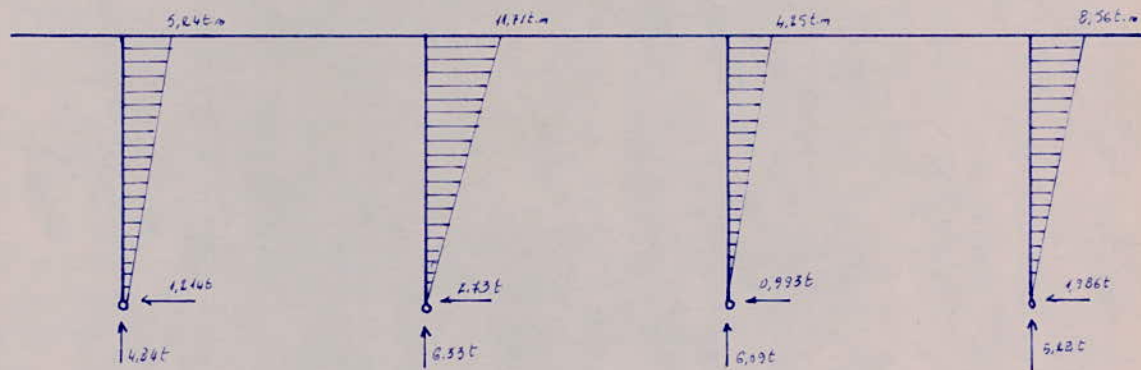
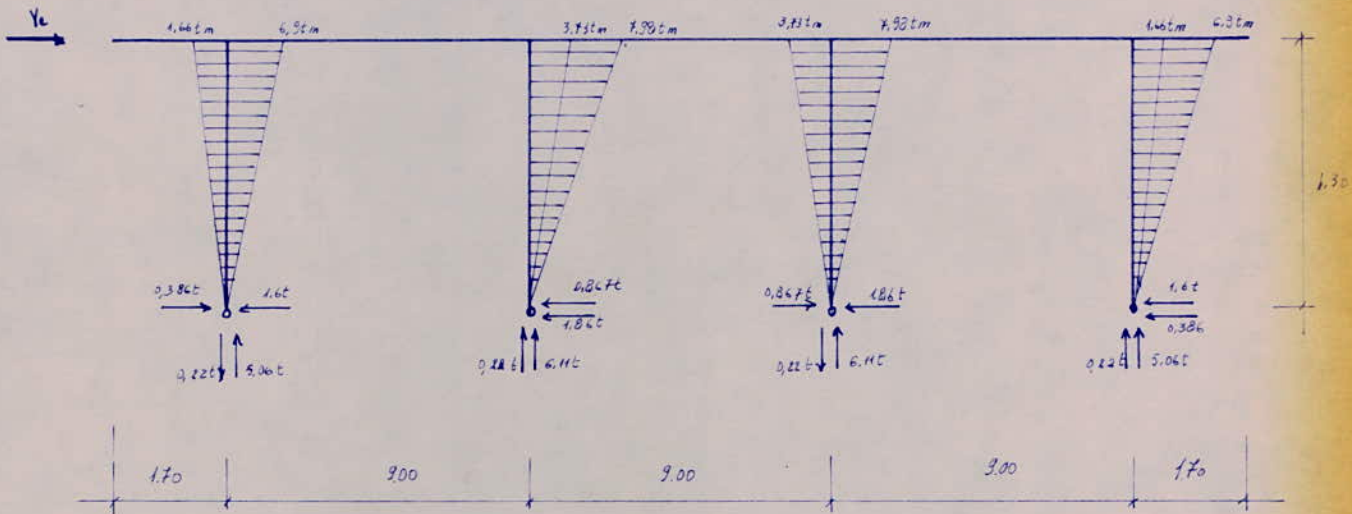
Poteau	M	N	T
1	7,12	6,48	1,05
2	7,98	9,23	1,86
3	7,98	9,67	1,86
4	6,68	6,04	1,55

1<sup>e</sup> hypothèse avec vent II



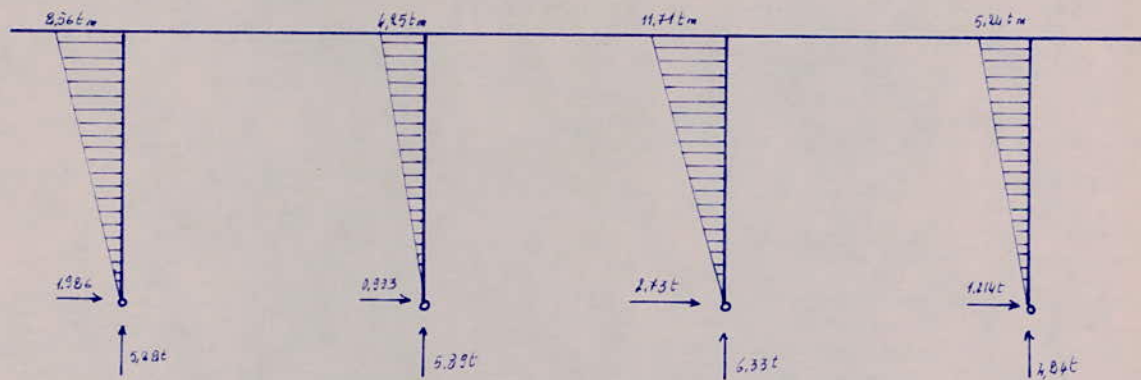
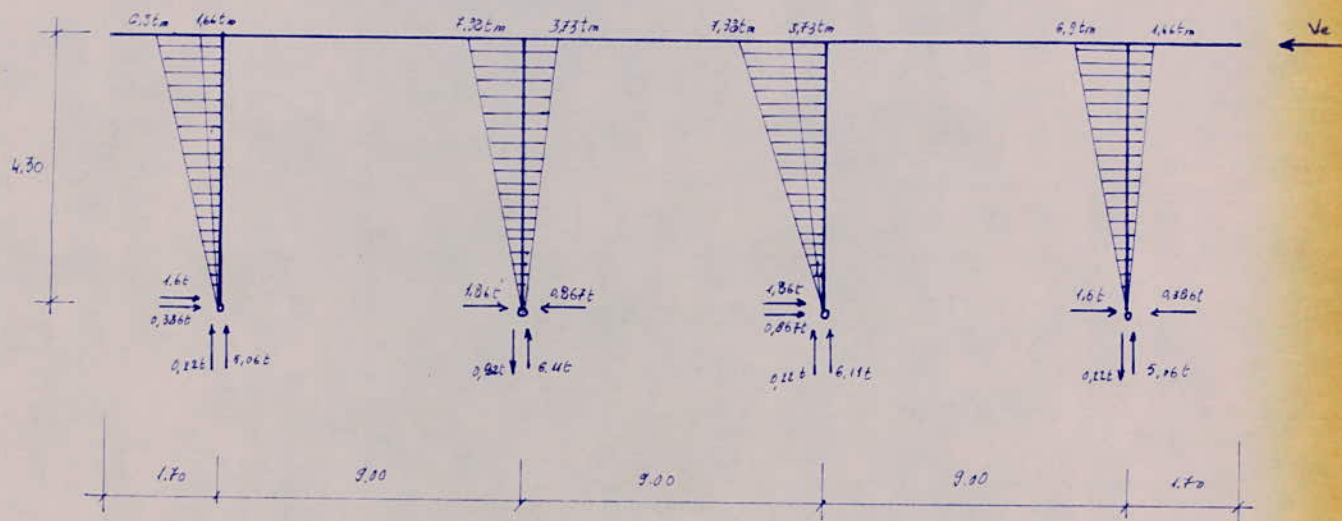
Poteau	M (t.m)	N (t)	T (t)
1	8,08	4,84	1,874
2	7,98	8,48	1,86
3	7,98	8,92	1,86
4	5,72	4,40	1,326

• 2<sup>e</sup> hypothèse avec vent I.



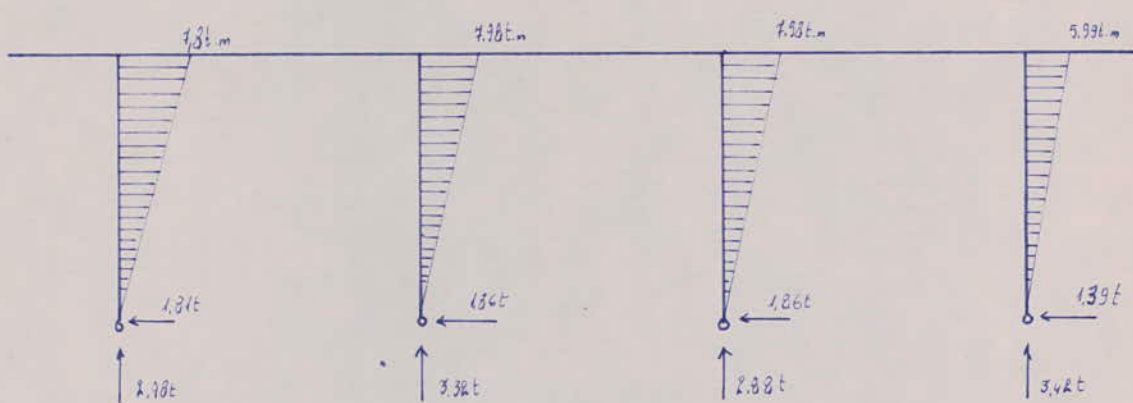
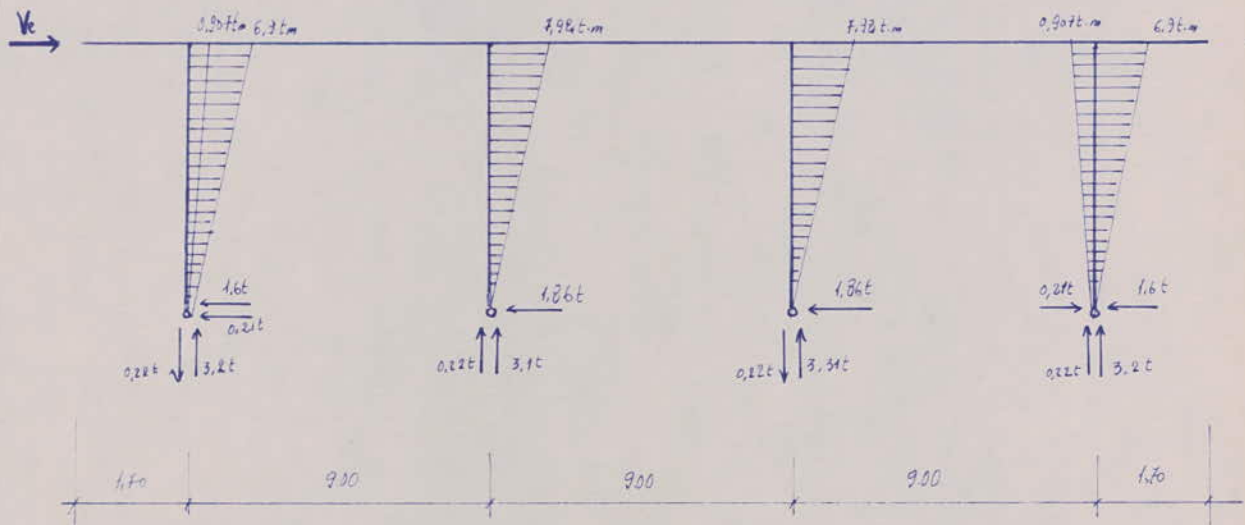
P.terrain	M (t/m)	N (t)	T (t)
1	5.24	4.84	1.814
2	11.71	6.33	2.73
3	4.25	6.09	0.993
4	8.56	5.28	1.986

2<sup>e</sup> hypothèse avec vent II



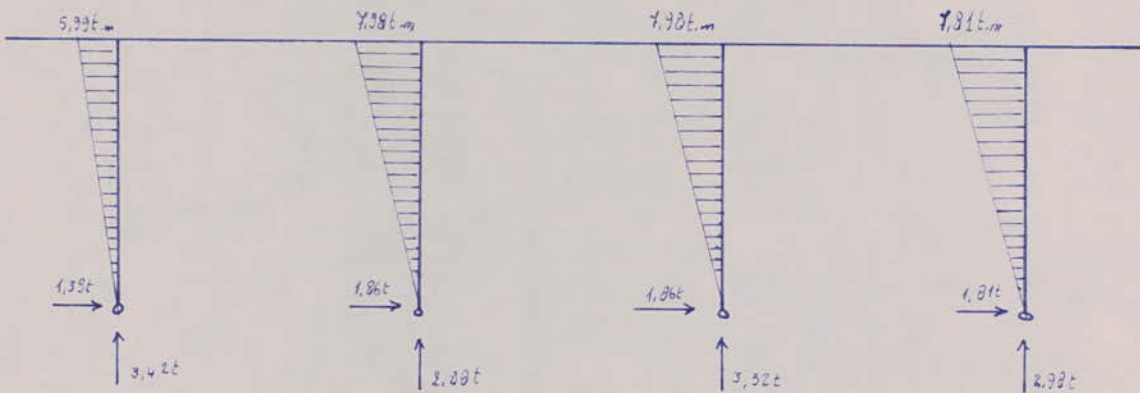
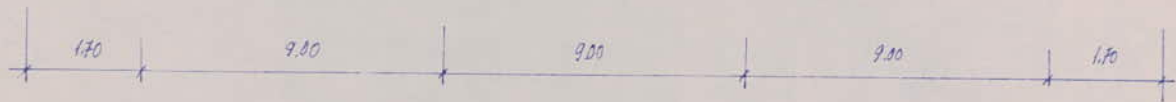
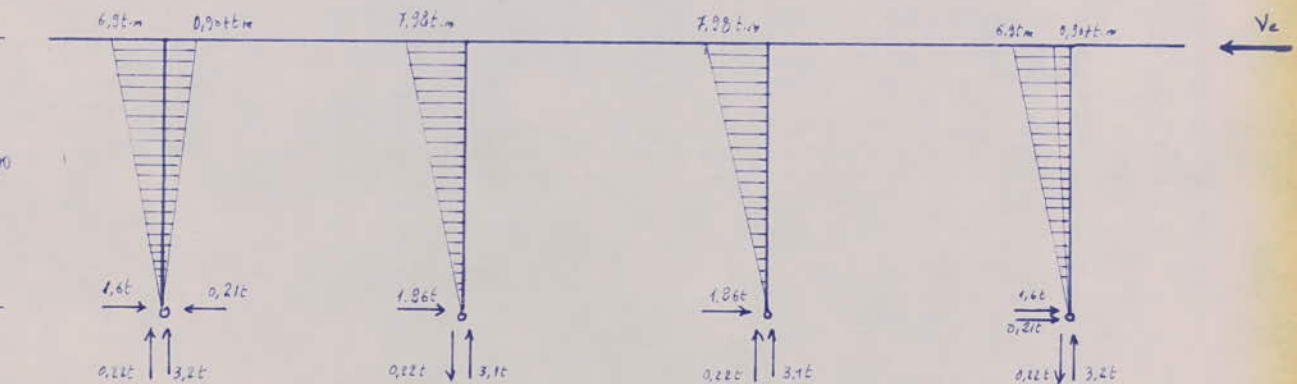
Poleau	M	N	T
1	8,96	5,28	1,986
2	4,25	5,89	0,993
3	11,71	6,33	2,73
4	5,24	4,84	1,214

3<sup>e</sup> hypothèse avec vent I.



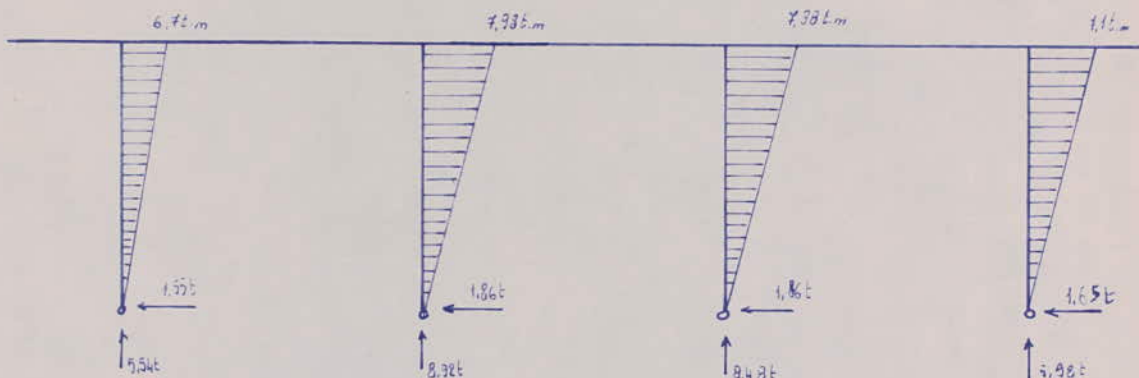
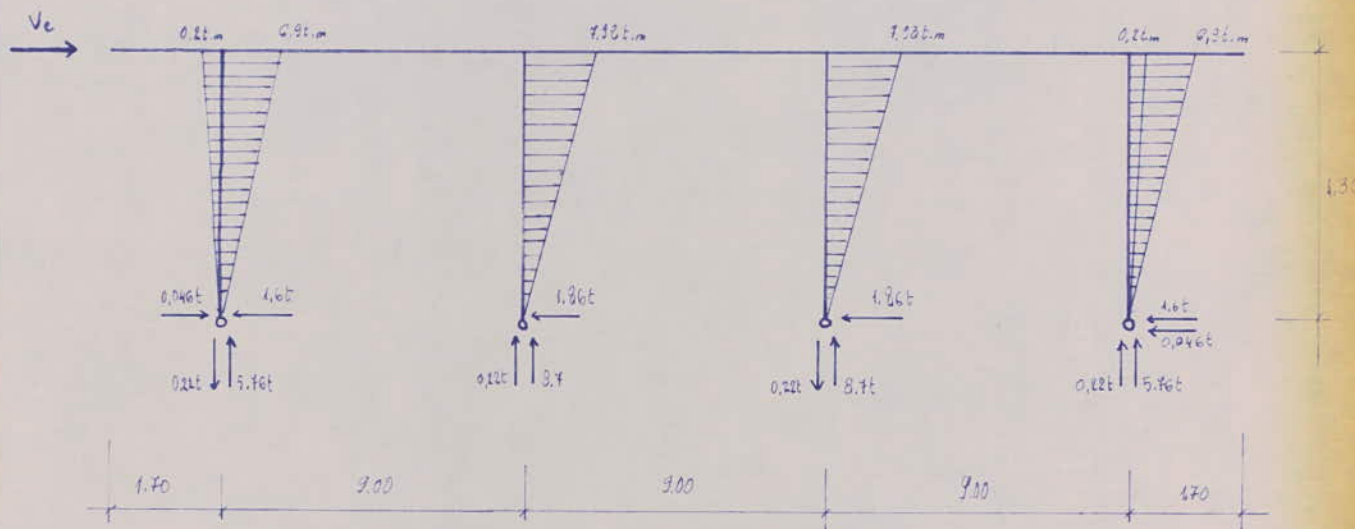
L+team	M	N	T
1	7.8	2.98	1.81
2	7.98	3.32	1.86
3	7.98	2.88	1.86
4	5.99	3.42	1.39

3<sup>e</sup> hypothèse avec vent II.



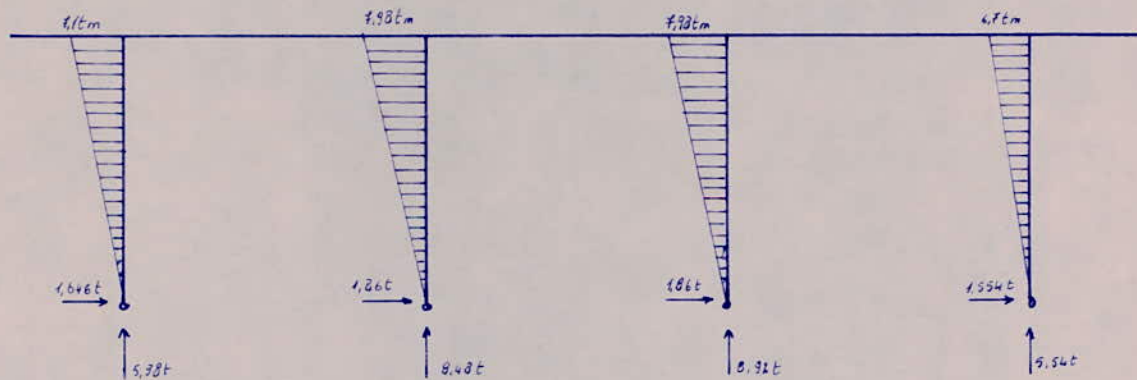
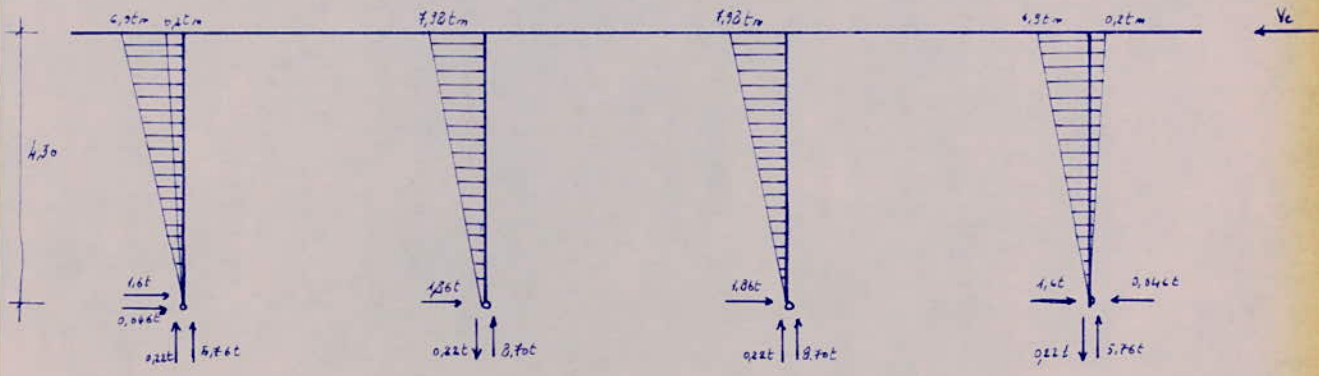
Réaction	M	N	T
1	5,99	3,42	1,39
2	7,98	2,80	1,86
3	7,98	3,32	1,86
4	7,81	2,98	1,81

4<sup>e</sup> hypothèse avec vent I.



Poteau	M	N	T
1	6.70	5.54	1.56
2	7.98	8.92	1.86
3	7.98	8.48	1.86
4	7.10	5.98	1.65

4<sup>e</sup> hypothèse avec vent n°



Poteau	M	N	T
1	7.10	5.98	1.646
2	7.98	8.48	1.26
3	7.98	8.92	1.08
4	6.70	5.54	1.554

Element	1: Cas de charge $\frac{q_0}{2}x + \frac{q_0}{2}(L-x)$				2: Cas de charge $\frac{q_0}{2}x + \frac{3}{2}P + V_0$			
	Effort 1 <sup>e</sup> hypothèse	2 <sup>e</sup> hypothèse	3 <sup>e</sup> hypothèse	4 <sup>e</sup> hypothèse	Effort 1 <sup>e</sup> hypothèse	2 <sup>e</sup> hypothèse	3 <sup>e</sup> hypothèse	4 <sup>e</sup> hypothèse
$N(l)$	5,17	5,66	3,14	0,48	4,84	5,28	2,98	5,98
$M(t_m)$	8,83	8,76	7,94	7,12	8,08	8,56	7,80	7,1
$T(l)$	1,24	1,03	1,84	1,65	1,274	1,926	1,01	1,65
$N(l)$	9,67	6,41	3,32	2,67	8,92	6,33	3,52	8,92
$M(t_m)$	7,98	12,13	7,90	7,98	7,98	11,71	7,98	7,98
$T(l)$	1,86	2,02	1,86	1,86	1,86	2,73	1,86	1,86

Valeurs intermédiaires

Valeurs de  $M$ ,  $N$ ,  $T$  pour les poteaux après combinaison des charges verticales et horizontales

### Calcul des poteaux.

Poteau de rive : Nous avons deux cas à considérer.

Moment maximum       $M = 8,46 \text{ t.m}$   
 $N = 5,66 \text{ t}$   
 $T = 2,03 \text{ t}$

Effort normal maximum:       $M = 7,12 \text{ t.m}$   
 $N = 6,48 \text{ t}$   
 $T = 1,65 \text{ t}$

### Poteau intermédiaire.

Moment maximum :       $M = 12,13 \text{ t.m}$   
 $N = 6,71 \text{ t}$   
 $T = 2,82 \text{ t}$

Effort normal maximum :       $M = 7,98 \text{ t.m}$   
 $N = 9,67 \text{ t}$   
 $T = 1,86 \text{ t}$

Remarque: les poteaux de rive et les poteaux intermédiaires étant faits tous les deux en HEB 220, nous prendrons les deux cas les plus défavorables parmis ces quatre cas et nous effectuerons la vérification des poteaux.

Cas défavorable : 1/ Moment Maximum :       $M = 12,13 \text{ t.m}$   
 $N = 6,71 \text{ t}$   
 $T = 2,82 \text{ t}$

2/ Effort normal Maximum :       $M = 7,98 \text{ t.m}$   
 $N = 9,67 \text{ t}$   
 $T = 1,86 \text{ t.}$

### Vérification des plateaux.

Caractéristiques du HEB 220

$$A = 91 \text{ cm}^2$$

$$W_x = 736 \text{ cm}^3$$

$$W_y = 298 \text{ cm}^3$$

$$I_x = 8091 \text{ cm}^4$$

$$I_y = 2845 \text{ cm}^4$$

$$i_x = 9,43 \text{ cm}$$

$$i_y = 5,59 \text{ cm}$$

$$\rho_p = 7,8 \text{ kg/ml.}$$

$$h = 220 \text{ mm.}$$

Pointe haute du plateau:  $G = 71,5 \times 4,65 = 332,5 \text{ kgs}$

y

$$M = 12,13 \text{ t.m}$$

$$N = 6,71 \text{ t} \quad \Rightarrow \quad N' = N + G = 6710 + 332,5 = 7042,5 \text{ kgs.}$$

$$T = 2,82 \text{ t}$$

$$\sigma = \frac{N'}{A} = \frac{7042,5}{91} = 77,39 \text{ daN/cm}^2$$

$$\sigma_{fx} = \frac{M}{W_x} = \frac{12130,00}{736} = 1648,07 \text{ daN/cm}^2$$

$$l_{fx} = l_{fy} = 0,7 \times 1,85 = 3,255 \text{ m.}$$

$$\lambda_x = \frac{l_{fx}}{i_x} = \frac{3,255}{9,43} = 35,51 \quad \Rightarrow \quad \sigma_{kx} = 16447,6 \text{ daN/cm}^2$$

$$\lambda_y = \frac{l_{fy}}{i_y} = \frac{3,255}{5,59} = 58,23 \quad \Rightarrow \quad \sigma_{ky} = 6113,4 \text{ daN/cm}^2$$

$$\mu_f = \frac{\sigma_{kx}}{\sigma_{fx}} = 9,979.$$

$$k_f = \frac{\mu_f + 0,25}{\mu_f - 1,3} = \frac{9,979 + 0,25}{9,979 - 1,3} = 118.$$

$$\mu = \frac{\sigma_{ky}}{\sigma} = 18,99$$

$$K_y = \frac{\mu - 1}{\mu - 1,3} = 1,004.$$

$$K_d = \frac{K_{d0}}{C} + \frac{C-1}{5K_{d0}}$$

$$C = \sqrt{\frac{3}{1 + \frac{M_0}{M_w} + \left(\frac{M_0}{M_w}\right)^2 - 0,152 \left(1 - \frac{M_0}{M_w}\right)^2}}$$

Or  $M_0 = 0$

$$\Rightarrow C = 1,88$$

$$K_{d_0} = \frac{K_0}{1 + \frac{\sigma_d}{\sigma_c} (K_0 - 1)}$$

$C = B = 1$

$$D = \sqrt{1 + 0,156 \cdot \frac{J}{I_y} \left(\frac{l}{h}\right)^2} = \sqrt{1 + 0,156 \cdot \frac{81,3}{2243} \left(\frac{465}{82}\right)^2} = 1,73.$$

$$\tilde{\sigma}_d = H \cdot 10^6 \cdot \frac{I_y}{I_x} \left(\frac{l}{h}\right)^2 (D \cdot 1) B \cdot C = 2896,86 \text{ daN/cm}^2.$$

$$\lambda_0 = \frac{l}{h} \sqrt{\frac{4}{Bc} \frac{I_x}{I_y} \left(1 - \frac{\sigma_d}{\sigma_c}\right)} = 14,99 \Rightarrow K_0 = 1,0078.$$

$$\Rightarrow K_{d_0} = 1,00$$

$$K_d = 0,708 \quad \text{sat} \quad K_d = 1.$$

Verification:

$$K_{x,y} \tilde{\sigma} + K_f K_d \tilde{\sigma}_f \leq \sigma_e.$$

$$1,004 \times 14,99 + 1 \times 1,18 \times 1648,07 = 2022,48 < 2400 \text{ daN/cm}^2.$$

2)

$$M = 7,98 \text{ t.m}$$

$$N = 9,67 \text{ t} \Rightarrow N' = N + G = 9670 + 332,5 = 10002,5 \text{ kg}.$$

$$T = 1,86 \text{ t}$$

$$\tilde{\sigma} = \frac{N'}{A} = 109,91 \text{ daN/cm}^2.$$

$$\tilde{\sigma}_{fx} = \frac{M}{W_h} = 1084,24 \text{ daN/cm}^2.$$

$$\frac{l_{fx}}{l_{fy}} = \frac{325,5}{325,5} \text{ cm.} \Rightarrow \lambda_x = \frac{l_{fx}}{i_x} = 35,51 \Rightarrow \tilde{\sigma}_{kx} = 18447,78 \text{ daN/cm}^2.$$

$$\frac{l_{fx}}{l_{fy}} = \frac{325,5}{325,5} \text{ cm.} \Rightarrow \lambda_y = \frac{l_{fx}}{i_y} = 58,23 \Rightarrow \tilde{\sigma}_{ky} = 6113,4 \text{ daN/cm}^2.$$

$$\mu_f = \frac{\tilde{\sigma}_{kx}}{\tilde{\sigma}_{fx}} = 15,69.$$

$$K_f = \frac{\mu_f + 0,25}{\mu_f - 1,3} = 1,107$$

$$\mu = \frac{\tilde{\sigma}_{ky}}{\tilde{\sigma}} = 55,62 \Rightarrow K_{y,y} = 1,005.$$

$$K_d = \frac{K_{d_0}}{C} + \frac{C-1}{2K_{d_0}}$$

$$C = 1,88 \Rightarrow K_d = 0,708 \quad \text{sat} \quad K_d = 1.$$

Verification:

$$K_{x,y} \tilde{\sigma} + K_f K_d \tilde{\sigma}_f \leq \sigma_e.$$

$$1,005 \times 109,91 + 1 \times 1,107 \times 1084,24 = 1310,71 \text{ daN/cm}^2 < 2400 \text{ daN/cm}^2.$$

### Calcul de la base du poteau.

- Plaque d'assise. les dimensions en plan de la plaque d'assise doivent permettre au matériau sous ayant d'équilibrer la charge et éventuellement le moment agissant sur la section de base du poteau sans que la tension en aucun point ne dépasse la contrainte admissible.

$A_{ps}$ : surface de la plaque d'assise.

$$A_{ps} = \frac{N}{\sigma_m}$$

$$\sigma_m = \alpha \sigma_m$$

$\alpha$ : coefficient de pression localisé, = 1.2.

$$A_{ps} = 121,33 \text{ cm}^2$$

$$\sigma_m = 82,44 \text{ daN/cm}^2$$

$\sigma_m$ : contrainte admissible du béton à la compression

$$\sigma_m = 68,7 \text{ daN/cm}^2$$

N: effort normal maximum = 1002,5 daN.

$$100 \leq c \leq 150 \text{ mm} \quad \text{Sait} \quad c = 100 \text{ mm}$$

$$10 \leq e_t \leq 14 \quad \text{Sait} \quad e_t = 10 \text{ mm}$$

$$a_1 = b_s = 220 \text{ mm}$$

$$a = \frac{b_s}{2} - \frac{e_t}{2} = \frac{220}{2} - \frac{10}{2} = 105,25 \text{ mm}$$

$$B_p = a_1 + 2e_t + 2c = 220 + 2 \times 10 + 2 \times 100 = 440 \text{ mm}$$

$$l_p \geq \frac{N}{B_p \sigma_m} = 27,57 \text{ cm}$$

$$\text{Sait } l_p = 30 \text{ cm.}$$

$$e_s + b_1 = \frac{1}{2}(l_p - h) = \frac{1}{2}(30 - 22) = 4 \text{ cm}$$

$$b_1 = 2,4 \text{ cm.}$$

Plaque ①.

Cette plaque sera calculée comme console en prenant une bande de 1cm de large suivant c.



$$\text{charge/cm} = q_m = \frac{N}{l_p B_p} \times 1 = \frac{1002,5}{30 \times 440} = 7,57 \text{ daN/cm.}$$

$$M_c = q_m \frac{c^2}{2} = 7,57 \times \frac{10^2}{2} = 378,5 \text{ daN.cm.}$$

Plaque affuyée sur 4 cols. ②

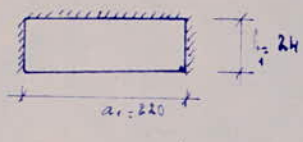


$$b/a = \frac{18}{105,25} = 1,78 \neq 1,8 \Rightarrow \alpha = 0,091.$$

$$M_c = 0,091 \times 7,57 \times (10,525)^2 = 76,3 \text{ daN.cm.}$$

- plaque 3

Il s'agit d'une plaque appuyée sur 3 côtés.



$$\frac{b_1}{a_1} = \frac{24}{220} = 0,11 < 0,5 \Rightarrow \text{on peut assimiler la plaque à un tond}$$

$$M_3 = q_{\text{max}} \frac{h_p^3}{2} = 7,57 \times \frac{24^2}{2} = 21,80 \text{ daN.cm}$$

$$\rightarrow M_{\text{max}} = M_3 = 21,80 \text{ daN.cm}$$

$$W_p = \frac{l_p \cdot h_p^3}{6}$$

$h_p$ : épaisseur de la plaque d'assise.

$$\Omega_e = \frac{M}{W_p} \leq \Omega_e \Rightarrow \Omega_p \geq \sqrt{\frac{6 M_{\text{max}}}{\Omega_e}} = 0,946 \text{ cm}$$

Soit  $h_p = 10 \text{ mm}$ .

- Gousset

Le gousset est destiné à assurer la répartition des charges transmises par le fil sur la plaque d'assise.

- épaisseur : établie par des raisons constructives Soit  $\Omega_t = 10 \text{ mm}$ .

- longueur :  $l_t = l_p = 300 \text{ mm}$ .

- hauteur : déterminée par la condition de fixation contre le poteau.

$$h_t \geq \frac{N}{0,75 \cdot n \cdot a_c \cdot \Omega_e}$$

$n = \text{nbre de cordons} = 4$ .

$$a_{\min} = 5 \text{ mm}$$

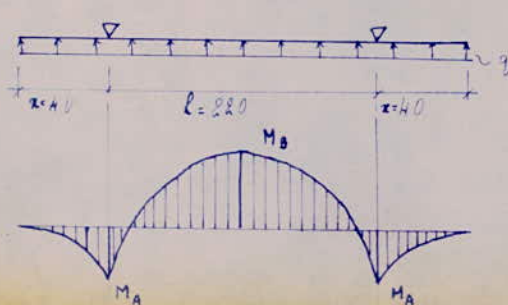
$$a_{\max} = 0,84 \cdot a_{\min} = 8,4 \text{ mm}.$$

Soit  $a = 5 \text{ mm}$ .

par mesure constructive nous prendrons  $h_t = 20 \text{ cm}$ .

### Vérification de la résistance du gousset

Le schéma statique du gousset est le suivant :



$$q = \frac{N}{l_p \cdot B_p} \cdot \frac{B_p}{2} = \frac{10002,5}{44 \times 30} \times \frac{44}{2} = 166,71 \text{ daN/cm}$$

$$M_A = q \cdot \frac{z^2}{2} = 166,71 \times \frac{40^2}{2} = 1333,88 \text{ daN.cm}$$

$$M_B = q \cdot \frac{l^2}{3} - q \cdot \frac{z^2}{2} = 166,71 \times \frac{280^2}{3} - 1333,88 = 8752,3 \text{ daN.cm}$$

$$M_{max} = M_B = 8752,3 \text{ daN.cm}$$

$$W = \frac{b + h_t^2}{6} = \frac{1 \times 20^2}{6} = 66,67 \text{ cm}^3$$

$$\sigma = \frac{M_{max}}{W} < \sigma_c \Rightarrow \sigma = \frac{8752,3}{66,67} = 131,3 \text{ daN/cm}^2 < 2400 \text{ daN/cm}^2.$$

- Calcul des boulons de frottement du plateau.

- Pour le plateau Centres, l'ancrage se fait par mesure constructive avec des boulons de diamètre 24 à 38 mm.

- en effet pour ce cas les effets transversaux doivent être transmis au béton directement par la plaque d'assise en admettant la valeur du coefficient de frottement égal à 0,4 (AF.62)

- Pour que l'appui puisse être considéré comme effectivement articulé il faut que le pied du plateau reste dégagé. De plus les boulons d'ancrage doivent être disposés sur une seule file. (CM.66)

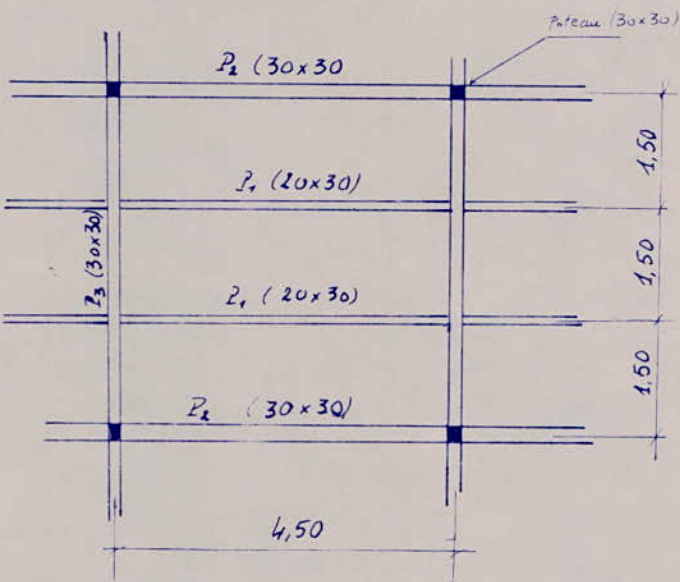
les efforts étant pris les importants nous prendrons des boulons de 24 mm

# CALCUL DU PLANCHER

**CALCUL DU PLANCHER**  
**ZONE - A -**

Constitution.

- Le plancher utilisé se compose :
- d'un hourdis d'épaisseur  $h_t = 8 \text{ cm}$ .
  - de poutrelles  $P_1$  de  $20 \times 30 \text{ cm}^2$  et de portée entre nœuds d'affut  $4,20 \text{ m}$ , espacées de  $1,50 \text{ m}$ .
  - de poutres  $P_2$  de  $30 \times 30 \text{ cm}^2$  et de portée entre nœuds d'affut  $4,20 \text{ m}$ , disposées dans le sens longitudinal et espacées de  $4,50 \text{ m}$ .
  - de poutres  $P_3$  de  $30 \times 40 \text{ cm}^2$  et de portée entre nœuds d'affut  $4,20 \text{ m}$ , disposées dans le sens transversal et espacées de  $4,50 \text{ m}$ .



Evaluation des charges.

Poids propre de la dalle en B.A .....  $0,08 \times 2500 = 200 \text{ kg/m}^2$

Carrelage .....  $0,02 \times 2200 = 44 \text{ ---}$

châssis de ciment .....  $0,02 \times 2000 = 40 \text{ ---}$

sable .....  $0,015 \times 1600 = 24 \text{ ---}$

styrofoam .....  $12 \text{ ---}$

$$G = \sum = 320 \text{ kg/m}^2$$

Surcharges d'exploitation non majorée .....  $P = 500 \text{ kg/m}^2$

nous avons  $P < 2G \Rightarrow$  plancher à surcharge modérée.

La dalle et les poutres seront calculées sous :  $G + 1,2 P$

$$q_{\text{kg/m}^2} = 320 + 1,2 \cdot 500 = 920 \text{ kg/m}^2$$

### Caractéristiques des matériaux.

- béton peu contrôlé à 350 kg/m<sup>3</sup>

$$\bar{\sigma}'_{b,0} = 68,7 \text{ dan/cm}^2$$

$$\bar{\sigma}_b = 5,9 \text{ dan/cm}^2$$

- Acier : pour le hourdis on utilisera du Fe E 24  $\rightarrow \sigma_{en} = 2400 \text{ dan/cm}^2$   
pour les poutres et poutrelles on utilisera du H A 40.  $\rightarrow \sigma_{en} = 4200 \text{ dan/cm}^2$ .

### (I) Calcul du hourdis.

$$M_o = p = \frac{l_x}{l_y} = \frac{1,30}{4,20} = 0,309 < 0,4 \Rightarrow \text{le hourdis sera calculé comme dalle portant dans une seule direction.}$$

nous prendrons une bande de 1 m de large suivant l<sub>x</sub>.

$$M_o = q \frac{l}{8} = 920 \times \frac{1,3^2}{8} = 194,35 \text{ dan.m.}$$

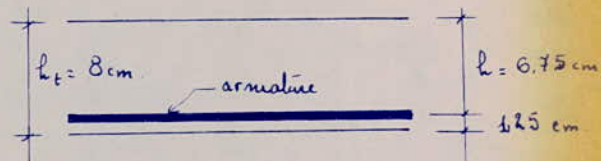
nous prendrons une répartition des moments arbitraire.

$$M_t = 0,8 M_o = 155,50 \text{ dan.m. : moment en travée}$$

$$M_a = 0,5 M_o = 97,50 \text{ dan.m. : moment à l'affut.}$$

$$\text{le diamètre maximum des aciers sera. } \phi_{max} = \frac{k_b}{10} = 0,8 \text{ cm.}$$

le plancher n'étant pas exposé aux intempéries, les armatures seront placées à 1 cm de la paroi.



### Section d'acier en travée

$$\mu = \frac{n M_t}{\bar{\sigma}_{a,b} h^2} = \frac{15 \times 155,50 \cdot 10^2}{1600 \cdot 100 \cdot 6,75^2} = 0,0319$$

$$\varepsilon = 0,9231$$

$$k = 50$$

$$A = \frac{M_t}{\bar{\sigma}_a \varepsilon h} = \frac{155,50 \cdot 10^2}{1600 \cdot 0,9231 \cdot 6,75} = 1,56 \text{ cm}^2 \quad \text{soit} \quad 6 \phi 6 \quad A = 1,70 \text{ cm}^2$$

- vérification du pourcentage minimum d'acier.

$$\omega = \frac{A}{bh} = \frac{1,70}{100 \cdot 6,75} = 0,0025 > 0,0012$$

- vérification du béton compressé :

$$\bar{\sigma}'_b = \frac{\bar{\sigma}_a}{k} = \frac{1600}{50} = 32 \text{ dan/cm}^2 < 137 \text{ dan/cm}^2$$

- Armatures de répartition : elles seront constituées par 5 f5 par mètre.

Dans ce cas nous vérifions les écarts maximums des armatures :

$$\text{- armatures principales : } 20 \text{ cm} < 3h_t = 24 \text{ cm.}$$

$$\text{- armature de répartition : } 25 \text{ cm} < 4h_t = 32 \text{ cm.}$$

- Vérification de l'effort tranchant :

$$\text{les moments sur effus étant égaux} \Rightarrow T = \frac{ql^2}{2} = 320 \times \frac{1,3}{2} = 598 \text{ dan}$$

$$z = \frac{f}{8} h = 5,90 \text{ cm.} \quad \sigma_b = \frac{T}{b z} = \frac{598}{100 \cdot 5,9} = 1,01 \text{ dan/cm}^2.$$

$$\text{vérification } \sigma_b < 1,15 \bar{\sigma}_b$$

donc il n'est pas nécessaire de mettre des armatures transversales pour le fourni.

#### Section d'acier à l'effus

$$\mu = \frac{n Ma}{\bar{\sigma}_a b h^2} = \frac{15 \cdot 97,50 \cdot 10^2}{1600 \cdot 100 \cdot 6,75^2} = 0,020$$

$$\epsilon = 0,9379$$

$$k = 65,5$$

$$A = \frac{Ma}{\bar{\sigma}_a \epsilon h} = 0,96 \text{ cm}^2 \quad \text{soit} \quad \phi 6 \quad A =$$

- vérification du % mini. d'acier

$$\omega = \frac{A}{bh} = > 0,0012.$$

- vérification du béton comprimé

$$\bar{\sigma}'_b = \frac{\bar{\sigma}_a}{k} = 24,43 \text{ dan/cm}^2 < 137 \text{ dan/cm}^2.$$

- vérification de l'effort tranchant sur effus

$$T + \frac{M}{z} = 598 - \frac{97,5 \cdot 10^2}{5,9} = - 1054,54 \text{ dan} < 0$$

→ aucune vérification des sections des armatures inférieures et de leur ancrage n'est nécessaire.

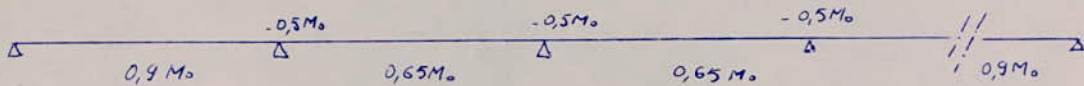
## ② Poutrelles P<sub>1</sub> 20x30

### Evaluation des charges.

Reaction du lourd	$2 \times 598 = 1196 \text{ dan/m}$
Poids propre de la poutrelle	$0,2 \times 0,3 \times 2500 = 150 \text{ dan/m}$
Surcharge majorée sur la poutrelle	$1,2 \times 0,2 \times 500 = 120 \text{ dan/m}$
$\underline{\underline{q = 1466 \text{ dan/m}}}$	

$$M_o = q \frac{l^2}{8} = 1466 \times \frac{4,20^2}{8} = 3233 \text{ dan.m.}$$

Nous adopterons pour les moments en travée et aux appuis les valeurs suivantes :



$$M_a = 0,5 M_o = 1617 \text{ dan.m.} \rightarrow \text{moment d'appui}$$

$$M_{tr} = 0,9 M_o = 2910 \text{ dan.m.} \rightarrow \text{moment en travée pour travée de rive}$$

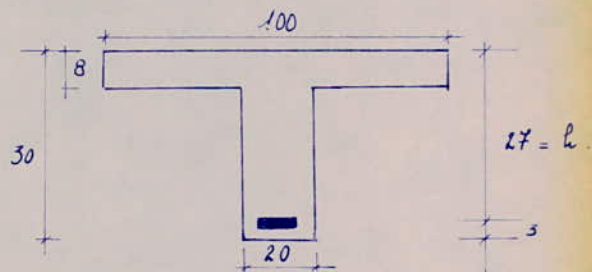
$$M_{ti} = 0,65 M_o = 2102 \text{ dan.m.} \rightarrow \text{moment en travée pour travée intermédiaire.}$$

### Section d'acier en travée pour travée extrême.

La largeur du lourd où faire intervenir pour la table de compression sera le minimum de

$$\frac{l}{2} = \frac{130}{2} = 65 \text{ cm} ; \quad \frac{L}{10} = \frac{420}{10} = 42 \text{ cm} ; \quad \frac{l}{h_f} = 7 \times 8 = 56 \text{ cm}$$

$$\text{Soit } \frac{l}{2} = 40 \text{ cm.}$$



$$\mu = \frac{n M_{tr}}{\sigma_a b h^2} = 0,0213.$$

$$\alpha = 0,1919$$

$$\xi = 0,9360$$

$$k = 63,2$$

$$y_i = \alpha h = 5,18 < h_b = 8 \text{ cm} \Rightarrow \text{l'axe neutre tombe dans la table de compression.}$$

$$A = \frac{M_{tr}}{\sigma_a \xi h} = 4,11 \text{ cm}^2 \quad \text{Soit } 4 \bar{f} 12 \quad A = 4,52 \text{ cm}^2.$$

- vérification du béton comprimé

$$\sigma_b' = \frac{\sigma_a}{k} = \frac{2800}{63,2} = 44,30 \text{ dan/cm}^2 < 137 \text{ dan/cm}^2.$$

• Section en travée pour travée intermédiaire

$$\mu = \frac{m M_{t_i}}{\bar{\sigma}_{ab} b h^2} = 0,0154$$

$$d = 0,1648$$

$$y_i = d - h = 4,44 \text{ cm} < h_t = 8 \text{ cm}$$

$$\varepsilon = 0,9451$$

$$k = 76$$

$$A = \frac{M_{t_i}}{\bar{\sigma}_{ab} h} = 2,94 \text{ cm}^2 \quad \text{Soit } 3\bar{\phi} 12 \quad A = 3,39 \text{ cm}^2$$

- vérification du béton Comprimé :  $\sigma'_b = \frac{\bar{\sigma}_a}{k} = 36,84 \text{ daN/cm}^2 < 137 \text{ daN/cm}^2$ .

• Section sur appui

dans ce cas la table de compression se trouvant dans la zone tendue, au point de vue calcul nous aurons une section rectangulaire (voir fig.).

$$\mu = \frac{m M_a}{\bar{\sigma}_{ab} b^2} = 0,0594$$

$$\varepsilon = 0,8987$$

$$k = 34,40$$

$$A = \frac{M_a}{\bar{\sigma}_a \varepsilon b} = 2,38 \text{ cm}^2 \quad \text{soit } 3\bar{\phi} 12 \quad A = 3,39 \text{ cm}^2$$

à l'appui extérieur les  $3\bar{\phi} 12$  seront remplacés par le  $4\bar{\phi} 12$  provenant des barres relevées de la travée

- vérification du béton Comprimé :  $\sigma'_b = \frac{\bar{\sigma}_a}{k} = 81,40 \text{ daN/cm}^2 < 137 \text{ daN/cm}^2$ .

• Vérification de l'effort tranchant

les armatures transversales seront constituées par un cadre  $\phi 8$ . FeE22.

en tenant compte d'une majoration forfaitaire pour l'effort tranchant :

$$T = 1,1 T_{iso} = 1,1 \times 3078,6 = 3386,5 \text{ daN.}$$

$$\sigma_b = \frac{T}{b z} = \frac{3386,5}{20 \times 23,65} = 7,16 \text{ daN/cm}^2$$

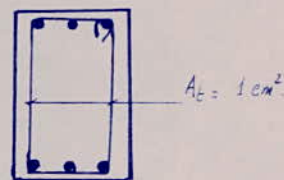
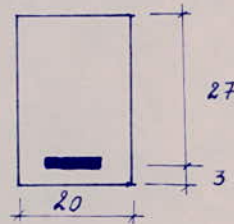
$$\bar{\sigma}'_{b_0} < \sigma'_b < 2 \bar{\sigma}'_{b_0}$$

$$\bar{\sigma}_b < \left( 4,5 - \frac{\bar{\sigma}'_{b_0}}{\bar{\sigma}'_{b_0}} \right) \bar{\sigma}_b = \left( 4,5 - \frac{0,14}{68,5} \right) 5,9 = 19,53 \text{ daN/cm}^2$$

donc on pourra utiliser des cadres perpendiculaires à la ligne moyenne.

$$\rho_{at} = 1 \cdot \frac{z_b}{9\bar{\sigma}_b} = 0,865$$

$$\rho_{at} = \rho_{en} = 0,865 \times 2200 = 1903 \text{ daN/cm}^2$$



$$t = \frac{A_t \cdot \bar{z} \cdot G_{at}}{T} = \frac{1,00 \times 23,63 \times 1903}{3386,5} = 13,27 \text{ cm} \quad \text{soit } t = 10 \text{ cm.}$$

le premier lit d'armatures transversale sera placé à 5cm de l'appui ; pour les autres lits d'armatures voir plan de ferrailage de la ficheulle P1.

### III Poutres P230x30

#### Evaluation des charges.

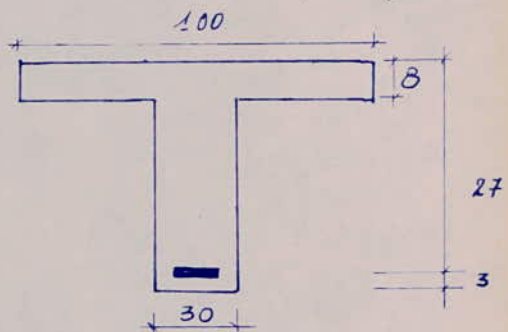
Poids propre de la poutre	$0,30 \times 0,30 \times 2500 = 225 \text{ dan/m}$
Réaction du houzer	$2 \times 598 = 1196 \text{ "}$
Surcharge majeure sur la ficheulle	$1,2 \times 0,30 \times 500 = 180 \text{ "}$
$q = \sum = 1601 \text{ dan/m}$	

$$M_o = q \frac{l^2}{8} = 3230,2 \text{ dan.m.}$$

$$M_{tr} = 0,9 M_o = 3177 \text{ dan.m.}$$

$$M_{ti} = 0,65 M_o = 2294,5 \text{ dan.m.}$$

$$M_a = 0,50 M_o = 1765 \text{ dan.m.}$$



Nous donnerons le résultats sous forme de tableau uniquement.

	Section d'acier	Vérification du béton.
travée de rive	4Φ12 $A = 4,52 \text{ cm}^2$	$\sigma_b' = 46,67 \text{ dan/cm}^2 < 137 \text{ dan/cm}^2$
travée intermédiaire	3Φ12 $A = 3,39 \text{ cm}^2$	$\sigma_b' = 38,75 \text{ dan/cm}^2 < 137 \text{ dan/cm}^2$
Appui	3Φ12 $A = 3,39 \text{ cm}^2$	$\sigma_b' = 67 \text{ dan/cm}^2 < 137 \text{ dan/cm}^2$

#### Vérification de l'effort tranchant.

les armatures transversales seront constituées par un cadre φ8 FeE22 en tenant compte d'une majoration parfaitement pour l'effort tranchant.

$$T = T_{iso} \cdot 1,1 = 1,1 q \frac{l}{2} = 1,1 \times 1601 \times 4,20 = 3698,31 \text{ dan.}$$

$$\tau_b = \frac{T}{b z} = \frac{3698,31}{30 \times 23,63} = 5,22 \text{ dan/cm}^2.$$

$\sigma_b' < \bar{\sigma}_{bs}' \Rightarrow$  on doit vérifier que  $\bar{\sigma}_b \leq 3,5 \bar{\sigma}_b$ .

$$5,22 \leq 3,5 \times 5,9 = 20,65 \text{ dan/cm}^2.$$

$\Rightarrow$  les déformations transversales seront donc de chaque perpendiculaires à la ligne moyenne.

$$\sigma_{at}: \rho_{at} \rho_{en} = \left(1 - \frac{\bar{\sigma}_b}{9\bar{\sigma}_b}\right) \rho_{en} = 0,902 \times 2200 = 1984,4 \text{ dan/cm}^2.$$

$$t = \frac{At \bar{\sigma}_{at}}{T} = \frac{1 \times 23,63 \times 1984,4}{3698,31} = 12,7 \text{ cm. Soit } t = 10 \text{ cm.}$$

$\Rightarrow$  même série de caoutchouc que les poutrelles P1.

#### IV Poutres P3 (30x40)

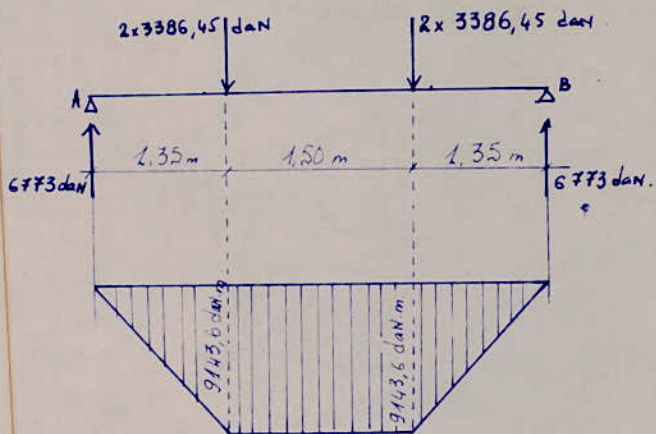
La poutre P3 est soumise à deux types de charges :

1/- une charge concentrée due à la réaction des poutrelles P1

2/- une charge uniformément répartie.

Nous effectuerons le calcul sous les deux types de charges, ensuite nous utiliserons le principe de superposition.

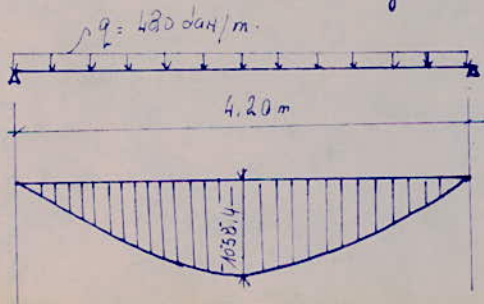
##### 1/ charge concentrée.



$$M_{g_1} = R_A \cdot 1,35 = 6773 \cdot 1,35 = 9143,6 \text{ dan.m.}$$

##### 2/ charge uniformément répartie

$$\begin{array}{ll} \text{- Poids propre de la poutre} & 0,30 \times 0,40 \times 2500 = 300 \text{ kg/m} \\ \text{- Surcharge sur la poutre} & 1,2 \times 0,30 \times 500 = 180 \end{array}$$



$$M_{g_2} = q \frac{l^2}{8} = \frac{480 \times 4,20^2}{8} = 1058,4 \text{ dan.m.}$$

$$q = \Sigma = 480 \text{ kg/m}$$

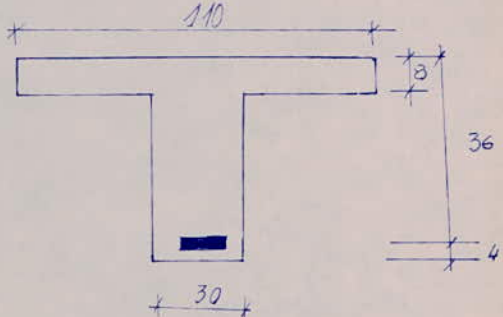
Le moment résultant  $M_o$  sera:

$$M_o = M_{o_1} + M_{o_2} = 9143,6 + 1058,4 = 10202 \text{ dan.m.}$$

$$M_{tr} = 0,9 M_o = 9181,8 \text{ dan.m.}$$

$$M_{ti} = 0,65 M_o = 6631,3 \text{ dan.m.}$$

$$M_a = 0,5 M_o = 5101 \text{ dan.m.}$$



• Section en travée pour travée de rive.

$$\mu = \frac{M_{tr}}{\bar{G}_a b h^2} = \frac{15 \cdot 9181,8 \cdot 10^2}{2800 \cdot 110 \cdot 36^2} = 0,0345$$

$$\Rightarrow \alpha = 0,2388 \quad \Rightarrow y_i = \alpha h = 0,2388 \cdot 36 = 8,59 \text{ cm} > h_t.$$

$$\varepsilon = 0,9204 \quad \Rightarrow \text{l'axe neutre tombe dans la nervure.}$$

$$\beta = \frac{b}{l} = \frac{30}{110} = 0,273$$

$$\theta = \frac{h_t}{h} = \frac{8}{36} = 0,222 \quad \Rightarrow m = 0,3353$$

$$\frac{\alpha}{\theta} = \frac{0,2388}{0,222} = 1,076 \quad z = h - m h_t = 36 - 0,3353 \cdot 8 = 33,32 \text{ cm}$$

$$A = \frac{M_{tr}}{\bar{G}_a z} = \frac{9181,8 \cdot 10^2}{2800 \cdot 33,32} = 9,84 \text{ cm}^2 \quad \text{sont } 5 \bar{\Phi} 16 \quad A = 10,05 \text{ cm}^2$$

- verification du béton confirmé.

$$k = \frac{15(1-\alpha)}{\alpha} \leftarrow 47,81 \quad \sigma_b' = \frac{\bar{G}_a}{k} = 58,56 \text{ dan/cm}^2 < 137 \text{ dan/cm}^2.$$

• Section en travée pour travée intermédiaire.

$$\mu = \frac{M_{ti}}{\bar{G}_a b h^2} = \frac{15 \cdot 6631,3 \cdot 10^2}{2800 \cdot 36^2 \cdot 110} = 0,0249$$

$$\alpha = 0,2044$$

$$\varepsilon = 0,914$$

$$k = 57,9$$

$$A = \frac{M_{ti}}{\bar{G}_a z h} = \frac{6631,3 \cdot 10^2}{2800 \cdot 0,914 \cdot 36} = 7,2 \text{ cm}^2 \quad \text{sont } 4 \bar{\Phi} 16 \quad A = 8,04 \text{ cm}^2$$

- verification du béton confirmé.

$$\sigma_b' = \frac{\bar{G}_a}{k} = \frac{2800}{57,9} = 48,36 \text{ dan/cm}^2 < 137 \text{ dan/cm}^2.$$

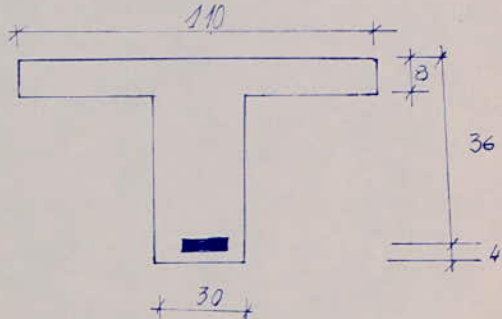
Le moment résultant  $M_o$  sera:

$$M_o = M_{o_1} + M_{o_2} = 9143,6 + 1058,4 = 10202 \text{ dan.m.}$$

$$M_{tr} = 0,9 M_o = 9181,8 \text{ dan.m.}$$

$$M_{ti} = 0,65 M_o = 6631,3 \text{ dan.m.}$$

$$M_a = 0,5 M_o = 5101 \text{ dan.m.}$$



• Section en travée pour travée de rive.

$$\mu = \frac{M M_{tr}}{\bar{G}_a b h^2} = \frac{15 \cdot 9181,8 \cdot 10^2}{2800 \cdot 110 \cdot 36^2} = 0,0345$$

$$\Rightarrow \alpha = 0,2388 \quad \Rightarrow y_i = \alpha h = 0,2388 \cdot 36 = 8,59 \text{ cm} > h_t.$$

$$\varepsilon = 0,9204 \quad \Rightarrow \text{l'axe neutre tombe dans la mesure.}$$

$$\beta = \frac{b}{l} = \frac{30}{110} = 0,273$$

$$\theta = \frac{h_t}{l} = \frac{8}{36} = 0,222 \quad \Rightarrow m = 0,3353$$

$$\frac{\alpha}{\theta} = \frac{0,2388}{0,222} = 1,076 \quad z = h - m h_t = 36 - 0,3353 \cdot 8 = 33,32 \text{ cm.}$$

$$A = \frac{M_{tr}}{\bar{G}_a z} = \frac{9181,8 \cdot 10^2}{2800 \cdot 33,32} = 9,84 \text{ cm}^2 \quad \text{soit } 5 \bar{\Phi} 16 \quad A = 10,05 \text{ cm}^2$$

- verification du béton confirmé:

$$k = \frac{15(1-\alpha)}{\alpha} \leftarrow 47,81$$

$$\sigma_b' = \frac{\bar{G}_a}{k} = 58,56 \text{ dan/cm}^2 < 137 \text{ dan/cm}^2.$$

• Section en travée pour travée intermédiaire

$$\mu = \frac{M M_{ti}}{\bar{G}_a b h^2} = \frac{15 \cdot 6631,3 \cdot 10^2}{2800 \cdot 36^2 \cdot 110} = 0,0249$$

$$\alpha = 0,2044$$

$$\varepsilon = 0,914$$

$$k = 57,9$$

$$A = \frac{M_{ti}}{\bar{G}_a \varepsilon h} = \frac{6631,3 \cdot 10^2}{2800 \cdot 0,914 \cdot 36} = 7,2 \text{ cm}^2 \quad \text{soit } 4 \bar{\Phi} 16 \quad A = 8,04 \text{ cm}^2.$$

- verification du béton confirmé:

$$\sigma_b' = \frac{\bar{G}_a}{k} = \frac{2800}{57,9} = 48,36 \text{ dan/cm}^2 < 137 \text{ dan/cm}^2.$$

- Section Sur effort:

$$\mu = \frac{m M_a}{\bar{\sigma}_b b h^2} = \frac{15 \cdot 5101 \cdot 10^2}{2800 \cdot 110 \cdot 36^2} = 0,0192$$

$$E = 0,939$$

$$k = 67,33$$

$$A = \frac{M_a}{\bar{\sigma}_b E h} = \frac{5101 \cdot 10^2}{2800 \cdot 0,939 \cdot 36} = 5,39 \text{ cm}^2 \text{ soit } 3 \phi 16 \quad A = 6,03 \text{ cm}^2$$

- Vérification du béton Comprimé:

$$\sigma'_b = \frac{\bar{\sigma}_a}{k} = \frac{2800}{67,33} = 41,53 \text{ daN/cm}^2 < 137 \text{ daN/cm}^2.$$

- Vérification de l'effet tranchant:

les armatures transversales seront constituées par un cadre  $\phi 10$  FeE22.

En tenant compte d'une majoration parfaitaire pour l'effet tranchant.

$$T = 1,1 T_{so} = 1,1 \times 7781 = 8559,1 \text{ daN.}$$

$$j = \frac{\pi}{8} l = 31,5 \text{ cm} \Rightarrow \bar{\sigma}_b = \frac{T}{6j} = \frac{8559,1}{30 \times 31,5} = 9,05 \text{ daN/cm}^2$$

$$\bar{\sigma}'_b < \bar{\sigma}_b$$

on doit vérifier que:

$$\bar{\sigma}_b \leq 3,5 \bar{\sigma}'_b \Rightarrow 9,05 < 3,5 \times 5,9 = 20,65 \text{ daN/cm}^2.$$

dans ce cas on pourra utiliser des cadres penchés dans la ligne moyenne.

$$\beta_{at} = 1 - \frac{\bar{\sigma}_b}{90} = 1 - \frac{9,05}{9 \times 5,9} = 0,829$$

$$\bar{\sigma}_{at} = \beta_{at} \times 500 = 0,823 \times 2200 = 1810,6 \text{ daN/cm}^2.$$

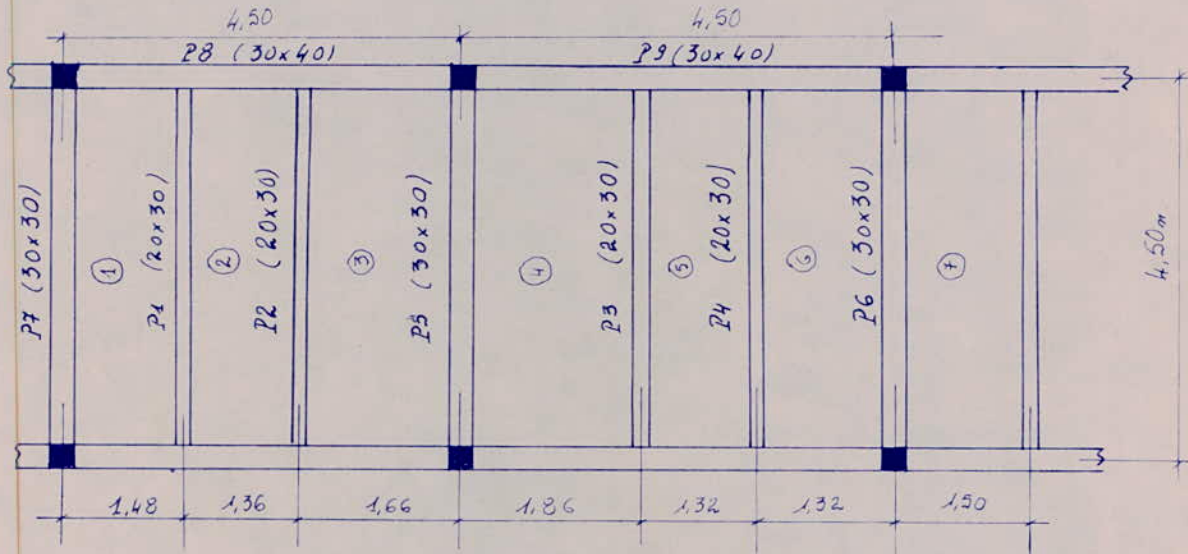
$$t = \frac{A t_3 \bar{\sigma}_{at}}{T} = \frac{1,57 \times 31,5 \times 1810,6}{8559,1} = 10,5 \text{ cm.} \text{ Soit } t = 10 \text{ cm.}$$

⇒ Nous aurons la même série de Caquot que pour les autres pôles.

CALCUL DU PLANCHER

ZONE - B -

La zone B diffère de la zone A uniquement par la disposition des poutrelles P<sub>1</sub> et poutres P<sub>2</sub>, en cause de la présence de cloisons et gaines.



Evaluation des charges.

Poids propre de la dalle	-	$0,08 \times 2500 = 200 \text{ kg/m}^2$
carrelage	-	$0,02 \times 2200 = 44 \text{ --}$
chauffe du ciment	-	$0,02 \times 2000 = 40 \text{ --}$
Sable	-	$0,015 \times 1600 = 24 \text{ --}$
Steropore	-	12 --
poids propre des cloisons uniformément réparties	-	$128,5 \text{ kg/m}^2$

$$G = \Sigma = 448,5 \text{ kg/m}^2$$

$$\text{Surcharges d'exploitation non majorée } \Sigma = 500 \text{ kg/m}^2$$

$P < 2G \Rightarrow$  plancher à surcharges modérées.

Le plancher et la dalle seront calculés sous  $q = G + 1,2P = 448,5 + 1,2 \times 500 = 1048,5 \text{ kg/m}^2$ .

I) Calcul du hourdis.

on calculera uniquement le panneau (4) qui a la plus grande force suivant l'axe, donc présentera un moment plus important. Tous les autres panneaux seront ferrailleés de la même façon.

$$p = \frac{l_x}{l_y} = \frac{1,61}{4,20} = 0,383 < 0,4$$

$$M_0 = q \frac{l^2}{8} = 1048,5 \times \frac{1,61^2}{8} = 339,7 \text{ dan.m.}$$

$$M_t = 0,8 M_0 = 271,76 \text{ dan.m.}$$

$$M_a = 0,5 M_0 = 169,85 \text{ dan.m.}$$

• Section en travei.

$$\mu = 0,0559 \Rightarrow \varepsilon = 0,9015 \\ k = 35,76$$

$$A = \frac{M_t}{\tau_{ash}} = \frac{271,76 \cdot 10^2}{1600 \times 0,9015 \times 6,75} = 2,79 \text{ cm}^2 \quad \text{soit } 6 \phi 8 \quad A = 3,01 \text{ cm}^2$$

- verification du % minimum d'acier.

$$w = \frac{A}{bh} = \frac{3,01}{100 \times 6,75} = 0,0045 > 0,0012$$

- verification du beton compressé

$$C_b = \frac{\bar{c}_a}{k} = \frac{1600}{35,76} = 44,74 \text{ dan/cm}^2 < 137 \text{ dan/cm}^2$$

les armatures de répartition seront constituées par 5φ5 fin métal

Ecartement de barre : armature principale :  $20 \text{ cm} < 3 h_t = 24 \text{ cm}$ .  
armature de répartition :  $25 \text{ cm} < 4 h_t = 32 \text{ cm}$ .

- verification de l'effort tranchant.

$$T = 1,1 T_{cor} = 1,1 \times q \frac{l}{2} = 1,1 \times 1048,5 \times \frac{1,61}{2} = 928,44 \text{ dan}$$

$$C_b = \frac{T}{b z} = \frac{928,44}{100 \times 5,9} = 1,57 \text{ dan/cm}^2 < 1,15 \bar{c}_a$$

• Section sur appui.

$$\mu = 0,0349 \Rightarrow \varepsilon = 0,9199$$

$$k = 47,66$$

$$A = \frac{169,85 \cdot 10^2}{1600 \times 0,9199 \times 6,75} = 1,71 \text{ cm}^2 \quad \text{soit } 7 \phi 6 \quad A = 1,97 \text{ cm}^2$$

- verification du % minimum d'acier.

$$w = \frac{A}{bh} = \frac{1,97}{100 \times 6,75} = 0,0292 > 0,0012$$

Verification du béton Comprimé.

$$\sigma_b = \frac{\bar{P}_a}{k} = \frac{1600}{47,46} = 33,7 \text{ daN/cm}^2 < 137 \text{ daN/cm}^2.$$

(II) Poutrelles 20x30.

Nous calculerons la poutrelle le plus chargé, les autres seront fixées de la même façon.

1. Poutrelle  $P_1$

Réaction du hourdis	609,13 + 644,83	=	1253 kg/m
Poids propre de la poutrelle	0,20 × 0,30 × 2500	=	150 --
Poids propre des cloisons	0,2 × 128,5	=	25,7 --
Surcharge sur poutrelle	1,2 × 0,20 × 500	=	120 --

$$q = \Sigma = 1548,7 \text{ kg/m}$$

2. Poutrelle  $P_2$

Réaction du hourdis	609,13 + 739,19	=	1347,3 kg/m
Poids propre de la poutrelle	0,20 × 0,30 × 2500	=	150 --
Poids propre des cloisons	0,2 × 128,5 + 323,4	=	349 --
Surcharge sur la poutrelle	1,2 × 0,2 × 500	=	120 --

$$q = \Sigma = 1966,4 \text{ kg/m}$$

3. Poutrelle  $P_3$

Réaction du hourdis	844 + 587,16	=	1431,16 kg/m
Poids propre des cloisons	0,2 × 128,5	=	25,7 --
Poids propre de la poutrelle	0,20 × 0,30 × 2500	=	150 --
Surcharge sur la poutrelle	1,2 × 0,2 × 500	=	120 --

$$q = \Sigma = 1726,9 \text{ kg/m}$$

4. Poutrelle  $P_4$

Réaction du hourdis	587,16 + 580,95	=	1168,11 kg/m
Poids propre de la poutrelle	0,20 × 0,30 × 2500	=	150 --
Poids propre des cloisons	0,2 × 128,5	=	25,7 --
Surcharge sur la poutrelle	1,2 × 0,2 × 500	=	120 --

$$q = \Sigma = 1463,81 \text{ kg/m}$$

d'après les résultats obtenus nous devons calculer la poutre  $P_2$  sous la charge maximum  $q = 1966,4 \text{ kg/m}$

$$M_o = q \frac{l^2}{8} = 1966,4 \frac{4,20}{8} = 4335,9 \text{ kg.m}$$

$$M_{t_0} = 0,65 M_o = 2818,3 \text{ dan.m}$$

$$M_a = 0,5 M_o = 2168 \text{ dan.m}$$

• Section en tasse:

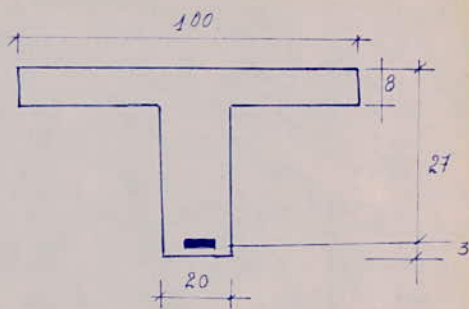
$$\mu = 0,0209$$

$$\Rightarrow \varepsilon = 0,9369$$

$$\alpha = 0,1891$$

$$k = 64,33$$

$$y_i = \alpha h = 2,1 \text{ cm} < h_t = 8 \text{ cm}$$



$$A = \frac{2818,3 \cdot 10^2}{2800 \times 0,9369 \times 27} = 3,98 \text{ cm}^2 \text{ Soit } 4 \Phi 12 \quad A = 4,52 \text{ cm}^2$$

- vérification du béton comprimé:

$$\sigma'_b = \frac{\bar{\sigma}_a}{k} = \frac{2800}{64,33} = 43,5 \text{ daN/cm}^2 < 137 \text{ daN/cm}^2$$

• Section sur appui

$$\mu = 0,0159$$

$$\Rightarrow \varepsilon = 0,9442$$

$$\alpha = 0,1675$$

$$k = 74,5$$

$$A = \frac{2168 \cdot 10^2}{2800 \times 0,9442 \times 27} = 3,04 \text{ cm}^2 \text{ Soit } 3 \Phi 12 \quad A = 3,39 \text{ cm}^2$$

- vérification du béton comprimé:

$$\sigma'_b = \frac{\bar{\sigma}_a}{k} = \frac{2800}{74,5} = 37,60 \text{ daN/cm}^2 < 137 \text{ daN/cm}^2$$

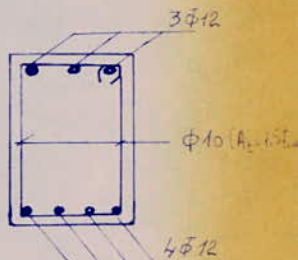
- vérification de l'effet tranchant.

les armatures transversales seront constituées par un cadau  $\Phi 10$  Fe E22.

$$T = 1,1 T_{iso} = 1,1 \times 1966,4 \frac{4,20}{2} = 4542,4 \text{ dan.}$$

$$\sigma_b = \frac{T}{b z} = \frac{4542,4}{20 \times 23,63} = 9,6 \text{ daN/cm}^2 < 3,5 \bar{\sigma}_b = 20,65 \text{ daN/cm}^2$$

les lots d'armatures seront disposés perpendiculairement à la ligne moyenne.



$$\mu_{at} = 0,82 \Rightarrow G_{at} = 0,82 \times 2200 = 1804 \text{ daN/cm}^2.$$

$$t = \frac{1,57 \times 23,63 \times 1804}{4542,4} = 14,72 \text{ cm} \quad \text{Soit } t = 10 \text{ cm.}$$

$\Rightarrow$  même série de caissons que les poutres P1 de la zone A.

### III Poutres 30x30.

Nous déterminerons les aciers pour la poutre la plus chargée.

	Poutre P5 (30x30)	Poutre P6 (30x30)	Poutre P7 (30x30)
Réaction du boussole (daN/m)	$739,2 + 844 = 1583,2$	$629,1 + 560,95 = 1190$	$629,1 + 644,83 = 1273,93$
Poids propre de la poutre (..)	$0,30 \times 0,30 \times 2500 = 225$	$0,3 \times 0,3 \times 2500 = 225$	$0,30 \times 0,30 \times 2500 = 225$
Poids propre des cloisons (..)	$0,3 \times 122,5 = 36,75$	$0,3 \times 122,5 = 36,75$	$0,30 \times 122,5 = 36,75$
Surcharge (..)	$1,2 \times 0,30 \times 500 = 180$	$1,2 \times 0,3 \times 500 = 180$	$1,2 \times 0,30 \times 500 = 180$
Total (..)	$q = 2026,75$	$q = 1633,55$	$q = 1717,5$

$$q_{\max} = 2026,75 \text{ daN/m.}$$

$$M_o = q \frac{l^2}{8} = 2026,75 \times \frac{4,2^2}{8} = 4469 \text{ daN.m.}$$

$$M_{tr} = 0,9 M_o = 4156,2 \text{ daN.m.}$$

$$M_{tr} = 0,65 M_o = 2904,85 \text{ daN.m.}$$

$$M_a = 0,5 M_o = 2234,5 \text{ daN.m.}$$

#### Section en traversée de rive.

$$\mu = 0,0278$$

$$\Rightarrow E = 0,9277 \quad \alpha = 0,2163 \quad \Rightarrow \quad y_1 = \alpha h = 5,85 \text{ cm} < h_t = 8 \text{ cm.}$$

$$A = \frac{4156 \times 10^2}{2800 \times 0,9277 \times 27} = 5,93 \text{ cm}^2 \quad \text{soit } 4 \Phi 14 \quad A = 6,15 \text{ cm}^2.$$

- vérification du béton confirmé

$$\sigma'_s = \frac{\bar{G}_a}{k} = 51,66 < 137 \text{ daN/cm}^2.$$

• Section entravée intermédiaire.

$$\mu = 0,0194$$

$$\Rightarrow \Sigma = 0,9388 \\ \alpha = 0,1845 \quad \Rightarrow \quad y_1 = \alpha h = 4,98 \text{ cm} < h_t = 8 \text{ cm} \\ k = 66,75$$

$$A = \frac{2904,85 \times 10^2}{2800 \times 0,9388 \cdot 27} = 4,1 \text{ cm}^2 \quad \text{soit } 3\bar{\phi}14 \quad A = 4,61 \text{ cm}^2$$

- vérification du béton comprimé

$$\sigma'_b = \frac{\bar{\sigma}_a}{k} = \frac{2800}{66,75} \approx 42 \text{ daN/cm}^2 < 137 \text{ daN/cm}^2$$

• Section sur l'affut

$$\mu = 0,0149$$

$$\Rightarrow \Sigma = 0,9458 \quad A = \frac{2234,5 \cdot 10^2}{2800 \times 0,9458 \cdot 27} = 3,18 \text{ cm}^2 \quad \text{soit } 3\bar{\phi}12 \quad A = 3,39 \text{ cm}^2 \\ k = 77,25$$

- vérification du béton comprimé.

$$\sigma'_b = \frac{\bar{\sigma}_a}{k} = \frac{2800}{77,25} = 36,24 \text{ daN/cm}^2 < 137 \text{ daN/cm}^2$$

- vérification de l'effet tranchant.

les armatures transversales seront constituées par un cadre  $\phi 10$  Fe E22.

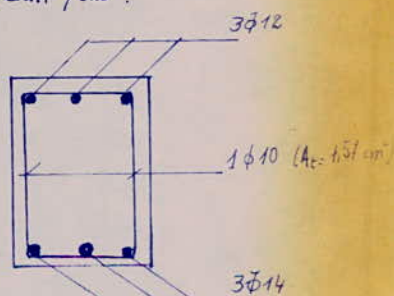
$$T = 1,1 T_{iso} = 1,1 \times 2026,75 \times \frac{4,2}{2} = 4681,8 \text{ daN}$$

$$\bar{\sigma}_b = \frac{T}{b_3} = \frac{4681,8}{30 \times 23,63} = 6,6 \text{ daN/cm}^2 < 3,5 \bar{\sigma}_b = 20,65 \text{ daN/cm}^2$$

$$\rho_{at} = 0,875 \quad \Rightarrow \bar{\sigma}_{at} = 0,875 \times 2200 = 1927 \text{ daN/cm}^2$$

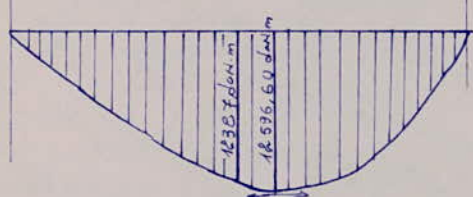
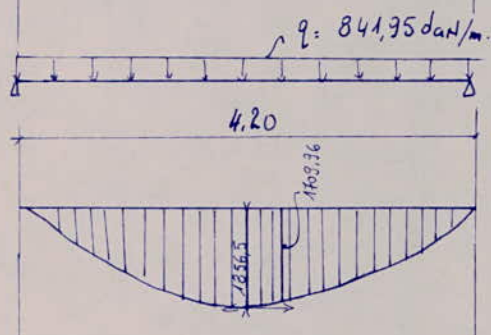
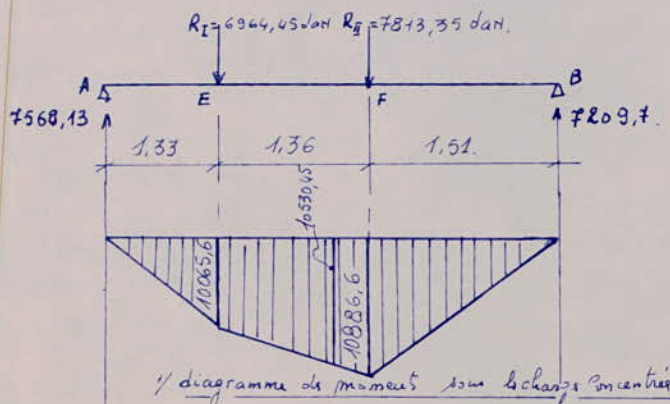
$$t = \frac{1,57 \times 23,63 \times 1927}{4681,8} = 15,27 \text{ cm} \quad \text{soit } t = 10 \text{ cm}$$

$\Rightarrow$  même série de Cagnot que les frottes P2 de la zone A.



(IV) Poutres 30x40.

Nous calculerons uniquement la poutre PB qui est la plus chargée.



. Section en traveé de rive.

$$\mu = 0,044$$

$$\Rightarrow d = 0,27 \quad \Rightarrow y_i = d \cdot h = 9,58 \text{ cm} > h_t = 8 \text{ cm} \\ \Rightarrow l'axe neutre tombe dans la mercure.$$

$$\theta = 0,222 \quad \frac{\alpha}{\theta} = 1,216$$

$$\beta = 0,273$$

$$\Rightarrow m = 0,389$$

$$\Rightarrow z = h - m h_t = 36 - 0,389 \times 8 = 32,9 \text{ cm}$$

$$A = \frac{M_{tr}}{3 \cdot \frac{\alpha}{\theta}} = \frac{11714,84 \times 10^2}{32,9 \times 28,00} = 12,72 \text{ cm}^2 \text{ soit } 5 \bar{\Phi} 20 \quad A = 15,70 \text{ cm}^2$$

entre E et F :

$$M_x = R_A \cdot x - R_I (x - 1,33)$$

entre F et B :

$$M_x = R_A \cdot x - R_I (x - 1,33) - R_B (x - 2,63)$$

$$\Rightarrow M_{max} (x = 2,63) = 10886,6 \text{ daN.m}$$

$$\begin{aligned} \text{Poids propre de la poutre} &= 0,3 \times 0,4 \times 2500 = 300 \text{ kg/m} \\ \text{Poids propre des cloisons} &= 0,3 \times 128,5 + 323,4 = 361,95 \text{ ---} \\ \text{Surcharge sur la poutre} &= 1,2 \times 0,3 \times 500 = 180 \text{ ---} \\ q = \Sigma &= 841,95 \text{ kg/m} \end{aligned}$$

$$M_{o2} = q \frac{l^2}{8} = 841,95 \times \frac{4,2^2}{8} = 1856,5 \text{ daN.m.}$$

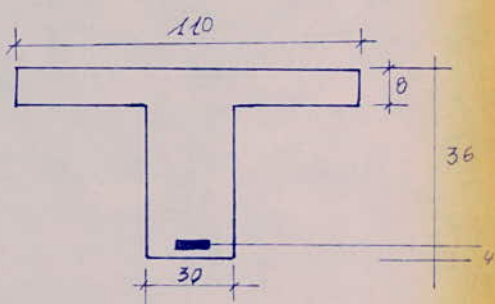
Le moment résultant sera d'après les diagrammes :

$$M_o = 1709,96 + 10886,6 = 12596,6 \text{ daN.m.}$$

$$M_{tr} = 0,9 M_o = 11714,84 \text{ daN.m}$$

$$M_{tr} = 0,65 M_o = 8187,8 \text{ daN.m}$$

$$M_a = 0,5 M_o = 6298,3 \text{ daN.m.}$$



- vérification du béton comprimé.

$$\alpha = 0,27 \Rightarrow k = 40,55$$

$$\sigma'_b = \frac{\bar{\sigma}_a}{k} = \frac{2800}{40,55} = 69,05 \text{ dan/cm}^2 < 137 \text{ dan/cm}^2.$$

• Section en travée pour travée intermédiaire.

$$\mu = 0,0307$$

$$\Rightarrow \varepsilon = 0,9245$$

$$\alpha = 0,226$$

$$k = 51,2$$

$$y_i = \alpha h = 0,136 \text{ cm} > h_t = 8 \text{ cm}.$$

$\Rightarrow$  l'axe neutre tombe dans la nervure.

$$\theta = 0,222$$

$$\frac{\alpha}{\theta} = 1,018$$

$$\Rightarrow m = 0,339.$$

$$\beta = 0,273$$

$$z = h - m h_t = 36 - 0,339 \times 8 = 33,28 \text{ cm}.$$

$$A = \frac{8187,8 \cdot 10^2}{2800 \times 33,28} = 8,78 \text{ cm}^2 \quad \text{soit } 3\bar{\phi}20 \quad A = 9,42 \text{ cm}^2.$$

- vérification du béton comprimé.

$$\alpha = 0,226 \Rightarrow k = 51,37 \quad \sigma'_b = \frac{\bar{\sigma}_a}{k} = 54,5 \text{ dan/cm}^2 < 137 \text{ dan/cm}^2.$$

• Section sur appui.

$$\mu = 0,0237$$

$$\Rightarrow \varepsilon = 0,9329 \quad \Rightarrow A = \frac{6298,3 \cdot 10^2}{2800 \times 0,9329 \times 36} = 6,70 \text{ cm}^2 \quad \text{soit } 3\bar{\phi}20$$

- vérification du béton comprimé

$$\sigma'_b = \frac{\bar{\sigma}_a}{k} = 67,1 \text{ dan/cm}^2 < 137 \text{ dan/cm}^2.$$

- vérification de l'effort tranchant.

les armatures transversales seront constituées par un cadre  $\phi 8$  + une épingle  $\phi 8$  Fe E22.

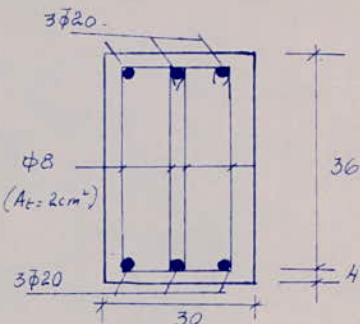
$$T = 1,1 T_{iso} = 1,1 \times 841,95 \times \frac{4,2}{2} + 7568,13 = 9513,03 \text{ dan}.$$

$$\tau_b = \frac{T}{b z} = \frac{9513,03}{30 \times 31,5} = 10,06 \text{ dan/cm}^2 < 3,5 \bar{\sigma}_b$$

$$f_{st} = 0,81 \Rightarrow \sigma_{st} = 0,81 \times 2200 = 1782 \text{ daN/cm}^2$$

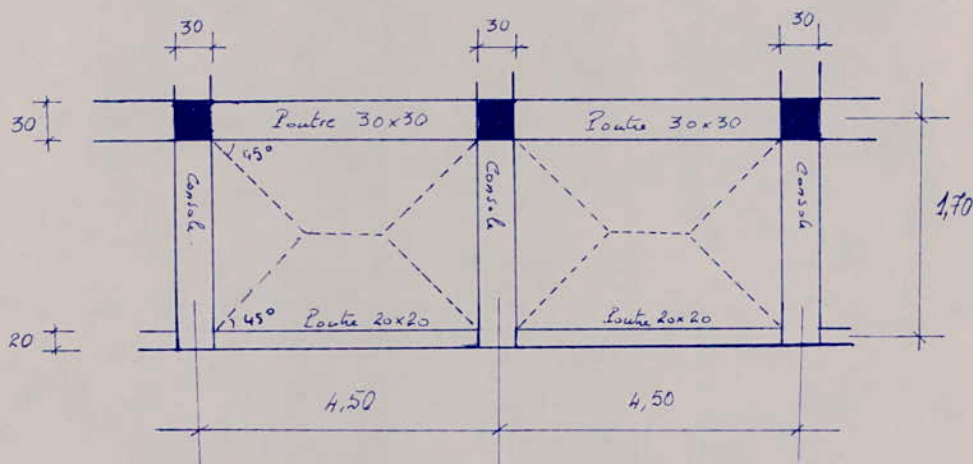
$$t = \frac{2 \times 31,5 \times 1782}{9513,03} = 11,76 \text{ cm} \text{ soit } t = 10 \text{ cm.}$$

même série de caenot que les autres poutres.



### ① Calcul de la poutre de rive 20x20.

Il s'agit de la poutre qui supporte la console.



En admettant une répartition à 45° des charges nous aurons :

#### 1- Poutre de rive 20x20

$$\begin{aligned} \text{Poids propre de la poutre} &= 0,20 \times 0,20 \times 2500 = 100 \text{ kg/m} \\ \text{Réaction du fourdiss} &= 920 \times \frac{2,52}{4,20} = 552 \text{ -- --} \end{aligned}$$

$$\text{Surcharge sur la poutre majorée} = 1,2 \times 0,20 \times 500 = 120 \text{ -- --}$$

$$q = \Sigma = 772 \text{ kg/m}$$

$$M_0 = q \frac{l^2}{8} = 772 \times \frac{4,20^2}{8} = 1702,26 \text{ daN.m.}$$

$$M_{tr} = 0,9 M_0 = 1532 \text{ daN.m.}$$

$$M_{ti} = 0,65 M_0 = 1106,5 \text{ daN.m.}$$

$$M_a = 0,5 M_0 = 851 \text{ daN.m.}$$

• Section d'acier pour traverse de rive.

$$\mu = 0,028$$

$$\Rightarrow \varepsilon = 0,9275 \quad A = \frac{1532 \cdot 10^2}{2800 \cdot 0,9275 \cdot 18} = 3,27 \text{ cm}^2 \quad \text{soit } 3\bar{\phi} 12 = 3,39 \text{ cm}^2.$$
$$k = 54.$$

- vérification du béton comprimé.

$$\sigma'_b = \frac{\bar{\sigma}_a}{k} = 51,85 \text{ daN/cm}^2 < 137 \text{ daN/cm}^2.$$

• Section d'acier pour traverse intermédiaire.

$$\mu = 0,0203$$

$$\Rightarrow \varepsilon = 0,9375 \quad A = \frac{1106,5 \cdot 10^2}{28 \cdot 0,9375 \cdot 18} = 2,34 \text{ cm}^2 \quad \text{soit } 3\bar{\phi} 10 \quad A = 2,35 \text{ cm}^2.$$
$$k = 65$$

- vérification du béton comprimé.

$$\sigma'_b = \frac{\bar{\sigma}_a}{k} = 43 \text{ daN/cm}^2 < 137 \text{ daN/cm}^2.$$

• Section d'acier à l'appui.

$$\mu = 0,0156$$

$$\Rightarrow \varepsilon = 0,9448 \quad A = \frac{851 \cdot 10^2}{2800 \cdot 0,9448 \cdot 18} = 1,79 \text{ cm}^2 \quad \text{soit } 2\bar{\phi} 12 \quad A = 2,26 \text{ cm}^2$$
$$k = 75,5$$

- vérification du béton comprimé.

$$\sigma'_b = \frac{\bar{\sigma}_a}{k} = 37,1 \text{ daN/cm}^2 < 137 \text{ daN/cm}^2.$$

- vérification de l'effort tranchant.

$$T = 1,1 T_{iso} = 1,1 \times 772 \times \frac{4,2}{2} = 1783,32 \text{ daN.}$$

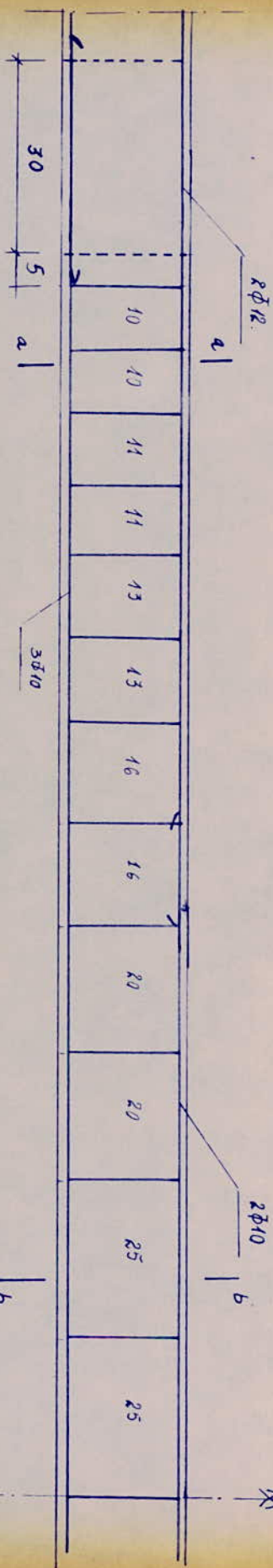
$$\delta = \frac{7}{8} h = \frac{7}{8} \cdot 18 = 15,75 \text{ cm} \quad \Rightarrow \quad \sigma_b = \frac{T}{b\delta} = \frac{1783,32}{20 \times 15,75} = 5,66 \text{ daN/cm}^2 < 3,5 \bar{\sigma}_b.$$

$$l_{pt} = 0,893 \quad \Rightarrow \quad \sigma_{at} = 0,893 \times 2200 = 1964,6 \text{ daN/cm}^2.$$

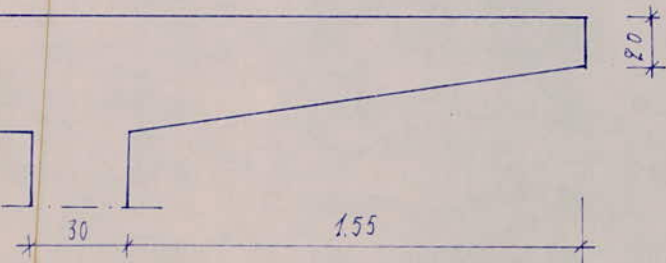
$$t = \frac{1 \times 15,75 \times 1964,6}{1783,32} = 17,35 \text{ cm.} \quad \text{soit } t = 10 \text{ cm.}$$

même forme de l'appui que les autres poutres.

Poutre de rive 20x20 : Ferrailage



④ Calcul de la console.



$$\text{Poids propre de la console} \quad \frac{0.2 + 0.4}{2} \times 0.30 \times 2500 = 225 \text{ kg/m}$$

$$\text{Réaction du fourreau} = 667,48 \text{ kg/m}$$

$$\text{Surcharge sur la console} = 0.3 \times 1.2 \times 500 = 180 \text{ kg/m}$$

$$\text{Réaction de la poutre (charge concentrée)} = 2 \times 1783,32 = 3566,64 \text{ kg.} \quad q = 1072,5 \text{ kg/m}$$

$$\text{Moment due à la charge répartie} : M_{o1} = \frac{q l^2}{8} = 1072,5 \times \frac{1,55^2}{8} = 1888,34 \text{ kg.m.}$$

$$\text{Moment due à la charge concentrée} : M_{o2} = p l = 3566,64 \times 1,55 = 5171,63 \text{ kg.m.}$$

$$\text{Moment d'encastrement résultant} : M_o = M_{o1} + M_{o2} = 6460 \text{ kg.m.}$$

$$\mu = 0,0889$$

$$\Rightarrow \varepsilon = 0,8801$$

$$k = 26,7$$

$$A = \frac{6460 \times 10^8}{2800 \times 0,8801 \times 36} = 4,88 \text{ cm}^2 \text{ soit } 4016 \quad A = 8,04 \text{ cm}^2.$$

$$\text{- vérification du béton comprimé} : \sigma_b' = \frac{\sigma_a}{k} = \frac{2800}{26,7} = 104,86 \text{ daN/cm}^2 < 137 \text{ daN/cm}^2.$$

vérification de l'effet tranchant :

$$T = 1,1 \left( \frac{q l}{2} \right) + p = 1,1 \times \left( 1072,5 \times \frac{1,55}{2} \right) + 3566,64 = 1481 \text{ kg.}$$

$$z = \frac{l}{8} h = \frac{1}{8} \times 36 = 31,5 \text{ cm} \Rightarrow \sigma_b = \frac{T}{b z} = 4,75 \text{ daN/cm}^2 < 3,5 \bar{\sigma}_b.$$

$$\sigma_{at} = \rho_{at} \sigma_{en} = 0,91 \times 2200 = 2002 \text{ daN/cm}^2.$$

$$A_t = 1 \text{ cm}^2 \text{ (au centre } \phi_8) \Rightarrow t = \frac{1 \times 31,5 \times 2200}{4481} = 14 \text{ cm} \text{ soit } t = 10 \text{ cm.}$$

# CALCUL DES POTEAUX ET FONDATIONS

CALCUL DES POTEAUX INFÉRIEURS.

Données

Au sous sol le contreventement est assuré par des refends qui sont en béton, donc les poteaux n'en supportent que les effets verticaux.

Art. 32.1 page 57 du C.C.B.A GB:

"Les poteaux qui seront soumis à aucun effet horizontal, notable, et pour lesquels l'excentricité de la charge appliquée est certainement petite, bien qu'éventuellement l'évaluation incertaine, par exemple les poteaux des bâtiments qui n'assurent pas les contreventements de ces derniers et sont justifiables de l'article 33.1 peuvent selon les usages être considérés comme soumis à la compression simple"

d'après l'article 33.1 page 61.

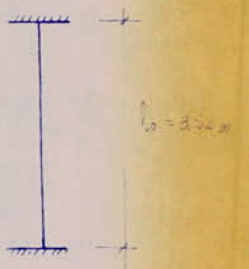
"Les poteaux et colonnes chargées axialement et dont l'élongement et <math>\lambda</math> sont justifiés en compression simple sans qu'il en soit tenu compte de l'effet de leur déformation transversale sur les bâtiements agissant sur leur section droite".

Nos poteaux en B.A. sont suffisamment encastrés aux deux extrémités.

$$\lambda = \frac{0,7f_0}{i}$$

$$i = \frac{I}{A} = \frac{67500}{900} = 75 \text{ cm}$$

$$\Rightarrow \lambda = \frac{0,7 \times 420}{8,66} = 33,94 < 50$$



I: moment d'inertie du poteau:  $I = \frac{30 \times 30^3}{12} = 67500 \text{ cm}^4$ .

A: section du poteau :  $A = 30 \times 30 = 900 \text{ cm}^2$ .

Conclusion: Nos poteaux seront vérifiés uniquement à l'effet normal de compression.

I Poteau de rive.

. Efforts transmis au poteau inférieur .

Réaction de la console	4493,42 kgs
Réaction de los poutres 30x40	8559,10 kgs
Réactions de poutres 30x30	8x3698,31 kgs
Poids propre du poteau	0,30x 0,30x 4,20x 2500 = 945 kgs .

Réaction du poteau supérieur ----- 6480 kgs.

$$N = 27873,84 \text{ kgs.}$$

L'effort de compression sur le poteau est  $N \approx 27874 \text{ kgs.}$

$$\ell_c = 0,7 l_0 = 0,7 \times 4,80 = 2,94 \text{ m.}$$

$$\frac{\ell_c}{a} = \frac{294}{30} = 9,8 < 14,4 \Rightarrow \text{le flambement n'est pas à considérer.}$$

$$\bar{\sigma}_a' = \frac{2}{3} \times 2200 \times \frac{2160}{3340} = 960 \text{ daN/cm}^2.$$

$$\bar{\sigma}_{b0}' = 68,5 \text{ daN/cm}^2$$

$$\bar{\sigma}_b' \leq \frac{\bar{\sigma}_a'}{15} = \frac{960}{15} = 63 \text{ daN/cm}^2 < 68,5 \text{ daN/cm}^2.$$

en considérant l'enroulage des armatures  $c=30 \text{ mm}$ , nous aurons pour  $A'_m$ , qui est le tout minimum

$$\theta_1 = 1,4 \quad (\text{piliers de rive}).$$

$$\theta_2 = 1 + \frac{\ell_c}{4a - 2c} = 1 + \frac{2,94}{4 \times 0,3 - 2 \times 0,03} = 3,58.$$

$$\theta_3 = 1 + \frac{2160}{\sigma_{en}'} = 1 + \frac{2160}{2160} = 2.$$

$$A'_m = \frac{1,25}{1000} \theta_1 \theta_2 \theta_3 \times \frac{N}{\bar{\sigma}_{b0}'} = \frac{1,25}{1000} \times 1,4 \times 3,58 \times 2 \times \frac{27874}{68,5} = 5,09 \text{ cm}^2.$$

$A'$ : section totale de armatures comprimées:

$$A' = \frac{N - B \sigma_b'}{15 \sigma_b'} = \frac{27874 - 900 \times 63}{15 \times 63} < 0$$

donc la section d'acier sera égale à  $A'_m$ .

$$A'_m = 5,09 \text{ cm}^2 \quad \text{soit} \quad 4 \phi 14 \quad A = 6,16 \text{ cm}^2.$$

CALCUL DES FONDACTIONS

I Fondation pour poteau de rive :

Il s'agit de semelle centres sous piliers, soumise à un effort normal centré.

$\bar{v}_a = 3 \text{ daN/cm}^2$  contrainte admissible sur le sol

$$\bar{v}_a = 1470 \text{ daN/cm}^2$$

$$\text{fracture prédictable } k = 10^6 \quad \bar{v}_o = 5,9 \text{ daN/cm}^2$$

$B_x$  et  $B_y$  sont la longueur et la largeur de la semelle  
à effet normal.  $Q = N = 27874 \text{ np}$

$$B_x B_y > \frac{87874}{3} = 9291,3 \text{ cm}^2$$

Nous choisirons une semelle hométrique au poteau. ( $b_x = b_y = 30 \text{ cm}$ )

$$\frac{B_x}{B_y} = \frac{b_x}{b_y} = \frac{30}{30} \Rightarrow B_x = B_y = 100 \text{ cm}$$

Les dimensions de la semelle doivent répondre aux conditions suivantes.

1. Condition de rigidité  $ht \geq d + \frac{B_x - b_x}{h} = 3,5 + \frac{100 - 30}{4} = 21 \text{ cm}$

Il existe une autre condition de rigidité plus stricte.

$$ht \geq d + B_x \cdot \sqrt{\frac{\bar{v}_o}{k}} \quad \bar{v}_o \geq 2 \text{ daN/cm}^2 \Rightarrow k = 256$$

$$ht \geq 38,11 \text{ cm}$$

Nous prendrons une valeur intermédiaire  $ht = 30 \text{ cm}$

• Armature devant x

$$F_x = \frac{Q(B_x - b_x)}{9(ht - d)} = \frac{27874(100 - 30)}{8(30 - 3,5)} = 9203,68 \text{ kg.}$$

$$A_x = \frac{F_x}{\bar{v}_a} = 6,86 \text{ cm}^2 \text{ soit } 6 \text{ p}12 \quad A = 6,78 \text{ cm}^2$$

• Armature devant y

$$F_y = \frac{Q(B_y - b_y)}{3(ht - d)} = F_x = 9203,68 \text{ kg.}$$

$$A_y = \frac{F_y}{\bar{v}_a} = 5,26 \text{ cm}^2 \text{ soit } 6 \text{ p}12 \quad A = 5,78 \text{ cm}^2$$

$$C_3 = R_f + 6 = B_x h_a + R = 13,2 \text{ cm} \quad \text{Soit } C = 20 \text{ cm}$$

la hauteur totale devant instance pour

## II Fondation pour poteau intermédiaire

1. Fondation pour poteau intermédiaire ne supportant pas de poteau métallique  
dans ce cas  $Q = 25460 \text{ kgs}$

$$B_x, B_y \geq \frac{Q}{\bar{\sigma}_s} = \frac{25460}{3} = 8486,67 \text{ cm}^2$$

soit  $B_x = B_y = 180 \text{ cm}$ .

donc il s'agit de la même méthode que pour le poteau de rive.

$$B_x = B_y = 100 \text{ cm}$$

$$h_t = 30 \text{ cm}$$

$$\ell =$$

• Armatures suivant x

$$F_x = \frac{Q(B_x - b_x)}{8(h_t - d)} = \frac{25460(100 - 30)}{8(30 - 3,5)} = 8406,6 \text{ kgs}$$

$$A_x = \frac{F_x}{\bar{\sigma}_a} = \frac{8406,6}{1470} = 5,72 \text{ cm}^2 \quad \text{Soit } 6\phi 12 \quad A_x = 6,78 \text{ cm}^2$$

• Armatures suivant y

$$F_y = F_x = 8406,6 \text{ kgs}$$

$$A_y = \frac{F_y}{\bar{\sigma}_a} = \frac{8406,6}{1470} = 5,72 \text{ cm}^2 \quad \text{Soit } 6\phi 12 \quad A_y = 6,78 \text{ cm}^2$$

les aciers hauts seront constitués par

2. Fondation pour poteau intermédiaire supportant un poteau métallique.

dans ce cas  $Q = 35463 \text{ kgs}$ .

$$B_x, B_y \geq \frac{Q}{\bar{\sigma}_s} = \frac{35463}{3} = 11821 \text{ cm}^2$$

Soit  $B_x = B_y = 110 \text{ cm}$ .

$$h_t \geq d + \frac{B_x - b_x}{4} = 3,5 + \frac{110 - 30}{4} = 23,5 \text{ cm}$$

$$h_t \geq d + \sqrt{\frac{\bar{\sigma}_s}{k}} = 30 + \sqrt{\frac{1470}{100}} = 41,6 \text{ cm}$$

Soit  $h_t = 30 \text{ cm}$ .

Armatures suivant x

$$F_x = \frac{Q(B_x - b_x)}{8(h_t - d)} = \frac{35463(110 - 30)}{8(30 - 3,5)} = 13382,86 \text{ kgs}$$

$$A_x = \frac{F_x}{\sigma_a} = \frac{13382.26}{1470} = 9.10 \text{ cm}^2 \text{ seit } 6014$$

• Armaturen beweisend

$$F_x = F_y = 13382.26 \text{ kg}$$

$$A_y = \frac{F_y}{\sigma_a} = 9.10 \text{ cm}^2 \text{ seit } 5416$$

Widerstandswert bezüglich Flansch: 2610

CALCUL DE L'ESCALIER

Généralité

Soit  $h$ , la hauteur d'une entre marche

Soit  $g$ , la largeur d'une marche

$$h = 18 \text{ cm}$$

$$g = 28 \text{ cm}$$

Pour que l'escalier puisse être facilement monté, on dit aussi

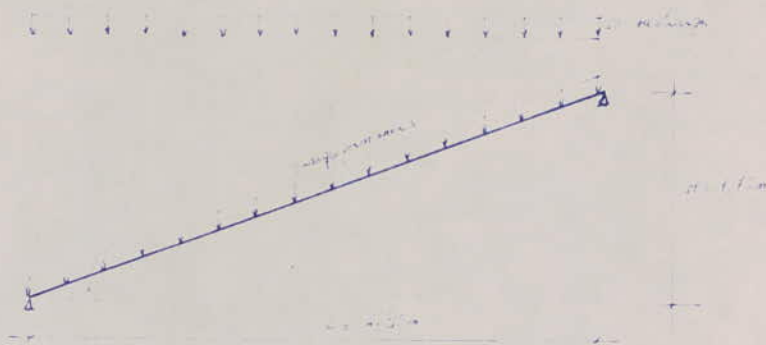
$$2h + g \leq 64$$

$$2 \times 18 + 28 = 60$$

L'escalier considéré est en paillasse portante. Il est constitué de 2 paillasses de 11 marches et d'un palier.

La largeur d'une paillasse est de 3,30 m, sa longueur 1,80 m, et sera constituée par une dalle inclinée de 18 cm d'épaisseur.

Nous considérons les paillasses comme pouvant simplement appuyer, et on tiendra compte dans le calcul d'un moment d'encaissement partiel aux appuis de 0,4 Mo ; le moment en travers sera Mo.



$$H = nh$$

$$n = 11 \text{ n° de marches par paillasse}$$

$$\Rightarrow h = 11 \times 18 = 198 \text{ cm}$$

$$L = (n-1)g = (11-1) \times 28 = 280 \text{ cm}$$

Etude des charges et surcharges

Poids propre de la paillasse -----  $0,12 \times 1,20 \times 2500 = 360 \text{ kg/m linéaire}$

Poids propre des marches -----  $\frac{1}{3,30} (2500 \times \frac{0,18 \times 0,28}{2} \times 1,20 \times 11) = 284 \text{ kg/m linéaire}$

Récidvement des marches ----- 80 kg/m linéaire

Surcharge d'exploitation majeure -----  $12 \times 1,20 \times 400 = 576 \text{ kg/m linéaire}$

de charge  $q$  par mètre de projection horizontale sera :

$$q = \frac{1}{\cos} (360 + 284 + 80) \cdot 576 = 1287,50 \text{ kg/m}$$

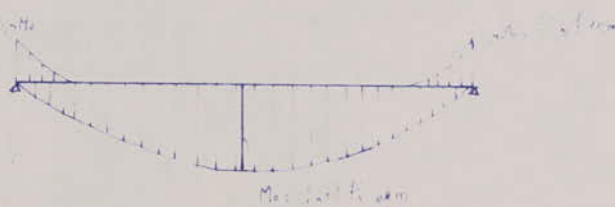
$q$  se décompose en :

$q_{\text{cor}}^{\perp}$  qui est perpendiculaire à la poutre

$q_{\text{cor}}$  qui est dans le sens de la poutre

-  $q_{\text{cor}}$  fléchit la poutre et interesse son horizontal  $\Rightarrow$  la charge par mètre incliné est  $q_{\text{cor}}$

$$M_0 = q_{\text{cor}} \frac{L^2}{8} = q \frac{L^2}{8} = 1287,50 \cdot \frac{2,80^2}{8} = 1261,75 \text{ kg/m}$$



On constate  $q_{\text{cor}}$  est un effet normal par unité de longueur horizontale par mètre incliné nous aurons donc pour l'effet total sera  $q_{\text{cor}} \cos 30^\circ = q_{\text{cor}} \sin 60^\circ$  et l'effet se décompose en deux effets égaux  $\frac{qL}{2} \sin 60^\circ$ , l'un de compression pour la partie inférieure de la poutre à l'axe de la poutre et l'autre de traction pour la partie supérieure.

$$F = q \frac{L}{2} \sin 60^\circ = 1287,5 \cdot \frac{2,80}{2} \cdot 0,533 = 960,75 \text{ kg}$$

Cet effet sera très négligeable pour le béton.

### Détermination des aciers de la poutre.

En tôle :  $M_0 = 1261,75 \text{ kg/m}$        $h_0 = 120 \text{ cm}$        $h = 10,0 \text{ cm}$

$$\mu = 0,0510 \Rightarrow E = 0,9053$$

$$k = 37,8$$

$$A = \frac{1261,75 \cdot 10^4}{2800 \cdot 0,9053 \cdot 10,5} = 4,74 \text{ cm}^2 \quad \text{Soit} \quad 5 \phi 18 \rightarrow A = 5,60 \text{ cm}^2$$

Normalisation du béton compressif :

$$\sigma_b = \frac{2300}{37,8} = 61,07 \text{ daN/cm}^2 = 137,341 \text{ kg/cm}^2$$

Aux effus :

$$\mu = 0,0204 \Rightarrow E = 0,9374$$

$$k = 64,9$$

$$A = \frac{604,7 \cdot 10^4}{2800 \cdot 0,9374 \cdot 64,9} = 1,83 \text{ cm}^2 \quad \text{Soit} \quad 5 \phi 8 \quad (4-2,5 \text{ cm}^2)$$

$$\text{Normalisation du béton compressif} \quad \sigma_b = \frac{2270}{64,9} = 35,4 \text{ daN/cm}^2 = 137,341 \text{ kg/cm}^2$$

### Vérification de l'effet tranchant.

$$T_{xx} = g \cos \frac{\ell}{2} = g \cos \frac{L}{2} = 1237,5 \times 0,863 \times \frac{2,80}{2} = 1528,5 \text{ kg}$$

$$T = 1,1 T_{xx} = 1,1 \times 1528,5 = 1681,35 \text{ kg}$$

$$Z = \frac{f}{2} b = \frac{f}{2} \times 6,5 = 3,13 \quad f_b = \frac{T}{b z} = \frac{1681,35}{120 \times 3,13} = 1,53 \text{ daN/cm}^2 < 3,5 \quad f_b = 3,5 \times 5,3 = 20,65 \text{ daN/cm}^2$$

les armatures de répartition sont continues sur 300 en traverse et 400 en l'œuvre.

### Calcul des paliers

le palier est constitué par une dalle de 14 cm d'épaisseur

sa portée surant x est  $b_x = 1,25 \text{ m}$

sa portée surant y est  $b_y = 2,50 \text{ m}$

$$\gamma = \frac{b_x}{b_y} = \frac{1,25}{2,50} = 0,5 > 0,4 \rightarrow \text{la dalle sera calculée comme portant dans le sens tens.}$$

### Étude des charges et surcharge

Poids propre de la dalle	$0,14 \times 2500$	$= 350 \text{ kg/m}^2$
Révêtement de la dalle (tuile + chape de ciment)	$0,05 \times 2200$	$= 110 \text{ kg/m}^2$
Surcharge majeure	$1,2 \times 400$	$= 480 \text{ kg/m}^2$

$$q = 940 \text{ kg/m}^2$$

$$M_{xx} = \mu_x q b_x^2 = 0,973 \times 940 \times 1,25^2 = 1429 \text{ kgm}$$

$$M_{yy} = \mu_y M_{xx} = 0,328 \times 1429 = 468,7 \text{ kgm}$$

nous adopterons la répartition des moments comme suit

$$M_{tx} = 0,85 M_{xx}$$

$$M_{ty} = 0,5 M_{yy}$$

### • Armature surant x

$$M_{tx} = 0,85 M_{xx} = 1214,65 \text{ kgm}$$

$$M_{tx} = 0,5 M_{yy} = 94,50 \text{ kgm}$$

### Secteur en hauteur

$$\mu = 0,045 \Rightarrow \epsilon = 0,9104$$

$$k = 40,8$$

$$A = \frac{M_{t_1}}{\bar{\sigma}_{\text{bet}} \cdot E \cdot h} = \frac{1214,65 \times 10^2}{1600 \times 0,964 \times 12} = 6,95 \text{ cm}^2 \text{ soit } 9\phi 10 \text{ p.m}$$

Vérification du béton comprimé:

$$\bar{\sigma}_b = \frac{1600}{40,8} = 39,2 \text{ daN/cm}^2 < 137 \text{ daN/cm}^2$$

Section à l'affut

$$\mu = 0,0266 \Rightarrow \epsilon = 0,9191 \\ k = 65,50$$

$$A = \frac{714,5 \times 10^2}{0,9231 \times 1600 \times 12} = 3,99 \text{ cm}^2 \text{ soit } 6\phi 10 \text{ p.m}$$

Vérification du béton comprimé:

$$\bar{\sigma}_b = \frac{1600}{65,5} = 24,83 \text{ daN/cm}^2 < 137 \text{ daN/cm}^2$$

Vérification de l'effet tranchant:

$$T_{1,0} = \frac{g \cdot l}{2} = 940 \times \frac{1,85}{2} = 587,5 \text{ kg}$$

$$T = 1,1 \cdot T_{1,0} = 1,1 \cdot 587,5 = 646,25 \text{ kg}$$

$$\bar{\sigma}_b = \frac{T}{b \cdot e} = \frac{646,25}{160 \times 10,5} = 0,615 \text{ daN/cm}^2 < 1,15 \bar{\sigma}_b$$

• Armature dans y

$$M_{t_2} = 0,85 M_{t_1} = 398,4 \text{ kgm}$$

$$M_{ap_2} = 0,5 M_{t_2} = 234,55 \text{ kgm}$$

Section en trave:

$$\mu = 0,0148 \Rightarrow \epsilon = 0,9460 \\ k = 77,5$$

$$A = \frac{398,4 \times 10^2}{1600 \times 0,946 \times 12} = 8,19 \text{ cm}^2 \text{ soit } 6\phi 8 \text{ p.m}$$

Vérification du béton comprimé:

$$\bar{\sigma}_b = \frac{1600}{77,5} = 20,64 \text{ daN/cm}^2 < 137 \text{ daN/cm}^2$$

Section à l'affut:

$$\mu = 0,0087 \Rightarrow \epsilon = 0,9580 \quad k = 104$$

$$A = \frac{234,55 \times 10^2}{1600 \times 0,958 \times 12} = 1,28 \text{ cm}^2 \text{ soit } 5\phi 6 \text{ p.m}$$

Vérification du béton comprimé:

$$\bar{\sigma}_b = \frac{1600}{104} = 15,4 \text{ daN/cm}^2 < 137 \text{ daN/cm}^2$$

Calcul de l'empile 20x30 sous palier

$$\begin{array}{lcl}
 \text{Reactions du palier sur le ponte} & \dots & 646,25 \text{ kg/mt} \\
 \text{Actions de jaugeage sur le ponte} & \dots & 1,2 \cdot 1681,35 = 2017,6 \text{ kg/mt} \\
 \hline
 & \dots & \underline{\underline{5 = 3448,25 \text{ kg/mt}}}
 \end{array}$$

$$M_0 = \frac{g^2}{8} = \frac{3448,25 \cdot 1,5^2}{8} = 2694 \text{ kg.m}$$

Moment admissible pour la flexion le moment de répartition admissible

$$\begin{aligned}
 M_T &= M_0 &= 2694 \text{ kg.m} \\
 M_{T\text{ad}} &= 0,4M_0 &= 1077,6 \text{ kg.m}
 \end{aligned}$$

Section en bâtière

$$\mu = 0,0164 \quad \Rightarrow \quad E = 0,9633 \quad k = 73,25$$

$$A = \frac{2694 \cdot 10^3}{2800 \cdot 0,9633 \cdot 30} = 3,48 \text{ cm}^2$$

Vérification du bâtière comprimé

$$\sigma_b = \frac{1300}{73,25} = 88,23 \text{ daN/cm}^2 < 137 \text{ daN/cm}^2$$

Section à l'affût

$$\mu = 0,0066 \quad \Rightarrow \quad E = 0,9633 \quad k = 121,5$$

$$A = \frac{677,6}{2800 \cdot 0,9633 \cdot 30} = 1,36 \text{ cm}^2 \text{ soit } 20 \text{ t} \quad A = 1,37 \text{ cm}^2$$

Vérification du bâtière comprimé

$$\sigma_b = \frac{2800}{121,5} = 23,04 \text{ daN/cm}^2 < 137 \text{ daN/cm}^2$$

Vérification de l'effet tranchant

$$T = 11 \cdot g \cdot \frac{l}{2} = 11 \cdot 3448,25 \cdot \frac{1,5}{2} = 4741,34 \text{ kg}$$

$$J = \frac{1}{3} \cdot L \cdot \left( \frac{L}{3} \right)^2 \times 30 = 26,25 \text{ cm}^4 \Rightarrow Q_L = \frac{T}{L} = \frac{4741,34}{20 \times 26,25} = 9,03 \text{ daN/cm}^2 < 3,56 = 20,65 \text{ daN/cm}^2$$

les armatures transversale seront constituées par un cadre Ø8  $\Rightarrow A_{cr} = 1 \text{ cm}^2$

$$\text{Cat. } \left( + \frac{9,25}{9 \times 5,3} \right) \cdot 2200 = 1816,76 \text{ daN/cm}^2$$

$$t = \frac{1 \times 26,25 \times 1816,76}{4741,34} = 10,05 \text{ cm} \text{ soit } t = 10 \text{ cm}$$

# ORGANISATION DE CHANTIER

INTRODUCTION.

Le but de cette étude est l'élaboration du projet d'organisation pour l'exécution d'un restaurant "Self-Service" composé :

. d'un rez-de-chaussé

. d'un demi-sous-sol

Notre étude comprendra :

1) Le calcul des quantités de travaux

2) Le calcul des nécessaires de matériau, de la main d'œuvre et d'outillages.

3) Détermination de la durée ainsi que la main d'œuvre nécessaire à l'exécution de chaque processus.

4) Organisation de l'exécution des travaux par la méthode "Travail à la chaîne".

a - Cycloogramme des travaux de construction

b - Graphique à bars

c - Graphique d'échelonnement de la main d'œuvre

5) Diagrammes différentiels et intégrals de consommation et d'approvisionnement de principaux matériaux et barres et stocks.

6) Organisation efficace de la base technique-matérielle du chantier :

- Ateliers

- dépôts

- Construction administrative du chantier

Tous les points cités ci-dessus ont fait l'objet de chapitres traités séparément avec une partie théorique et de applications pratiques à notre étude.

## CHAPITRE I

### CALCUL DES QUANTITÉS DE TRAVAUX:

Le calcul des quantités de travaux consiste à évaluer pour chaque opération la masse des travaux à effectuer.

- a. Les travaux s'executent durant la journée, à une température inférieure à 0°C et sur un front de travail correspondant.
  - b - les matériaux, les outillages nécessaires à l'exécution des travaux sont approvisionnés dans un dépôt à côté de chaque construction .
  - c - le transport des matériaux du dépôt jusqu'au lieu de mise en œuvre a été pris en considération dans le cadre des normes de devis.
-

1<sup>e</sup> opération : décapage :

$$35 \times 40 = 1400 m^2$$

2<sup>e</sup> opération : Excavation :

$$(35 \times 1,5) \times 40 \times \frac{1}{2} = 1035 m^3$$

3<sup>e</sup> opération Fouilles pour fondations

. Fondations continues pour poteaux

$$35 \times 1 \times 1 \times 0,95 = 33,25 m^3$$

$$14 \times 1,1 \times 1,1 \times 0,95 = 16 m^3$$

$$\text{Total} = 49,25 m^3$$

. Fondations continues sous murs

$$0,95 \times 0,5 \times 87,5 = 41,56 m^3$$

$$0,95 \times 0,6 \times 60,80 = 34,65 m^3$$

$$\text{Total} = 76,21 m^3$$

$$\text{Total de fouille : } 49,25 + 76,21 = 125,46 m^3$$

4<sup>e</sup> opération Betonnage des fondations continues pour poteaux

. Béton de poteau

$$35 \times 1 \times 1 \times 0,05 = 1,75 m^3$$

$$14 \times 1,1 \times 1,1 \times 0,05 = 0,85 m^3$$

$$\text{Total} = 2,60 m^3$$

. Béton armé

$$35 \times 1 \times 1 \times 0,30 = 10,5 m^3$$

$$14 \times 1,1 \times 1,1 \times 0,30 = 5,08 m^3$$

$$\text{Total} = 15,58 m^3$$

. Acier (60 kg/m<sup>3</sup>)

$$15,58 \times 60 = 935 \text{ kg}$$

5<sup>e</sup> opération Betonnage des semelles filantes sous murs

$$0,60 \times 0,80 \times 60,8 = 31 m^3$$

$$0,50 \times 0,60 \times 87,9 = 26,37 m^3$$

$$\text{Total} = 57,37 m^3$$

6<sup>e</sup> opération Coffrage de la infrastructure

. Poteau (30x30) cm<sup>2</sup>

$$49 \times 3,60 \times 0,3 \times 4 = 211,68 m^2$$

• Route  $(20 \times 30) \text{ cm}^2$

$$(0,22 \times 2 + 0,2) \times 4,20 \times 96 = 258,05 \text{ m}^2$$

• Route  $(30 \times 30) \text{ cm}^2$

$$(0,22 \times 2 + 0,3) \times 4,20 \times 56 = 174,05 \text{ m}^2$$

• Ponts  $(30 \times 40) \text{ cm}^2$

$$(0,32 \times 2 + 0,3) \times 4,20 \times 42 = 165,82 \text{ m}^2$$

• dalle

$$(4,20 - 0,4) \times 4,20 \times 48 = 766,08 \text{ m}^2$$

• Voiles

voiles de 28 cm

$$2 \times 2 \times 30,40 \times (5,45 + 3,52) = 1030,75 \text{ m}^2$$

voiles de 15 cm

$$2 \times 37,9 \times 3,36 = 590,7 \text{ m}^2$$

• Escaliers

$$3,30 \times 1,2 \times 2 + 1,25 \times 2,50 + (0,20 + 0,16) \times 2,50 + 0,16 \times 1,20 \times 28 = 15,87 \text{ m}^2$$

Total =  $3272,87 \text{ m}^2$

1<sup>re</sup> opération Base des armatures pour superstructure. ( $100 \text{ kg/m}^3$ ).

Aacier  $343,57 \text{ m}^3 \times 100 = 34357 \text{ kg}$ .

2<sup>e</sup> opération Betonnage de la superstructure

• Poteaux  $(30 \times 30) \text{ cm}^2$

$$3,77 \times 0,30 \times 0,30 \times 49 = 16,83 \text{ m}^3$$

• Route  $(20 \times 30) \text{ cm}^2$

$$0,20 \times 0,30 \times 4,20 \times 96 = 24,192 \text{ m}^3$$

• Route  $(30 \times 30) \text{ cm}^2$

$$0,30 \times 0,30 \times 4,20 \times 56 = 21,168 \text{ m}^3$$

• Ponts  $(30 \times 40) \text{ cm}^2$

$$0,30 \times 0,40 \times 4,20 \times 42 = 21,168 \text{ m}^3$$

. dalle

$$15,96 \times 0,08 \times 48 = 61,286 \text{ m}^3$$

Noires

$$152,7 + 44,30 = 197 \text{ m}^3$$

. Escaliers

$$(8 \times 0,12 \times 1,20 \times 3,30) + (2,50 \times 1,25 \times 0,14) + (0,30 \times 0,20 \times 2,50) + 2 \frac{0,16 \times 0,28 \times 1,20 \times 11}{2} = 8,13 \text{ m}^3$$

$$\text{Total} = 343,57 \text{ m}^3.$$

9<sup>e</sup> opération décoffrage des éléments verticaux

$$211,68 + 590,7 + 1090,75 = 1893,13 \text{ m}^2$$

10<sup>e</sup> opération décoffrage des éléments horizontaux:

$$258,05 + 174,03 + 165,82 + 766,98 + 15,87 = 1379,87 \text{ m}^2.$$

11<sup>e</sup> opération tout recouvert pour dalle du sous-sol

$$0,15 \times 1094,4 = 164,16 \text{ m}^3$$

12<sup>e</sup> opération dalle du sous-sol

$$36 \times 30,40 = 1094,4 \text{ m}^2$$

13<sup>e</sup> opération Macramme du sous-sol

. murs de 10cm :  $4,30 \text{ m}^3$

. murs de 15cm  $9,70 \text{ m}^3$

Total =  $13,70 \text{ m}^3$

. murs de 0cm  $10,2 \text{ m}^2$

14<sup>e</sup> opération revêtement du sous-sol

$$36 \times 27 = 972 \text{ m}^2$$

15<sup>e</sup> opération Montage des poteaux métalliques.

leur nombre = 28 poteaux.

16<sup>e</sup> opération Montage des fermes métalliques

- fermes de 9 m de portée

leur nombre est 21 fermes.

- console de 1,70 m de portée

leur nombre est 14 consoles

- fermes longitudinales

leur nombre est  $m = 9 \times 2 = 16$  fermes.

17<sup>e</sup> opération Montage des planches métalliques.

leur nombre est 216 planches.

18<sup>e</sup> opération Maçonnerie du rez-de-chaussé

- murs de 10 cm

$$108 \times 0,10 \times 3,85 = 41,08 \text{ m}^3$$

- murs de 20 cm

$$25 \text{ m}^3$$

- murs de 3 cm

$$13,5 \times 3,85 = 51,97 \text{ m}^2$$

19<sup>e</sup> opération Enduit des murs

$$593 \times 2 = 1186 \text{ m}^2$$

20<sup>e</sup> opération Recouvrement du rez-de-chaussé

$$36 \times 30,40 = 1094,4 \text{ m}^2$$

21<sup>e</sup> opération Montage du faux-plafond

$$36 \times 30,40 = 1094,4 \text{ m}^2$$

22<sup>e</sup> opération Vitrerie et menuiserie métallique

- menuiserie métallique  $8 \times 3,5 \times 3,6 = 252 \text{ m}^2$

- vitrerie rez-de-chaussé  $1,30 \times 3 \times 3 \times 2 \times 3,50 = 218,4 \text{ m}^2$

• nitrage du sous. sol       $3 \times 2 \times 2 + 1,30 \times 0,5 = 36,2 \text{ m}^2$

Total nitrage =  $218,4 + 36,2 = 250 \text{ m}^2$

23<sup>e</sup> opération      Peinture

$$593 \times 2 = 1186 \text{ m}^2$$

24<sup>e</sup> opération      montage de la toile nervurée

$$36 \times 30,40 = 1094,4 \text{ m}^2$$

25<sup>e</sup> opération      pose de l'isolation thermique

$$36 \times 30,40 = 1094,4 \text{ m}^2$$

26<sup>e</sup> opération      Pose de l'étanchéité

$$36 \times 30,40 = 1094,4 \text{ m}^2$$

## CHAPITRE II

### CALCUL DES NÉCESSAIRES DE MATERIAUX, DE LA MAIN D'OEUVRE ET DES

#### OUTILLAGES :

1/ Quantité de Matériaux: Il s'agit de déterminer les différents matériaux ainsi que leurs quantités respectives extrait dans la composition de chaque article.

Les principaux matériaux employés sont : ciment, sable, gravier, Acier, bois...

2/ Main d'œuvre: Le calcul de la main d'œuvre sera fait après la détermination de la durée d'exécution d'un article par une seule personne. le nombre d'heures total  $N_{ht}$  pour effectuer la totalité du travail pour chaque article est donné par :

$$N_{ht} = \frac{Q_T \times N_T}{N_S} \quad (\text{heures}).$$

La durée d'exécution en jours des travaux correspondant à chaque article est alors :

$$T_j = \frac{N_{ht}}{N_{h/j}} \quad (\text{jours}).$$

$N_{h/j}$  est le nombre d'heures total de travail par jour soit  $B_h$ .

$N_T$  norme de temps ou nombre d'heures nécessaire pour effectuer une quantité de travail unitaire.

$N_S$  = nombre de secteurs = 4.

$Q_T$  = quantité totale de travaux par article.

$T_j$  = nombre de jours total pour effectuer la quantité de travail pour chaque article.

3/ Outilage: Les outillages et les machines pour l'exécution des travaux sont :

a/ outillages pour travaux de terrassements

b/ Engins de transport

c/ Engins de levage

d/ outillages et machines pour la préparation, le transport et la mise en oeuvre du mortier et du béton.

e/ outillages machines et petits outillages mécaniques de finition des installations et divers

Remarque: La détermination des outillages nécessaires tient compte des caractéristiques du travail et de leur volume.

Durée en jours des différentes opérations

1/ Décapage

$$Q_T = 1400 \text{ m}^3$$

$$N_S = 1$$

$$N_T = 2,65 \text{ t/m}^3$$

$$N_{lt} = 1400 \times 2,65 \times 10^{-3} = 3,71 \text{ h}$$

$$T_j = \frac{3,71}{8} = 0,46 \text{ j soit } T_j = 1 \text{ jour}$$

2/ Excavation

$$Q_T = 1050 \text{ m}^3$$

$$N_S = 1$$

$$N_T = 2,3 \text{ t/m}^3$$

$$N_{lt} = 1050 \times 2,3 = 2,4 \text{ h}$$

$$T_j = \frac{2,4}{8} = 0,3 \text{ jours}$$

3/ Fouille

fondations continues •  $Q_T = 49,25 \text{ m}^3$

$$N_S = 4$$

$$N_T = 1,8 \text{ t/m}^3$$

$$N_{lt} = 49,25 \times 1,8 = 87 \text{ h}$$

fondations continues •  $Q_T = 77 \text{ m}$

$$N_S = 4$$

$$N_T = 1,65 \text{ t/m}^3$$

$$N_{lt} = 77 \times 1,65 = 125,74 \text{ h}$$

$$T_j = \frac{89 + 125,74}{4 \times 8} = 6,7 \text{ j soit } 7 \text{ jours}$$

4/ Armature et betonnage des fondations sous poteaux.

béton déshabillé •  $Q_T = 8,6 \text{ m}^3$

$$N_S = 4$$

$$N_T = 6,5 \text{ t/m}^3$$

$$N_{lt} = 8,6 \times 6,5 = 53 \text{ h}$$

béton

•  $Q_T = 15,58 \text{ m}^3$

$$N_S = 4$$

$$N_T = 7 \text{ t/m}^3$$

$$N_{lt} = 15,58 \times 7 = 109,06 \text{ h}$$

armatures

•  $Q_T = 935 \text{ kg}$

$$N_S = 4$$

$$N_T = 0,07 \text{ t/kg}$$

$$N_{lt} = 935 \times 0,07 = 66 \text{ h}$$

$$T_j = \frac{53 + 109,06 + 66}{4 \times 8} = 6 \text{ jours}$$

5/ betonnage de semelle continues.

•  $Q_T = 57,31 \text{ m}^3$

$$N_S = 4$$

$$N_T = 6,5 \text{ t/m}^3$$

$$N_{lt} = 57,31 \times 6,5 = 372,52 \text{ h}$$

$$T_j = \frac{372,52}{8 \times 4} = 11,64 \text{ j soit } T_j = 12 \text{ jours.}$$

### 6/ Coffrage de la superstructure

$$Q_T = 3272,87 \text{ m}^3$$

$$N_s = 4$$

$$N_T = 1,20 \text{ kN/m}^2$$

$$N_{Lt} = 3272,87 \times 1,2 = 3927,5 \text{ kN}$$

$$T_f = \frac{3927,5}{8 \times 4} = 122,13 \text{ jours. soit } T_f = 123 \text{ jours.}$$

### 7/ Pose de armature de la superstructure.

$$Q_T = 34357 \text{ kg}$$

$$N_s = 4$$

$$N_T = 0,085 \text{ kN/kg}$$

$$N_{kt} = 34357 \times 0,085 = 2920,34 \text{ kN}$$

$$T_f = \frac{2920,34}{4 \cdot 8} = 91,26 \text{ j} \text{ soit } T_f = 98 \text{ jours.}$$

### 8/ Betonnage de la superstructure

$$Q_T = 343,57 \text{ m}^3$$

$$N_s = 4$$

$$N_T = 10,35 \text{ kN/m}^3$$

$$N_{Lt} = 343,57 \times 10,35 = 3555,94 \text{ kN}$$

$$T_f = \frac{3555,94}{8 \cdot 4} = 111,12 \text{ jour. soit } T_f = 112 \text{ jours.}$$

### 9/ decouffrage des éléments verticaux.

$$Q_T = 1893,13 \text{ m}^3$$

$$N_s = 4$$

$$N_T = 0,4 \text{ kN/m}^2$$

$$N_{kt} = 1893,13 \times 0,4 = 757,25 \text{ kN}$$

$$T_f = \frac{757,25}{8 \cdot 4} = 23,66 \text{ j} \text{ soit } T_f = 24 \text{ jours.}$$

### 10/ decouffrage des éléments horizontaux.

$$Q_T = 1379,87 \text{ m}^3$$

$$N_s = 4$$

$$N_T = 0,4 \text{ kN/m}^2$$

$$N_{kt} = 1379,87 \times 0,4 = 551,95 \text{ kN}$$

$$T_f = \frac{551,95}{8 \cdot 4} = 17,25 \text{ j} \text{ soit } T_f = 18 \text{ jours.}$$

### 11/ Tout venant pour dalle du sous-sol

$$Q_T = 164,16 \text{ m}^3$$

$$N_s = 4$$

$$N_T = 2,0 \text{ kN/m}^2$$

$$N_{Lt} = 164,16 \times 2,0 = 410,4 \text{ kN}$$

$$T_f = \frac{410,4}{8 \cdot 4} = 12,8 \text{ j} \text{ soit } T_f = 13 \text{ jours.}$$

### 12/ dalle du sous-sol

$$Q_T = 1094,4 \text{ m}^3$$

$$N_s = 4$$

$$N_T = 0,9 \text{ kN/m}^2$$

$$N_{Lt} = 1094,4 \times 0,9 = 1017,8 \text{ kN}$$

$$T_f = \frac{1017,8}{4 \cdot 8} = 31,8 \text{ j} \text{ soit } T_f = 32 \text{ jours.}$$

## 13/ Maçonnerie du sous-sol.

murs de 10 et 15 cm     •  $Q_T = 13,70 \text{ m}^3$       $N_{ht} = 13,70 \times 11,55 = 158,23 \text{ h}$   
 $N_s = 4$   
 $N_T = 11,55 \text{ kg/m}^3$

murs de 5 cm     •  $Q_T = 10,2 \text{ m}^2$       $N_{ht} = 10,2 \times 1,6 = 16,32 \text{ h}$   
 $N_s = 4$   
 $N_T = 1,6 \text{ kg/m}^2$

$$T_f = \frac{158,23 + 16,32}{4 \times 8} = 5,48 \text{ j soit } T_f = 6 \text{ jours.}$$

## 14/ Revêtement du sous-sol

$Q_T = 972 \text{ m}^2$       $N_{ht} = 972 \times 0,52 = 505,44 \text{ h}$   
 $N_s = 4$   
 $N_T = 0,52 \text{ kg/m}^2$       $T_f = \frac{505,44}{8 \cdot 4} = 15,79 \text{ j soit } T_f = 16 \text{ jours.}$

## 15/ Montage des poteaux métalliques

$Q_T = 88 \text{ poteaux}$       $N_{ht} = 88 \times 2,2 = 19,6 \text{ h}$   
 $N_s = 1$   
 $N_T = 2,2 \text{ kg/élément}$       $T_f = \frac{19,6}{8 \times 4} = 1,925 \text{ j soit } T_f = 2 \text{ jours.}$

## 16/ montage des fermes métalliques.

ferme de 9m de portée     •  $Q_T = 81$       $N_{ht} = 81 \times 3,15 = 66,15 \text{ h}$   
 $N_s = 1$   
 $N_T = 3,15 \text{ kg/élément}$

ferme longitudinale     •  $Q_T = 16$       $N_{ht} = 16 \times 1 = 16 \text{ h}$   
 $N_s = 1$   
 $N_T = 1 \text{ kg/élément}$

ferme-console      $Q_T = 14$       $N_{ht} = 14 \times 0,7 = 9,8 \text{ h}$   
 $N_s = 1$   
 $N_T = 0,7 \text{ kg/élément}$

$$T_f = \frac{66,15 + 16 + 9,8}{8} = 11,48 \text{ j soit } T_f = 12 \text{ jours.}$$

## 17/ Montage des pannes métalliques.

$Q_T = 816$       $N_{ht} = 816 \times 0,35 = 75,6 \text{ h}$

$N_s = 4$   
 $N_T = 0,35 \text{ kg/élément}$       $T_f = \frac{75,6}{8 \cdot 4} = 2,36 \text{ j soit } T_f = 3 \text{ jours.}$

24/ Pose de la Toile nervurée

$$Q_T = 1094,4 \text{ m}^2$$

$$N_S = 4$$

$$N_T = 8,85 \text{ LL/m}^2$$

$$N_{ht} = 1094,4 \times 8,85 = 3113,04 \text{ L}$$

$$T_f = \frac{3113,04}{8,4} = 374,7 \text{ j soit } T_f = 38 \text{ jours.}$$

25/ Pose de l'isolation thermique.

$$Q_T = 1094,4 \text{ m}^2$$

$$N_S = 4$$

$$N_T = 0,8 \text{ LL/m}^2$$

$$N_{ht} = 1094,4 \times 0,8 = 875,52 \text{ L}$$

$$T_f = \frac{875,52}{8,4} = 27,56 \text{ j soit } T_f = 28 \text{ jours.}$$

26/ pose de l'étanchéité

$$Q_T = 1094,4 \text{ m}^2$$

$$N_S = 4$$

$$N_T = 0,6 \text{ LL/m}^2$$

$$N_{ht} = 1094,4 \times 0,6 = 656,64 \text{ L}$$

$$T_f = \frac{656,64}{8,4} = 20,58 \text{ j soit } T_f = 21 \text{ jours.}$$

Determination de la main d'œuvre.

1) décapage	$T_1 = 1\text{r}$	$w_1 = 1 \text{ bulldozer (2 ouvriers)}$
2) Excavation :	$T_2 = 3\text{r}$	$w_2 = 1 \text{ bulldozer (2 ouvriers)}$
3) Fouilles :	$T_3 = 1\text{r}$	$w_3 = 7 \text{ ouvriers}$
4) Armatures et Betonnage des Foundations sous poteaux:		
	$T_4 = 1\text{r}$	$w_4 = 6 \text{ ouvriers}$
5) Betonnage des semelles filantes:	$T_5 = 1\text{r}$	$w_5 = 12 \text{ ouvriers}$
6) coffrage de la superstructure	$T_6 = 8\text{r}$	$w_6 = 16 \text{ ouvriers}$
7) Pose des armatures pour la superstructure:	$T_7 = 8\text{r}$	$w_7 = 12 \text{ ouvriers}$
8) Betonnage de la superstructure:	$T_8 = 8\text{r}$	$w_8 = 14 \text{ ouvriers}$
9) Découfrage des éléments verticaux:	$T_9 = 4\text{r}$	$w_9 = 6 \text{ ouvriers}$
10) Découfrage des éléments horizontaux:	$T_{10} = 4\text{r}$	$w_{10} = 5 \text{ ouvriers}$
11) Tout-venant pour la dalle du sous-sol:	$T_{11} = 4\text{r}$	$w_{11} = 4 \text{ ouvriers}$
12) dalle du sous-sol :	$T_{12} = 4\text{r}$	$w_{12} = 8 \text{ ouvriers}$
13) Mâture du sous-sol:	$T_{13} = 1\text{r}$	$w_{13} = 6 \text{ ouvriers}$
14) Revêtement du sous-sol:	$T_{14} = 2\text{r}$	$w_{14} = 8 \text{ ouvriers}$
15) Moutage des poteaux métalliques:	$T_{15} = 2\text{r}$	$w_{15} = 8 \text{ ouvriers (1 grue)}$
16) Moutage des ferrures métalliques:	$T_{16} = 3\text{r}$	$w_{16} = 8 \text{ ouvriers (1 grue)}$
17) Moutage des pannes:	$T_{17} = 1\text{r}$	$w_{17} = 3 \text{ ouvriers}$
18) Maçonnerie du Rég-de-chaussée:	$T_{18} = 4\text{r}$	$w_{18} = 7 \text{ ouvriers}$
19) Enduit des murs:	$T_{19} = 4\text{r}$	$w_{19} = 12 \text{ ouvriers}$
20) Revêtement du Rég-de-chaussée:	$T_{20} = 4\text{r}$	$w_{20} = 18 \text{ ouvriers}$
21) Moutage du faux-plafond:	$T_{21} = 2\text{r}$	$w_{21} = 6 \text{ ouvriers}$
22) Vitrerie et menuiserie métallique:	$T_{22} = 2\text{r}$	$w_{22} = 4 \text{ ouvriers}$
23) Peinture :	$T_{23} = 4\text{r}$	$w_{23} = 4 \text{ ouvriers}$

24/ Montage de la tôle ménagée

$$T_{24} = 8r$$

$\omega_{24} = 13$  ouvriers.

25/ pose de l'isolation thermique

$$T_{25} = 8r$$

$\omega_{25} = 4$  ouvriers

26/ Etanchéité

$$T_{26} = 8r$$

$\omega_{26} = 3$  ouvriers.

## Outilage.

a/ Terrassement

Pour le décapage, l'excavation, le nivellement et le transport des déblais nous pourrons utiliser un bulldozer Caterpillar type D9 sur pneus.

b/ Transport

· buseuleuse à déversement par gravité 820M (type Richier) dont la capacité est 600 l/300 l

· des camions de diverses marques 3, 4 ou 5 tonnes.

Le transport des fermes et poteaux et autres éléments préfabriqués sera assuré par une remorque basse R.A 12 de 12 tonnes attelée à un tracteur.

c/ Montage.

Pour le montage des fermes et poteaux, nous utiliserons une auto-grue sur pneus type Griffet 820 à flèche télescopique avec transmission hydraulique et caractérisée par une grande mobilité.

d/ préparation du béton

nous utiliserons une betonnière type courant

### CHAPITRE III

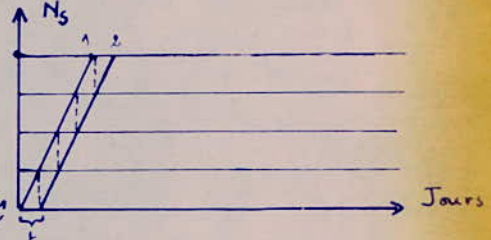
#### ORGANISATION DE L'EXECUTION DES TRAVAUX PAR LA METHODE "TRAVAIL A LA CHAÎNE"

cette méthode consiste dans l'exécution des travaux par une seule équipe attaquant les quantités de travaux nécessaires dans chaque secteur.

##### 1- Etablissement des cyclogrammes des travaux de construction :

Il s'agit de représenter par des durées l'exécution de chaque cycle sur l'ensemble des secteurs. On choisit le système de coordonnées suivant:

Pour un même cycle, la durée d'exécution ( $t$ ) sur chaque secteur, ou rythme doit rester constante. Si le cycle s'étend sur  $n$  secteurs, la durée totale d'exécution :  $d_T = n \times t$ .



Il existe cependant une liaison entre la fin d'un cycle 1 et le début du cycle suivant 2 dite synchronisation. Elle est fonction des rythmes respectifs des deux cycles.

La durée totale d'exécution est donnée par :

$$D_T = \sum_{i=1}^{i=m} t_i + \sum \tau + (n-1) t_m.$$

$t_i$  = rythme du cycle  $n^{\circ} i$ .

$\tau$  = décalage organisationnel ou technologique.

$t_m$  = rythme du dernier cycle.

$m$  = nombre de cycles.

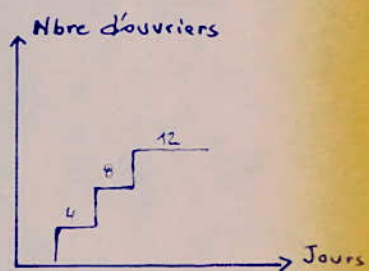
$n$  = nombre de secteurs.

## 2. Graphique à Barres: (dit aussi Graphique GANTT).

Il est tiré à partir du cycloogramme précédent. ce graphique montre en concert la durée nécessaire et le chevauchement de l'exécution des cycles. Le graphique à barres s'obtient par la projection horizontale de chaque chose composant ce cycle. Il se présente sous forme de tableau.

## 3. Graphique d'échelonnement de la main-d'œuvre:

Il est tiré à partir du graphique à barres, précédemment établi, ou choisira le système de coordonnées suivant :  
Il nous permet de connaître, pour une date donnée, le nombre exact d'ouvriers sur le chantier.



### Conclusion :

cette méthode présente très peu d'avantages (cycloogramme; élaboration simple d'un graphique, lecture rapide des dates, indique l'échelonnement des ressources) mais beaucoup d'inconvénients :

- Absence nette de flexibilité
- n'indique pas l'importance des travaux
- pas de remèdes aux imprévus, qui peuvent empêcher la réalisation ou imposent des modifications.

Il existe cependant la technologie des graphes qui remédie aux lacunes des graphiques à barres.

## CHAPITRE IV

### DIAGRAMMES DIFFÉRENTIELS ET INTEGRALS DE CONSOMMATION ET

#### APPROVISIONNEMENT DES MATERIAUX - COURBES DE STOCKS:

Pour la planification, la comptabilité et la consommation des matériaux les plus importants on utilise des graphiques d'approvisionnement et de consommation. Ces diagrammes sont établis pour chaque matériau utilisé dans la construction. Ils indiquent essentiellement le mode de consommation et d'approvisionnement des matériaux. On a établi ces diagrammes pour le ciment, le sable, le gravier et l'Acier de la manière suivante :

$$q = \frac{Q_T}{d}$$

$q$  = consommation journalière.

$Q_T$  = quantité totale du matériau étudié

$d$  = durée d'exécution du cycle usant de ce matériau.



- Porter ensuite sur ce graphique les cycles nécessitant ce matériau ainsi que les diagrammes de consommation en matériau.

- Traer sur ce même graphique, celui de l'approvisionnement qui se fait par camions. On obtient ainsi le diagramme différentiel d'approvisionnement et de consommation.

Pour le diagramme integral, on portera dans un système de coordonnées (quantité; jours). on fait figurer en traits forts les quantités consommées et en pointillés les quantités approvisionnées.

Les courbes de stocks sont déduites des diagrammes différentiels respectifs.

Il s'agit de savoir quelle est la quantité maximale de matériau susceptible d'être stocké afin de pouvoir dimensionner les stocks nécessaires. Cette courbe est comprise entre un minimum et un maximum de stockage. Pour déterminer ces deux valeurs, on doit connaître :

$$q_m = \frac{\sum Q_T}{D'}$$

$q_m$  = quantité moyenne de matériau afferté par jour.

$D'$  = durée totale d'exécution de tous les cycles employant ce matériau

$$q_{\text{mini}} = (5 \text{ à } 7) q_m$$

$$q_{\text{max}} = (25 \text{ à } 30) q_m.$$

Remarque:

les normes exigent que le stockage en matériau doit commencer quelques jours avant le démarrage du chantier, on verra aussi le dimensionnement des dépôts d'après les calculs.

---

Détermination des consommations totales en ciment, sable, gravier, Acier et Bois.

on dresse le Tableau I à partir des quantités totales ; et des consommations spécifiques.

$Q_T$  = quantité totale

$C_S$  = consommation spécifique

$C_T$  = consommation totale.

$$C_T = Q_T \times C_S \quad (\text{Voir le Tableau I})$$

les totaux arrondis par matériau sont les suivants.

1 - Ciment : 186 t.

2 - Sable : 421 m<sup>3</sup>

3 - Gravier : 497 m<sup>3</sup>

4 - Acier : 37 t

5 - Bois : 15 m<sup>3</sup>.

Construction des diagrammes "Consommation, Approvisionnement" et de la courbe intégrale de stocks:

1°/ Le ciment :

$$1 - Q_{1T} = 338 \text{ Kgs}$$

$$q_1 = \frac{338}{4} = 84,5 \text{ Kgs/j}$$

$$3 - Q_{3T} = 5453 \text{ Kgs}$$

$$q_3 = \frac{5453}{4} = 1363,25 \text{ Kgs/j}$$

$$4 - Q_{4T} = 12911 \text{ Kgs}$$

$$q_4 = \frac{12911}{4} = 3227,75 \text{ Kgs/j}$$

$$7 - Q_{7T} = 120243,5 \text{ Kgs}$$

$$q_7 = \frac{(120243,5)}{8} = 3558 \text{ Kgs/j}$$

$$9 - Q_{9T} = 12366 \text{ Kgs}$$

$$q_9 = \frac{(12366)}{16} = 773 \text{ Kgs/j}$$

$$10 - Q_{10T} = 458,9 \text{ Kgs}$$

$$q_{10} = \frac{(458,9)}{4} = 114,73 \text{ Kgs/j}$$

$$11 - Q_{11T} = 13132,8 \text{ Kgs}$$

$$q_{11} = \frac{(13132,8)}{8} = 1641,6 \text{ Kgs/j}$$

$$13 - Q_{13T} = 4505 \text{ Kgs}$$

$$q_{13} = \frac{(4505)}{16} = 281,56 \text{ Kgs/j.}$$

$$14 - Q_{14T} = 14227,2 \text{ Kgs}$$

$$q_{14} = \frac{14227,2}{16} = 889,2 \text{ Kgs/j.}$$

$$Q_T = \sum_i Q_{iT} = 185876 \text{ Kgs}$$

$$q_{\text{moyen}} = \frac{185876}{74} = 2512 \text{ Kgs/j.} \text{ on prendra } q_{\text{moyen}} = 3t/j.$$

$$d_{\text{app}} = \frac{185876}{3000} = 62j \quad \text{durée d'approvisionnement}$$

Pour le coursse intégrale de stocks =

$$q_{\text{mini}} = 3 \times 6 = 18t$$

$$q_{\text{max}} = 28 \times 3 = 84t$$

## 2/ Le sable:

$$3 - Q_{3T} = 7148 \text{ m}^3$$

$$q_3 = \frac{Q_{3T}}{4} = \frac{7148}{4} \approx 1,9 \text{ m}^3/j$$

$$4 - Q_{4T} = 28,7 \text{ m}^3$$

$$q_4 = \frac{Q_{4T}}{4} = \frac{28,7}{4} \approx 7,2 \text{ m}^3/j$$

$$7 - Q_{7T} = 158,04 \text{ m}^3$$

$$q_7 = \frac{158,04}{32} = 4,94 \text{ m}^3/j$$

$$8 - Q_{8T} = 65,7 \text{ m}^3$$

$$q_8 = \frac{65,7}{16} = 4,1 \text{ m}^3/j.$$

$$9 - Q_{9T} = 54,72 \text{ m}^3$$

$$q_9 = \frac{54,72}{16} = 3,42 \text{ m}^3/j$$

$$10 - Q_{10T} = 3,23 \text{ m}^3$$

$$q_{10} = \frac{3,23}{4} = 0,81 \text{ m}^3/j$$

$$11 - Q_{11T} = 21,89 \text{ m}^3$$

$$q_{11} = \frac{21,89}{8} = 2,74 \text{ m}^3/j$$

$$12 - Q_{12T} = 15,72 \text{ m}^3$$

$$q_{12} = \frac{15,72}{4} = 3,93 \text{ m}^3/j$$

$$13 - Q_{13T} = 30,83 \text{ m}^3$$

$$q_{13} = \frac{30,83}{16} = 1,96 \text{ m}^3/j$$

$$14 - Q_{14T} = 33,93 \text{ m}^3$$

$$q_{14} = \frac{33,93}{16} = 2,12 \text{ m}^3/j$$

$$Q_T = \sum_i Q_{iT} = 420,24 \text{ m}^3$$

$$q_{\text{moyen}} = \frac{420,24}{78} = 5,33 \text{ m}^3/j$$

on prendra  $q_{\text{moyen}} = 3 \text{ m}^3/j$

Pour le coursse intégrale de stocks:

$$q_{\text{mini}} = 6 \times 3 = 18 \text{ m}^3$$

$$q_{\text{max}} = 28 \times 3 = 84 \text{ m}^3$$

3) Gravier:

$$1 - \varphi_{1T} = 3,38 \text{ m}^3$$

$$q_1 = \frac{3,38}{4} \simeq 0,85 \text{ m}^3/\text{j}$$

$$3 - \varphi_{3T} = 11,37 \text{ m}^3$$

$$q_2 = \frac{11,37}{4} \simeq 2,84 \text{ m}^3/\text{j}$$

$$4 - \varphi_{4T} = 44,2 \text{ m}^3$$

$$q_4 = \frac{44,2}{4} = 11,05 \text{ m}^3/\text{j}$$

$$7 - \varphi_{7T} = 240,5 \text{ m}^3$$

$$q_7 = \frac{(240,5)}{4} \cdot \frac{1}{8} = 7,5 \text{ m}^3/\text{j}$$

$$8 - \varphi_{8T} = 98,5 \text{ m}^3$$

$$q_8 = \frac{98,5}{16} \simeq 6,2 \text{ m}^3/\text{j}$$

$$9 - \varphi_{9T} = 98,5 \text{ m}^3$$

$$q_9 = \frac{98,5}{16} \simeq 6,2 \text{ m}^3/\text{j}$$

$$Q_T = \sum_i \varphi_{iT} = 496,45 \text{ m}^3$$

$$q_{moy} = \frac{496,45}{45} = 11,83 \text{ m}^3/\text{j}$$

on prendra  $q_{moyen} = 9 \text{ m}^3/\text{j}$

4) Acier:

$$2 - \varphi_{2T} = 963 \text{ Kgs}$$

$$q_2 = \frac{963}{4} = 241 \text{ Kgs/j}$$

$$6 - \varphi_{6T} = 35387,8 \text{ Kgs}$$

$$q_6 = \left( \frac{35387,8}{4} \right) \frac{1}{8} = 1106 \text{ Kgs/j}$$

$$\varphi_T = \sum_i \varphi_{iT} = 37000 \text{ Kgs}$$

$$q_{moyen} = \frac{37000}{24} = 1542 \text{ Kgs/j}$$

on prendra  $q_{moyen} = 2000 \text{ Kgs/j}$ .

Pour la courbe intégrale de stocks :

$$q_{\min} = 6 \times 2000 = 12000 \text{ Kgs/j}$$

$$q_{\max} = 28 \times 2000 = 56000 \text{ Kgs/j}$$

5) Le Bois:

$$Q_T = 15 \text{ m}^3 \text{ il sera transporté en une seule fois.}$$

N° d'ordre	Désignation	Quantité	CIMENT	SABLE	GRAVIER	ACIER	BOUTIS
		Total ( $C_T$ ) kg/m <sup>3</sup>	$C_S$ kg/m <sup>3</sup>	$C_T$ m <sup>3</sup>	$C_S$ kg/m <sup>3</sup>	$C_T$ kg/kg	$C_S$ m <sup>3</sup> /kg
1	Béton de proprete'	2,6	130	338	—	1,3	3,38
2	Armatures pour fondes	935	—	—	—	—	—
3	Béton Armé pour f. isolées	16,58	350	5453	0,48	7,48	9,73
4	Béton pour Semelles cont.	57,38	225	12311	0,5	28,7	0,77
5	coffrage pour superstruct.	3272,87	—	—	—	44,2	—
6	Armatures pour superstruct.	3435,7	—	—	—	—	3,0045
7	Béton pour superstructure	343,57	350	120243,5	0,46	158,04	0,7
8	Tout Venant pour dalle dessin	164,2	—	—	0,4	65,7	0,6
9	Béton pour dalle dessin	1034,4	11,3	12367	0,05	54,72	0,09
10	Locats pour Maçonnerie	13,7	32	438,5	0,23	3,75	—
		6,5 m <sup>2</sup>	10,2	20,4	0,006	9,02	—
11	Revêtement du S.S	1094,4	12	18132,8	0,02	21,89	—
12	Liants pour Maçonnerie	6,68	32	2130,6	0,23	1,93	—
		2,065 C.m <sup>2</sup>	52	104	0,008	0,142	—
13	Enduit des Murs	1186	3,8	4505	0,026	30,83	—
14	Revêtement de dalle	1034,4	13	14227,2	0,031	33,93	—
		2,065 C.m <sup>2</sup>	—	—	—	—	—

CHAPITRE □ORGANISATION DE LA BASE TECHNICO-MATERIELLE DU CHANTIER:

Le problème le plus difficile dans le projet d'organisation des travaux est constitué par la nécessité de l'établissement des constructions provisoires pour l'organisation territoriale du chantier et pour sa base matérielle.

L'établissement des nécessités des travaux d'organisation doit tenir compte des méthodes de travaux qui s'appliquent et de leur durée d'exécution.

1- ATELIERS :

Sur les grands chantiers sont organisés des ateliers centraux pour la confection des armatures qui doivent être dotés d'outillage de grande capacité (machine d'étrivage et de sectionnement des armatures livrées en rouleaux, machine pour façonnner les armatures, machine pour les souder en points...) Pour façonnner les armatures nécessaires à la réalisation des constructions de notre projet, nous avons réservé une petite place.

Pour confectionner des coffrages, sont nécessaires des ateliers spéciaux, ayant dans leur dotation des outillages de préparation du bois (scie circulaire, machine de polissage du bois). On a prévu sur notre chantier un petit préau de rectification et de réparation des coffrages.

Pour la préparation du béton nécessaire à l'exécution des travaux nous avons prévu une station de préparation avec des bétoneurs qui est située près des dépôts de ciment et des agrégats.

2 - Dépôts : Le rôle des dépôts est d'assurer l'approvisionnement continu de la production du chantier avec des matériaux, des outillages etc...

et aussi leur stock doit compenser les non uniformités qui interviennent de diverses causes dans l'approvisionnement général du chantier.

Le dimensionnement des dépôts se fait en fonction de la quantité nécessaire à déposer, des normes de dépôt sur l'unité de surface, du rythme d'approvisionnement et de la nature du matériau.

### 3. Constructions Socio-Administratives:

L'exécution des travaux nécessite l'utilisation de travailleurs permanents, les constructions administratives pour desservir le chantier (bureaux, magasins pour le outillage et lutte contre l'incendie, garde, etc...)

### 4. Base de dimensionnement des dépôts:

$$S_d = \frac{Q_{\max} \text{ dépôt}}{q} \cdot K.$$

$S_d$  = Surface de dépôt

$Q_{\max}$  =  $Q$  maximum réel

$q$  = quantité spécifique en stock

$K$  = coefficient de correction.

$$S_d = l \times L$$

$l$  = largeur de la surface de dépôt

$L$  = longueur de la surface de dépôt.

dans le cas du sable et du gravier, les surfaces de dépôt sont

des trapèzes  $S_d = \frac{(B+b)}{2} \times H$

$b$  = petite base

$B$  = grande base

$H$  = Hauteur du trapèze.

## Constructions sociaux administratifs.

- Ces constructions sont les suivantes:
  - vestiaires pour le travailleur.
  - point sanitaire ou infirmerie pour tout le personnel
  - de toilettes pour tout le personnel
  - de bureaux pour 70% du personnel technico-administratif
  - un poste de garde.

Pour établir la surface de ces constructions, nous devons connaître l'effectif total  
Sur le graphique d'échelonnement de la main d'œuvre se trouve le nombre d'ouvriers  
directement productifs

$N_{pc}$ : nombre de constructeurs directement productifs

$$N_{pc} = 48$$

$N_{pm}$ : nombre de monteurs directement productifs

$$N_{pm} = 8$$

$N_c$ : nombre de personnes utilisées dans l'activité de construction

$$N_c = 1,47 N_{pc} = 1,47 \times 48 \approx 70$$

$N_m$ : nombre de personnes utilisées dans l'activité de montage

$$N_m = 1,28 \times N_{pm} = 1,28 \times 8 \approx 10$$

$N_T$ : l'effectif total de personnes qui se trouvent en chantier

$$N_T = N_c + N_m = 70 + 10 = 80$$

Nous établirons l'effectif pour trois catégories d'employés

$N_1$ : travailleurs de qualification supérieure

$N_2$ : autres travailleurs (manoeuvres)

$N_3$ : personnel technico-administratif.

$$N_1 = 0,5 N_c + 0,71 N_m = 35 + 7 = 42$$

$$N_2 = 0,4 N_c + 0,15 N_m = 28 + 8 = 30$$

$$N_3 = 0,1 N_c + 0,14 N_m = 7 + 1 = 8$$

$$N_T = N_1 + N_2 + N_3 = 42 + 30 + 8 = 80 \text{ ouvriers.}$$

### dimensionnement des constructions logement - administratifs.

#### vestiaires

$$S_V = (N_1 + N_2) \times 0,7 = (42 + 30) \times 0,7 = 50,4 \text{ m}^2$$

0,7 m<sup>2</sup> est la surface nécessaire à une personne

#### infirmerie

sur le chantier sera nécessaire une infirmerie qui sera aménagée  
fin de bureaux.

#### toilettes

$$S_T = (N_1 + N_2 + N_3) \times 0,05 = (42 + 30 + 8) \times 0,05 = 4 \text{ m}^2$$

0,05 m<sup>2</sup> est la surface nécessaire à une personne

#### bureaux pour 70% du personnel technique - administratif.

$$S_b = 0,7 \times N_3 \times 5 = 0,7 \times 8 \times 5 = 28 \text{ m}^2$$

5 m<sup>2</sup> est la surface nécessaire pour une personne.

#### Poste de garde

vous avons une seule entrée pour tout le chantier, nous installons  
un poste de garde à cette entrée

#### Poste d'incendie

nous le placerons uniquement hors dépot inflammable.

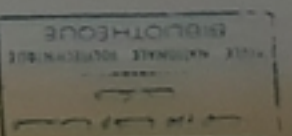
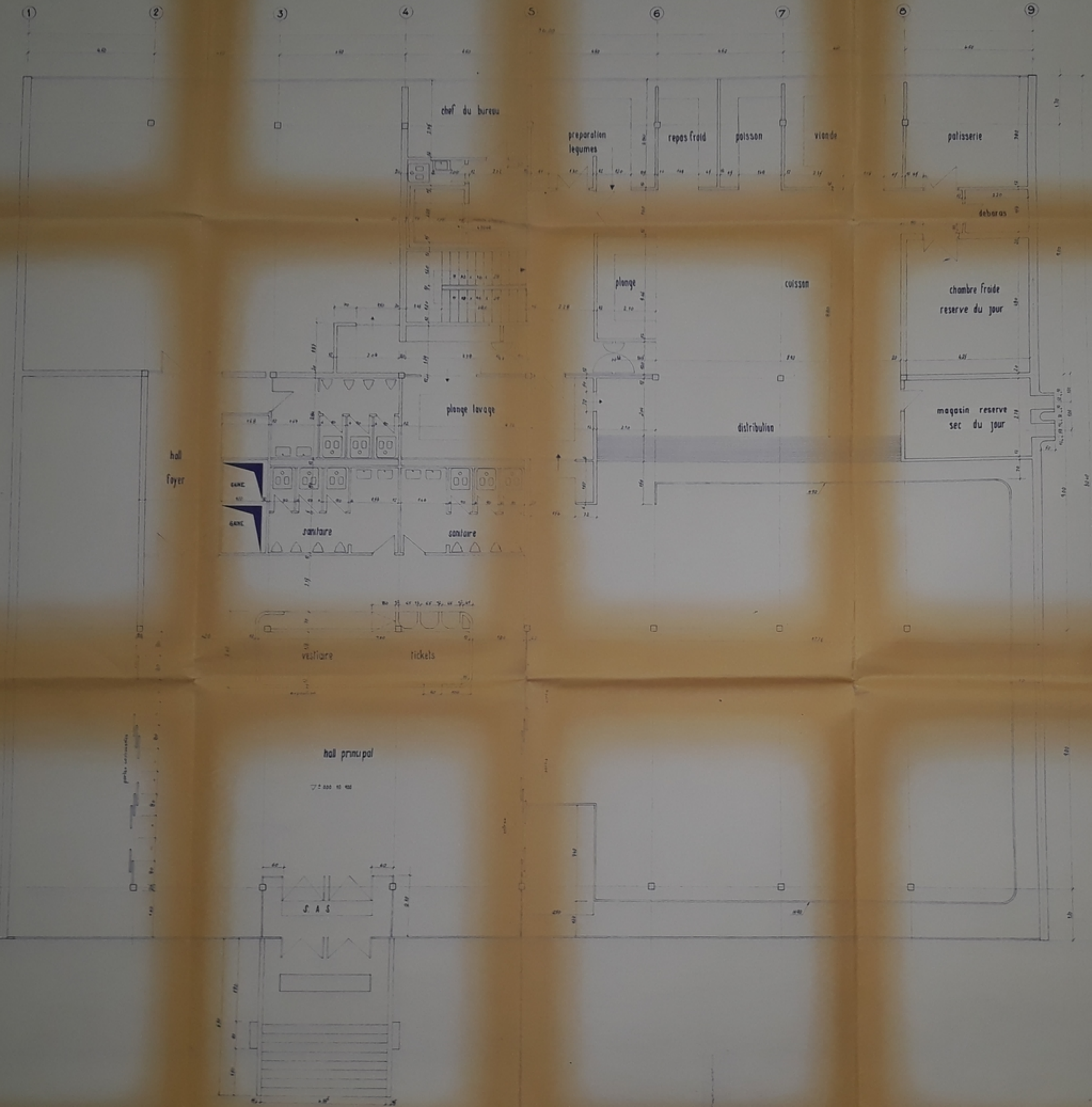
BIBLIOGRAPHIE.

Reglements:

<u>Titre</u>	<u>Auteurs</u>
Regles Neige et Vent 65 (Rense's Janvier 1975) -----	D.T.U
Regles de calcul des constructions en acier (CCM66)-----	D.T.U
Regles C.C.B.A 68 -----	D.T.U

Ouvrages

<u>Titre</u>	<u>Auteurs</u>
Aide memoire de Béton armé -----	Victor Daudourovic
Aide memoire de Bâtiment tome 1 et tome 2 -----	Benjamin Boulet
Le Calcul et la vérification d'ouvrages en Béton armé -----	Pierre Charron
Exercices de Béton armé -----	Pierre Charron
Cours de Béton de l'E.N.P -----	Bron
Le Charpentes métalliques tome 1 et tome 2 (cours de l'E.N.P) -----	Y. MARTINOV
Notes sur cours d'organisation de chantier de l'E.N.P.	
Notes des travaux dirigés d'organisation de chantier de l'E.N.P -----	N. Bejenariu
Constructii Metalice Exemple de calcul -----	Dan Mateescu - Danil Rosu - Ioan Carabu
Introducție pentru Construcții metalice	- E.M. Flutură - I. Otescu - P. Cristea



الجمهورية الجزائرية الديمقراطية الشعبية  
REPUBLIQUE ALGERIENNE DEMOCRATIQUE ET POPULAIRE

وزارة التعليم العالي والبحث العلمي  
MINISTERE DE L'ENSEIGNEMENT SUPÉRIEUR  
ET DE LA RECHERCHE SCIENTIFIQUE

المدرسة الوطنية للعلوم والتكنولوجie بالعراقيب

**ENPA**

ÉCOLE NATIONALE POLYTECHNIQUE D'ALGER  
Projet de fin d'études  
PROMOTION JANVIER 1977

PLAN DU R.D.E.C

جامعة الجزائر  
UNIVERSITY OF ALGERIA  
BIBLIOTHEQUE

DATE	NATURE DES MODIFICATIONS	DATE	PROPOSE PAR	ETUDE PAR	VALIDE
1977/01/01			M. KABDIA M. BENHILAL	K. ABADA K. BENHILAL	1

RESERVE DE RESTAURANT

1

2

3

1

5

7

ACCÈS MAGASIN

PESE

VESTIAIRE PER

TOILE

RESERVE LEGUMES

CHEF  
MAGASINIER

**RESERVE LEGUMES SECS**

A diagram of a vertical shelving unit. The left section is labeled "RESERVE HUMIDE" and the right section is labeled "RESERVE BOISSONS". Both sections have shelves labeled "GARDE" and "REFRIGÉRÉE". The unit is supported by a central vertical post and has horizontal beams at the top and bottom.

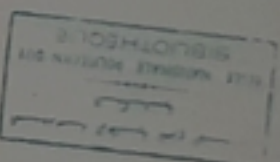
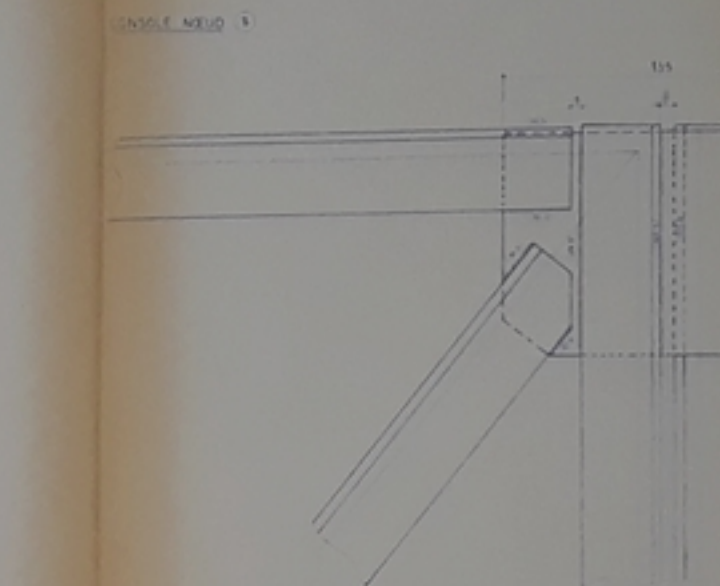
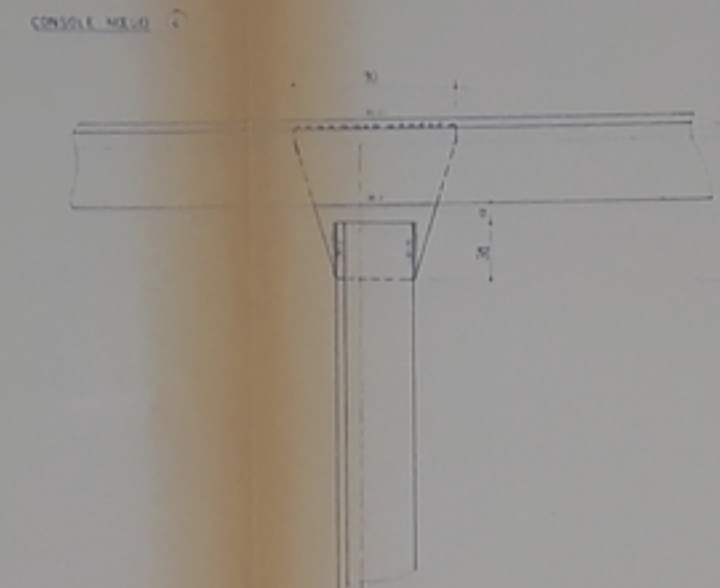
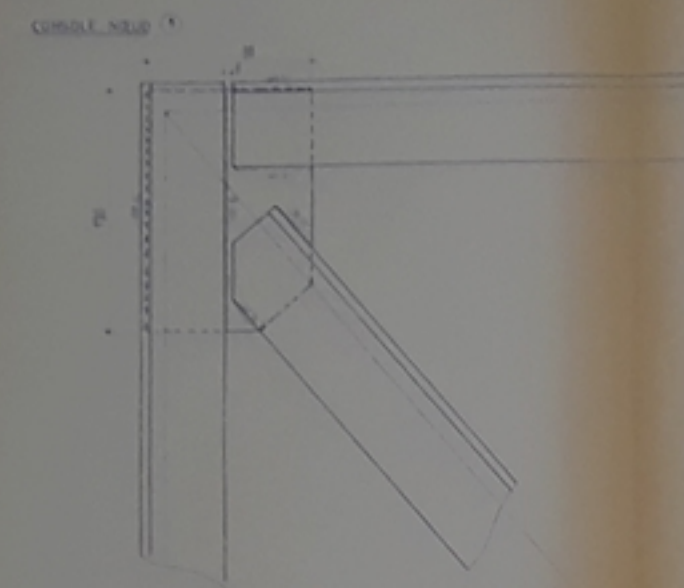
RESERVE CHAMBRE FROIDE

RESERVE LEGUMES

RESERVE LEGUMES

الجامعة المفتوحة والجامعة  
MUSÉE NATIONAL CONSERVATOIRE DE PARIS

ENPA



PP 001F7  
-03-

الجمهورية الجزائرية الديمقراطية الشعبية  
REPUBLIQUE ALGERIENNE DEMOCRATIQUE ET POPULAIRE

وزارة التعليم العالي والبحث العلمي  
MINISTERE DE L'ENSEIGNEMENT SUPERIEUR  
ET DE LA RECHERCHE SCIENTIFIQUE

المدرسة الوطنية للجودة الهندسية بالعاصمة

**ENPA**

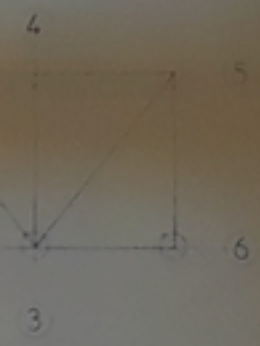
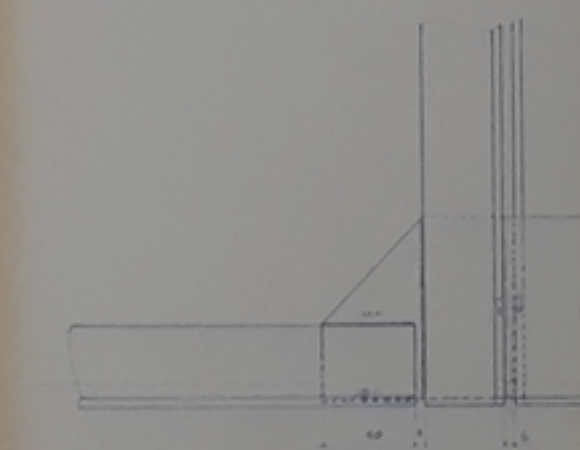
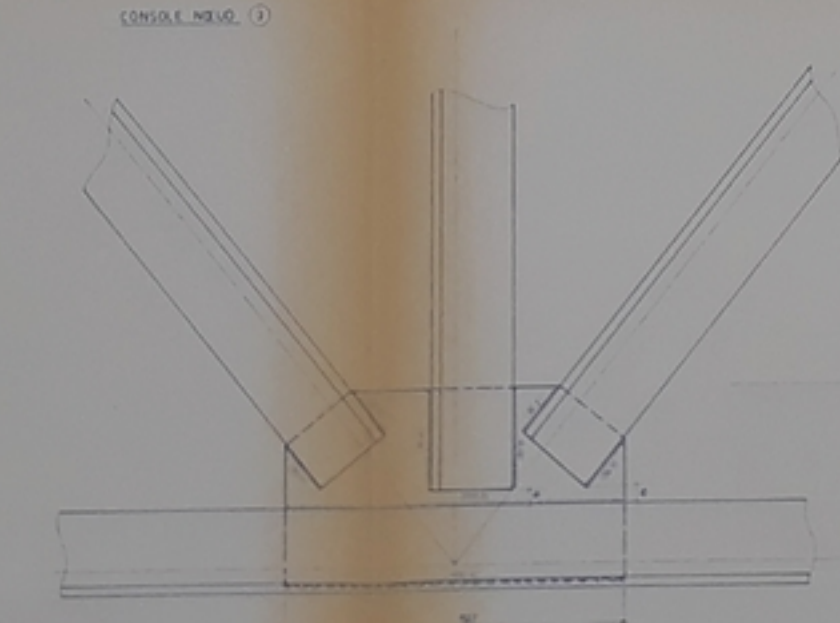
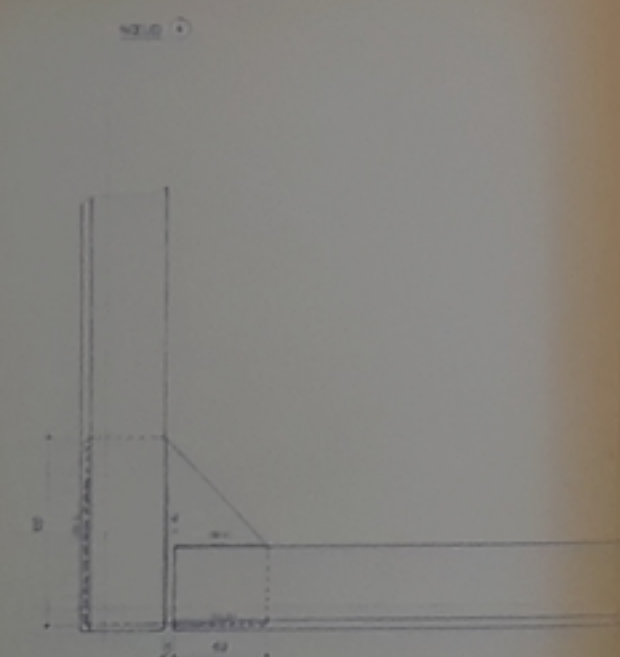
ECOLE NATIONALE POLYTECHNIQUE D'ALGER

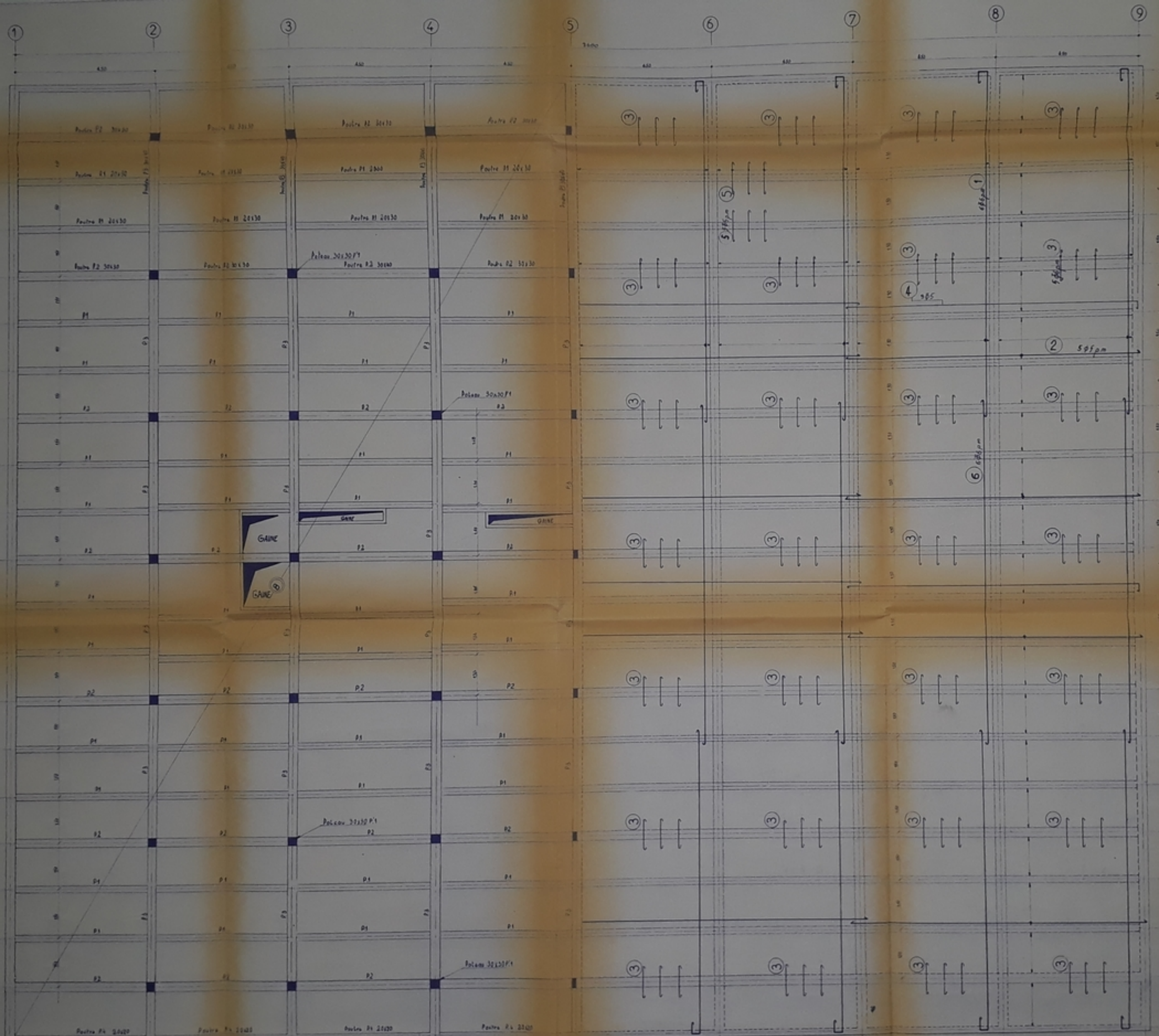
Projet de fin d'études  
PROMOTION JANVIER 1977

PLAN DETAILLE DES  
NŒUDS DE LA CONSOLE

BNF - BIBLIOTHÈQUE  
BIBLIOTHEQUE  
BIBLIOTHEQUE

DATE	NATURE ET FAISANCIER	ETAT DE FAISANCE	REMARQUE
9	PROPOSE PAR PROBLEME	ETUDE PAR A. ABDALLAH B. BOUCHEKAFA	3





N°	DESIGNATION	LONG. DES BARRES	N° des BARRES	FAÇONNAGE
1	Poutre F2 30x30	1170	4 p.m	9
2	Poutre F1 30x30	1130	3 p.m	2
3	Poutre M 30x30	950	3 p.m	1
4	Poutre M 20x30	950	3 p.m	2
5	Poutre M 20x30	450	6 p.m	3
6	Poutre F1 30x30	620	6 p.m	4

TABLEAU RÉCAPITULATIF			
NOTRE	POTEAUX	NOTRE	POTEAUX
REHAUSSE	SEGMENT	REHAUSSE	SEGMENT
F1	22x30	F1	20x30
F2	30x30		
F3	20x30		

PBo0177

-04-

الجمهورية الجزائرية الديمقراطية الشعبية  
REPUBLIQUE ALGERIENNE DEMOCRATIQUE ET POPULAIRE  
وزارة التعليم العالي والبحث العلمي  
MINISTERE DE L'ENSEIGNEMENT SUPERIEUR  
ET DE LA RECHERCHE SCIENTIFIQUE  
المدرسة الوطنية للعلوم الحاسوبية بالعاصمة  
ENPA

ECOLE NATIONALE POLYTECHNIQUE D'ALGER

Projet de fin d'étude

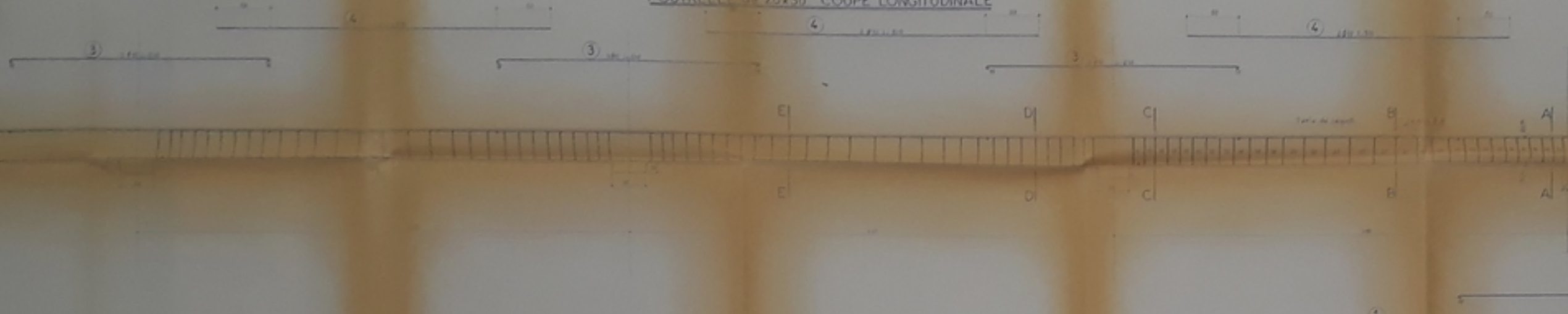
PROMOTION JANVIER 1977

PLAN DE COFFRAGE FERAILLAGE DE LA DALLE DU R.D.E.C

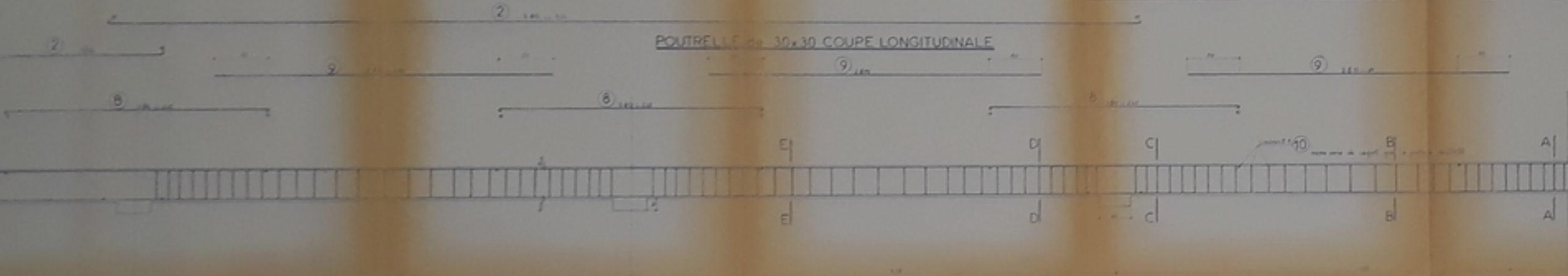
DRIVE AUTOMATIQUE  
DRIVE PAR  
TÉLÉMANIEMENT  
DRIVE PAR  
SIGNALISATION

DRIVE  
DRIVE PAR  
TÉLÉMANIEMENT  
DRIVE PAR  
SIGNALISATION

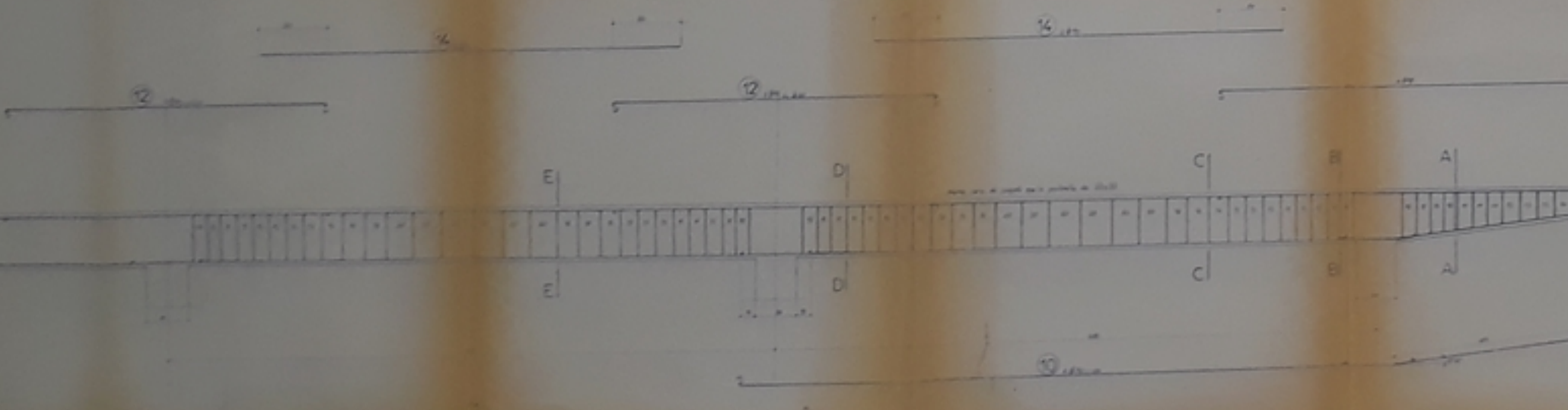
POUTRELLE de 20x30 COUPE LONGITUDINALE



POUTRELLE de 30x30 COUPE LONGITUDINALE



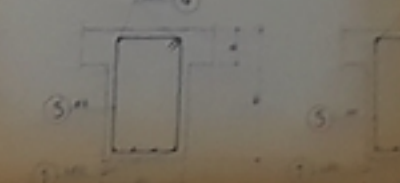
POUTRE de 30x40



coupeAA



coupeBB



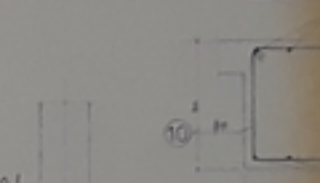
coupeCC



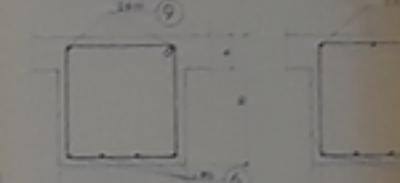
coupeDD



coupeAA



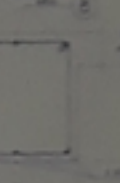
coupeBB



coupeCC



coupeDD



coupeEE

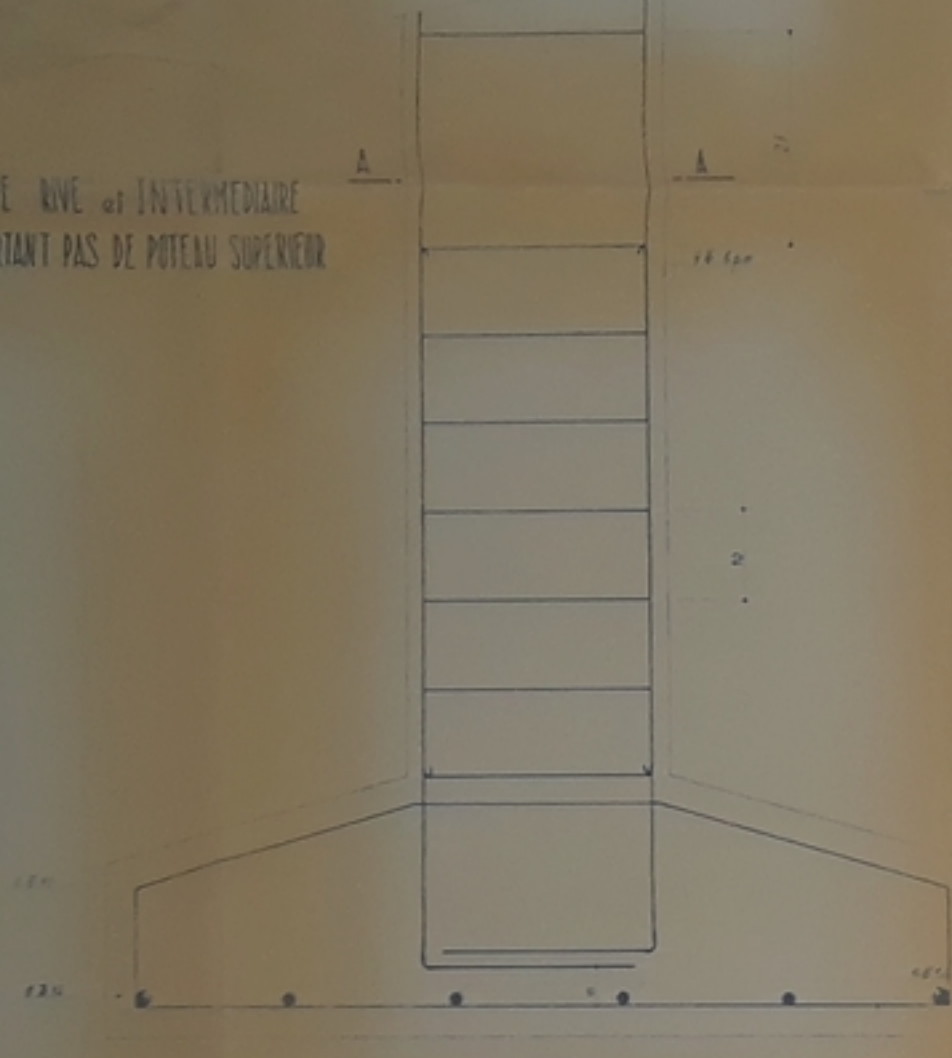


**ENPA**

PROJET DE 30 COURSES  
PROMOTION JANVIER 1977

PLAN DE FESAILLAGE  
DES POUTRES PI, P2, P3

POTEAU DE RIVE ET INTERMEDIAIRE  
NE SUPPORTANT PAS DE POTEAU SUPERIEUR

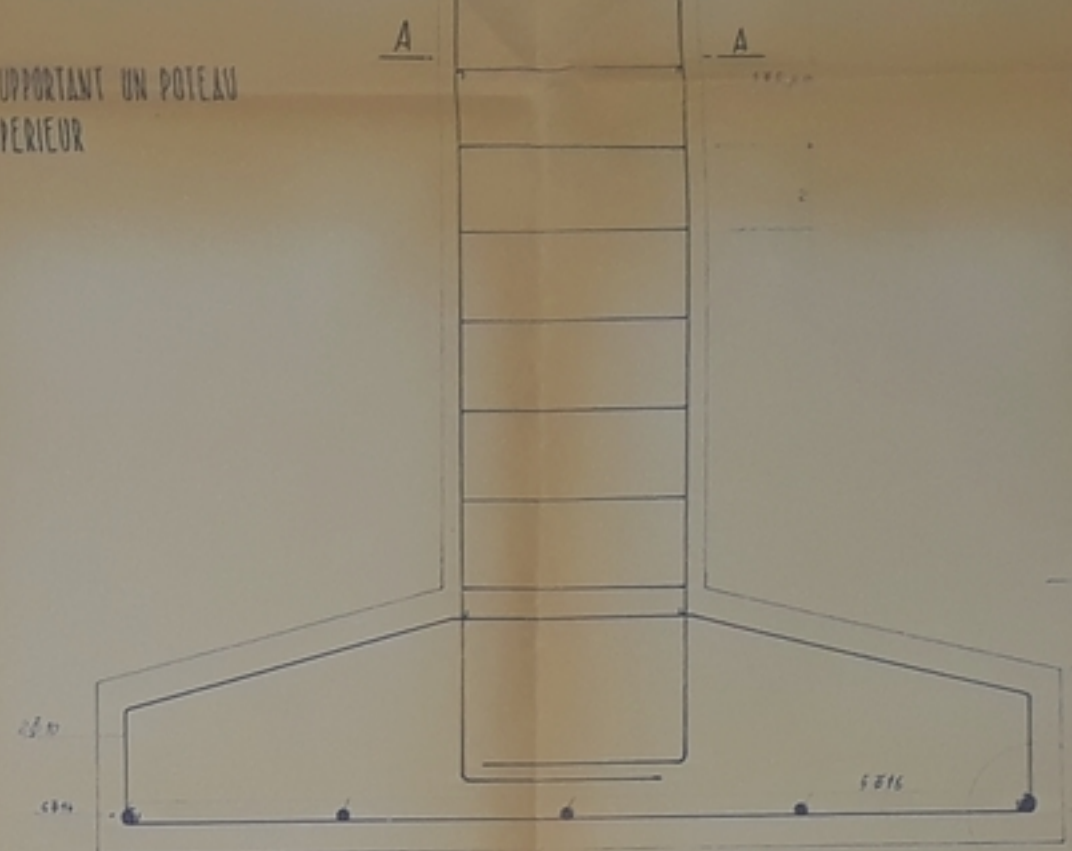


Voir Detail a

Coupe A-A

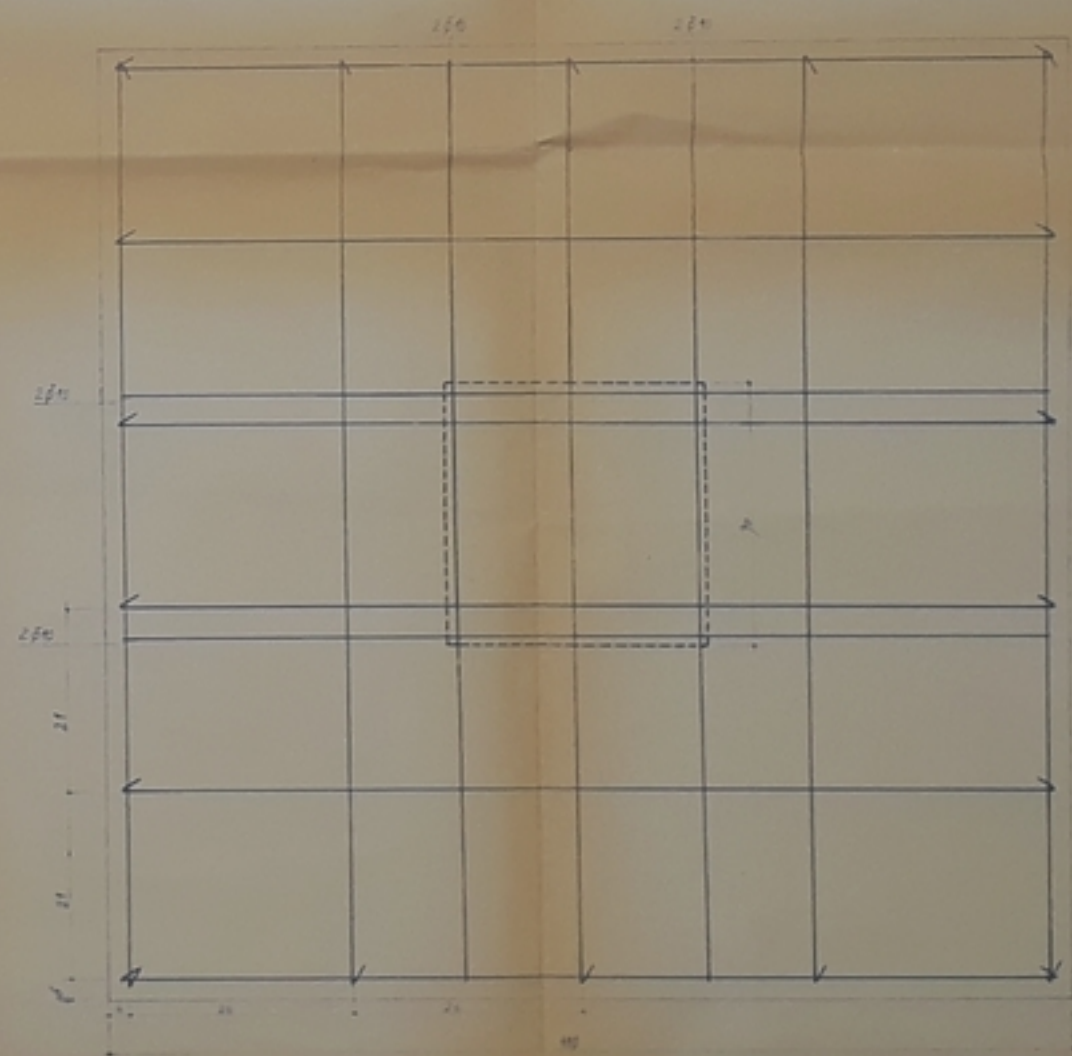


POTEAU SUPPORTANT UN POTEAU  
SUPERIEUR



Voir Detail b

PBc-277  
06.



الجامعة الجزائرية - المدرسة العليا للمهندسية والعلوم  
ALJAZAIRIAN UNIVERSITY - NATIONAL ENGINEERING AND SCIENCE  
MINSITERE D'EDUCATION NATIONALE  
ET DE LA RECHERCHE SCIENTIFIQUE  
المدرسة العليا للهندسة والتكنولوجيا بالجزائر

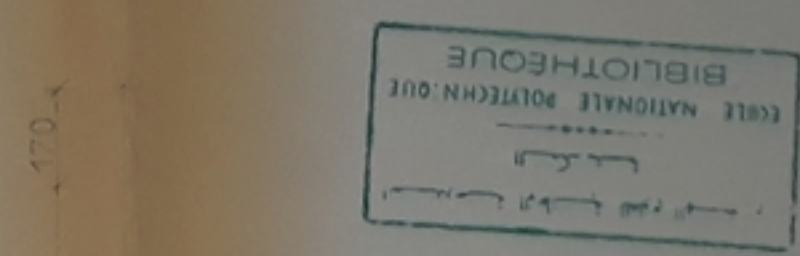
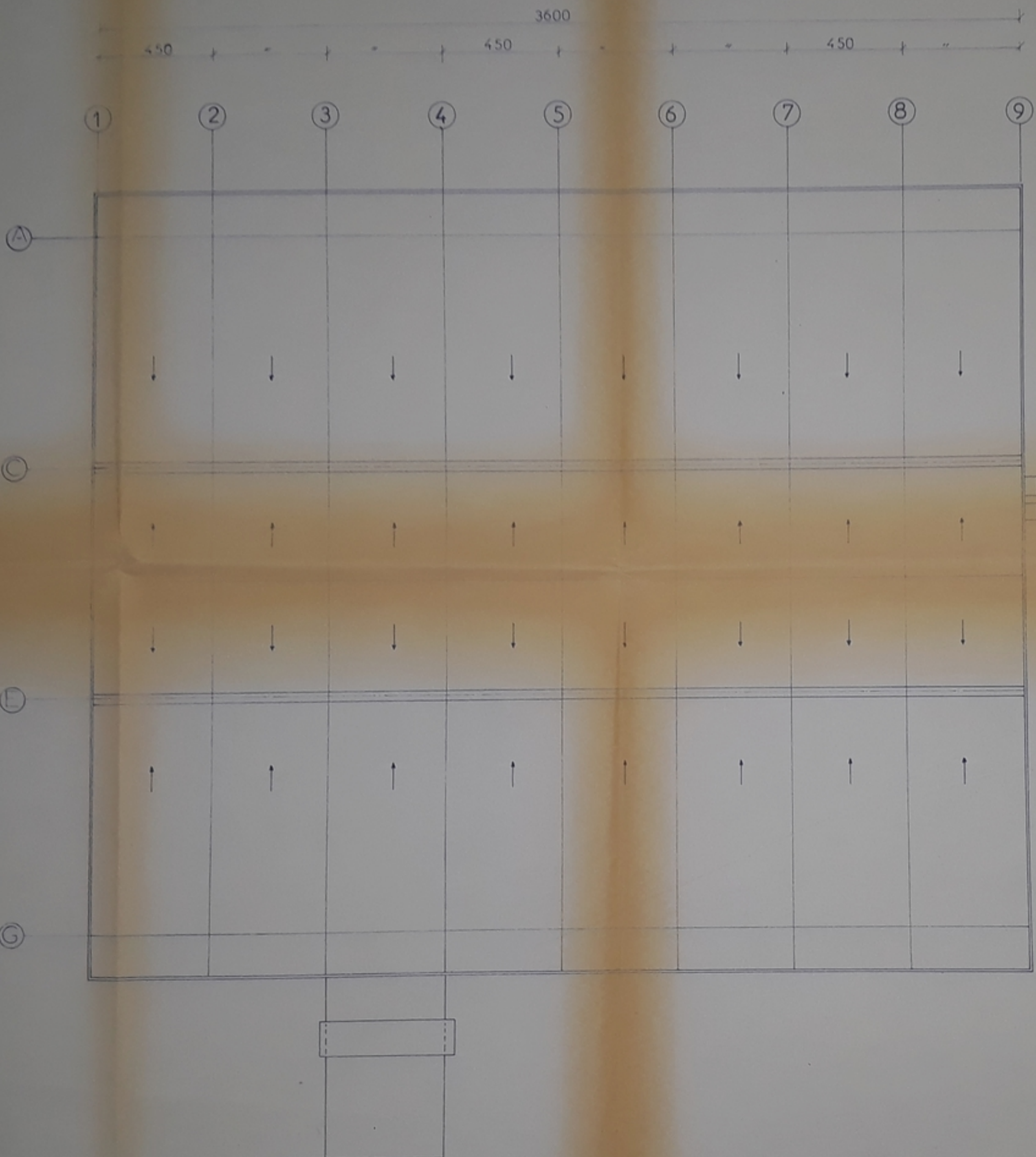
**ENPA**

ECOLE NATIONALE POLYTECHNIQUE D'ALGER  
Projet de fin d'études  
PROMOTION JANVIER 1977

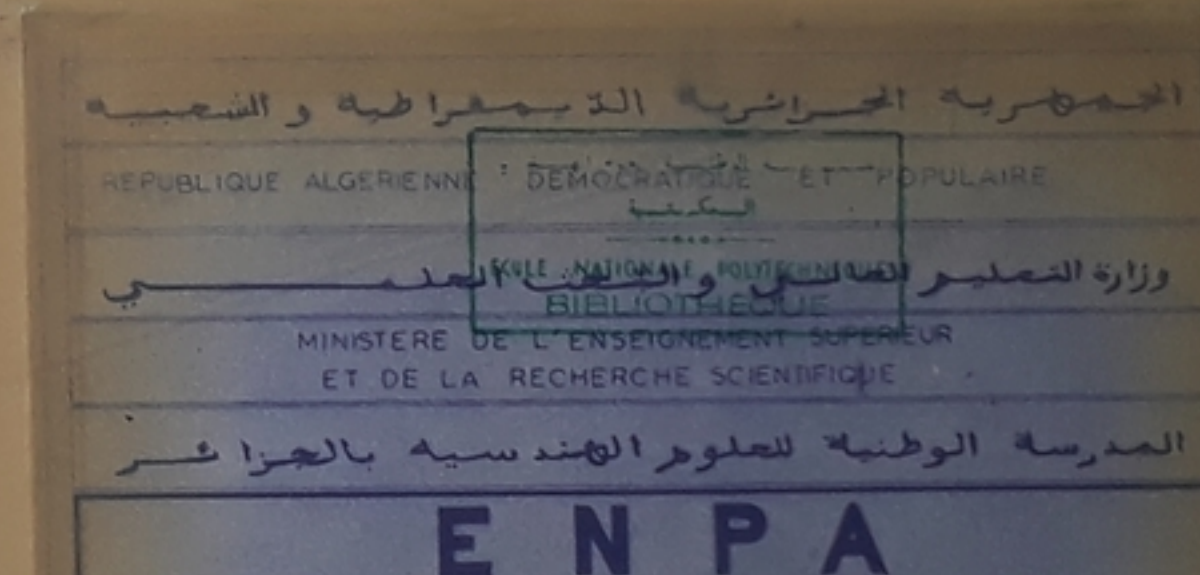
PLAN DE FERAILLAGE  
DES FONDATIONS

مكتبة  
Ecole Nationale Supérieure  
BIBLIOTHEQUE

نادي  
NATIONAL ENGINEERING  
ASSOCIATION



PB 001 77  
-07.

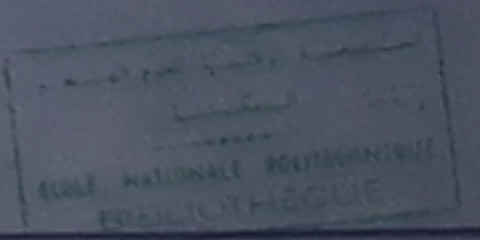


**E N P A**

ECOLE NATIONALE POLYTECHNIQUE D'ALGER

Projet de fin d'études  
PROMOTION JANVIER 1977

PLAN DE LA TOITURE



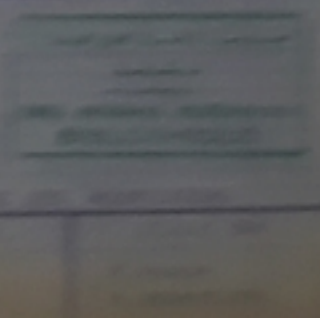
IND. DATE	NATURE DES MODIFICATIONS		VISÉ
DATE	PROPOSE PAR	ETUDE PAR	N° PLAN
ECH. 1/50	ING. N. BEJINARIU	K. ABADA B. BENKHELIFA	3

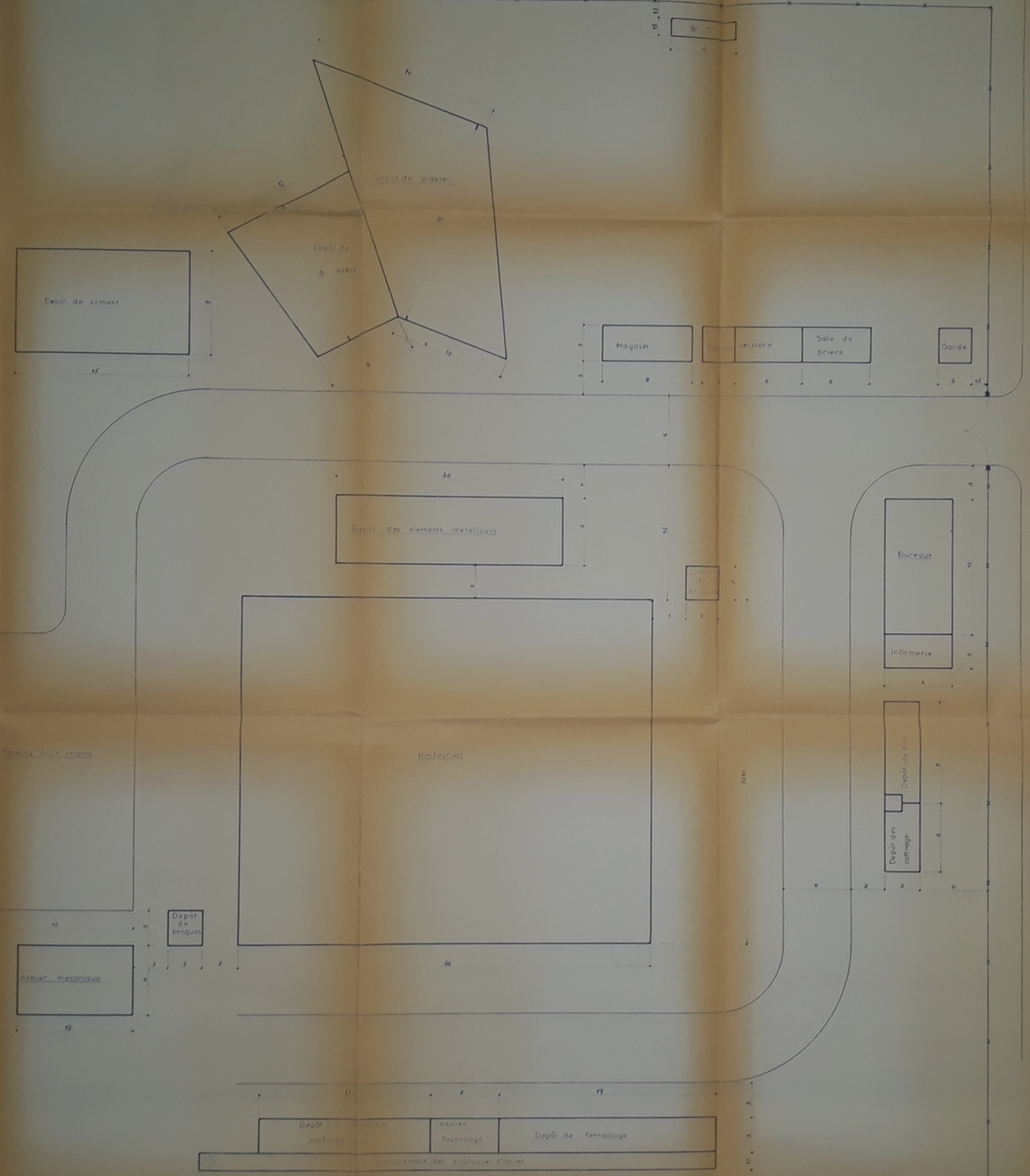
PROJET DE CONSTRUCTION  
DE LA CHAUSSEE  
DU GOUVERNEMENT

# ENPA

PROJET DE CONSTRUCTION  
DE LA CHAUSSEE  
DU GOUVERNEMENT

PLAN DETAILLE DES  
MEUBLES DE LA CHAUSSEE PRINCIPALE





PROJET DE FIN D'ETUDE  
PB001f7  
09

الجمهورية الجزائرية الديمقراطية الشعبية

REPUBLIQUE ALGERIENNE DEMOCRATIQUE ET POPULAIRE

وزارة التعليم العالي والبحث العلمي

MINISTERE DE L'ENSEIGNEMENT SUPERIEUR  
ET DE LA RECHERCHE SCIENTIFIQUE

المدرسة الوطنية للعلوم والتكنولوجie بالجزائر

**ENPA**

ECOLE NATIONALE POLYTECHNIQUE D'ALGER

PROJET DE FIN D'ETUDE

PROMOTION JANVIER 1977

PLAN D'ORGANISATION

DE CHANTIER

مكتبة المختصة في  
BIBLIOTHEQUE

ECOLE NATIONALE POLYTECHNIQUE

BIBLIOTHEQUE

NATURE DES MODIFICATIONS

DATE PROPOSE PAR ETUDE PAR

IN. N. BEJARAH K. ABADA

DATE PROPOSE PAR ETUDE PAR

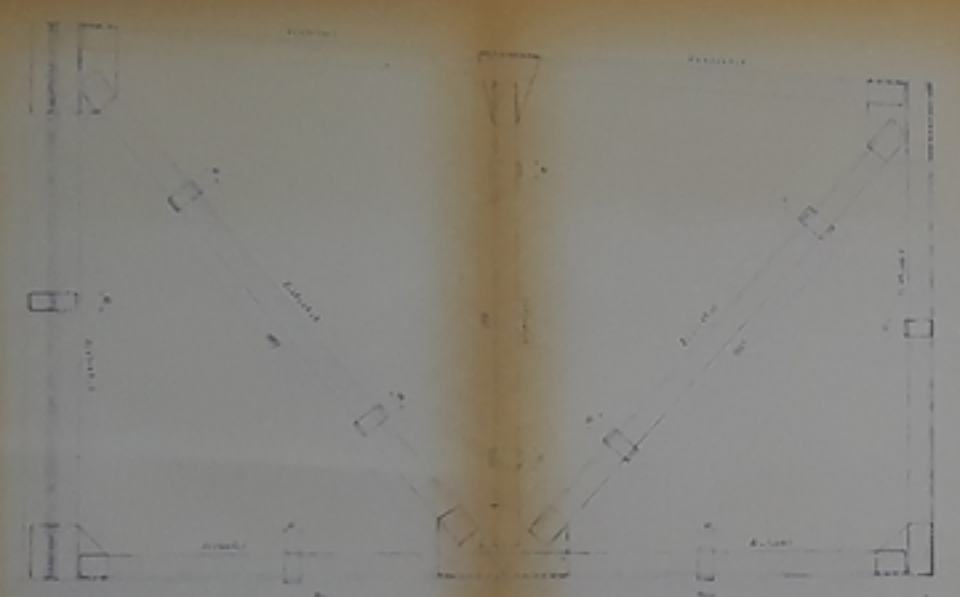
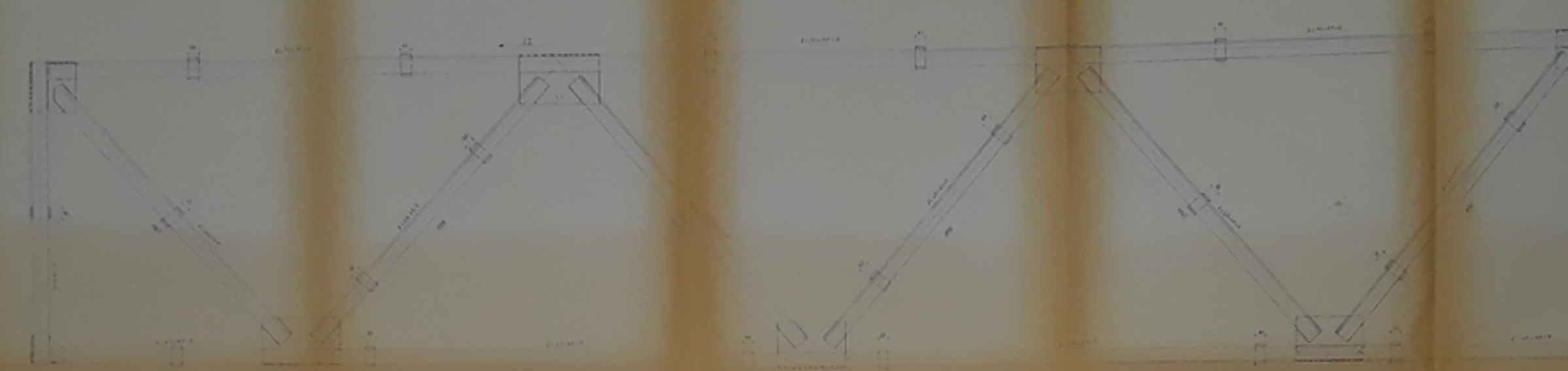
2

1050177  
-40

ENPA

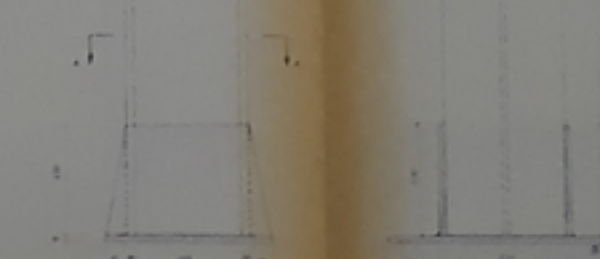
TABLEAUX DE CONSTRUCTION  
Projet de l'industrie  
PROMOTION JANVIER 1972

PLAN D'EXECUTION  
FERME-CONSOLE-POTEAU



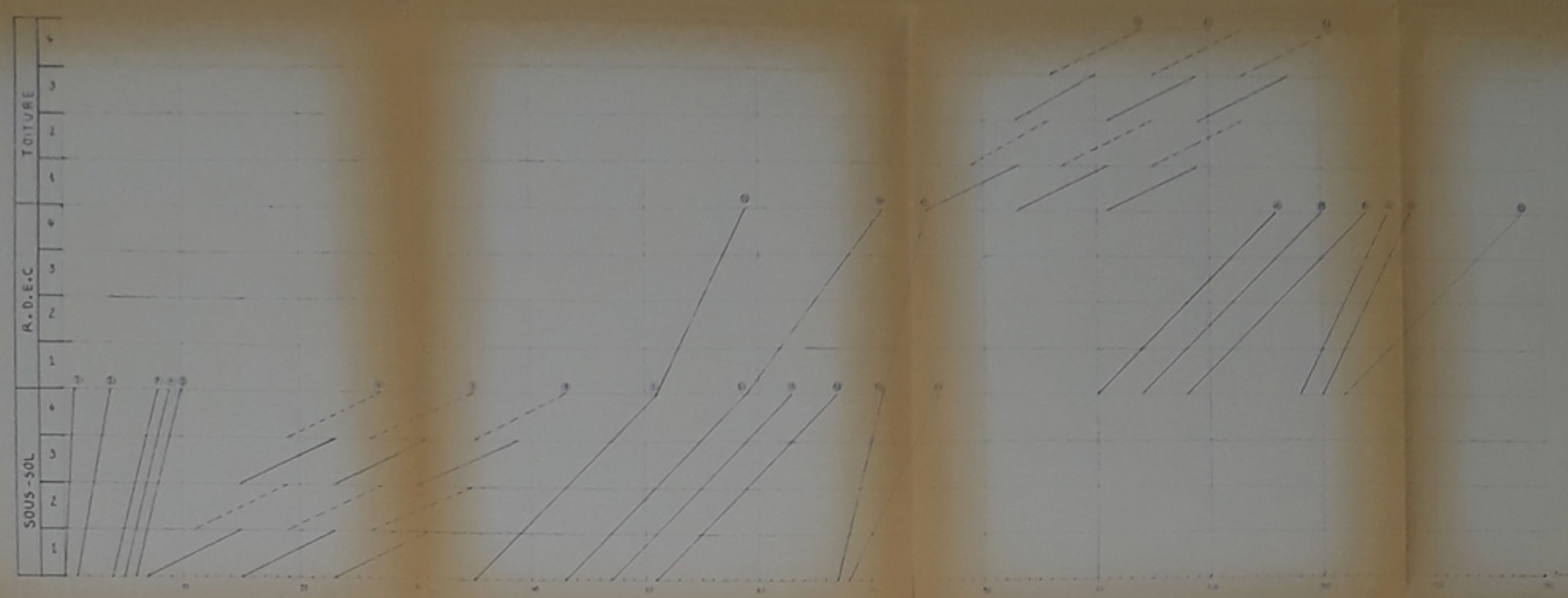
Dimensions	Value
Largeur	10m
Hauteur	15m
Profondeur	10m
Total	35m

Dimensions	Value
Largeur	10m
Hauteur	15m
Profondeur	10m
Total	35m

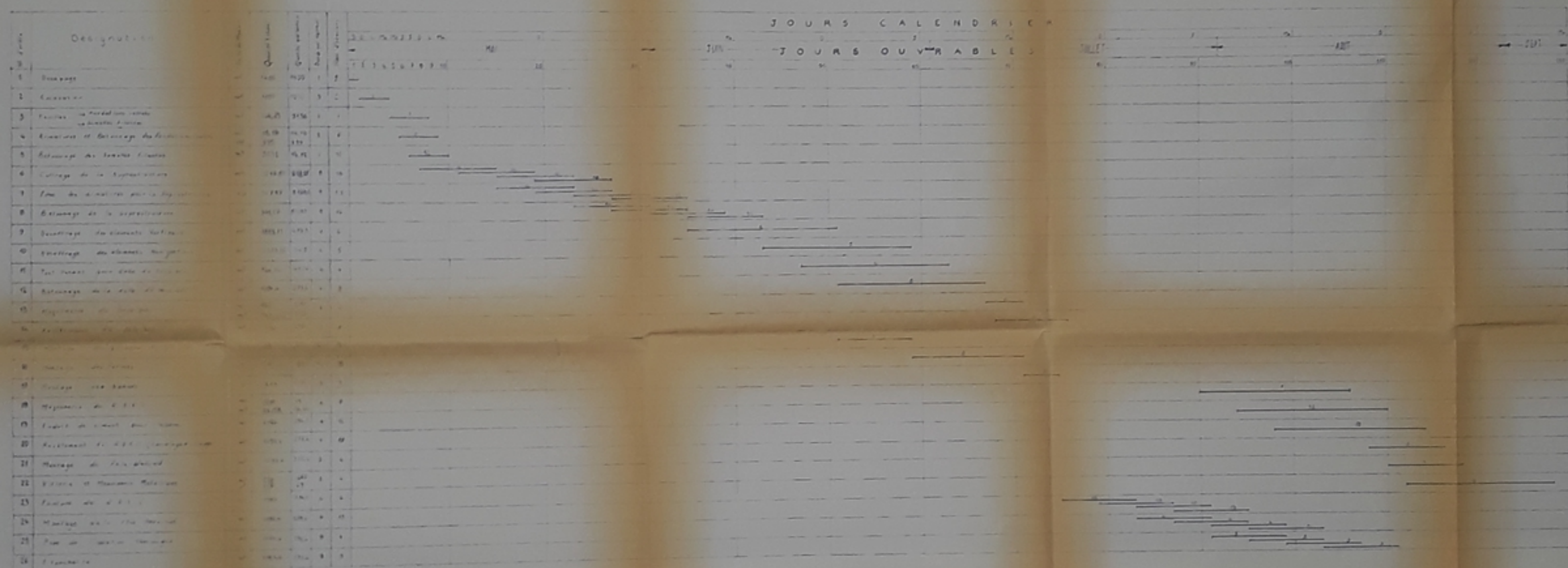


### CYCLOGRAMME

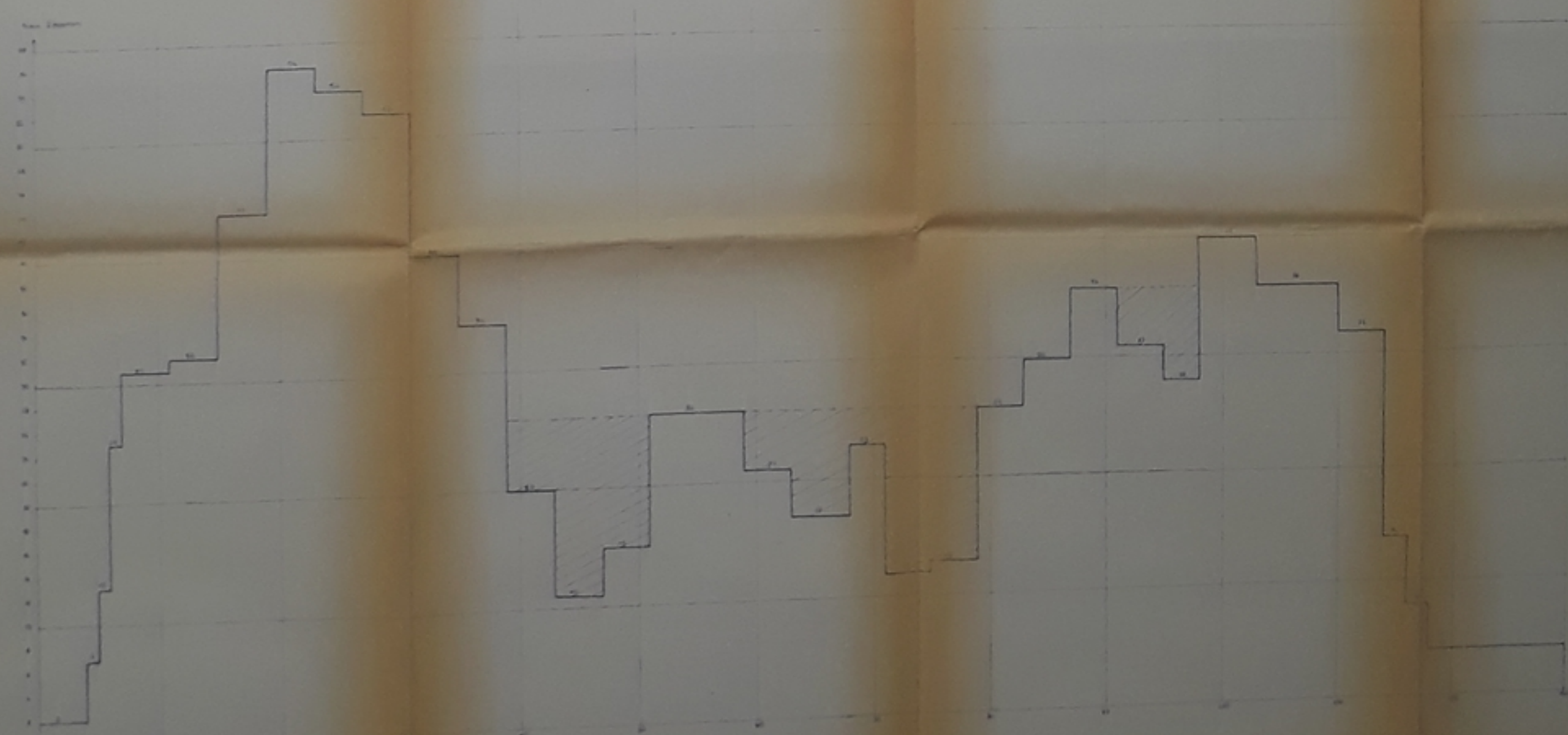
- 1 Chantier
- 2 Accès
- 3 Fouille de fondations
- 4 Accès au chantier par le bâtiment
- 5 Retenage du terrain
- 6 Collage de la fondation
- 7 Fouille de fondations pour le bâtiment
- 8 Retenage de la reprise
- 9 Découpe des éléments
- 10 Montage des éléments
- 11 Tuyau en pvc dans les fondations
- 12 Tuyau de gaz
- 13 Régulation de gaz
- 14 Accès de camion pour fourniture
- 15 Recouvrement de fondation
- 16 Montage des éléments métalliques
- 17 Montage des tuyaux
- 18 Montage des tuyaux
- 19 Accès de camion pour fourniture
- 20 Recouvrement de fondation
- 21 Montage des éléments métalliques
- 22 Accès de camion pour fourniture
- 23 Accès de camion pour fourniture
- 24 Accès de camion pour fourniture
- 25 Fouille de fondation
- 26 Évacuation



### GRAPHIQUE A BARRES



### DIAGRAMME DES OUVRIERS



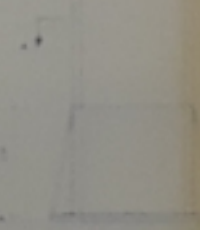
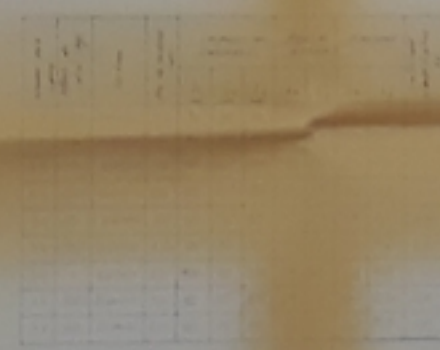
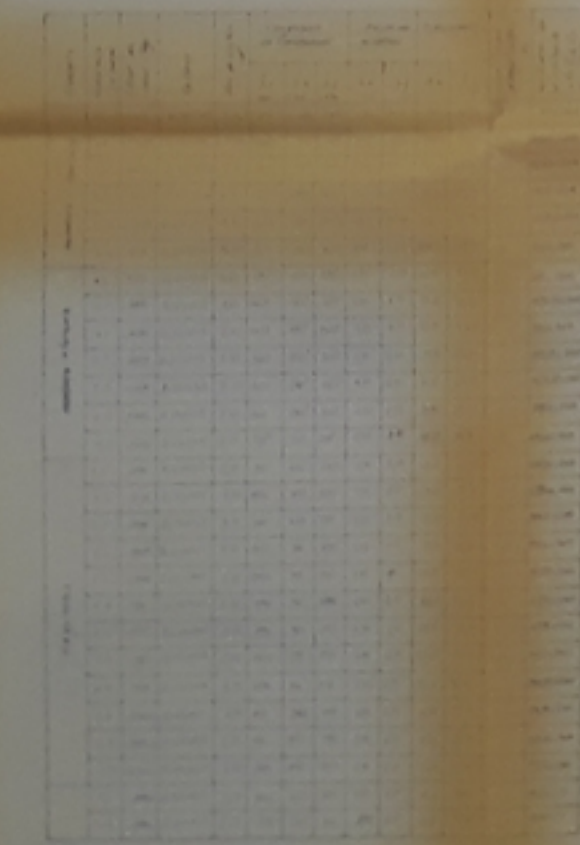
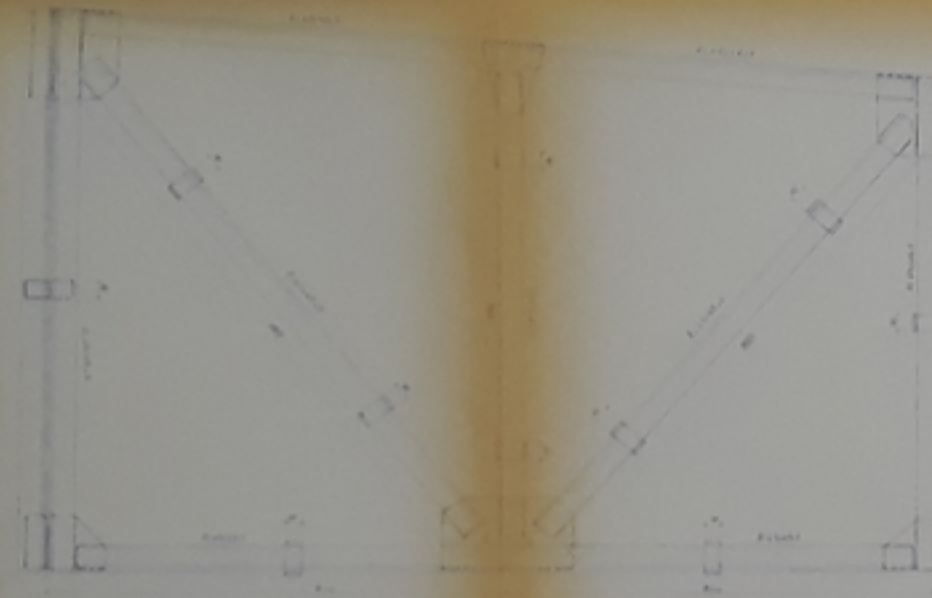
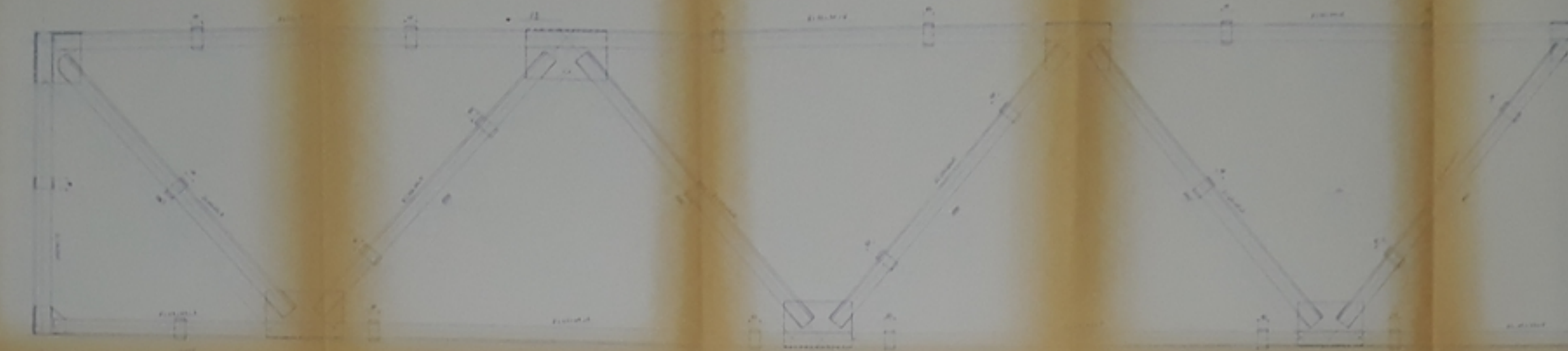
PB 00177  
-11-

Projet de fin d'études

Promotion Janvier 1977

PLAN D'ORGANISATION  
DU CHANTIER

Proposé par : etudié par :  
ing Bejinoriu K. Abada  
B.Benkhefifa



PG-007  
-42-

الجامعة الإسلامية - كلية التربية - كلية التربية  
جامعة العلوم الإسلامية  
E N P A  
Ecole Nationale Polytechnique d'Alger  
Projet de fin d'études  
PROMOTION JANVIER 1972  
PLAN D'EXECUTION  
FERME-CONSOLE-POTEAU  
DRAFTING CENTER  
DRAUGHTSMEN'S CENTER

